

524  
1976/3



საქართველოს სსრ  
აკადემიის აკადემიუ

# АМЕДА СООБЩЕНИЯ

АКАДЕМИИ НАУК  
ГРУЗИНСКОЙ ССР

BULLETIN  
OF THE ACADEMY OF SCIENCES  
OF THE GEORGIAN SSR

№ 82 том

№ 1

1976 АПРЕЛЬ

თბილისი • ТБИЛИСИ • TBILISI

საქართველოს სსრ  
მეცნიერებათა აკადემიის  
გამოცემა

გამოცემა  
СООБЩЕНИЯ

АКАДЕМИИ НАУК  
ГРУЗИНСКОЙ ССР

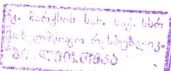
BULLETIN  
OF THE ACADEMY OF SCIENCES  
OF THE GEORGIAN SSR

13493

ტომი 82 თომ

1976

თბილისი • TBILISI



ՅԱՌՆԱԼՈ ՊԱՐՏՅԵՑՄԱՆ 1940 ՎՅՈՒ  
ЖУРНАЛ ОСНОВАН В 1940 ГОДУ

ՑԱՅԹՈՒ ՄՅՈՅ ԶԿՄԵՅ  
ВЫХОДИТ ОДИН РАЗ В МЕСЯЦ

ՀՅԱՅՑՅԵՅԼՈՅ ՝ ՀԵՐԵՐԵՅՅԱ«  
Издательство „Мечниереба“

საქართველოს სსრ  
აკადემიის გამოცემების  
აკადემიუმი

# გამოცემა

## СООБЩЕНИЯ

АКАДЕМИИ НАУК  
ГРУЗИНСКОЙ ССР

## BULLETIN

OF THE ACADEMY OF SCIENCES  
OF THE GEORGIAN SSR

• 134/93

ტომი 82 თომ

№ 1

აპრილი 1976 აპრель

## სარედაკციო პრემია

- ა. ბოჭორიშვილი, თ. გამურულიძე, პ. გომიურელიძე, ი. გოგინეგვილიშვილი (მთ. რედაქტორის  
მოადგილე), თ. დავითია, ხ. დურმიშვილი, ა. თავეშელიძე, ხ. კეცხოველი,  
ვ. კუპრაძე, ხ. ლანდია (მთ. რედაქტორის მოადგილე), ე. მახალიანი,  
გ. მელიქშვილი, ხ. მუსეელიშვილი, ვ. ოკუტავა, ა. ცაგარელი,  
გ. ციციშვილი, ე. ხარაძე (მთ. რედაქტორი), გ. ხუციშვილი,  
ნ. ჯავახიშვილი

### РЕДАКЦИОННАЯ КОЛЛЕГИЯ

- А. Т. Бочоришвили, П. Д. Гамкрелидзе, Т. В. Гамкрелидзе, И. М. Гигинейшвили  
(зам. главного редактора), Ф. Ф. Давитая, Н. А. Джавахишвили,  
С. В. Дурмишидзе, Н. Н. Кецховели, В. Д. Купрадзе, Н. А. Ландиа  
(зам. главного редактора), В. В. Махалдани, Г. А. Меликишвили,  
Н. И. Мусхелишвили, В. М. Окуджава, А. Н. Тавхелидзе,  
Е. К. Харадзе (главный редактор), Г. Р. Хуцишвили,  
А. Л. Цагарели, Г. В. Цицишвили

პასუხისმგებელი მღივანი გ. მახარაძე  
Ответственный секретарь Г. Е. Махарадзе

ხელმოწერილია დასბუქტად 23.4.1976; შეკვ. № 745; ანაზობის ზომა 7×12;  
ჭრალის ზომა 70×108; ფიზიკური ფურცელი 16; სალრიცხო-საგამომცემულ  
ფურცელი 18,5; ნაბეჭდი ფურცელი 22,5; ფა 11162; ტირაჟი 1800; ფასი 1 ბაზ.

\* \* \*

Подписано к печати 23.4.1976; зак. № 745; размер набора 7×12; размер  
бумаги 70×108; физический лист 16; уч.-издательский лист 18,5; печатный  
лист 22,5; УФ 11162; тираж 1800; цена 1 руб.

\* \* \*

გამოშემლობა „მეცნიერება“, თბილისი, 380060, კუტუზოვის ქ., 19  
Издательство «Мецниереба», Тбилиси, 380060, ул. Кутузова, 19

\* \* \*

საქ. სსრ მეცნ. აკადემიის სტამბა, თბილისი, 380060, კუტუზოვის ქ., 19  
Типография АН Груз. ССР, Тбилиси, 380060, ул. Кутузова, 19

## పరీక్షల సంఖ్య

### పాఠయాతికా

*మ. ద్వారా రాగిలు.	చీక్కుప్పి శైల్పికల్లుబిస్ అంప్రాణాత్మక గ్రంతి సిస్ట్రోమిస్ శేసాథ్రేబ్	20
*ప. ప్రారంభించిన శి. శ్రేణీ లో గాలింటిక్యుబిస్ శేతమిల్లిస్ శేసాథ్రేబ్		24
*మ. ప్రారంభించిన శి. శ్రేణీ లో గాలింటిక్యుబిస్ శేతమిల్లిస్ శేసాథ్రేబ్		27
-**మ. నాసింధించి ప్రారంభిస్ టెంప్లేబిస్ గాలింటిక్యుబిస్ అంప్రాణాత్మక గ్రంతి తీర్చిగానిమ్మేర్చించి బీఫ్రింగ్బిస్ శేమిట్ట్యుబ్బిశి		31
*మ. నొండించి ప్రారంభిస్ టెంప్లేబిస్ గాలింటిక్యుబిస్ శేసాథ్రేబ్		36
-**మ. ప్రారంభించి ప్రారంభిస్ టెంప్లేబిస్ గాలింటిక్యుబిస్ శేసాథ్రేబ్ శేమిట్ట్యుబ్బిశి		40
*మ. నొండించి ప్రారంభిస్ టెంప్లేబిస్ గాలింటిక్యుబిస్ శేసాథ్రేబ్		44

### పరీక్షల పాతలు

*మ. నొండించి ప్రారంభిస్ టెంప్లేబిస్ గాలింటిక్యుబిస్ శేసాథ్రేబ్		47
--	--	----

### పాతల పాతలు

*మ. నొండించి ప్రారంభిస్ టెంప్లేబిస్ గాలింటిక్యుబిస్ శేసాథ్రేబ్		51
*మ. ప్రారంభించి ప్రారంభిస్ టెంప్లేబిస్ గాలింటిక్యుబిస్ శేసాథ్రేబ్		55
*మ. ప్రారంభించి ప్రారంభిస్ టెంప్లేబిస్ గాలింటిక్యుబిస్ శేసాథ్రేబ్		59

### పాతల పాతలు

*మ. సంఘిత లో ప్రారంభిస్ టెంప్లేబిస్ గాలింటిక్యుబిస్ శేసాథ్రేబ్		64
*మ. ప్రారంభించి ప్రారంభిస్ టెంప్లేబిస్ గాలింటిక్యుబిస్ శేసాథ్రేబ్		68
*మ. ప్రారంభించి ప్రారంభిస్ టెంప్లేబిస్ గాలింటిక్యుబిస్ శేసాథ్రేబ్		72
*మ. ప్రారంభించి ప్రారంభిస్ టెంప్లేబిస్ గాలింటిక్యుబిస్ శేసాథ్రేబ్		76

### పరీక్షల పాతలు

*మ. ప్రారంభించి ప్రారంభిస్ టెంప్లేబిస్ గాలింటిక్యుబిస్ శేసాథ్రేబ్		79
---	--	----

### పరీక్షల పాతలు

*మ. ప్రారంభించి ప్రారంభిస్ టెంప్లేబిస్ గాలింటిక్యుబిస్ శేసాథ్రేబ్		83
---	--	----

\* పాఠయాతికాలలో అన్ని పాతలు పాఠయాతికాలలో ఉన్నాయి.

### ორგანიზაციის კიბითა

\* ა. კახნიაშვილი, დ. იორქამაშვილი, მ. ნადირაშვილი. ფენოლის, ანიზოლის და მ-ქრეზოლის ურთიერთქმედება 1-ფენოლ-3-მეთილბუთინ-1-ოლ-3-თან უოსფორმევას თანდასწრებით

88

\* გ. გვერდწითელი (საქ. სსრ მეცნ. აკადემიის წევრ-კორესპონდენტი), დ. ედიბერძე, ე. ჩერნიშვილი. სილაფლუორენშემცველი ზოგიერთი აცტილენსური ნაერთის პილროვერმილირება სპეცირის კატალიზტორის თანდასწრებით

91

### ფიზიკური კიბითა

\* ნ. ლანდია (საქ. სსრ მეცნ. აკადემიის აკადემიკოსი), გ. ჩაჩინიძე, ნ. ლევავა, ო. დიმიტრიადი. დიფერენციალური სკანირების კალორიმეტრზე  $\text{Li}_2\text{O}\cdot x\text{Fe}_2\text{O}_3$  სისტემის ( $x=2,3,4,5,6$ ) ფაზურ გარდაქმნათა სითბოების შესწავლა

96

\* გ. ციციშვილი (საქ. სსრ მეცნ. აკადემიის აკადემიკოსი), თ. ანდრინიკაშვილი, ლ. სტრილჩიშვილი.  $\text{AgNaY}$  ცეოლითებზე აირების თერმოდინამიკური ფუნქციების განსაზღვრა ქრომატოგრაფიული მონაცემების მიხედვით

99

### კიბითა ტიპოლოგია

\* ა. სარუხანიშვილი, ნ. ჭუთათელაძე. მინის წარმოქმნა  $\text{SrO}-\text{MnO}-\text{B}_2\text{O}_5$  და  $\text{ZnO}-\text{MnO}-\text{B}_2\text{O}_5$  სისტემებში

103

### ფიზიკური გეოგრაფია

\* გ. ზენკოვიჩი, ვ. პეშკოვი. ბიპევინთის წყალევეშა ფერდის მეზორელიეფური ფორმების დინამიკა

107

\* გ. პეშკოვი. ბიპევინთის ნაპირგამზერივი ნაკადის რიყნარის მოძრაობის სიჩქარე და მოცულობა

111

\* დ. მატკავა. ჩრდილოეთ კოლხეთის სანაპირო ზოლის გადარეცხვა

115

### გეოლოგია

\* გ. ძევლაია, ვ. გვერდიაძე. სამხრეთ კახეთის დასავლეთი ნაწილის გეოლოგიისა და ნაევთობგაზიანობის შესახებ

120

\* თ. ივანიცეკი, გ. კორინთელი. თუშეთის მაღნიანი კვანძის მეტალოგენის საკითხებისთვის

123

### პალიონტოლოგია

\* ტ. ბოგდანივა, მ. კაკაბაძე. გვარ *Ammonitoceras* Dumas, 1876 სისტემატიკის საკითხებისათვის

128

### პიტრილოგია

\* ნ. თათრიშვილი. კაუკასიონის მეტამორფიტების ამფიბოლების შედეგის მიზანი

132

### სამშენებლო მიმართა

\* თ. ბოჭუა, ი. ლინერი. თალღირ კაშხლის ტიპის გარსების ანგარიში სეისმურ ზემოქმედებაზე მიწისძვრის ტეალღირი აქსელეროგრამის მიხედვით

136

### ବାରାନ୍ଦାରୀତିଶୈଳିକରଣକାବା

*୯. ତାଙ୍କେ ଲାକ୍ଷ୍ମୀ (ଶାକ୍. ସିର ମେପ୍ରି. ଏକାଧମିଳି ହୃଦୟକୁଣ୍ଡଳେଶବନ୍ଦ୍ରି), ନ. ଡାକ୍ତର ତାର୍ମିଳା ରୀତିଶୈଳିକରଣକୁଣ୍ଡଳେଶବନ୍ଦ୍ରିରେ ଉପରେକାରୀତିଶୈଳିକରଣକାବା	140
*୧୦. ଶାଗ ରାତ୍ରି ଏ. ଏକାଧମିଳି ରୀତିଶୈଳିକରଣକୁଣ୍ଡଳେଶବନ୍ଦ୍ରିରେ ଉପରେକାରୀତିଶୈଳିକରଣକାବା	144
*୧୧. ପାଖି ଶାକ୍ ଏ. ପିଲେରିକାଲାରୀରୀ କିଳିଲାକୁଣ୍ଡଳେଶବନ୍ଦ୍ରି ପ୍ରାଣୀକାଳାକୁଣ୍ଡଳେଶବନ୍ଦ୍ରିରେ ଉପରେକାରୀତିଶୈଳିକରଣକାବା	148
*୧୨. ଫୁଲ ଏ. ଏକାଧମିଳି ହୃଦୟକୁଣ୍ଡଳେଶବନ୍ଦ୍ରିରେ ଉପରେକାରୀତିଶୈଳିକରଣକାବା	152

### ୦୬୦ରିତିଶୈଳିକରଣକାବା

*୧୩. କ୍ଷେତ୍ର ଏ. ଏକାଧମିଳି ହୃଦୟକୁଣ୍ଡଳେଶବନ୍ଦ୍ରି ପ୍ରାଣୀକାଳାକୁଣ୍ଡଳେଶବନ୍ଦ୍ରିରେ ଉପରେକାରୀତିଶୈଳିକରଣକାବା	156
*୧୪. ଭାବୁ ଏ. ଏକାଧମିଳି ହୃଦୟକୁଣ୍ଡଳେଶବନ୍ଦ୍ରିରେ ଉପରେକାରୀତିଶୈଳିକରଣକାବା	160

### ୦୭୦ରିତିଶୈଳିକରଣକାବା

*୧୫. ଭାବୁ ଏ. ଏକାଧମିଳି ହୃଦୟକୁଣ୍ଡଳେଶବନ୍ଦ୍ରିରେ ଉପରେକାରୀତିଶୈଳିକରଣକାବା	164
---	-----

### ୦୮୦ରିତିଶୈଳିକରଣକାବା

*୧୬. ଲକ୍ଷ୍ମୀ ଏ. ଏକାଧମିଳି, ପିଲେରିକାଲାରୀରୀ କିଳିଲାକୁଣ୍ଡଳେଶବନ୍ଦ୍ରିରେ ଉପରେକାରୀତିଶୈଳିକରଣକାବା	165
--	-----

### ୦୯୦ରିତିଶୈଳିକରଣକାବା

*୧୭. କପାଚି ଏ. ଏକାଧମିଳି (Capsicum annuum L.) ଶବ୍ଦବିଜ୍ଞାନ ପାଠ୍ୟକାରୀତିଶୈଳିକରଣକାବା	169
--	-----

### ୧୦୦ରିତିଶୈଳିକରଣକାବା

*୧୮. ଶାକ୍ ଏ. ଏକାଧମିଳି, ପିଲେରିକାଲାରୀରୀ, ପିଲେରିକାଲାରୀରୀ ଏକାଧମିଳି ହୃଦୟକୁଣ୍ଡଳେଶବନ୍ଦ୍ରିରେ ଉପରେକାରୀତିଶୈଳିକରଣକାବା	176
--	-----

### ୧୧୦ରିତିଶୈଳିକରଣକାବା

*୧୯. ଲକ୍ଷ୍ମୀ ଏ. ଏକାଧମିଳି (ଶାକ୍. ସିର ମେପ୍ରି. ଏକାଧମିଳି ଏକାଧମିଳିକାବା), ନ. ଶାକ୍ତାକାରୀ ଏ. ଶାକ୍ତାକାରୀ ଏ. ଏକାଧମିଳି ହୃଦୟକୁଣ୍ଡଳେଶବନ୍ଦ୍ରିରେ ଉପରେକାରୀତିଶୈଳିକରଣକାବା	180
*୨୦. କୁପୁରୁଷ ଏ. ଏକାଧମିଳି, ପିଲେରିକାଲାରୀ ଏକାଧମିଳି ହୃଦୟକୁଣ୍ଡଳେଶବନ୍ଦ୍ରିରେ ଉପରେକାରୀତିଶୈଳିକରଣକାବା	183
*୨୧. ଶାକ୍ ଏ. ଏକାଧମିଳି, ପିଲେରିକାଲାରୀ ଏକାଧମିଳି ହୃଦୟକୁଣ୍ଡଳେଶବନ୍ଦ୍ରିରେ ଉପରେକାରୀତିଶୈଳିକରଣକାବା	187

* ა. კალანდარიშვილი, თ. მიმინაშვილი, ატელ პიღიოლიშვილ ე pH-ის გაუ- ლენა <i>Phaseolus vulgaris</i> ლებნების მიყროსომებში	191
* ბ. ბოკუჩავა (საქ. სსრ მეცნ. აკადემიის უცრ-კორესპონდენტი), ვ. პოპოვი, ნ. სკობელევა, ტ. პეტროვა. მწვანე სწრაფსნალი ჩაის გამოყენება სხვადასხვა ჩაის გასამდიდრებლად	195
<b>მიკობიოლოგია და ვირუსოლოგია</b>	
გ. ქლერტი, ლ. ჩაჩუა, ნ. რამიშვილი, სტერილური საცევეტუციო ცდის პი- რობებში აზოტის ფორმების და ბაქტერიისაციის გავლენა სოიას ზრდა-განვი- თარებაში	197
* გ. დარასე ლია. მაგნიტოფორების მოქმედება <i>Mycobacterium phlei</i> -ს ზრდაზე და კარიტონევენეზში	203
<b>მინიმოლოგია</b>	
* გ. საჭინავა. <i>C. p. pipiens</i> -ის რეციპიროცელი შეფვარება <i>C. p. molestus</i> -თან, შშობლიურ და პიბრიდულ თაობათა დედლების სისხლით კვება და ნაყოფიერება	208
მისამირიმინტელი მოწვოლოგია	
* თ. თუმანიშვილი. ქათმის ჩანასახის ბროლის ზრდის ხასიათი ინკუბაციის 9—17 დღების განვალობაში	211
<b>პალიობიოლოგია</b>	
* ა. სულაძე. ორგანიზმი-გარემოს სისტემაში არსებულ ურთიერთობათა გამოყვლე- ვა ეფექტური პორიტონტიდან	215
<b>ფიზიოლოგია</b>	
* ლ. ჯანჯლავა. განწყობის გავლენა საინირო-კონსტრუქტორულ სისტემათა ანა- ლიზის დროს	219
<b>ფილოგოგია</b>	
* ლ. გიუნაშვილი. გლეხის სახე ჩვენი საუკუნის 20-იანი წლების სპარსულ პრო- ზაში (ა. ზოდადადეს მოთხოვთა „გლეხეაცის ხელია“)	223
<b>ეთნობრაზია</b>	
* ი. გიგე ლაშვილი. შელოცვებისა და „იავნანას“ ურთიერთობისათვის	225
<b>ხილოვნების ისტორია</b>	
* ბ. გულიაშვილი. კილოს ფესტივალი მხარე შ. ასლანიშვილის სწორებაში ქართული ხალხური სიმღერების ჰარმონიის შესახებ	231
<b>საქართველოს სსრ მინისტრისათვის</b>	
საქართველოს სსრ შეცნიერებათა აკადემიის საერთო კრება	233
აკადემიის პრეზიდიუმში	235
სესიები, კონფერენციები, თათბირები	239
მეცნიერთა იუბილეები	244
საერთაშორისო სამეცნიერო კავშირები	247
ქრონიკა, ინფორმაცია	248

## СОДЕРЖАНИЕ

### МАТЕМАТИКА

О. В. Меунаргия. Об одной системе граничных задач линейного сопряжения	17
В. А. Треногин, З. И. Шенгелия. О методе Галеркина	21
Т. К. Кацелаки. Векторные расслоения и $K$ -теория над коммутативной $C^*$ -алгеброй с единицей	25
М. Х. Насибов. Обобщение теоремы Кантора на случай двойных тригонометрических рядов	29
А. Ч. Чигогидзе. Комбинаторный вес пространств относительно нормальной базы	33
Д. Л. Берман. Исследование интерполяционного процесса Егервари—Турана, построенного при расширенной системе ультрасферических узлов	37
Г. Н. Химшиашвили. К теории степени отображений в гильбертовом пространстве	41

### МЕХАНИКА

Г. К. Чхетия. О движении оборванных ветвей каната подземной кресельной моноканатной дороги (ПКМД)	45
---	----

### КИБЕРНЕТИКА

И. А. Схиртладзе. Оптимальный линейный фильтр и количество информации	49
Б. И. Церцвадзе. Рекурсивные методы построения неполных сбалансированных блок-схем	53
Т. Р. Пейкришвили. Генерирование тестов при помощи аналитической логики	57

### ФИЗИКА

А. Ф. Сидохин, Л. В. Минина, Е. Ф. Сидохин, Ш. Ш. Джанджава. Ориентационная зависимость скольжения в монокристаллах галлия при деформации вблизи температуры плавления	61
В. Ш. Гогохия, Д. П. Мавло. Двухсторонние спектральные оценки квазипотенциальной краевой задачи на основе теории Штурма—Лиувилля	65
А. В. Шургая. Движение нерелятивистской частицы со спином в квантованном поле с сильной связью	69
Ш. Ш. Джанджава. Кристаллогеометрия скольжения в структуре галлия	73

### ГЕОФИЗИКА

К. З. Карцевелишвили, Г. Н. Диасамидзе. Об одном методе выделения гармоник из сложной кривой	77
--	----

\* Заглавие, отмеченное звездочкой, относится к резюме статьи.

## ОБЩАЯ И НЕОРГАНИЧЕСКАЯ ХИМИЯ

- М. А. Инджия, Р. Д. Гигаури, Б. Д. Чернокальский, М. М. Угулава, Э. Е. Гвилаава. Комплексы хлорида ртути (II) с ди- $\alpha$ -нафтилалкиларсинаами 81

## ОРГАНИЧЕСКАЯ ХИМИЯ

- А. И. Кахиашвили, Д. Ш. Иорамашвили, М. Д. Надирашвили. Взаимодействие фенола, анизола и м-крезола с 1-фенил-3-метилбутин-1-олом-3 в присутствии фосфорной кислоты 85

- И. М. Гвердцители (член-корреспондент АН ГССР), Д. А. Элиберидзе, Е. А. Чернышев. Гидрогермилирование некоторых силафлуореносодержащих ацетиленовых соединений в присутствии катализатора Спейера 89

## ФИЗИЧЕСКАЯ ХИМИЯ

- Н. А. Ландия (академик АН ГССР), Г. Д. Чачанидзе, И. Г. Лежава, О. О. Димитриади. Исследование теплот фазовых превращений в системе  $\text{Li}_2\text{O}\cdot x\text{Fe}_2\text{O}_3$  ( $x=2, 3, 4, 5, 6$ ) на дифференциальном сканирующем калориметре 93

- Г. В. Цицишвили (академик АН ГССР), Т. Г. Андronикашвили, О. С. Банах, Л. В. Стрильчук. Определение термодинамических функций газов по хроматографическим данным на цеолитах  $\text{AgNaY}$  97

## ХИМИЧЕСКАЯ ТЕХНОЛОГИЯ

- А. В. Саруханишвили, Н. К. Кутателадзе. Стеклообразование в системах  $\text{ZnO}-\text{MnO}-\text{B}_2\text{O}_3$  и  $\text{SrO}-\text{MnO}-\text{B}_2\text{O}_3$  101

## ФИЗИЧЕСКАЯ ГЕОГРАФИЯ

- В. П. Зенкович, В. М. Пешков. Динамика форм мезорельефа подводных откосов Пицунды 105

- В. М. Пешков. Скорость и объем вдольберегового перемещения гальки на Пицунде 109

- Д. И. Маткава. Размыв берегов Северной Колхиды 113

## ГЕОЛОГИЯ

- М. Ф. Дзвелая, В. Е. Гвенетадзе. О геологии и нефтегазоносности западной части Южной Кахетии 117

- Т. В. Иваницкий, Г. С. Коринтели. К вопросу металлогении Тушетского рудного узла 121

## ПАЛЕОНТОЛОГИЯ

- Т. Н. Богданова, М. В. Қакабадзе. К систематике рода *Ammonitoceras* Dumas, 1876 125

## ПЕТРОЛОГИЯ

- М. Ф. Татришвили. Эволюция состава амфиболов в метаморфитах Большого Кавказа 129

## СТРОИТЕЛЬНАЯ МЕХАНИКА

- Т. А. Бохуа, Я. З. Линер. К расчету оболочек типа арочных плотин на сейсмические воздействия по реальным акселерограммам землетрясений 133

## МАШИНОВЕДЕНИЕ

Д. С. Тавхелидзе (член-корреспондент АН ГССР), Н. С. Давиташвили. Технологическая погрешность сферического кулисного механизма	137
А. М. Багдоева. О механо-математической модели мышцы, сокращающейся в изометрическом режиме	141
Р. Ш. Варсамашвили. К образованию гиперболоидальной зубчатой передачи с переменным передаточным числом	145
Г. Г. Цулая. Исследование резонансных режимов колебаний трехмассового вибратора с нелинейными упругими элементами	149

## ЭНЕРГЕТИКА

Л. В. Хвингия. Решение краевой задачи нестационарной теплопроводности для двух соприкасающихся бесконечных цилиндров	153
--	-----

## ЭЛЕКТРОТЕХНИКА

Дж. Н. Дочвири. Построение и оптимизация динамики АСР двухдвигательного секционного электропривода бумагоделательной машины с упругими механическими передачами	157
---	-----

## ЛЕСОВОДСТВО

Э. Д. Лобжанидзе, М. А. Санкидзе. Особенности анатомической структуры древесины ели восточной ( <i>Picea orientalis</i> Link.) по возрастам и ярусам древостоя	161
--	-----

## БОТАНИКА

* Г. К. Замтарадзе. К изучению морфологии и процессов прорастания семян рода <i>Sibbaldia</i> L.	167
--	-----

## ГЕНЕТИКА И СЕЛЕКЦИЯ

* М. Б. Квачадзе. О наследственности некоторых количественных признаков перца ( <i>Capsicum annuum</i> L.)	170
--	-----

## БИОФИЗИКА

Г. П. Горгадзе, О. Т. Кения, Т. Я. Михелашвили, Г. И. Данелия, Г. Р. Мачарашвили. Изучение возможности определения макроэлементов в кормах с использованием нейтронного генератора	173
--	-----

## БИОХИМИЯ

С. В. Дурмишидзе (академик АН ГССР), Н. Е. Замбахидзе, Л. Ш. Тушишвили, Н. А. Кекелидзе. Стеролы виноградной лозы сорта Саперави	177
--	-----

Н. Н. Нуцубидзе, Т. Ф. Марченко. Нитратредуктазная активность различных видов и сортов виноградной лозы	181
---	-----

Е. М. Шилакадзе, О. Г. Батиашвили, Г. В. Цинцадзе, А. П. Нариманидзе, А. Г. Махарадзе, Н. В. Ревишвили. Испытание антитуберкулезной активности координационных соединений марганца, кобальта, никеля, меди, цинка и кадмия с гидразидом изоникотиновой кислоты (ГИНК)	185
---	-----

А. А. Каландаришивили, Т. В. Миминошвили. Влияние pH на гидролиз АТФ в микросомах семядолей <i>Phaseolus vulgaris</i>	189
М. А. Бокучава (член-корреспондент АН ГССР), В. Р. Попов, Н. И. Скобелева, Т. А. Петрова. Использование зеленого быстрорастворимого чая для обогащения различных видов чая	193
<b>МИКРОБИОЛОГИЯ И ВИРУСОЛОГИЯ</b>	
* М. П. Жгенти, Л. Ш. Чачуа, Н. М. Рамишвили. Влияние форм азота и бактеризации на рост и развитие сон в условиях стерильного вегетационного опыта	199
Г. Я. Дараселия. Влияние магнитофоров на рост и каротиногенез <i>Mycobacterium phlei</i>	201
<b>ЭНТОМОЛОГИЯ</b>	
Ш. Г. Сичинава. Рецiproкное скрещивание <i>Culex pipiens pipiens</i> с <i>Culex pipiens molestus</i> , питание кровью и плодовитость самок родительских и гибридных поколений	205
<b>ЭКСПЕРИМЕНТАЛЬНАЯ МОРФОЛОГИЯ</b>	
Т. Г. Туманишвили. Характер роста хрусталика куриного зародыша в течение 9—17 дней инкубации	209
<b>ПАЛЕОБИОЛОГИЯ</b>	
А. И. Суладзе. К исследованию взаимоотношений в системе организма из евпаторийского горизонта	213
<b>ПСИХОЛОГИЯ</b>	
Л. Е. Джанджава. Влияние установки при анализе инженерно-конструкторских систем	217
<b>ФИЛОЛОГИЯ</b>	
Л. С. Гиунашвили. Крестьянство в персидской прозе 20-х гг. нынешнего столетия	221
<b>ЭТНОГРАФИЯ</b>	
И. Ш. Гагулашвили. К связи заговоров и песен-заклинаний «Иавнана»	227
<b>ИСТОРИЯ ИСКУССТВ</b>	
Б. А. Гулиашвили. Акустическая сторона лада в учении Ш. С. Асланишвили о гармонии грузинских народных песен	229
<b>В АКАДЕМИИ НАУК ГРУЗИНСКОЙ ССР</b>	
Общее собрание Академии наук Грузинской ССР	234
В Президиуме Академии	235
Сессии, конференции, совещания	239
Юбилеи ученых	244
Международные научные связи	247
Хроника, информация	248

## CONTENTS\*

### MATHEMATICS

O. V. Meunargia. On one system of boundary value problems of linear conjugation	20
V. A. Trenogin, Z. I. Shengelia. On the Galerkin method	24
T. K. Kandelaki. Vector bundles and $K$ -theory over commutative unitary $C^*$ -algebra	27
M. Kh. Nasibov. Generalization of Cantor's theorem in the case of double trigonometric series	31
A. Ch. Chigogidze. Combinatory weight of spaces with respect to normal base	36
D. L. Berman. Investigation of the Egervary-Turan interpolation constructed for an extended system of ultraspherical nodes	40
G. N. Khimshiashvili. On the theory of degree of a map in a Hilbert space	44

### MECHANICS

G. K. Chkhetia. On the motion of broken rope ends of underground seat monocable ropeway	48
---	----

### CYBERNETICS

I. A. Skhirtladze. Optimal linear filter and information quantity	51
B. I. Tservadze. Recursive methods of constructing balanced incomplete block-schemes	56
T. R. Peikrishvili. Generation of tests by means of analytical logic	59

### PHYSICS

A. P. Sidokhin, L. V. Minina, E. P. Sidokhin, Sh. Sh. Janjgava. Orientation dependence of glide in gallium monocrystals in the vicinity of melting temperature	64
V. Sh. Gogokhia, D. P. Mavlo. Upper and lower Sturm-Liouville spectral bounds for a quasipotential eigenvalue problem	68
A. V. Shurgaia. The motion of a nonrelativistic particle with spin in a quantized field with strong coupling	72
Sh. Sh. Janjgava. Crystal geometry of glide in the structure of gallium	76

### GEOPHYSICS

K. Z. Kartvelishvili, G. N. Diasamidze. On a method of separation of harmonics from a compound curve	80
--	----

### GENERAL AND INORGANIC CHEMISTRY

M. A. Injia, R. D. Gigauri, B. D. Chernokalski, M. M. Ugulava, E. E. Gvilava. Complexes of mercury chloride with di-a-naphthylalkyl-arsines	83
---	----

\* The title marked with an asterisk refers to the summary of the article.

## ORGANIC CHEMISTRY

- A. I. Kakhniashvili, D. Sh. Ioramashvili, M. D. Nadirashvili. Interaction of phenol, anisole and m-cresol with 1-phenyl-3-methylbutyne-1-ol-3 in the presence of phosphoric acid 88
- I. M. Gverdtsiteli, D. A. Ediberidze, E. A. Chernishev. The hydrogermylation reaction of some silafluorene-containing acetylenic-compounds in the presence of Speier's catalyst 91

## PHYSICAL CHEMISTRY

- N. A. Landia, G. D. Chachanidze, N. G. Lezhava, O. O. Dimitriadi. Investigation of the enthalpies of phase changes on the high temperature calorimeter (HT-1500) in the system  $\text{Li}_2\text{O} \cdot x\text{Fe}_2\text{O}_3$  ( $x=2,3,4,5,6$ ) 96
- G. V. Tsitsishvili, T. G. Andronikashvili, O. S. Banakh, L. V. Strilchuk. Determination of the thermodynamic functions of gases by chromatographic data on Ag NaY—zeolites 100

## CHEMICAL TECHNOLOGY

- A. V. Sarukhanishvili, N. K. Kutateladze. Glass formation in the  $\text{ZnO} \cdot \text{MnO} \cdot \text{B}_2\text{O}_3$  and  $\text{SrO} \cdot \text{MnO} \cdot \text{B}_2\text{O}_3$  systems 103

## PHYSICAL GEOGRAPHY

- V. P. Zenkovich, V. M. Peshkov. The dynamics of the mesorelief forms of the Pitsunda cape steep submarine slopes 107
- V. M. Peshkov. Velocity and bulk of the alongshore pebbles displacement at Pitsunda 111
- D. I. Matkava. Erosion of the shore of northern Kolkheti 115

## GEOLOGY

- M. F. Dzvelaia, V. E. Gvenetadze. On the geology of the western part of south Kakheti (eastern Georgia) and prospects of oil and gas content 120
- T. V. Ivanitski, G. S. Korinteli. On the metallogeny of the ore-region of Tusheti 123

## PALAEONTOLOGY

- T. N. Bogdanova, M. V. Kakabadze. On the systematics of the genus *Ammonitoceras* Dumas, 1876 128

## PETROLOGY

- N. F. Tatrishvili. Evolution of amphibole composition in the metamorphic rocks of the Greater Caucasus 132

## STRUCTURAL MECHANICS

- T. A. Bokhua, Ya. Z. Liner. Toward the calculation of arch dam type shells for seismic effect according to an earthquake accelerogram 136

## MACHINE BUILDING SCIENCE

D. S. Tavkhelidze, N. S. Davitashvili. Technological defect of spherical slider-crank mechanism	140
A. M. Bagdoeva. Mechano-mathematical model of a muscle contracting in isometric mode	144
R. Sh. Varsimashvili. On the formation of hyperboloidal tooth gearing with variable ratio	148
G. G. Tsulaia. Investigation of the resonance vibration regimes of a three-mass vibrator with nonlinear elastic elements	152

## POWER ENGINEERING

L. V. Khvingia. The solution of a boundary-value problem of nonstationary thermal conductivity for two contacting infinite cylinders	156
--	-----

## ELECTROTECHNICS

J. N. Dochviri. Construction and optimization of the dynamics of the automatic control system of twin-engined sectional electric drive of a paper machine with elastic mechanical transmission	160
--	-----

## FORESTRY

E. D. Lobzhanidze, M. A. Sanikidze. The peculiarities of the anatomical structure of the wood of <i>Picea orientalis</i> according to the tree age and storeys of forest stand	164
--	-----

## BOTANY

G. K. Zamtaradze. Toward the study of the morphology and germination processes of the seeds of the genus <i>Sibbaldia</i> L.	168
--	-----

## GENETICS AND SELECTION

M. B. Kvachadze. Concerning the heredity of some quantitative signs of Capsicum ( <i>Capsicum annuum</i> L.)	171
--	-----

## BIOPHYSICS

G. P. Gordadze, O. T. Kenia, T. Ya. Mikhelashvili, G. I. Danelia, G. R. Macharashvili. Study of the possibility of determining macroelements in forages with the help of a neutron generator	176
--	-----

## BIOCHEMISTRY

S. V. Durmishidze, N. E. Zambakhidze, L. Sh. Tushishvili, N. A. Kekelidze. Sterols of grapevine var. "Saperavi"	180
N. N. Nutsubidze, T. F. Marchenko. Nitrate reductase activity of various varieties and race of grapevine	183
E. M. Shilakadze, O. G. Batiashvili, G. V. Tsintsadze, A. P. Narimanidze, A. G. Makharadze, N. V. Revishvili. Testing of manganese, cobalt, nickel, copper, zinc and cadmium coordination compounds with isonicotinic acid hydrazide (INAH) on antitubercular activity	187
A. A. Kalandarishvili, T. V. Miminoshvili. The influence of pH on ATP hydrolysis in the cotyledon microsomes of <i>Phaseolus vulgaris</i>	191
M. A. Bokuchava, V. R. Popov, N. I. Skobeleva, T. A. Petrova. Utilization of green instant tea to enrich various varieties of tea	195

**MICROBIOLOGY AND VIROLOGY**

- M. P. Zhgenti, L. Sh. Chachua, N. M. Ramishvili. The influence of various forms of nitrogen and bacterization on the growth and development of soybean under sterile pot experiment conditions 200
- G. I. Daraselia. The influence of magnetophoresis on the growth and carotinogenesis of *Mycobacterium phlei* 203

**ENTOMOLOGY**

- Sh. G. Sichinava. Reciprocal crossing of *C. p. pipiens* with *C. p. molestus*, blood feeding and fertility of females of parental and hybrid generations 208

**EXPERIMENTAL MORPHOLOGY**

- T. G. Tumanishvili. Growth character of the chick embryo within 9—17 days incubation 211

**PALAEOBIOLOGY**

- A. I. Suladze. On the interrelationships in the system organism-environment from Eupatorian beds 215

**PSYCHOLOGY**

- L. E. Janjgava. The effect of set in analyzing engineering-design systems 219

**PHILOLOGY**

- L. S. Giunashvili. Peasantry in the Persian prose of the 1920s (A. Khodadade's story "The Peasant's Lot") 224

**ETHNOGRAPHY**

- I. Sh. Gagulashvili. Concerning the relationship of exorcism and the song invocations "Javnana" 227

**HISTORY OF ART**

- B. A. Gulashvili. Acoustic side of mode in Sh. S. Aslanishvili's conception of harmony of Georgian folk songs 232



МАТЕМАТИКА

О. В. МЕУНАРГИЯ

ОБ ОДНОЙ СИСТЕМЕ ГРАНИЧНЫХ ЗАДАЧ ЛИНЕЙНОГО  
СОПРЯЖЕНИЯ

(Представлено академиком Н. П. Векуа 15.10.1975)

Рассмотрим плоскость комплексного переменного  $z$  с двумя разрезами:  $(-\infty, -1]$ ,  $[1, \infty)$  и обозначим эту область через  $S$ . Совокупность функций  $F_1(z), F_2(z), \dots, F_m(z)$  назовем вектором  $F(z)$ . Будем говорить, что вектор или матрица удовлетворяет определенному условию, если этому условию удовлетворяют все их компоненты.

Требуется найти мероморфный вектор  $F(z)$  в области  $S$  со следующими свойствами:

$$1) F^*(z) = F(z^*), \quad z \in S; \quad (1)$$

$$2) F^+(t) = \exp[2i\delta(t)] F^-(t), \quad t \in [1, \infty), \quad (2)$$

где  $F^*(t) = \lim_{\varepsilon \rightarrow 0} F(t + i\varepsilon)$ ,  $\delta(t) = \begin{pmatrix} \delta_1(t) & \dots & 0 \\ \vdots & \ddots & \vdots \\ 0 & \dots & \delta_m(t) \end{pmatrix}$ ,  $(3)$

$\delta_k(t)$  — действительные функции, удовлетворяющие условию Гельдера при  $t \in [1, \infty)$  с показателем  $0 < \gamma < 1$ :

$$\delta_k(t) \in H_\gamma([1, \infty)), \quad k = 1, 2, \dots, m, \quad (4)$$

на концах разреза имеем

$$\delta_k(1) = 0, \quad \delta_k(\infty) = p_k \pi, \quad p_k = 0, 1, 2, \dots, N; \quad (5)$$

$$3) F(z) = AF(-z), \quad z \in S, \quad (6)$$

где  $A$  — числовая матрица со свойствами

$$AA = E, \quad \sum_{j=1}^m A_{kj} = 1, \quad k = 1, 2, \dots, m. \quad (7)$$

Нахождение таких функций можно свести к решению хорошо изученной классической задачи линейного сопряжения для нескольких неизвестных функций [1, 2].

На самом деле, из свойств (2) и (6) можно получить граничное условие на разрезе  $(-\infty, -1]$  [3]:

$$F^*(t) = A \exp[-2i\delta(-t)] AF^-(t), \quad \text{на } (-1, 1) \text{ имеем } F^+(t) = F^-(t). \quad (8)$$

Объединяя условия (2) и (8), приходим к следующей граничной задаче на всей действительной оси  $R^1$ :

Найти кусочно-голоморфный вектор  $F(z) = (F_1(z), \dots, F_m(z))$ , имеющий конечный порядок в заданной точке  $a_0$ , с граничной линией  $R^1$  по граничному условию

$$F^+(t) = G(t) F^-(t) \quad \text{на } R^1, \quad (9)$$

где

$$G(t) = \begin{cases} A \exp\{-2i\tilde{\delta}(-t)\} A, & t \in (-\infty, -1], \\ E, & t \in (-1, 1), \\ \exp\{2i\tilde{\delta}(t)\}, & t \in [1, \infty), \end{cases} \quad (10)$$

$$G(t) \in H_v(R^1), \det G(t) \neq 0 \text{ на } R^1.$$

В случае, когда  $A=E$ , система (9) вырождается и решается эффективно [1, 2].

Найдем решение задачи (9) для случая, когда  $A \neq E$ , а  $m=2$ .

Матрица второго порядка  $A \neq E$  со свойствами (7) имеет следующее параметрическое представление:

$$A = \begin{pmatrix} 0 & 1 \\ 1 & 0 \end{pmatrix} + \alpha \begin{pmatrix} 1 & -1 \\ 1 & -1 \end{pmatrix}. \quad (11)$$

На основании (11) задача (9) принимает вид

$$F^+(t) = \begin{cases} \left[ \exp\{-2i\tilde{\delta}(-t)\} + \left[ \alpha \begin{pmatrix} 0 & 1 \\ 1 & 0 \end{pmatrix} + \alpha^2 \begin{pmatrix} 1 & -1 \\ 1 & -1 \end{pmatrix} \right] (\exp\{-2i\tilde{\delta}_1(-t)\} - \exp\{-2i\tilde{\delta}_2(-t)\}) \right] F^-(t), & t \in (-\infty, -1], \\ F^-(t), & t \in (-1, 1), \\ \exp\{2i\tilde{\delta}(t)\} F^-(t), & t \in [1, \infty), \end{cases} \quad (12)$$

где

$$\tilde{\delta}(t) = \begin{pmatrix} \tilde{\delta}_2(t) & 0 \\ 0 & \tilde{\delta}_1(t) \end{pmatrix}. \quad (13)$$

Будем искать решение задачи (12) в виде следующего ряда по параметру  $\alpha$ :

$$F(z) = \sum_{n=0}^{\infty} \alpha^n F(z). \quad (14)$$

Подставляя ряд (14) в (12), для каждого вектора  $F(z)$  получаем рекуррентную неоднородную граничную задачу:

$$F^+(t) = \begin{cases} \exp\{-2i\tilde{\delta}(-t)\} F^-(t) + \left[ \begin{pmatrix} 0 & 1 \\ 1 & 0 \end{pmatrix}^{n-1} F^-(t) + \begin{pmatrix} 1 & -1 \\ 1 & -1 \end{pmatrix}^{n-2} F^-(t) \right] \\ (\exp\{-2i\tilde{\delta}_1(-t)\} - \exp\{-2i\tilde{\delta}_2(-t)\}), & t \in (-\infty, -1], \\ F^-(t), & t \in (-1, 1), \\ \exp\{2i\tilde{\delta}(t)\} F^-(t), & t \in [1, \infty). \end{cases} \quad (15)$$

Задача (15) для каждого  $n$  имеет одинаковую соответствующую однородную задачу:

$$F^+(t) = G_0(t) \overset{\circ}{F}^-(t), \quad t \in R^1, \quad (16)$$

где

$$G_0(t) = \begin{pmatrix} \exp\{2i\mu_1(t)\} & 0 \\ 0 & \exp\{2i\mu_2(t)\} \end{pmatrix}, \quad (17)$$

$$\mu_1(t) = \begin{cases} -\tilde{\delta}_2(-t), & t \in (-\infty, -1], \\ 0, & t \in (-1, 1), \\ \tilde{\delta}_1(t), & t \in [1, \infty), \end{cases} \quad \mu_2(t) = \begin{cases} -\tilde{\delta}_1(-t), & t \in (-\infty, -1], \\ 0, & t \in (-1, 1), \\ \tilde{\delta}_2(t), & t \in [1, \infty). \end{cases} \quad (18)$$

Так как  $G_0(t)$  является диагональной матрицей, то задача (16) разрешима эффективно [2] и ее каноническая матрица имеет вид

$$\chi(z) = \begin{pmatrix} \chi_1(z) & 0 \\ 0 & \chi_2(z) \end{pmatrix}, \quad (19)$$

где

$$\chi_k(z) = \begin{cases} \exp \{ \Gamma_k(z) \} & \text{при } z \in S^+, \\ \exp \{ \Gamma_k(z) \} \left( \frac{z+i}{z-i} \right)^{\kappa} & \text{при } z \in S^-, \end{cases} \quad (20)$$

$S^+$  и  $S^-$  обозначают верхнюю и нижнюю полуплоскости соответственно, а

$$\Gamma_k(z) = \frac{1}{2\pi i} \int_{R^1} \frac{\ln \left( \frac{t+i}{t-i} \right)^{\kappa} \exp \{ 2i\mu_k(t) \}}{t-z} dt, \quad (21)$$

$$\kappa = \frac{1}{\pi} (\tilde{\delta}_1(\infty) + \tilde{\delta}_2(\infty)) = p_1 + p_2, \quad \kappa > 0.$$

Общее решение задачи (16) дается формулой

$$F(z) = \chi(z) Q(z), \quad (22)$$

где  $Q(z)$  — вектор. Его компоненты  $Q_1(z)$  и  $Q_2(z)$  являются полиномами относительно  $\frac{z-i}{z+i}$ , порядок которых не превосходит  $\kappa$ .

На основе (22) можно написать общее решение рекуррентной задачи (15):

$$\begin{aligned} F(z) = & \frac{\chi(z)}{2\pi i} \int_{R^1} [\gamma^*(t)]^{-1} \left[ \begin{pmatrix} 0 & 1 \\ 1 & 0 \end{pmatrix} F^+(t) + \begin{pmatrix} 1 & -1 \\ 1 & -1 \end{pmatrix} F^-(t) \right] \times \\ & \times \frac{\exp \{ -2i\tilde{\delta}_1(-t) \} - \exp \{ -2i\tilde{\delta}_2(-t) \}}{t-z} \xi(t) dt + \chi(z) Q(z), \end{aligned} \quad (23)$$

$$\xi(t) = \begin{cases} 0, & t \in (-\infty, -1], \\ 0, & t \in (-1, 1). \end{cases}$$

При этом [2]

$$F^\pm(t) \in H_v(R^1).$$

Исследуем теперь сходимость ряда (14).

Определим норму в  $H_v(R^1)$  следующим образом:

$$\|\psi\|_v = \max |\psi(t)| + \sup \frac{|\psi(t_1) - \psi(t_2)|}{|t_1 - t_2|^v} |t_1|^v |t_2|^v. \quad (24)$$

При таком определении нормы  $H_v(R^1)$  является полным, нормированным, линейным пространством [1].

Нетрудно убедиться, что если  $\varphi(t)$  и  $\psi(t)$  связаны соотношением

$$\psi(t) = \frac{1}{2\pi i} \int_{R^1} \frac{\varphi(t) dt}{t - t_0}, \quad (25)$$



то имеет место неравенство

$$\|\psi\|_e \leqslant B_v \|\varphi\|_v, \quad (26)$$

где постоянная  $B_v$  не зависит от  $\varphi(t)$ .

Тогда справедливо следующее предложение:

**Теорема.** Существует постоянная  $C > 0$ , такая, что ряд

$$F^\pm(t) = \sum_{n=0}^{\infty} \alpha^n \frac{n}{t^n} F^\pm(t) \quad (27)$$

сходится в  $H_v(R^1)$  при всех

$$\alpha < \max \left\{ 1, \frac{1}{C} \right\}; \quad (28)$$

ряд (14) сходится внутри  $S$  к решению задачи  $F(z)$ .

В заключение заметим, что граничные задачи типа (12) возникают в теории элементарных частиц и эффективное решение этих задач имеет важное значение.

Академия наук СССР  
Математический институт  
им. В. А. Стеклова

(Поступило 20.11.1975)

БАТЫРЕВА ТИКА

М. МЕУНАРГИА

სამეცნიერო ჟურნალის აკოდანათა მრთი სისტემის უმსახიშ

რეზიუმე

ნაპოვნია ამონსნა წრფივი შეუღლების ამოცანათა ერთი სისტემისა, რომელიც მიიღება ელექტროარულ ნაწილაკთა თეორიაში.

MATHEMATICS

O. V. MEUNARGIA

## ON ONE SYSTEM OF BOUNDARY VALUE PROBLEMS OF LINEAR CONJUGATION

Summary

The solution of one system of boundary value problems of linear conjugation arising in elementary particle theory is found.

### ЛІТЕРАТУРА — REFERENCES

- Н. И. Мусхелишвили. Сингулярные интегральные уравнения. М., 1968.
- Н. П. Векуа. Системы сингулярных интегральных уравнений и некоторые граничные задачи. М., 1970.
- Е. И. Оболашвили. Дифференциальные уравнения, т. 10, № 1. 1974.



МАТЕМАТИКА

В. А. ТРЕНОГИН, З. И. ШЕНГЕЛИЯ

О МЕТОДЕ ГАЛЕРКИНА

(Представлено членом-корреспондентом Академии В. Г. Челидзе 21.9.1975)

В статье предлагается применить к методу Галеркина некоторые общие идеи [1], берущие начало от разностных методов.

Пусть  $X_n$  —  $n$ -мерное подпространство банахова пространства  $X$ , а  $T_n$  — проектор  $X$  на  $X_n$ .  $T_n : X \rightarrow X_n$ ,  $T_n X = X_n$ ,  $T_n^2 = T_n$ .

Сохраняя в  $X_n$  норму  $X$ , приходим к частному случаю  $T$ -сходимости [1].

Пусть  $\{x_n\}_{n=1}^\infty$ -последовательность из  $X$  такова, что  $x_n \in X_n$ , тогда  $T$ -сходимость  $\{x_n\}_{n=1}^\infty$  к  $x$  означает, что  $\|x_n - T_n x\| \rightarrow 0$  при  $n \rightarrow \infty$ .

Определение 1. Будем говорить, что  $x$  является  $T$ -предельной точкой или предельной точкой последовательности подпространств  $\{X_n\}_{n=1}^\infty$ , если  $T_n x \rightarrow x$  при  $n \rightarrow \infty$ . Если любой  $x \in X$  является  $T$ -предельной точкой, то  $\{X_n\}_{n=1}^\infty$  называют предельно  $T$ -плотной в  $X$ .

Если  $\{X_n\}_{n=1}^\infty$  предельно  $T$ -плотно в  $X$ , то понятия  $T$ -сходимости и сходимости по норме совпадают.

Выберем в  $X$  линейную независимую систему элементов  $\{\varphi_i\}_{i=1}^\infty$  и обозначим через  $\{\gamma_j\}_{j=1}^\infty$  биортогональную к ней систему из  $X^*$ .

Положим для любого  $x \in X$   $T_n x = \sum_{i=1}^n \langle x, \gamma_i \rangle \varphi_i$ . Числа  $\langle x, \gamma_i \rangle$ , полу-

ном  $\sum_{i=1}^n \langle x, \gamma_i \rangle \varphi_i$  и формальный ряд  $\sum_{i=1}^\infty \langle x, \gamma_i \rangle \varphi_i$  будем называть соответственно коэффициентами, полигомом и рядом Галеркина — Фурье элемента  $x$  по биортогональной паре систем  $\{\varphi_i\}_{i=1}^\infty$  и  $\{\gamma_j\}_{j=1}^\infty$ .

Вопрос о том, для каких  $x$  ряд Галеркина — Фурье от  $x$  сходится к  $x$  (или, иначе, какие  $x$  являются  $T$ -предельными точками), решается по-своему для каждой биортогональной пары систем, порождающих проектор  $T$ . Иногда бывает важно оценить скорость стремления  $T_n x$  к  $x$ . Обычно нужная скорость обеспечивается достаточной гладкостью  $x$ . Например, если  $X = H$  — гильбертово пространство, то систему  $\{\varphi_i\}_{i=1}^\infty$  можно выбрать

ортонормированной, тогда  $T_n$  — ортопроектор,  $T_n^* = T_n$  и  $T_n x = \sum_{i=1}^n \langle x, \varphi_i \rangle \varphi_i$

и равенство  $\|x - T_n x\|^2 = \sum_{i=n+1}^\infty \langle x, \varphi_i \rangle^2$  влечет за собой полноту системы  $\{\varphi_i\}_{i=1}^\infty$  и сходимость  $\{T_n x\}_{n=1}^\infty$  к  $x$ .

Пусть  $A$ —линейный, вообще говоря, неограниченный оператор с плотной областью определения  $D(A)$  в банаховом пространстве  $X$  и с областью значения  $R(A)$  в банаховом пространстве  $Y$ .

Далее, пусть  $\{X_n\}_{n=1}^{\infty} \subset D(A)$  и  $\{Y_n\} \subset Y$ —последовательности  $n$ -мерных подпространств, а  $T'_n : X \rightarrow X_n$  и  $T''_n : Y \rightarrow Y_n$ —проекtorы.  $R(T'_n) = X_n$ ,  $R(T''_n) = Y_n$ .

В качестве оператора  $A_n$ , аппроксимирующего оператор  $A$ , возьмем сужение оператора  $T''_n A$  на  $X_n$ .  $A_n = T''_n A / X_n$ .

**Определение 2.** Будем говорить, что выполнено условие аппроксимации на элементе  $x \in D(A)$ , если

$$\|T''_n Ax - T''_n AT'_n x\| \rightarrow 0 \text{ при } n \rightarrow \infty.$$

Пусть  $\{z_l\}_{l=1}^{\infty}$ —линейная независимая система из  $Y$ , а  $\{\phi_l\}_{l=1}^{\infty}$ —биортогональная к ней система из  $D(A^*) \subset Y^*$ , тогда получаем, что

$$\|T''_n Ax - T''_n AT'_n x\| \leq \|x - T'_n x\| \sum_{l=1}^n \|A^* \phi_l\| \|z_l\|,$$

и вопрос о выполнении условия аппроксимации сводится к вопросу о порядке убывания величины  $\|x - T'_n x\|$ . Точнее, если  $\|x - T'_n x\| = o(\sigma_n^{-1})$ , где

$\sigma_n = \sum_{i=1}^n \|A^* \phi_i\| \|z_i\|$ , то на элементе  $x \in D(A)$  последовательность операторов  $\{A_n\}_{n=1}^{\infty}$  аппроксимирует оператор  $A$ . Если, кроме того,  $A^* \phi_i = \sum_{k=1}^l c_{ik} \gamma_k$ , то условие аппроксимации выполняется точно, т. е.  $T''_n Ax - T''_n AT'_n x = 0$  для любого  $n$ . В частности, так будет в случае метода Фурье, когда  $X = Y$ ,  $A$ —симметричный оператор и  $\gamma_i = \phi_i$ —собственные функции оператора  $A$ .

Пусть теперь  $X$  и  $Y$ —гильбертовы пространства, а  $\{\varphi_l\}_{l=1}^{\infty}$  и  $\{\psi_j\}_{j=1}^{\infty}$ —ортонормированные системы в  $X$  и  $Y$  соответственно,  $\psi_l \in D(A^*)$  для любого  $i = 1, 2, \dots$

$$\text{Положим } \sigma_n = \sqrt{\sum_{i=1}^n \|A^* \phi_i\|^2}.$$

Тогда если  $\|T'_n x - x\| = o(\sigma_n^{-1})$ , то на элементе  $x$  выполняется условие аппроксимации. Это означает, что достаточно быстрая сходимость ряда Галеркина—Фурье элемента  $x$  по системе  $\{\varphi_l\}_{l=1}^{\infty}$  обеспечивает условие аппроксимации.

**Определение 3.** Будем говорить, что выполнено условие устойчивости метода Галеркина, если существует такой  $\gamma > 0$ , что для любого  $x_n \in X_n$

$$\|T''_n Ax_n\| \geq \gamma \|x_n\|.$$

Если  $X$  и  $Y$ —гильбертовы пространства, то условие устойчивости принимает вид

$$\|T_n^* Ax_n\|^2 = \sum_{k=1}^n \left[ \sum_{l=1}^n \xi_l (A\varphi_l, \psi_k) \right]^2 \geq \gamma^2 \sum_{l=1}^n \xi_l^2,$$

где  $\xi_l$  — коэффициенты Галеркина — Фурье от элемента  $x_n$ , или

$$\sum_{l=1}^n \sum_{j=1}^n c_{lj} \xi_l \xi_j \geq \gamma^2 \sum_{l=1}^n \xi_l^2, \text{ где } c_{lj} = \sum_{k=1}^n (A\varphi_l, \psi_k) (A\varphi_l, \psi_k),$$

что является условием положительной определенности квадратичной формы.

Если  $X=Y=H$  и  $\varphi_l=\psi_l$   $i=1, 2, \dots$ , условие устойчивости естественно упрощается, но в этом случае существует широкий класс операторов  $A$ , для которых это условие проверяется тривиально.

**Предложение 1.** Если для любого  $x \in D(A)$  имеем

$$|(Ax, x)| \geq \gamma (x, x),$$

то выполняется условие устойчивости.

**Замечание 1.**  $|(Ax, x)| \geq \gamma (x, x)$  равносильно одному из следующих условий: либо  $(Ax, x) \geq \gamma (x, x)$  либо  $(Ax, x) \leq -\gamma (x, x)$  для любого  $x \in D(A)$ .

Рассмотрим уравнение

$$Ax = y, \quad (1)$$

где  $A$  — линейный неограниченный оператор из банахова пространства  $X$  в банахово пространство  $Y$ , а  $y \in R(A)$ .

Выберем в  $D(A) \subset X$  координатную систему  $\{\varphi_i\}_{i=1}^\infty$  и будем приближенное решение искать в виде

$$x_n = \sum_{l=1}^n \xi_l \varphi_l. \quad (2)$$

Пусть  $\{\psi_j\}_{j=1}^\infty$  — линейная независимая система элементов из  $I^*$ . Для определения  $\xi_1, \dots, \xi_n$  потребуем, чтобы

$$\sum_{i=1}^n (A\varphi_i, \psi_j) = (y, \psi_j), \quad j = 1, 2, \dots, n. \quad (3)$$

Умножим  $j=e$  уравнение на  $z_j$ , где  $\{z_j\}_{j=1}^\infty$  — биортогональная к  $\{\psi_j\}_{j=1}^\infty$  система, и перепишем (3) так:

$$T_n^* Ax_n = T_n^* y. \quad (4)$$

Уравнение (4) называется приближенным уравнением, а решение его, существование которого предполагается, — приближенным решением.

**Теорема.** Пусть на решении  $x$  уравнения (1) выполнены условие аппроксимации и условие устойчивости, тогда  $x_n \rightarrow x$ . Если, кроме того,  $x$  является  $T'$ -предельной точкой, то  $x_n \rightarrow x$ .

**Следствие 1.** Если  $x$  является  $T'$ -предельной точкой, то условия теоремы обеспечивают единственность решения исходного уравнения (1).

**Следствие 2.** Пусть  $A$ —линейный оператор из  $H \rightarrow H$ , причем существует такой  $\gamma > 0$ , что для любого  $x \in D(A)$   $|(Ax, x)| \geq \gamma(x, x)$ . Далее, пусть  $\{T_n\}_{n=1}^{\infty}$ —последовательность ортотрансформаций в  $H$  и  $\{T_n H\}_{n=1}^{\infty}$  предельно  $T$ -плотно в  $H$ . Тогда если коэффициенты Галеркина—Фурье точного

решения  $(x, \varphi_n) = o(\sigma_n^{-1})$ , где  $\sigma_n = \sqrt{\sum_{i=1}^n \|A^* \varphi_i\|^2}$ , то метод Галеркина сходится.

**Следствие 3.** Пусть  $A$ —линейный оператор из банахова пространства  $X$  в сопряженное пространство  $X^*$ .  $D(A)$  плотно в  $X$  и  $R(A) \subset X^*$ . Пусть  $\{\varphi_i\}_{i=1}^{\infty}$ —координатная система из  $D(A)$ , а  $\{\gamma_j\}_{j=1}^{\infty}$ —биортогональная к ней система из  $X^*$ .

В случае рефлексивности  $X$  получим  $T_n'' = T_n^*$  ([2], VI.3.3). Условие аппроксимации выполнено, если

$$\|x - T_n' x\| = o(\sigma_n^{-1}) \text{ где } \sigma_n = \sqrt{\sum_{i=1}^n \|A^* \varphi_i\| \|\gamma_i\|},$$

а условие устойчивости выполняется для тех операторов  $A$ , которые удовлетворяют условию

$$|\langle Ax, x \rangle| \geq \gamma \|x\|^2.$$

**Замечание 2.** Из условия  $|\langle Ax, x \rangle| \geq \gamma \|x\|^2$  вытекает, что  $N(A) = \{0\}$  и  $R(A) = \overline{R(A)}$ , т. е.  $A^{-1}$  существует на  $Y$  и ограничен.

Московский институт стали  
и сплавов

(Поступило 24.10.1975)

ЗАСЛУЖЕННЫЙ

З. И. ШЕНГЕЛИЯ

ДИПЛОМНАЯ РАБОТА ПО ДИСЦИПЛИНЕ

«Математика»

Задача № 1  
 Год выполнения: 1975 г.  
 Научный руководитель: доктор физико-математических наук, профессор  
 В. А. Треногин

MATHEMATICS

V. A. TRENOGIN, Z. I. SHENGELIA

ON THE GALERKIN METHOD

Summary

The Galerkin method is considered from the viewpoint of the theory of finite differences. The approximation conditions of the linear operators and of the Galerkin method stability are obtained.

ЛІТЕРАТУРА — REFERENCES

1. В. А. Треногин. ДАН СССР, 201, № 6, 1971.
2. Н. Данфорд, Дж. Шварц. Линейные операторы, Общая теория. М., 1963.



Т. К. КАНДЕЛАКИ

ВЕКТОРНЫЕ РАССЛОЕНИЯ И К-ТЕОРИЯ НАД  
КОММУТАТИВНОЙ  $C^*$ -АЛГЕБРОЙ С ЕДИНИЦЕЙ

(Представлено академиком Г. С. Чогошвили 27.10.1975)

Пусть  $A$  — коммутативная  $C^*$ -алгебра с единицей [1]. Рассматриваются векторные расслоения, слоями которых являются конечно порожденные проективные  $A$ -модули (естественно топологизированные), и их функтор Гротендика  $K_A$ . Над категорией компактных топологических пространств функтор Гротендика  $K_A$  определяет экстраординарную теорию когомологии с периодом два [2]. В частности, если  $A$  —  $C^*$ -алгебра комплексных чисел, то получится комплексная  $K$ -теория [3], обозначаемая здесь через  $K_C$ ; более того,  $K_A$ -функтор можно вычислить с помощью функтора  $K_C$ . С другой стороны, при фиксированном  $X$  функтор  $K_{A, \cdot}(X)$  является ковариантным функтором из категории коммутативных  $C^*$ -алгебр с единицей в категорию абелевых групп и  $K_{A^n}(X) = K^n(\hom(X, A))$ , где  $K^n$  — функтор Каруби, а  $\hom(X, A)$  —  $C^*$ -алгебра непрерывных отображений из  $X$  в  $A$  [4].

Пусть  $M$  — свободный  $A$ -модуль с конечным базисом  $(e_i)_{1 \leq i \leq n}$ ,  $m \in M$ ,

$$m = \sum_{i=1}^n a_i e_i, \quad a_i \in A; \quad \text{тогда положим } \|m\|_{(e_i)} = \max_{1 \leq i \leq n} \|a_i\|.$$

Лемма 1. Пусть  $M$  — свободный  $A$ -модуль с базисами  $(e_i)_{1 \leq i \leq n}$  и  $(e'_i)_{1 \leq i \leq n}$ . Тогда нормы  $\|\cdot\|_{(e_i)}$  и  $\|\cdot\|_{(e'_i)}$  эквивалентны; кроме того, в топологии, определяемой нормой, все  $A$ -гомоморфизмы свободных  $A$ -модулей с конечным базисом непрерывны.

Если  $P$  — конечно порожденный проективный  $A$ -модуль, то на  $P$  можно определить индуцированную топологию. Имеет место аналог леммы 1; кроме того, если  $P' \subset P$  и  $P$  — конечно порожденный проективный  $A$ -модуль, то  $P'$  замкнуто в  $P$  и существует  $A$ -подмодуль  $P''$ , конечно порожденный и проективный, такой, что  $P' \cap P'' = 0$ ,  $P' \oplus P'' = P$ .

В дальнейшем будем рассматривать стандартные проективные  $A$ -модули:  $A^n$  и их проективные  $A^n$ -подмодули, обозначаемые через  $P, P'$ ,  $P''$ , и т. д.

Пусть  $X$  — топологическое пространство,  $E$  — множество,  $\pi: E \rightarrow X$  — отображение,  $P$  — стандартный  $A$ -модуль (топологизированный вышеуказанным образом),  $E_x$  — множество  $\pi^{-1}(x)$ ,  $x \in X$ .

**Определение 2.** Векторная карта на  $E$  над  $A$  — это тройка  $(U, \varphi, P)$ , где  $\varphi: \pi^{-1}(U) \rightarrow U \times P$  — биективное отображение, такое, что  $\pi(\varphi^{-1}(b, h)) = b$  [5].

**Определение 3.** Говорят, что две векторные карты  $(U, \varphi, P)$  и  $(U', \varphi', P')$  на  $E$  над  $A$  согласованы, если существует такое непрерывное отображение  $\lambda: U \cap U' \rightarrow \text{hom}_A(P, P')$ , что  $t'_x = t_x \circ \lambda(x)$ , где  $t_x = \varphi^{-1}(b, \cdot)$  и  $t'_x = \varphi'^{-1}(b, \cdot)$ .

**Определение 4.** Атласом называется множество согласованных карт  $\{(U_i, \varphi_i, P_i)\}_{i \in I}$ , такое, что  $\bigcup_{i \in I} U_i = X$ . Два векторных атласа называются эквивалентными, если их объединение является атласом на  $E$  над  $A$ . Класс эквивалентных атласов называется расслоением над  $A$ .

Это определение эквивалентно следующему определению:

**Определение 5.** Векторное расслоение — это непрерывное отображение  $\pi: E \rightarrow X$ , такое, что

1. Для каждой точки  $x \in X$   $\pi^{-1}(x)$  имеет структуру конечно порожденного  $A$ -модуля с естественной топологией.

2. Для каждой точки  $x \in X$  найдется такая окрестность  $U$ , что  $E|_U$  — тривиальное расслоение.

Пусть  $X$  и  $Y$  — два топологических пространства,  $f: X \rightarrow Y$  — непрерывное отображение,  $E$  и  $F$  — векторные расслоения на  $X$  и  $Y$  соответственно над  $A$ . Говорят, что отображение  $g: E \rightarrow F$  есть  $f$ -морфизм векторных расслоений над  $A$ , если для всякой точки  $x_0 \in X$  существуют карты  $(U, \varphi, P)$  и  $(U', \varphi', P')$  соответственно на  $x_0$  и на  $f(x_0)$  и непрерывное отображение  $\lambda: U \rightarrow \text{hom}_A(P, P')$ , такое, что  $f(U) \subset U'$  и  $g_x \circ t_x = t'_{f(x)} \circ \lambda(x)$ ,  $x \in U$ , где  $g_x = g|_{E_x}$  и  $t_x(\alpha) = \varphi^{-1}(x, \alpha)$ .

Можно построить прямые суммы и тензорные произведения векторных расслоений, а также расслоения полилинейных отображений [5].

В дальнейшем  $X$  — компактное пространство. Рассмотрим моноид  $\text{Vect}_A(X)$  векторных расслоений на  $X$  над  $A$  с точностью до изоморфизма и его группу Гrotендика  $K_A(X)$ .

Если  $f: X \rightarrow Y$  — непрерывное отображение, то имеем гомоморфизм групп  $f^*: K_A(Y) \rightarrow K_A(X)$ . Таким образом,  $K_A$  — функтор из категории компактных топологических пространств со значениями в категории абелевых групп.

**Лемма 6.** Пусть  $f_0, f_1: X \rightarrow Y$  — непрерывные отображения компактных пространств,  $F: X \times I \rightarrow Y$  — их гомотопия, тогда  $f_0^* = f_1^*$ .

Определим высшие функторы  $K_A^n(X)$  и  $K_A^n(X, Y)$  так же, как в книге Атьи [3].

**Теорема 7 (вырезания).** Пусть  $X_1$  и  $X_2$  — компактные топологические пространства, а  $j: (X_1, X_1 \cap X_2) \rightarrow (X_1 \cup X_2, X_2)$  — отображение вырезания; тогда гомоморфизм

$$j^*: K^n(X_1 \cup X_2, X_2) \rightarrow K^n(X_1, X_1 \cap X_2)$$

есть изоморфизм,  $n \in N$ .

**Теорема 8 (о точности).** Для пары пространств  $(X, Y)$  имеет место точная последовательность

$$\cdots \rightarrow K_A^{-2}(Y) \rightarrow K_A^{-1}(X, Y) \rightarrow K_A^{-1}(X) \rightarrow K_A^{-1}(Y) \rightarrow K_A^0(X, Y) \rightarrow K_A^0(X) \rightarrow K_A^0(Y).$$

Пусть  $\varphi: A \rightarrow A'$  — гомоморфизм алгебр; тогда имеем естественный морфизм функторов  $\varphi_*: K_A \rightarrow K_{A'}$ ; в частности, имеем гомоморфизм  $\varphi: C \rightarrow A$ , определяемый формулой  $\varphi(\alpha) = \alpha \cdot 1$ ; он определяет естественный морфизм функторов  $\varphi_*: K_C \rightarrow K_A$ .

**Теорема 9 (о периодичности).** Для любого пространства  $X$  гомоморфизм  $\mu: K_A(X) \otimes K_C(S^2) \rightarrow K_A(X \times S^2)$ , определенный формулой  $\mu(a \otimes b) = (\pi_1^*(a))(\pi_2^*\varphi_*(b))$ , является изоморфизмом, где  $\pi_1$  и  $\pi_2$  — проекции на сомножители.

Имеет место следующая теорема представления:

**Теорема 10.** Пусть  $A$  — коммутативная  $C^*$ -алгебра с единицей,  $\chi(A)$  — пространство характеров алгебры  $A$ . Тогда имеет место естественный изоморфизм групп

$$\Gamma: K_C(X \times \chi(A)) \xrightarrow{\sim} K_A(X).$$

Пусть  $X$  — фиксированное пространство; тогда для произвольной  $C^*$ -алгебры с единицей имеет место изоморфизм  $K_A^n(X) = K^n(\text{hom}(X, A))$ , где  $K^n$  — функтор Каруби, определенный на категории коммутативных  $C^*$ -алгебр с единицей, а  $\text{hom}(X, A)$  — коммутативная  $C^*$ -алгебра с единицей непрерывных отображений из  $X$  в  $A$ .

Тбилисский государственный университет

(Поступило 13.11.1975)

გათივაზისა

თ. კანდელაკი

ვიქტორ ვიტავი და  $K$ -თორია კომუტატურ  
 $C^*$ -ალგებრაზე მრთელობი

რეზიუმე

ვთქვათ  $A$  კომუტატური  $C^*$ -ალგებრა ერთეულით. განისაზღვრება ვექტორული ფიბრაციები და  $K_A^n$ -ფუნქტორები  $A$  ალგებრაზე. კომპაქტურ სივრცეთა კატეგორიაზე  $K_A^n$ -ფუნქტორები განსაზღვრავს ექსტრაორდინარულ კომოდოვგის თეორიას.

MATHEMATICS

T. K. KANDELAKI

VECTOR BUNDLES AND  $K$ -THEORY OVER COMMUTATIVE  
 UNITARY  $C^*$ -ALGEBRA

Summary

The vector bundles whose fibers are finitely generated projective naturally topologized  $A$ -modules and their  $K_A^n$ -functors are defined for a commu-

tative unitary  $C^*$ -algebra  $A$ . These  $K_A^n$ -functors provide an extraordinary cohomology theory with period 2. Let  $K_e$  be the complex  $K$ -functor and  $\chi(A)$  the characteristic space of the algebra  $A$ . Then the natural isomorphism  $\Gamma : K_e(X \times \chi(A)) \xrightarrow{\sim} K_A(X)$  is proved.

ЛІСТОВАЧУКА — ЛІТЕРАТУРА — REFERENCES

1. Н. Бурбаки. Спектральная теория. М., 1972.
2. A. Dold. On General Cohomology. Aarhus, 1968.
3. М. Атья. К-теория. М., 1967.
4. М. Кагоиши. Actes, Congrès intern. Math. 2, 1970, 27 — 32.
5. Н. Бурбаки. Дифференциальные и аналитические многообразия. М., 1975.



МАТЕМАТИКА

М. Х. НАСИБОВ

ОБОБЩЕНИЕ ТЕОРЕМЫ КАНТОРА НА СЛУЧАЙ ДВОИНЫХ ТРИГОНОМЕТРИЧЕСКИХ РЯДОВ

(Представлено членом-корреспондентом Академии В. Г. Челидзе 8.7.1975)

Проблема единственности кратных тригонометрических рядов не только не решена до конца в общем виде, но даже не решена для наиболее простого случая.

В работе [1] была установлена следующая теорема Г. Кантора: если двойной тригонометрический ряд

$$\sum_{m=0}^{\infty} \sum_{n=0}^{\infty} \lambda_{m,n} A_{m,n}(x, y) \quad (1)$$

сходится к нулю всюду на  $T = [0, 2\pi]^2$ , то все его коэффициенты равны нулю.

В работе [2] доказаны теоремы единственности для рядов (1), обладающих лакунарностью, являющиеся аналогами теоремы Зигмунда.

В настоящей статье мы предполагаем сходимость ряда (1) к нулю всюду в  $T$ , за исключением конечного числа точек.

Пусть коэффициенты ряда (1) удовлетворяют условиям

$$a_{m,n} = O(1), \quad b_{m,n} = O(1), \quad c_{m,n} = O(1), \quad d_{m,n} = O(1) \quad (2)$$

для всех  $m$  и  $n$ .

Определим функцию  $F(x, y)$  так:

$$F(x, y) = \frac{a_{0,0}}{16} x^2 y^2 - \frac{x^2}{4} \sum_{n=1}^{\infty} \frac{A_{0,n}(x, y)}{n^2} - \quad (3)$$

$$- \frac{y^2}{4} \sum_{m=1}^{\infty} \frac{A_{m,0}(x, y)}{m^2} + \sum_{m=1}^{\infty} \sum_{n=1}^{\infty} \frac{A_{m,n}(x, y)}{m^2 n^2}.$$

Положим

$$\begin{aligned} \Delta^2(F; x, y, 2u, 2v) &= F(x+2u, y+2v) + F(x-2u, y+2v) + \\ &+ F(x+2u, y-2v) + F(x-2u, y-2v) + 4F(x, y) - \\ &- 2F(x+2u, y) - 2F(x-2u, y) - 2F(x, y+2v) - 2F(x, y-2v). \end{aligned}$$

Легко показать, что

$$\frac{\Delta^2(F; x, y, 2u, 2v)}{16u^2v^2} = \sum_{m=0}^{\infty} \sum_{n=0}^{\infty} \lambda_{m,n} A_{m,n}(x, y) \left( \frac{\sin mu}{mu} \right)^2 \left( \frac{\sin nv}{nv} \right)^2.$$

Если существует определенный предел

$$\lim_{u, v \rightarrow 0} \frac{\Delta^2(F; x, y, 2u, 2v)}{16u^2v^2},$$

то он называется второй производной Шварца функции  $F(x, y)$  в точке  $(x, y)$  и обозначается через  $D^2 F(x, y)$ .

Двойной ряд (1) называется суммируемым методом Римана к функции  $f(x, y)$  в точке  $(x, y)$ , если

$$D^2 F(x, y) = f(x, y).$$

Обозначим через  $E$  множество точек  $(x_i, y_j)$  ( $i = 1, 2, \dots, m$ ,  $j = 1, 2, \dots, n$ ), лежащих внутри  $T$ .

*Теорема 1. Если двойной тригонометрический ряд (1) сходится всюду в  $T - E$  к числу 0, то он суммируем методом Римана всюду в  $T - E$  к числу 0.*

*Лемма 1.* Пусть функция  $F(x, y)$  непрерывна на  $T$ . Если всюду в  $T - E$  будет

$$D^2 F(x, y) = 0,$$

а в точках  $(x_i, y_j)$  множества  $E$

$$\lim_{u, v \rightarrow 0} \frac{\Delta^2(F; x_i, y_j, 2u, 2v)}{4uv} = 0, \quad (4)$$

то  $F(x, y)$  имеет в  $T$  вид

$$F(x, y) = A(y)x + B(y) + C(x)y + D(x),$$

где  $A(y)$ ,  $B(y)$ ,  $C(x)$  и  $D(x)$ —непрерывные функции в  $[0, 2\pi]$ .

*Лемма 2.* Если коэффициенты ряда (1) удовлетворяют условиям (2) и

$$a_{m,n} = o(1), \quad b_{m,n} = o(1), \quad c_{m,n} = o(1), \quad d_{m,n} = o(1)$$

при  $m, n \rightarrow \infty$ ,

то в любой точке  $(x, y) \in T$  функция  $F(x, y)$ , определенная равенством (3), удовлетворяет соотношению

$$\lim_{u, v \rightarrow 0} \frac{\Delta^2(F; x, y, 2u, 2v)}{4uv} = 0. \quad (5)$$

*Теорема 2. Если двойной тригонометрический ряд (1) сходится на  $T - E$ , то в любой точке  $(x, y) \in T$  функция  $F(x, y)$ , определенная равенством (3), удовлетворяет соотношению (5).*

*Теорема 3. Если двойной тригонометрический ряд (1) сходится всюду в  $T - E$  к числу 0, то все его коэффициенты равны нулю.*

Азербайджанский политехнический  
институт

(Поступило 31.7.1975)

a. ნადამვი

კანტორის თაორგების განხორგავისა ირჩაგი ტრიბუნობის მიზანი  
მჯდომარეობის შემთხვევაში

၁၃

განხილულია ორმაგი ტრიიგონომეტრიული შეკრივის ერთადერთობის თეორემა, რომელიც წარმოადგენს გ. კანტორის თეორემის ანალოგს.

## MATHEMATICS

M. Kh. NASIBOV

## GENERALIZATION OF CANTOR'S THEOREM IN THE CASE OF DOUBLE TRIGONOMETRIC SERIES

## Summary

The following theorem is proved: if a double trigonometric series converges at all points, all the coefficients of the series will be equal to zero, except the set of finite quantity of the points.

ଲୋକୀଳାନ୍ତିରିକା — ЛИТЕРАТУРА — REFERENCES

- <sup>1</sup> Y. M. Ash, G. V. Welland. Trans. Am. Math. Soc., 163, 1972, 401–436.  
<sup>2</sup> В. Ф. Гапошкин. Матем. зам., т. 16, вып. 6, 1974, 865–870.



МАТЕМАТИКА

А. Ч. ЧИГОГИДЗЕ

КОМБИНАТОРНЫЙ ВЕС ПРОСТРАНСТВ ОТНОСИТЕЛЬНО  
НОРМАЛЬНОЙ БАЗЫ

(Представлено академиком Г. С. Чогошвили 26.12.1975)

В работах [1—3] Ю. М. Смирновым введено понятие комбинаторного веса  $\sigma(X)$  топологического пространства  $X$  и, в частности, доказано, что комбинаторный вес нормального пространства равен весу его максимального бикомпактного расширения. Если пространство ненормально, то указанная теорема Смирнова не верна. В самом деле, пусть  $X$  есть ненормальное пространство, полученное присоединением к счетному дискретному пространству  $N$  множества различных точек мощности  $2^{\aleph_0}$  из  $\beta N \setminus N$  (существование таких точек следует из того, что  $\beta N \setminus N$  не удовлетворяет условию Суслина; см. [4]). Покажем, что  $\sigma(X) \neq \tau(\beta X)$ , где  $\tau(\beta X)$ —вес пространства  $\beta X$ . Из построения пространства  $X$  следует, что  $\beta X = \beta N$ , и поэтому имеем равенство  $\tau(\beta X) = 2^{\aleph_0}$ . В силу того, что  $X \setminus N$  замкнуто в  $X$ , и того факта, что функция  $\sigma$  монотонна по замкнутым множествам, имеем  $\sigma(X \setminus N) \leq \sigma(X)$ . Так как комбинаторный вес дискретного пространства мощности  $\tau$  равен  $2^\tau$ , а  $X \setminus N$  дискретно в индуцированной топологии, то  $\sigma(X \setminus N) = 2^{2^{\aleph_0}}$  и, следовательно,  $\sigma(X) > \tau(\beta X)$ . Таким образом, существование требуемого пространства показано.

Тем не менее, мы покажем, что можно таким образом модифицировать понятие комбинаторного веса (см. определение 1), что для модифицированного комбинаторного веса вышеуказанный теорема Смирнова (в соответствующей формулировке) будет верна уже для любых вполне регулярных пространств (см. теорему 1).

Пусть  $Z$ —какая-нибудь нормальная база вполне регулярного пространства (известно, что нормальные базы существуют во вполне регулярных и только в таких пространствах [5]). Систему, составленную из дополнений к элементам нормальной базы  $Z$ , обозначим через  $CZ$ . Покрытия, составленные из элементов системы  $CZ$ , назовем  $CZ$ -покрытиями. Условимся через  $\tau(X)$  обозначать вес пространства  $X$ , через  $Z_0$ —систему всех нуль-множеств [6] вполне регулярного пространства, через  $\omega(Z)$ —бикомпактное расширение вполне регулярного пространства, построенное на основе нормальной базы [5]. Под покрытием будем понимать конечные покрытия.

Определение 1. Множество  $\Sigma$ , состоящее из  $CZ$ -покрытий пространства  $X$ , назовем определяющей системой  $CZ$ -покрытий пространства. „Зем. Зн.”, № 82, № 1, 1976

ства  $X$ , если в каждое  $CZ$ -покрытие пространства  $X$  вписано хотя бы одно  $CZ$ -покрытие, являющееся элементом системы  $\Sigma$ . Наименьшее кардинальное число, являющееся мощностью какой-либо определяющей системы  $CZ$ -покрытий пространства  $X$ , назовем комбинаторным  $Z$ -весом пространства  $X$  и обозначим через  $\sigma(X, Z)$ .

Имеют место следующие предложения, приводимые без доказательств за неимением места.

**Лемма 1.** Если  $X$  — вполне регулярное пространство и  $Z$  — произвольная нормальная база, то  $\tau(X) \leq \sigma(X, Z) \leq 2^{\tau(X)}$ .

**Лемма 2.** Если  $X$  — бикомпакт и  $Z$  — произвольная нормальная база, то  $\tau(X) = \sigma(X, Z)$ .

При помощи лемм 1 и 2 можно доказать, что имеет место

**Теорема 1.** Комбинаторный  $Z$ -вес вполне регулярного пространства равен весу его бикомпактного расширения  $\omega(Z)$ .

Так как нуль-множества образуют нормальную базу во вполне регулярии пространстве и бикомпактное расширение  $\omega(Z_0)$ , соответствующее этой нормальной базе  $Z_0$ , гомеоморфно максимальному бикомпактному расширению данного пространства (см. [6]), то имеем

**Следствие 1.** Комбинаторный  $Z_0$ -вес вполне регулярного пространства равен весу его максимального бикомпактного расширения.

В нормальном пространстве система всех замкнутых множеств тоже образует нормальную базу, которую мы обозначим через  $Z_1$ . Известно, что соответствующее бикомпактное расширение  $\omega(Z_1)$  совпадает с расширением Уолмена данного пространства, которое в силу нормальности данного пространства, в свою очередь, совпадает с расширением Стоуна—Чеха. Таким образом, и вышеупомянутая теорема Смирнова есть следствие теоремы 1.

**Следствие 2.** Если  $X$  — нормальное пространство, то  $\sigma(X) = \sigma(X, Z_0)$ .

**Следствие 3.** Пусть  $Z$  — такая нормальная база вполне регулярии пространства  $X$ , что  $\omega(Z)$  гомеоморфно  $\beta X$ . Если при этом вполне регулярие пространство  $Y$  является непрерывным образом пространства  $X$ , то  $\sigma(Y, Z') \leq \sigma(X, Z)$ , где  $Z'$  — любая нормальная база пространства  $Y$ . В частности, если вполне регулярие пространство  $Y$  является непрерывным образом вполне регулярии пространства  $X$ , то  $\sigma(Y, Z') \leq \sigma(X, Z_0)$ , где  $Z'$  — любая нормальная база пространства  $Y$ .

**Определение 2.** Нормальную базу  $Z$  вполне регулярии пространства  $X$  назовем нормальной  $A$ -базой, если каждое открыто-замкнутое множество из  $X$  является элементом  $Z$ .

**Определение 3.** Нормальную базу  $Z$  вполне регулярии пространства  $X$  назовем нормальной  $B$ -базой, если функция  $\sigma$  монотонна по замкнутым множествам в метрических пространствах.

**Определение 4.** Нормальную базу  $Z$  вполне регулярии пространства  $X$  назовем нормальной  $AB$ -базой, если она является и нормальной  $A$ -базой и нормальной  $B$ -базой.

**Лемма 3.** Если  $X$  — дискретное пространство мощности  $\tau$ , то  $\sigma(X, Z) = 2^\tau$ , где  $Z$  — любая нормальная  $A$ -база пространства  $X$ .

**Лемма 4.** Если  $Z$  — произвольная нормальная  $AB$ -база в некомпактном метризуемом пространстве  $X$ , то  $\sigma(X, Z) \geq 2^{\aleph_0}$ .

При помощи лемм 1, 2, 3 и 4 можно доказать, что имеет место

**Теорема 2.** Для того чтобы  $T_1$ -пространство  $X$ , состоящее из бесконечного множества точек, было компактом, необходимо и достаточно, чтобы в нем существовала хотя бы одна нормальная  $AB$ -база  $Z$ , такая, что  $\sigma(X, Z) = \aleph_0$ .

Из следствия 2 и из того, что каждое открыто-замкнутое множество вполне регулярного пространства является нуль-множеством, следует, что система нуль-множеств вполне регулярного пространства является нормальной  $AB$ -базой; следовательно, имеет место

**Следствие 4.** Для того чтобы  $T_1$ -пространство  $X$ , состоящее из бесконечного множества точек, было компактом, необходимо и достаточно, чтобы выполнялось равенство  $\sigma(X, Z_0) = \aleph_0$ .

**Предложение 1.** Если комбинаторный  $Z$ -вес вполне регулярного пространства  $X$  равен  $\sigma = \sigma(X, Z)$ , то всякая определяющая система  $\Sigma$   $CZ$ -покрытий пространства  $X$  содержит подсистему  $\Sigma'$  мощности  $\sigma$ , также являющуюся определяющей системой  $CZ$ -покрытий пространства  $X$ .

**Предложение 2.** Для любого вполне регулярного пространства  $X$  вес кольца  $C(X)$  всех ограниченных непрерывных функций над пространством  $X$  совпадает с комбинаторным  $Z_0$ -весом пространства  $X$ .

В [7] для нуль-пространств введено понятие размерностной функции  $z \text{ Ind}$ , которое можно естественным образом перенести и на произвольные вполне регулярные пространства: для этого достаточно в определении  $z \text{ Ind}$  слово «нуль-пространство» заменить словами « вполне регулярное пространство». В случае нормальности пространства  $X$  соотношения  $z \text{ Ind } X = 0$  и  $\text{Ind } X = 0$  эквиваленты. Для вполне регулярного  $X$  равенство  $z \text{ Ind } X = 0$  означает, что для любого нуль-множества  $\Phi$  и его конуль-окрестности  $O\Phi$  существует открыто-замкнутое множество  $H$ , такое, что  $\Phi \subseteq H \subseteq O\Phi$ .

Следующие предложения позволяют оценить число открыто-замкнутых множеств произвольного вполне регулярного пространства.

**Лемма 5.** Число открыто-замкнутых множеств вполне регулярного пространства  $X$  не превосходит его комбинаторного  $Z$ -веса, где  $Z$  — любая нормальная  $A$ -база.

**Лемма 6.** Если  $X$  — вполне регулярное пространство и  $z \text{ Ind } X = 0$ , то комбинаторный  $Z_0$ -вес пространства  $X$  не превосходит числа всех открыто-замкнутых множеств пространства  $X$ .

Из лемм 5 и 6 вытекает

**Теорема 3.** Если  $X$  — вполне регулярное пространство и  $z \text{ Ind } X = 0$ , то комбинаторный  $Z_0$ -вес пространства  $X$  равен числу открыто-замкнутых множеств пространства  $X$ .

**Теорема 4.** Если  $X$  — вполне регулярное пространство и  $z \text{ Ind } X = 0$ , то пространство  $\beta X$  есть единственное бикомпактное расширение прост-

ранства  $X$ , обладающее тем свойством, что оператор  $O(\cdot)$  (см. [2]) осуществляет отображение системы всех открытых-замкнутых в  $X$  множеств на систему всех открытых-замкнутых множеств пространства  $\beta X$ .

Тбилисский государственный университет

(Поступило 6.1.1975)

გამოსაზიდა

ა. ჩიგოგიძე

სიცოცხლის კომპიუტორული ფონა ნორმალური გაზის მიმართ

რეზიუმე

შემოტანილია ცნება საესებით რეგულარული სივრცის კომპინატორული წონისა მისი ნებისმიერი ნორმალური ბაზის მიმართ, რომლის კერძო შემთხვევას (ნორმალური სივრცისა და მისი ყველა ჩაკრტილი სიმრავლეებისაგან შედგენილი ნორმალური ბაზის მიმართ) წარმოადგენს კომპინატორული წონა სმირნოვის აზრით. დადგენილია ამ წონის თვისებები, კერძოდ, სმირნოვის თეორემის ანალოგი (ანანორმალური სივრცეებისათვის, როგორც მავალითზეა ნაჩვენები, სმირნოვის თეორემას არა აქვს აღვილი კომპინატორული წონისათვის მისი აზრით).

MATHEMATICS

A. Ch. CHIGOGIDZE

## COMBINATORY WEIGHT OF SPACES WITH RESPECT TO NORMAL BASE

Summary

The paper introduces the notion of combinatory weight of a completely regular space with respect to an arbitrary normal base, a particular case of which (for normal spaces and with respect to the normal base consisting of all closed sets) is combinatory weight in Smirnov's sense. Properties of this weight are established and an analogue of Smirnov's theorem proved (for non-normal spaces, as shown in the example, the above theorem does not hold for combinatory weight in Smirnov's sense).

## ლიტერატურა — ЛИТЕРАТУРА — REFERENCES

1. Ю. М. Смирнов. ДАН СССР, 69, № 5, 1949.
2. Ю. М. Смирнов. Учен. зап. МГУ, матем., т. 4, 148, 1951.
3. Ю. М. Смирнов. Матем. сб., т. 30 (72): 1, 1952.
4. M. Katětov. Časopis Pěst. Mat. Fys. 75, 1950.
5. O. Frink. Am. J. Math. 86, № 3, 1964.
6. L. Gillman, M. Jerison. Rings of Continuous Functions. New York: 1960.
7. Р. Н. Ормощадзе, А. Ч. Чигогидзе. Сообщения АН ГССР, 81, № 2, 1976.



Д. Л. БЕРМАН

## ИССЛЕДОВАНИЕ ИНТЕРПОЛЯЦИОННОГО ПРОЦЕССА ЕГЕРВАРИ—ТУРАНА, ПОСТРОЕННОГО ПРИ РАСШИРЕНОЙ СИСТЕМЕ УЛЬТРАСФЕРИЧЕСКИХ УЗЛОВ

(Представлено членом-корреспондентом Академии Б. В. Хведелидзе 8.10.1975)

Пусть задана матрица чисел

$$\{x_k^{(n)}\}, \quad k = \overline{1, n} \quad (-1 \leq x_n^{(n)} < x_{n-1}^{(n)} < \dots < x_1^{(n)} \leq 1, \quad n = 1, 2, \dots).$$

Через  $C$  обозначим множество всех функций  $f(x)$ , негрельных в  $[-1, 1]$ . В [1, 2] изучался интерполяционный процесс Егервари—Турана [3], построенный для узлов, получаемых от расширения узлов Чебышева и Якоби добавлением в качестве узлов точек  $x = \pm 1$ . Естественно возникает вопрос о том, сохраняются ли результаты [1, 2], если расширить систему узлов Якоби добавлением в качестве узлов точек, отличных от точек  $\pm 1$ . Этому вопросу и посвящена данная заметка. Ради простоты рассматривается система узлов, состоящая из корней полиномов  $\{x I_{2m}^{(a)}\}_{m=0}^{\infty}$ , где  $I_{2m}^{(a)}$  — ультрасферический полином Якоби с параметром  $a$  степени  $2m$ . Известно, что  $x=0$  не является корнем полинома  $I_{2m}^{(a)}$  и что корни  $\{x_k^{(2m)}\}$  полинома  $I_{2m}^{(a)}$  расположены в  $(-1, 1)$  симметрично относительно точки  $x=0$ . Поэтому  $x_k = -x_{2m-k+1}$ ,  $1 \leq k \leq m$ . Будем считать, что  $0 < x_m < x_{m-1} < \dots < x_1 < 1$ . Если положить  $x_k = \cos \theta_k$ , то  $0 < \theta_1 < \theta_2 < \dots < \theta_m < \frac{\pi}{2}$ . Интерполяционный полином Егервари—Турана  $M_{4m}(f, x)$  степени  $4m$ , построенный для точек 0;  $\{x_j\}_{j=1}^{2m}$ ,  $x_j \neq 0$ ,  $1 \leq j \leq 2m$ , и  $f \in C$ , однозначно определяется из условий

$$M_{4m}(f, x_k) = f(x_k), \quad M'_{4m}(f, x_k) = 0, \quad k = 1, 2, \dots, 2m,$$

$$M_{4m}(f, 0) = f(0).$$

Отсюда после простых вычислений получим

$$M_{4m}(f, x) = f(0) + x \sum_{j=1}^{2m} \frac{f(x_j) - f(0)}{x_j} h_j(x) - x \sum_{j=1}^{2m} \frac{f(x_j) - f(0)}{x_j^2} \lambda_j(x), \quad (1)$$

где

$$h_j(x) = v_j(x) l_j^2(x), \quad v_j(x) = 1 - \frac{\omega''(x_j)}{\omega'(x_j)} (x - x_j);$$

$$\omega(x) = \prod_{j=1}^{2m} (x - x_j); \quad l_j(x) = \frac{\omega(x)}{(x - x_j) \omega'(x_j)}; \quad \lambda_j(x) = (x - x_j) l_j^2(x).$$

Имеет место теорема

**Теорема.** Пусть интерполяционный полином  $M_{4m}(f, x)$  построен для корней полинома  $x I_{2m}^{(\alpha)}(x)$ , где  $I_{2m}^{(\alpha)}$  — ультрасферический полином Якоби степени  $2m$ , параметр  $\alpha$  которого удовлетворяет неравенствам  $-1 \leq \alpha \leq \frac{1}{2}$ . Тогда для любой  $f \in C$  в каждой точке из  $(-1, 1)$  выполняется соотношение

$$M_{4m}(f, x) \rightarrow f(x), \quad m \rightarrow \infty. \quad (2)$$

Наметим доказательство. Сперва докажем, что (2) имеет место для произвольного многочлена, а затем, что норма линейного функционала  $M_{4m}(f, x)$  для каждого  $x \neq 0$  из  $(-1, 1)$  ограничена. Из этого по известной теореме функционального анализа будет следовать, что (2) имеет место для любой  $f \in C$  в каждой точке  $x \neq 0$  из  $(-1, 1)$ . Условие, что  $x \neq 0$ , не является существенным, ибо выполнение (2) при  $x=0$  очевидно, поскольку  $x=0$  узел. В ходе доказательства теоремы были использованы следующие леммы:

**Лемма 1.** Если фундаментальные полиномы Лагранжа  $\{l_j^{(2m)}(x)\}_{j=1}^{2m}$  построены для корней полинома  $y_{2m}^{(\alpha)}$ ,  $-1 \leq \alpha \leq \frac{1}{2}$ , то

$$\lim_{m \rightarrow \infty} \sum_{j=1}^{2m} \frac{[l_j^{(2m)}(x)]^2}{x_j} = \frac{1}{x}, \quad x \neq 0.$$

**Лемма 2.** Выражения

$$\sum_{j=1}^{2m} \frac{[l_j^{(2m)}(x)]^2}{1 - (x_j^{(2m)})^2}, \quad \sum_{j=1}^{2m} \frac{[l_j^{(2m)}(x)]^2}{(x_j^{(2m)})^2},$$

где  $\{l_j^{(2m)}(x)\}$  — фундаментальные полиномы Лагранжа, построенные для корней полинома  $I_{2m}^{(\alpha)}$ ,  $-1 \leq \alpha \leq \frac{1}{2}$ , ограничены относительно  $m$  в каждой точке  $x \neq 0$  из  $(-1, 1)$ <sup>1</sup>.

Пусть  $f(x) = x^k$ ,  $k \geq 2$ , тогда (1) принимает вид

$$M_{4m}(f, x) = x \sum_{j=1}^{2m} x_j^{k-1} h_j(x) - x \sum_{j=1}^{2m} x_j^{k-2} \lambda_j(x). \quad (3)$$

Согласно теореме Сегё [4], при ультрасферических узлах с параметром  $\alpha \geq -1$  и  $k \geq 1$  в любой точке  $x \in (-1, 1)$

$$\lim_{m \rightarrow \infty} \sum_{j=1}^{2m} x_j^{k-1} h_j(x) = x^{k-1}. \quad (4)$$

---

<sup>1</sup> По определению,  $I_n^{(-1)}(x) = \int_{-1}^x p_{n-1}(t) dt$ , где  $p_{n-1}(t)$  — полином Лежандра степени  $n-1$ .

Известно [5], что

$$\sum_{j=1}^{2m} f(x_j^{(2m)}) [l_j^{(2m)}(x)]^2 \rightarrow f(x), \quad m \rightarrow \infty, \quad |x| < 1, \quad (5)$$

для любой  $f \in C$ , если матрица узлов интерполяции ультрасферическая с параметром  $a$ , удовлетворяющим неравенствам  $-1 \leq z \leq \frac{1}{2}$ .

Так как

$$\sum_{j=1}^{2m} x_j^{(k-2)} \lambda_j(x) = x \sum_{j=1}^{2m} x_j^{k-2} l_j^2(x) - \sum_{j=1}^{2m} x_j^{k-1} l_j^2(x),$$

то в силу (5) имеем

$$\lim_{m \rightarrow \infty} \sum_{j=1}^{2m} x_j^{(k-2)} \lambda_j(x) = 0. \quad (6)$$

Из (3), (4) и (6) следует, что

$$\lim_{m \rightarrow \infty} M_{4m}(z^k, x) = x^k, \quad |x| < 1, \quad k \geq 2. \quad (7)$$

Из (1) видно, что равенство (7) также справедливо для  $k = 0$ .

Так как  $\sum_{j=1}^{2m} h_j(x) = 1$ , то при  $f(x) = x$  из (1) выводим

$$M_{4m}(z, x) - x = -x^2 \sum_{j=1}^{2m} \frac{l_j^2(x)}{x_j} + x \sum_{j=1}^{2m} l_j^2(x). \quad (8)$$

В силу леммы 1, (5) и (8) получим

$$\lim_{m \rightarrow \infty} M_{4m}(z, x) = x.$$

Итак, доказано, что (2) имеет место для любой функции  $f(x) = x^k$ ,  $k = 0, 1, \dots, a$ , значит, (2) имеет место для любого многочлена.

Из (1) легко вывести, что норма  $\|M_{4m}\|$  функционала  $M_{4m}(f, x)$  удовлетворяет неравенству

$$\|M_{4m}\| \leq 1 + 2|x| \sum_{j=1}^{2m} \left| \frac{h_j(x)}{x_j} - \frac{\lambda_j(x)}{x_j^2} \right|. \quad (9)$$

При ультрасферических узлах

$$\frac{h_j(x)}{x_j} - \frac{\lambda_j(x)}{x_j^2} = \left[ \frac{1}{x_j} - \frac{2(1+z)}{1-x_j^2} (x-x_j) - \frac{x-x_j}{x_j^2} \right] l_j^2(x). \quad (10)$$

Из (9), (10) и лемм 1, 2 следует, что для любого  $x \neq 0$  из  $(-1, 1)$  существует такая функция  $C(x) \geq 0$ , зависящая лишь от  $x$ , но не зависящая от  $m$ , что  $\|M_{4m}\| \leq C(x)$ .

Ленинградский финансово-экономический институт

(Поступило 17.10.1975)

БАЛЛАГАНОВА

д. 8060160

08060160—СУРГАНОВ САДЫХИРЗОЛДАСОНОВ АРМЫНОВ ГАУМУЗДАЛЫ  
ШЛЯТКАСЫЗИРЗОЛДАСЫНДАРТА ГАУМУЗДАЛЫ СІДЕТИІМІСІСАТЫЗОС

Р. 07000000

ШЕСТЕРЫЕЛЛОВА АЛБЕШЕНЕУЛЮ САРДАРСЫСЫ КҮРҮБАДЫРДА ШІСІҮҮДЕРІ ОЛДЫРУҮДЕРІСА-  
ТЫСЫ, РОПА ГАЗАНДА СІСІТІРМЕА ШЕРГЕДА  $\{xI_{2m}(x)\}$  3ОЛЛІБІНДА ОЛДЫРУҮДЕРІСАГАБ.  
Әж  $I_{2m}(x)$  АРДЫС 2m ҚАРЫСЫСЫ СҰЛТЫНАСТРУРУЛДІ 3ОЛЛІБІНДІ.

MATHEMATICS

D. L. BERMAN

INVESTIGATION OF THE EGERVÁRY-TURÁN INTERPOLATION  
CONSTRUCTED FOR AN EXTENDED SYSTEM OF  
ULTRASPHERICAL NODES

Summary

A convergence theorem for an extended Hermite-Fejér interpolation for any function continuous in  $[-1, 1]$  is proved.

ЛІТЕРАТУРА — REFERENCES

1. Д. Л. Берман. Изв. вузов. Матем., № 2, 1971, 22—32.
2. Д. Л. Берман. Изв. вузов. Матем., № 10, 1973, 14—22
3. Е. Egerváry, P. Turán. Acta Math. Acad. Sci. Hung., 9, № 3—4, 1958, 259—267.
4. Г. Серё. Ортогональные многочлены. М., 1962.
5. G. Grünwald. Acta Math., 75, 1943, 219—245.



Г. Н. ХИМШИАШВИЛИ

## К ТЕОРИИ СТЕПЕНИ ОТОБРАЖЕНИЙ В ГИЛЬБЕРТОВОМ ПРОСТРАНСТВЕ

(Представлено академиком Г. С. Чогошвили 20.10.1975)

И. Р. Л. Фрум-Кетков в [1, 2] рассматривал класс отображений гильбертова пространства, содержащий отображения вида  $E+K$ , где  $K$  — вполне непрерывное отображение, и определил для него аналог степени Лере—Шаудера. В этих работах, однако, не имеется указаний по вопросу о «правильности» такого расширения понятия степени Лере—Шаудера. Оказывается, возможно доказать «правильность», а также дать другое определение степени отображений этого класса и доказать эквивалентность этих определений.

Идея используемого способа — локально вполне непрерывных векторных полей — принадлежит Браудеру и Нюссбауму [3]. Исходя из предлагаемого определения можно доказать все свойства степени в классе Р. Л. Фрум-Кеткова и получить ряд новых предложений, имеющих аналоги в теории вполне непрерывных векторных полей.

Пусть  $H$  — сепарабельное гильбертово пространство, а  $A$  — ограниченное замкнутое подмножество  $H$ .

**Определение.** Непрерывное отображение  $f: A \rightarrow H$  принадлежит классу  $M(A)$ , если:

- 1)  $f(A)$  — ограниченное множество;
- 2) если  $A$  некомпактно, то для любого некомпактного  $B \subset A$

$$\limsup_{x, y \in B} (f(x) - f(y), x - y) > 0.$$

Известно, что:

- 1) если  $f \in M(A)$ , то  $f$  собственно;
- 2) класс  $M(A)$  выпуклый;

3) если  $A = \overline{G}$ , где  $G$  — ограниченная область в  $H$ ,  $f \in M(\overline{G})$  и  $b \notin f(\partial G)$ , то определено число  $c(f, b, G)$ , обладающее всеми свойствами степени отображения  $f$  относительно точки  $b$ ; в частности,  $c(f, b, G)$  инвариантно относительно собственных гомотопий в классе  $M(\overline{G})$ , при которых образ границы  $G$  «не задевает»  $b$ .

Заметим, что если в условиях предыдущего абзаца  $f = E + K$ , где  $K$  — вполне непрерывное отображение замкнутой области  $\overline{G}$ , то определена и степень Лере—Шаудера  $\deg(f, G, b)$ . При выполнении всех этих предположений имеет место

Предложение 1.  $c(f, b, G) = \deg(f, G, b)$ .

Используя предложение 1, можно независимо усилить предложение 8 из [2].

Предложение 2. Пусть  $f \in M(\bar{G})$ ,  $G$   $T$ -инвариантна, где  $T$  — изометрический линейный оператор периода  $p$ , действующий свободно на  $H \setminus \{O_H\}$ . Пусть  $f$  коммутирует с  $T$ ,  $O_H \in G$ ,  $O_H \notin f(\partial G)$ . Тогда  $c(f, O_H, G) = 1 \pmod{p}$ .

Доказательство опирается на один результат из [4].

Предложение 3. Пусть  $G$  — ограниченная область в  $H$ ,  $f \in M(\bar{G})$  и  $b \notin f(\partial G)$ . Тогда существуют такое отображение  $g: \bar{G} \rightarrow H$  и такая окрестность  $U$  множества  $f^{-1}(b)$  в  $G$ , что  $g - E$  локально вполне непрерывно в  $G$ ,  $(g - E)|_U$  вполне непрерывно в  $\bar{U}$ ,  $g^{-1}(b)$  компактно и содержится в  $U$ .

Искомое отображение строится стандартным образом с помощью подходящего разбиения единицы. Теперь для данного  $f \in M(\bar{G})$  можно рассмотреть отображение  $g$ , построенное в предложении 3 (оно, конечно, не однозначно определено). Для  $g$  определена  $\deg(g, G, b)$  — степень Браудера — Нюссбаума относительно точки  $b$  (см. [3]). Положим  $d(f, G, b) = \deg(g, G, b)$ . Таким образом, для отображений рассматриваемого класса определена еще одна степенная характеристика  $d$ . Используя свойства степени  $c$ , удается доказать, что приведенное определение корректно и имеет место

Предложение 4. Если  $f \in M(\bar{G})$ ,  $b \notin f(\partial G)$ , то  $d(f, G, b) = c(f, b, G)$ .

Замечание. Поскольку аппроксимации в смысле предложения 3 существуют для любого непрерывного отображения, то описанный способ определения степени, вообще говоря, может быть применен и к другим классам отображений.

Для отображений рассматриваемого класса построенная степенная характеристика  $d$  обладает всеми основными свойствами степени. Это следует из свойств степени  $c$ , установленных Р. Л. Фрум-Кетковым [2], и предложения 4.

Предложение 5. Пусть  $G$  —  $T$ -инвариантная область в  $H$ , содержащая  $O_H$ , а  $T$  — периодичный линейный оператор, действующий свободно на  $H \setminus \{O_H\}$ . Пусть  $f \in M(\bar{G})$ ,  $f$  коммутирует с  $T$  и  $O_H \notin f(\partial G)$ . Тогда  $d(f, G, O_H) = 1 \pmod{p}$ .

Это усиление предложения 2, так как не требуется изометричности  $T$ , причем это существенно, поскольку стандартный прием сведения к

изометрическому оператору — перенормировка с  $\|x\|_1 = \sum_{i=0}^{p-1} \|T^i(x)\|$

—здесь не проходит, ибо при перенормировке нарушается евклидова структура пространства  $H$ , которая необходима для определения степени  $c$ , но несущественна для степени  $d$ . Для доказательства приходится установить справедливость аналога предложения 3 — о наличии

**Теорема 2.** Если в условиях теоремы 1  $\exists \limsup_{\|x\|_X \rightarrow \infty} \frac{\|S(x)\|}{\|x\|_X^a} = A$ , то  $\lambda T - S$  — отображение „на“ при  $|\lambda| \in \left[ \frac{A}{K}, \frac{A}{L} \right]$ .

**Теорема 3.** Пусть  $T: X \rightarrow Y$ ,  $S: X \rightarrow Y$ ,  $A_1: X \rightarrow X$ ,  $A_2: Y \rightarrow Y$ , где  $T$  — однородный ( $K$ ,  $L$ ,  $a$ )-гомеоморфизм,  $S$  — однородный вполне непрерывный оператор,  $A_1$ ,  $A_2$  —  $p$ -периодические линейные операторы, действующие свободно вне начала, причем  $TA_1 = A_2T$  и  $SA_1 = A_2S$ , а  $\lambda \in \mathbb{R} \setminus \{0\}$ . Тогда  $\lambda T - S$  регулярно сюръективен в том и только в том случае, когда  $\lambda$  не является собственным числом пары  $(T, S)$ .

Доказательства этих теорем аналогичны приводимым в [6] (глава II); разница в том, что используется более общая, чем там, форма теоремы 1.

Московский государственный университет  
им. М. В. Ломоносова

(Поступило 4.12.1975)

8500800000

### 3. ხიმშიაშვილი

ასახვის ხარისხის თეორიისათვის ჰილბარტის სივრცეში

რეზიუმე

განხილულია ერთი შესაძლო მიდგომა ხარისხის თეორიის ასაგებად ასახვა ერთი კლასისათვის ჰილბარტის სივრცეში. შესუსტებულია კრიტონობის პირობა სპეციალური სახის არაწრფივი ოპერატორების სპეციალური თეორიის ზოგიერთ დებულებაში.

MATHEMATICS

G. N. KHIMSHIASHVILI

### ON THE THEORY OF DEGREE OF A MAP IN A HILBERT SPACE

Summary

One possible approach to constructing the degree theory for one class of maps in a Hilbert space is considered. The oddness condition is weakened in some statements of the special theory of nonlinear operators of a special type.

### ЛІТЕРАТУРА — REFERENCES

1. Р. Л. Фрум-Кетков. ДАН СССР, 175, № 6, 1967.
2. Р. Л. Фрум-Кетков. ДАН СССР, 192, № 6, 1970.
3. F. E. Browder, R. D. Nussbaum. Bull. Am. Math. Soc. 74, № 4, 1968.
4. М. А. Красносельский. ДАН СССР, 101, № 3, 1955.
5. Э. М. Мухамедиев. УМН, 22, № 2, 1967.
6. S. Fučík, J. Nečas, J. Souček, V. Souček. Lecture Notes in Mathematics, № 346, 1973.



Г. К. ЧХЕТИЯ

## О ДВИЖЕНИИ ОБОРВАННЫХ ВЕТВЕЙ КАНАТА ПОДЗЕМНОЙ КРЕСЕЛЬНОЙ МОНОКАНАТНОЙ ДОРОГИ (ПКМД)

(Представлено членом-корреспондентом Академии К. М. Барамидзе 26.12.1975)

На ПКМД [1] при обрыве тягово-несущего каната на верхней станции канат распадается на две ветви. После опускания натяжного груза на почву выработки могут иметь место три варианта движения ветвей каната:

1. Ветвь каната находится на опорных блоках.
2. Ветвь каната сошла с опорных блоков и волочится по почве выработки.
3. Часть ветви каната сошла с опорных блоков и волочится по почве выработки.

Определим для вариантов 1 и 2 условие движения системы с замедлением, а для варианта 3 искомые величины примут промежуточные значения.

Считая постоянными расстояния между опорными блоками  $l_{\text{оп}}$  и подвесными сидениями  $l_{\text{под}}$ , а также веса груженого и порожнего подвесных сидений, сопротивление  $F_{\text{тр}}^6$  опорных блоков, угол  $\beta$  наклона дороги, каждую ветвь каната можно разбить на механически равнозначенные участки длиной  $l_{\text{под}}$ . Изучив закон движения одного такого участка, полученные результаты можно распространить на всю ветвь каната.

Рассмотрим первый вариант (рис. 1). В точках А и В находятся опорные блоки. Из-за слабины каната в пролете подвесное сидение при движении касается почвы выработки между точками L и M, поэтому на этом участке пролета часть его веса  $Q'_{\text{под}}$  будет передаваться канату, а другая часть веса  $Q''_{\text{под}}$  — почве, причем

$$Q_{\text{под}} = Q'_{\text{под}} + Q''_{\text{под}},$$

$$Q'_{\text{под}} = \frac{a}{h_0} Q_{\text{под}},$$

$$Q''_{\text{под}} = \frac{b}{h_0} Q_{\text{под}},$$

$$h_0 = a + b,$$

где  $Q_{\text{под}}$  — вес подвесного сидения;  $h_0$  — расстояние от низа подвесного сидения до каната без учета стабилизатора (длина прямой EC);

$a, b$  — соответственно длина подвесного сидения от ее центра сти 0 до нижнего конца и до каната.

Уравнение траектории движения сосредоточенного груза, закрепленного на канате, имеет вид [2]

$$y = x \operatorname{tg} \beta + \frac{x(l-x)}{2H} \left( \frac{q_k}{\cos \beta} + 2 \frac{Q}{l} \right), \quad (1)$$

где  $l$  — горизонтальная проекция пролета;  $H$  — горизонтальная составляющая натяжения каната;  $q_k$  — погонный вес каната;  $Q$  — вес сосредоточенного груза.

Для решения поставленной задачи применим теорему о работе равнодействующей силы  $R_{\text{рав}}$ . Учитывая, что в данном случае работа

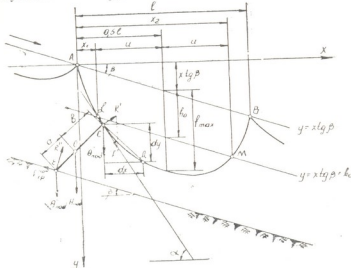


Рис. 1

внутренних сил равна нулю, элементарная работа внешних сил при перемещении подвесного сидения на участке  $AB$  будет

$$\begin{aligned} \delta A(R_{\text{рав}}) = & \sum_{i=1}^n \delta A(F_i^e) = \sum_{i=1}^n \delta A(F_i^e)_{x_1} + \sum_{i=1}^n \delta A(F_i^e)_{x_2-x_1} + \\ & + \sum_{i=1}^n \delta A(F_i^e)_{l-x_2} + \delta A(Q_{\text{кан}}) - \delta A(F_{\text{tp}}^e), \end{aligned} \quad (2)$$

где  $\sum_{i=1}^n \delta A(F_i^e)$  — элементарная работа внешних сил;  $\sum_{i=1}^n \delta A(F_i^e)_{x_1}$ ,  $\sum_{i=1}^n \delta A(F_i^e)_{x_2-x_1}$ ,  $\sum_{i=1}^n \delta A(F_i^e)_{l-x_2}$  — соответственно элементарная работа внешних сил на участках  $x_1$ ,  $x_2 - x_1$ ,  $l - x_2$ ;  $\delta A(Q_{\text{кан}})$  — элементарная ра-

бота отрезка каната длиной  $l_{\text{под}}$  и весом  $Q_{\text{кан}}$ ;  $\delta A(F_{\text{тр}}^{\delta})$  — элементарная работа сил сопротивления огорных блоков.

Элементарную работу внешних сил, величина которых зависит от траектории движения подвесного сидения, рассмотрим отдельно в промежутках  $x_1$ ,  $x_2 - x_1$ ,  $l - x_2$ , так как в точках  $L$  и  $M$  функция (1) претерпевает разрыв.

Интегрируя (2) и приравнивая суммарную работу  $A$  к нулю, получаем предельное значение угла  $\beta$ , при котором оборванная ветвь каната с подвесными сидениями движется с замедлением:

$$\operatorname{tg} \beta \leq \frac{2u}{l} Q_{\text{под}}'' f_{\text{тр}}^{\text{поч}} + \eta f_{\text{тр}} \frac{l_{\text{под}}}{l_{\text{оп}}} \left( q_k l_{\text{оп}} + \frac{l_{\text{оп}}}{l_{\text{под}}} Q_{\text{под}}' + G_6 \right), \quad (3)$$

где  $2u$  — горизонтальная проекция пути волочения подвесного сидения в пролете;  $f_{\text{тр}}^{\text{поч}} = 0,6$  — коэффициент трения подвесного сидения по почве выработки [3];  $\eta = \frac{d_u}{D_6}$  — отношение диаметра  $d_u$  цапфы к диаметру  $D_6$  опорного блока;  $f_{\text{тр}} = 0,01$  — коэффициент трения в цапфе опорного блока [2].

Для варианта 2 оборванная ветвь каната движется с замедлением при

$$\operatorname{tg} \beta \leq f_{\text{тр}}^{\text{поч}}. \quad (4)$$

Подставляя значение величин, входящих в (3) и (4), получаем предельное значение угла наклона  $\beta$ , при котором оборванная ветвь каната движется с замедлением. В случае первого варианта имеем: для порожняковой ветви  $\beta \leq 2-5^\circ$ , для груженой ветви  $\beta \leq 7-12^\circ$ , а для варианта 2  $\beta \leq 31^\circ$ .

Как видно, если оборванные ветви каната опираются на опорные блоки, то при углах  $\beta$ , больших вышеуказанных, ветви каната могут двигаться под уклон с ускорением. Однако, как показывают расчеты, со временем канат в пролетах приобретает значительную слабину, что увеличивает угол подъема подвесного сидения на опорном блоке, и движение оборванной ветви каната прекращается.

Академия наук Грузинской ССР

Институт горной механики

им. Г. А. Цулукидзе

(Поступило 26.12.1975)

8033603

გ. ჩიხია

მიშიალებული სამსახურის მიერავით გზის (მსმგ) გადავიტილდება ბაზირების უტოვების მოძრაობის უმსახიობის მიზანისთვის

რეზოუნდა

მიღებულია მსმგ დახრის ზორული კუთხეების მნიშვნელობაზე, რომლის დაგირის გაწყვეტილი შტოები შენელებით მოძრაობენ.



თუ ბავირი ეყრდნობა გორგოლაშებს, მისი განტვირთული შტო შეხელუ-ბულად მოძრაობს, როდესაც გზის დახრის კუთხე  $\beta \leq 2-5^\circ$ ; ხოლო დატვირთული შტო — როდესაც  $\beta \leq 7-12^\circ$ . გამონამუშევრის ნიაღავზე ბავირის შტო-ების ხოხვის შემთხვევაში თვითდამუხტუშების პირობა უზრუნველყოფილი იქნება, როდესაც  $\beta \leq 31^\circ$ .

## MECHANICS

G. K. CHKETIA

## ON THE MOTION OF BROKEN ROPE ENDS OF UNDERGROUND SEAT MONOCABLE ROPEWAY

## Summary

The limiting angles of the inclination of the underground seat monocable ropeway, when the broken rope ends move with retardation, have been obtained.

If the rope rests upon the bearing pulleys the empty and loaded ends move with retardation, the former when the angle of slope of the ropeway  $\beta \leq 2-5^\circ$  and the latter when  $\beta \leq 7-12^\circ$ . In the case of dragging of the rope ends on the floor of the workings the self-braking condition will be ensured when  $\beta \leq 31^\circ$ .

## ЛІТЕРАТУРА — REFERENCES

1. В. А. Карапададзе, Г. К. Чхетия, Г. Ш. Шотадзе. Ж. «Уголь», 12, 1965.
2. А. И. Дукельский. Подвесные канатные дороги и кабельные краны. М. 1966.
3. А. О. Сиваковский. Рудничный транспорт. М. 1953.



И. А. СХИРТЛАДЗЕ

## ОПТИМАЛЬНЫЙ ЛИНЕЙНЫЙ ФИЛЬТР И КОЛИЧЕСТВО ИНФОРМАЦИИ

(Представлено академиком В. В. Чавчанидзе 19.1.1976)

В работе [1] дается определение оптимальной линейной системы с точки зрения теории информации.

Если на вход линейной системы воздействует случайный сигнал  $x(t)$ , а на выходе получается сигнал  $y(t)$ , то оптимальной мы называем систему, которая пропускает экстремальное количество информации.

Для достаточно широкого класса случайных процессов (а именно, для стационарных гауссовских процессов) можно написать явное выражение для количества информации, которая содержится в  $y(t)$  относительно входного сигнала  $x(t)$ .

Из условия экстремальности передаваемой информации и выбирается оптимальная передаточная функция  $K(j\omega)$  (количество информации является функционалом на классе допустимых передаточных функций).

Можно поставить более конкретную задачу: заранее известно, что передаточная функция синтезируемой системы принадлежит заданному классу и зависит от неизвестных параметров  $\vec{a} = (a_1, a_2, \dots, a_n)$ , физически характеризующих систему. Ясно, что при такой постановке задачи количество информации становится не функционалом, а функцией  $n$  переменных  $a_1, a_2, \dots, a_n$ .

Если  $x(t)$  и  $y(t)$  — стационарные гауссовые процессы и они стационарно взаимосвязаны, то количество информации, которая содержится в  $y(t)$  относительно  $x(t)$ , определяется формулой Пинскера [2]

$$\tau = \frac{1}{4\pi} \int_{-\infty}^{\infty} \log \frac{f(\omega) g(\omega)}{f(\omega) g(\omega) - |h(\omega)|^2} d\omega, \quad (1)$$

где  $f(\omega)$  — спектральная плотность процесса  $x(t)$ ,  $g(\omega)$  — спектральная плотность процесса  $y(t)$ , а  $h(\omega)$  — взаимная спектральная плотность.

Допустим, что выход имеет вид  $x(t) + z(t)$ , где  $z(t)$  — шум со спектральной плотностью  $\varphi(\omega)$ ; тогда при заданной передаточной функции  $K(j\omega)$  функционал  $\tau$  (количество информации) принимает вид [1]

$$\tau = \frac{1}{4\pi} \int_{-\infty}^{\infty} \log \left[ 1 + \frac{|K(j\omega)|^2 f(\omega)}{\varphi(\omega)} \right] d\omega. \quad (2)$$

Автоматически подразумевается, что  $K(j\omega)$  удовлетворяет условию физической осуществимости фильтра (т. е. условию Винера—Пэли [3]).

Обозначим  $\Psi(\omega, a_1, a_2, \dots, a_n) = |K(j\omega, a_1, a_2, \dots, a_n)|^2$ . В таком случае информация  $\tau$  из равенства (2) становится функцией параметров  $a_1, a_2, \dots, a_n$ :

$$\tau = \frac{1}{4\pi} \int_{-\infty}^{\infty} \log \left[ 1 + \frac{\Psi(\omega, a_1, \dots, a_n) f(\omega)}{\varphi(\omega)} \right] d\omega.$$

Для нахождения оптимального  $\Psi(\omega, a_1, a_2, \dots, a_n)$  надо исследовать  $\tau(a_1, a_2, a_n)$  на экстремум:

$$\frac{\partial \tau(\vec{a})}{\partial a_i} = \frac{1}{4\pi} \int_{-\infty}^{\infty} \frac{\partial}{\partial a_i} \log \left[ 1 + \frac{\Psi(\omega, a_1, \dots, a_n) f(\omega)}{\varphi(\omega)} \right] d\omega =$$

$$= \frac{1}{4\pi} \int_{-\infty}^{\infty} \frac{\varphi(\omega)}{\varphi(\omega) + \Psi(\omega, \vec{a}) f(\omega)} \frac{f(\omega)}{\varphi(\omega)} \frac{\partial \Psi(\omega, \vec{a})}{\partial a_i} d\omega = \quad (3)$$

$$= \frac{1}{4\pi} \int_{-\infty}^{\infty} \frac{f(\omega)}{\varphi(\omega) + \Psi(\omega, \vec{a}) f(\omega)} \frac{\partial \Psi(\omega, \vec{a})}{\partial a_i} d\omega, \quad i=1, 2, \dots, n.$$

Если на вход поступает белый шум, для которого спектральная плотность  $f(\omega)$  финитна и постоянна, то

$$\frac{\partial \tau(\vec{a})}{\partial a_i} = \frac{1}{4\pi} \int_{-\infty}^{\infty} \frac{f(\omega)}{\varphi(\omega) + \Psi(\omega, \vec{a}) f(\omega)} \frac{\partial \Psi(\omega, \vec{a})}{\partial a_i} d\omega =$$

$$= \frac{1}{4\pi} \int_{-\omega_1}^{\omega_2} \frac{c}{\varphi(\omega) + c \Psi(\omega, \vec{a})} \frac{\partial \Psi(\omega, \vec{a})}{\partial a_i} d\omega, \quad i=1, 2, 3, \dots, n.$$

Формулы (3) достаточно общие. Из них можно получить явные выражения для  $\frac{\partial \tau(\vec{a})}{\partial a_i}$   $i=1, 2, \dots, n$  в случае конкретных  $\Psi(\omega, \vec{a})$  (например, в классе мероморфных функций),  $f(\omega)$  и  $\varphi(\omega)$ . При наличии выражений

для  $\frac{\partial \tau(\vec{a})}{\partial a_i}$ ,  $i=1, 2, \dots, n$  нахождение оптимального  $K(j\omega)$  не представляет трудности и осуществляется обычными методами математического анализа.

Академия наук Грузинской ССР  
 Институт кибернетики

(Поступило 23.1.1976)

კიბერნეტიკა

0. სეირტლაძე

## ოპტიმალური ფილტრი და ინფორმაციის რაოდენობა რეზიუმე

განხილულია ოპტიმალური წრფივი ფილტრის სინთეზის საკითხი (ოპტიმალობა განმარტებულია ინფორმაციის რაოდენობის ფასაზრისით).

გადაცემის ფუნქციათა გარეკველი კლასისათვის მიღებულია ინფორმაციის რაოდენობის ზოგადი გამოსახულება. ინფორმაციის რაოდენობა დამკაიდებულია სისტემის ფიზიკურ მახასიათებლებზე.

CYBERNETICS

I. A. SKHIRTADZE

## OPTIMAL LINEAR FILTER AND INFORMATION QUANTITY

### Summary

Problems of optimal linear filter synthesis are considered. (Optimum is considered from the point of view of information quantity). Some expressions for information quantity which depend upon the physical parameters of the system are given for a certain group of transmittive functions.

### ლიტერატურა — ЛИТЕРАТУРА — REFERENCES

1. В. В. Чавчанидзе. Сообщения АН ГССР, 80, № 1, 1975.
2. М. С. Пинскер. ДАН СССР XCIX, № 2, 1954.
3. Н. Винер, Р. Пэли. Преобразование Фурье в комплексной области. М., 1964.



КИБЕРНЕТИКА

Б. И. ЦЕРЦВАДЗЕ

РЕКУРСИВНЫЕ МЕТОДЫ ПОСТРОЕНИЯ НЕПОЛНЫХ  
СБАЛАНСИРОВАННЫХ БЛОК-СХЕМ

(Представлено академиком В. В. Чавчанидзе 30.12.1975)

Теорема 1. Если существует симметричная схема с параметрами

$$(1) \quad v, k, \lambda \geq 2,$$

то существует и схема

$$(2) \quad v_1 = v, \quad k_1 = \lambda, \quad r_1 = C_k^2, \quad \lambda_1 = C_\lambda^2, \quad b_1 = C_v^2.$$

Доказательство. Рассмотрим все пары элементов схемы (1); объединив соответствующие им номера блоков в новые блоки, получим  $b_1 = C_v^2$  разных блоков. Ясно, что  $k_1 = \lambda$ , каждый номер блока схемы повторится  $r_1 = C_k^2$  раз, а пары номеров —  $\lambda_1 = C_\lambda^2$  раз, так как пересечения любых двух блоков в схеме (1) и число повторений пар элементов равны  $\lambda$  [1], что и требовалось доказать.

Рассмотрим пример:

$$(1) \quad v=7, \quad k=4, \quad \lambda=2,$$

$$(2) \quad v_1=7, \quad k_1=2, \quad \lambda_1=1, \quad b_1=21, \quad r_1=6.$$

$$1) (4, 5, 6, 7), 2) (2, 3, 6, 7), 3) (2, 3, 4, 5), 4) (1, 3, 5, 7),$$

$$5) (1, 3, 4, 6), 6) (1, 2, 4, 7), 7) (1, 2, 5, 6).$$

$(4,5) \in 1$  и  $(4,5) \in 3$ , т. е. (1,3) — блок № 1 схемы (2) и т. д.

Теорема 2. Если существует схема

$$(3) \quad v=4t-1, \quad k=2t-1, \quad \lambda=t-1,$$

то существует и схема

$$(4) \quad v_1=8t-1, \quad k_1=4t-1, \quad \lambda_1=2t-1.$$

Доказательство. Рассмотрим конструкцию вида

$$\begin{array}{c} 4t \\ \vdots \\ 4t \\ \hline \overline{A} & B \\ 4t+1, \dots, 8t-1 \end{array}$$

где  $A$  — основная (3) и  $\overline{A}$  — дополнительная к ней схемы; схема  $B$  получается сдвигом номеров элементов схемы (3) на  $4t$ ; к каждому блоку основной схемы добавлен новый элемент с номером  $4t$ .

Внизу дописывается новый блок с элементами  $(4t+1, \dots, 8t-1)$ . С помощью соотношений (5), которые справедливы для любых симметричных схем:

$$(5) \quad \begin{aligned} a_i \cap a_j &= \begin{cases} k, & \text{если } i = j, \\ \lambda, & \text{если } i \neq j, \end{cases} \\ a_i \cap \bar{a}_j &= \begin{cases} 0, & \text{если } i = j, \\ k - \lambda, & \text{если } i \neq j, \end{cases} \\ \bar{a}_i \cap \bar{a}_j &= \begin{cases} v - 2k + \lambda, & \text{если } i \neq j, \\ v - k, & \text{если } i = j, \end{cases} \end{aligned} \quad \begin{array}{l} \text{где } a \text{ и } \bar{a} \text{ — блоки ос-} \\ \text{новной и дополнитель-} \\ \text{ной схем,} \end{array}$$

можно показать, что пересечения между парами блоков в конструкции равны  $\lambda_1 = 2t - 1$ ; вместе с тем, нетрудно видеть, что  $v_1 = 8t - 1$ ,  $k_1 = 4t - 1$ , что и требовалось доказать.

Пример:

$$(3) \quad v=3, \quad k=1, \quad \lambda=0,$$

$$(4) \quad v_1=7, \quad k_1=3, \quad \lambda_1=1.$$

1)	2)	3)	4)	5)	6)	7)
1	2	3	2,3	1,3	1,2	5
4	4	4				6
5	6	7	5	6	7	7

Теорема 3. Если существует схема

$$(6) \quad v=4a^2, \quad k=2a^2+a, \quad \lambda=a^2,$$

то существует и схема

$$(7) \quad v_1=(4a)^2, \quad k_1=2a(4a-1), \quad \lambda_1=2a(2a-1).$$

Доказательство. Рассмотрим конструкцию вида

$$\begin{matrix} A & \overline{A} & \overline{A} & \overline{A} \\ \overline{A} & A & \overline{A} & \overline{A} \\ \overline{A} & \overline{A} & A & \overline{A} \\ \overline{A} & \overline{A} & \overline{A} & A \end{matrix}$$

где  $A$  и  $\overline{A}$  — матрицы инцидентности схемы (6) и ее дополнительной соответственно.

С помощью соотношений (5) нетрудно убедиться в том, что любые пары блоков в конструкции пересекаются  $\lambda=2a(2a-1)$  раз. Вместе с тем,  $k_1=r_1=2a(4a-1)$ , а  $v_1=b_1=(4a)^2$ , что и требовалось доказать.

Пример:

$$(6) v = 4, \quad k = 3, \quad \lambda = 2,$$

$$(7) v_1 = 16, \quad k_1 = 6, \quad \lambda_1 = 2.$$

0111	1000	1000	1000
1011	0100	0100	0100
1101	0010	0010	0110
1110	0001	0001	0001
	1000	0111	1000
	0100	1011	0100
	0010	1101	0010
	1110	0001	0001
	1000	1000	0111
	0100	0100	1011
	0010	0010	1101
	0001	0001	1110

Академия наук Грузинской ССР

Институт кибернетики

(Поступило 8.1.1975)

კიბერნეტიკა

ბ. ვარდაძე

არასრული გალანცირებული გლობ-სტრუქტურის აგების რეკურსიული  
მეთოდები

რეზიუმე

აღწერილია ბლოკ-სქემების აგების ახალი მეთოდები:

- 1) არსებული სიმეტრიული  $v, k, \lambda \geq 2$  სქემიდან აიგება სქემა პარამეტრებით  $v, k_1 = \lambda, r_1 = C_k^2, \lambda_1 = C_\lambda^2, b_1 = C_v^2$ ,
- 2) სქემიდან  $v = 4t - 1, k = 2t - 1, \lambda = t - 1$  აიგება სქემა  $v_1 = 8t - 1, k_1 = 4t - 1, \lambda_1 = 2t - 1$  ადამარის მატრიცებზე გადასცლის გარეშე,
- 3) სქემიდან  $v = 4a^2, k = 2a^2 + a, \lambda = a^2$  აიგება სქემა  $v_1 = (4a)^2, k_1 = 2a(4a - 1), \lambda_1 = 2a(2a - 1)$ .  
აგების მეთოდები ილუსტრირებულია მაგალითებით.

B. I. TSERTSVADZE

## RECURSIVE METHODS OF CONSTRUCTING BALANCED INCOMPLETE BLOCK-SCHEMES

## Summary

New methods of constructing BIB schemes are described:

a) from the existing symmetrical  $v, k, \lambda \geq 2$  scheme we obtain a scheme with the following parameters:  $v_1 = v, k_1 = \lambda, r_1 = C_k^2, \lambda_1 = C_\lambda^2, b_1 = C_v^2$ ;

b) from the scheme with  $v = 4t - 1, k = 2t - 1, \lambda = t - 1$  we obtain a scheme with  $v_1 = 8t - 1, k_1 = 4t - 1, \lambda_1 = 2t - 1$  without transition to Hadamard matrices;

c) from the scheme with  $v = 4a^2, k = 2a^2 + a, \lambda = a^2$  we obtain a scheme with  $v_1 = (4a)^2, k_1 = 2a(4a - 1), \lambda = 2a(2a - 1)$ . These methods of construction are illustrated by examples.

## ლიТЕРАТУРА — REFERENCES

1. М. Холл. Комбинаторика. М., 1970.



КИБЕРНЕТИКА

Т. Р. ПЕПКРИШВИЛИ

ГЕНЕРИРОВАНИЕ ТЕСТОВ ПРИ ПОМОЩИ АНАЛИТИЧЕСКОЙ ЛОГИКИ

(Представлено академиком В. В. Чавчанидзе 24.12.1975)

Неисправность цифровой схемы — это физический дефект одного или нескольких компонентов. Основным методом контроля цифровых схем является тестовая проверка. Тестовая проверка заключается в подаче на вход схемы множества входных сигналов и анализе выходных сигналов схемы.

Тест  $t_k$  есть последовательность входных векторов  $x_1, x_2, \dots, x_m$ , приложенных к схеме и соответствующих выходным векторам схемы. Для генерирования тестов анализируется поведение схемы при заданных неисправностях на всевозможных входных наборах схемы, т. е. моделируется поведение схемы при наличии неисправностей.

Для нахождения тестов комбинационной схемы имеется много различных методов, например метод Элдрида,  $d$ -алгоритм, метод Армстронга и др. Недостатками этих алгоритмов являются громоздкость и трудность в программировании.

Общий и довольно простой метод выработки тестов дают таблицы истинности, однако этот метод непригоден для сравнительно больших схем с большим числом входов, для которых получить таблицы истинности не так просто. При помощи аналитической логики эта трудность легко преодолима.

Все вышеперечисленные алгоритмы предназначены для комбинационной цифровой схемы, которая представляет собой группу логических вентилей без петель обратных связей: считается, что каждый вентиль может иметь одну из следующих неисправностей:

- 1) выход  $\equiv 0$ ,
- 2) вход  $\equiv 1$ ,
- 3) разомкнут один из входов (либо  $\equiv 1$ , либо  $\equiv 0$ ).

Для простоты допускается, что комбинационная схема, реализующая логическую функцию

$$y = f(x), \quad (1)$$

имеет один выход.

Основной метод генерирования тестов при помощи аналитической логики заключается в том, что сперва находится функция, реализуемая при данной неисправности (это делается методом Поджа [1]), затем таблицы истинности, получаемые при помощи аналитической ло-

гики (первая — из старой (1) логической формулы, вторая — из функции, получаемой методом Поджа), сопоставляются построчно, вводится нумерация отличных друг от друга строк для нахождения входных конфигураций, вызвавших эти различия. Конфигурации входных переменных являются тестами при данных неисправностях.

Рассмотрим подробнее задачу нахождения тестов.

#### I этап.

1. Если моделируется поведение схемы при неисправности входных переменных, то для нахождения функции, реализуемой схемой, в нее подставляется то значение аргумента, которое принимает входная переменная при неисправном положении.

Пример. Для  $x_2$  входа моделируется поведение схемы на неисправность —  $x_2=1$ ; тогда функция, реализуемая схемой, будет

$$y = f(x_1, 1, \dots, x_k, \dots, x_m).$$

2. Если моделируется поведение схемы не для входных переменных, а для других связей, то:

а) следя Поджу [1], находится общая функция, которая для всех схем существует [1]:

$$y^* = f^*(x_1, x_2, \dots, x_m); \quad (2)$$

б) в зависимости от неисправности из  $y^*$  получается выходная функция схемы, соответствующая любой однозначной неисправности. Например, для проводника  $j=0$  подставляются в (2) значения коэффициентов:

$$j_0=1, j_n=0 \text{ и } j_1=0,$$

$$a_n=1, a_0=0 \text{ и } a_1=0 \text{ для всех } j \neq a.$$

#### II этап.

Вводятся  $2^n$  базисных векторов состояний с рангом  $2^n$ ; они имеют вид [2]

$$\psi(x_i) = \begin{bmatrix} v \\ \pi_1 \\ v \\ \pi_2 \\ \vdots \\ v \\ \pi_j \\ \vdots \\ v \\ \pi_k \end{bmatrix}, \quad i = 1, 2, \dots, n,$$

где каждое  $x_i$  — либо  $\bar{x}_i$ , либо  $x_i$ , а каждое  $\pi_i$  — либо 1, либо 0.

Далее переписывается булевое выражение (1) и (2), как в [3]:

$$\phi_y = f[\psi(x_i)] \quad \text{и} \quad \phi_{y^*} = f^*[\psi(x_i)],$$

где  $\phi_y$ ,  $\phi_{y^*}$  и  $\psi(x_i)$  — вектор-матрицы состояний ранга  $2^n$ .

### III этап.

Сравниваются  $\psi_y$  и  $\psi_{y^*}$  построчно; находятся те входные конфигурации, при которых  $\psi_y$  и  $\psi_{y^*}$  отличаются друг от друга. Эти конфигурации и являются тестами при данных неисправностях.

Вышеописанная процедура позволяет улучшить алгоритм генерирования проверочных тестов.

Академия наук Грузинской ССР  
Институт кибернетики

(Поступило 9.1.1975)

308066060000

თ. ფიქრიშვილი

ტესტების გენერირება ანალიტიკური ლოგიკის საშუალებით

რეზიუმე

ანალიტიკური ლოგიკის დახმარებით გენებულია ალგორითმი, რომლის სა-  
მუალებითაც შესაძლებელია არასწორად მომუშავე კომბინაციური სქემების  
შესამოწმებელი ტესტების მონახვა.

CYBERNETICS

T. R. PEIKRISHVILI

GENERATION OF TESTS BY MEANS OF ANALYTICAL LOGIC

Summary

With the help of analytical logic the algorithm has been constructed which enables to find a test for checking the incorrect combination circuit.

### ლიტერატურა — ЛИТЕРАТУРА — REFERENCES

1. Г. Чжен, Е. Менинг, Г. Мерц. Диагностика отказов цифровых вычислительных систем. М., 1972.
2. В. В. Чавчанидзе. Сообщения АН ГССР, 33, № 1, 1964.
3. В. В. Чавчанидзе. Сообщения АН ГССР, 59, № 2, 1970.

ФИЗИКА

А. Ф. СИДОХИН, Л. В. МИНИНА, Е. Ф. СИДОХИН, Ш. Ш. ДЖАНДЖГАВА  
 ОРИЕНТАЦИОННАЯ ЗАВИСИМОСТЬ СКОЛЬЖЕНИЯ В  
 МОНОКРИСТАЛЛАХ ГАЛЛИЯ ПРИ ДЕФОРМАЦИИ ВБЛИЗИ  
 ТЕМПЕРАТУРЫ ПЛАВЛЕНИЯ

(Представлено членом-корреспондентом Академии Т. И. Санадзе 10.1.1976)

Исследование, проведенное на монокристаллах галлия восьми различных ориентировок при температуре 28,9°C (0,997 T<sub>лл</sub>), показало, что положение оси растяжения относительно систем скольжения, возможных в галлии, оказывает существенное влияние на форму кристаллической ползучести. Скорость деформации на установившейся стадии  $\dot{\varepsilon}_{уст}$  зависит не только от уровня напряжений, создаваемых в действующей системе скольжения, но и от типа последней изменяясь на несколько порядков для одних и тех же напряжений при переходе от одной системы скольжения к другой. В то же время величины  $\dot{\varepsilon}_{уст}$  близки между собой, если их сопоставлять при одинаковых сдвиговых напряжениях, приведенных к критическим напряжениям действующей системы ( $\tau/\tau_{kp}$ ). Значения  $\dot{\varepsilon}_{уст}$  возрастают с увеличением  $\tau/\tau_{kp}$  независимо от типа системы скольжения, действующей в исследуемом кристалле, что указывает на общий характер процесса ползучести в различно ориентированных кристаллах и его тесную связь с динамическими свойствами дислокационной структуры. Зависимость  $\dot{\varepsilon}_{уст}$  от напряжений, исследованная на кристаллах двух ориентировок, имеет степенной характер с показателем степени 3—4.

Положение оси растяжения исследовавшихся кристаллов относительно элементов систем скольжения, которые наблюдались в галлии [1], показано на рис. 1. Значения ориентационных факторов и нагрузки, при которых проводились испытания, приведены в табл. 1. Наг-

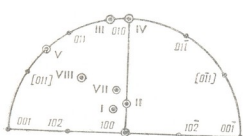


Рис. 1

рузки для кристаллов групп I—V и некоторых кристаллов групп VII и VIII подобраны так, чтобы наибольшие сдвиговые напряжения ( $\tau^* = 61,5 \text{ г/мм}^2$ ; критически напряжения сдвига в данном случае это условные сдвиговые напряжения в действующей системе скольжения,

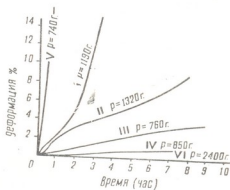


Рис. 2



соответствующие пределу текучести, оценка которых сделана по  $\tau^*$  (табл. 1) в одной или в нескольких системах скольжения были одинаковыми. Однако тип системы скольжения, в которой напряжения равны  $\tau^*$ , либо число их в кристаллах этих ориентировок различны. В кристаллах групп II и IV наибольшие сдвиговые напряжения ( $\tau^*$ ) одинаковы в двух эквивалентных системах скольжения [010] (102), [010] (102) и [011] (011), [011] (011) соответственно. Исключение составляют кристаллы группы VI, где для всех возможных систем скольжения ориентационный фактор имеет нулевое значение. Эти

Таблица 1

Система скольжения	Группа I $P=1190\text{ г}$	Группа II $P=1320\text{ г}$	Группа III $P=760\text{ г}$	Группа IV $P=850\text{ г}$	Группа V $P=740\text{ г}$	Группа VI $P=1190\text{ г}$ $P=2400\text{ г}$	Группа VII	Группа VIII
[010](102)	0,199	0,28	0,086	0	0,375	0	0,286	0,072
[010](102)	0,310	0,28	0,086	0	0,375	0	0,365	0,5
[010](001)	0,076	0	0,121	0	0,5	0	0,05	0,374
[011](011)	0,033	0,115	0,372	0,433	0,25	0	0,252	0,89
[011](011)	0,111	0,115	0,485	0,433	0,25	0	0,202	0,253

кристаллы испытывались под нагрузкой 1190 г (как кристаллы группы I) и наибольшей нагрузкой, которую выдерживала подвеска 2400 г. Кристаллы групп VII и VIII испытывались при трех различных нагрузках (табл. 2), которые обеспечивали наибольшие сдвиговые напряжения ( $\tau=\tau^*$ ) в системе скольжения 010 (102). При этом в кристаллах группы VIII напряжения были максимально возможными —  $\tau^*=0,5 \sigma$ . Кристаллы группы VII и VIII отличаются тем, что в них второй по величине ориентационный фактор имеет различные системы скольжения [010] (102) и [010] (001) соответственно.

Таблица 2

Группа	Р г	$\frac{\sigma}{\text{Г/мм}^2}$	$\frac{\sigma}{\text{Г/мм}^2}$	$\tau$ $\text{Г/мм}^2$	[010](001)	Предполагаемая система скольжения	Наблюдавшаяся система скольжения	$\tau^*/\tau_{kp}$	$\tau/\tau_{kp}$ 010 (001)	$\dot{\varepsilon}_{\text{уст}}$ $\text{сек}^{-1}$
I	1190	198	61,5	15,2	[010] (102)	[010] (102)	[010] (102)	0,31	0,14	$4,8 \cdot 10^{-5}$
II	1320	220	61,5	0	[010] (102); [010] (102); [010] (102)	[010] (102); [010] (102); полосы сброса	[010] (102); [010] (102); полосы сброса	0,31	0	$3,3 \cdot 10^{-6}$
III	760	127	61,5	15,2	[011] (011)	[011] (011)	[011] (011)	0,15	0,14	$8,0 \cdot 10^{-7}$
IV	850	142	61,5	0	[011] (011); [011] (011); [011] (011)	[011] (011); [011] (011); [011] (011)	[011] (011); [011] (011); [011] (011)	0,15	0	$3,2 \cdot 10^{-7}$
V	740	123	61,5	61,5	[011] (011)	[010] (001); [010] (001); [010] (001)	[010] (001); [010] (001); [010] (001)	0,56	0,56	$1,4 \cdot 10^{-4}$
VI	2400	400	0	0	—	—	—	0	0	0

\* Устанавливалась по следам скольжения на двух гранях. Следы скольжения имели грубый характер и позволяли определить плоскость скольжения, но не давали возможности решить, является ли она единственной.

Типичные кривые ползучести монокристаллов галлия групп I—VI приведены на рис. 2. Они показывают, что различно ориентированные кристаллы обнаруживают существенно различный характер поведения в условиях ползучести. Сложная зависимость формы кри-

вых ползучести от ориентировки оси растяжения кристаллов отражает тот факт, что системы скольжения в галлии значительно отличаются своими свойствами и участие каждой определяется не только уровнем напряжений в ней, но и тем, какую долю они составляют от критических напряжений сдвига ( $\tau_{kp}$ ), которые для системы скольжения [010] (001) равны примерно 110 г/мм<sup>2</sup>, для [010] (102) ~ 200 г/мм<sup>2</sup>, а для [011] (011) ~ 400 г/мм<sup>2</sup>\*. При выборе ориентировок кристаллов ставилась задача создать благоприятные, преимущественные условия для скольжения по одной или двум вполне определенным системам скольжения, обеспечив при этом минимальные, если нельзя нулевые, напряжения в системе скольжения [010] (001) (кроме групп V и VI).

При тех же напряжениях  $\tau^*$  и больших напряжениях  $\sigma$  кристаллы групп I — IV имели меньшие приведенные напряжения  $\tau^*/\tau_{kp}$ , вследствие чего скорость их ползучести  $\dot{\varepsilon}_{ust}$  оказалась меньше. При этом кристаллы групп II и IV, в которых должно было действовать по две системы скольжения, деформировались медленнее, чем кристаллы групп I и III, ориентированные для скольжения в одной системе, что противоречит выводам работы [3]. Объясняется это кажущееся противоречие тем, что в кристаллах групп II и IV на самом деле действовала только одна система скольжения (как показало металлографическое исследование следов скольжения) а в кристаллах групп I и III достаточно большая величина отношения  $\tau/\tau_h = 0,14$  для системы скольжения [010] (001), по-видимому, стала причиной действия этой системы, что также вуалирует истинное соотношение скоростей ползучести.

В результате испытаний кристаллов групп VII и VIII установлено, что зависимость  $\dot{\varepsilon}_{ust}$  от напряжений имеет степенной характер с близкими значениями показателя степени 3, 4 и 4,1 соответственно. Однако сами скорости установившейся ползучести ( $\dot{\varepsilon}_{ust}$ ) кристаллов этих групп, взятые при одинаковых напряжениях  $\sigma$  и  $\tau^*$ , разнятся весьма сильно. Они в 25—50 раз больше у кристаллов группы VIII (табл. 3). В то же время значения оказываются близкими, если их

Таблица 3

Группа	R g	$\sigma$ г/мм <sup>2</sup>	$\tau^*$ г/мм <sup>2</sup>	$\tau^*/\tau_{kp}$ [010] (102)	$\tau$ г/мм <sup>2</sup>	$\tau/\tau_{kp}$ [010] (001)	$\dot{\varepsilon}_{ust}$ сек <sup>-1</sup>
VII	1500	250	91	0,23	12,5	0,11	$3,4 \cdot 10^{-6}$
	1000	166	61	0,16	8,3	0,075	$8,9 \cdot 10^{-7}$
	500	83	30	0,077	4,1	0,037	$0,83 \cdot 10^{-7}$
VIII	732	122	61	0,16	46	0,42	$2,1 \cdot 10^{-5}$
	500	83	41,5	0,106	31	0,28	$4,1 \cdot 10^{-6}$
	355	59	29,5	0,076	22	0,2	$9,7 \cdot 10^{-7}$

сравнить при одинаковых значениях  $\tau/\tau_{kp}$  для [010] (102) и [010] (001) у кристаллов групп VII и VIII соответственно, предполагая, что именно эти системы являются действующими, несмотря на то что в кристаллах VIII наибольшие, притом максимальные напряжения  $\tau^* = 0,5\sigma$ , достигаются в системе скольжения [010] (102) (той же, что в кристаллах группы VII). Металлографические наблюдения следов скольжения подтверждают это предположение: скольжение в кристаллах группы VIII происходило не по плоскости максимальных напряжений (102), а по плоскости (001), где напряжения на 25% ниже.

Таблица 4

$\tau/\tau_{kp}$	0,08	0,15	0,16	0,2	0,23	0,28	0,31	0,42	0,56
$\dot{\varepsilon}_{ust} \text{ сек}^{-1}$	$0,8 \cdot 10^{-7}$	$3,2 \cdot 10^{-7}$	$8,9 \cdot 10^{-7}$	$9,7 \cdot 10^{-7}$	$3,4 \cdot 10^{-6}$	$4,1 \cdot 10^{-6}$	$3,3 \cdot 10^{-6}$	$2,1 \cdot 10^{-5}$	$1,4 \cdot 10^{-4}$
Наблюдаемая система скольжения	[010]	[011]	[010]	[010]	[010]	[010]	[010]	[010](001)	[010](001)
Группа	(102)	(011)	(102)	(001)	(102)	(001)	(102)	VII	V

\* Взяты кристаллы, ориентированные для скольжения по двум системам, а не кристаллы групп I и III, ориентированные для единичного скольжения, по той причине, что в них металлографически наблюдалось действие одной системы скольжения. В кристаллах же групп I и III, вероятно, помимо основной системы, действовала система скольжения [010] (001), поскольку для нее велико отношение  $\tau/\tau_{kp}$ , достигающее 0,14.

На основании полученных в работе данных составлена таблица 4, представляющая зависимость  $\dot{\varepsilon}_{ust}$  от приведенных напряжений  $\tau/\tau_{kp}$  в действующей системе скольжения.

Грузинский политехнический институт

им. В. И. Ленина

(Поступило 26.1.1976)

Физика

Э. Сидохин, Л. Минина, Е. Сидохин, Ш. Чанчава

ОРИЕНТАЦИОННАЯ ЗАВИСИМОСТЬ ГЛЮДЕЙ В ГАЛИУМЕ В ОБЛАСТИ ТЕМПЕРАТУРЫ Плавления

### Резюме

Глайдовые кривые в галлиевом монокристалле при температуре  $28,9^{\circ}\text{C}$  исследованы в восьми различных направлениях. Установлено, что форма глайдовых кривых в зависимости от возможных систем скольжения существенно зависит от направления оси деформации.

PHYSICS

A. P. SIDOKHIN, L. V. MININA, E. P. SIDOKHIN, Sh. Sh. JANJGAVA

### ORIENTATION DEPENDENCE OF GLIDE IN GALLIUM MONOCRYSTALS IN THE VICINITY OF MELTING TEMPERATURE

#### Summary

The investigations carried out at the temperature of  $28 \pm 9^{\circ}\text{C}$  in eight differently oriented directions in a monocrystal of gallium have revealed that the shape of glide curve in relation to possible glide systems is essentially affected by the strain axis.

#### Литература — ЛИТЕРАТУРА — REFERENCES

1. C. G. Wilson. J. Less-Common Met. 5, 1963, 245.
2. Е. Ф. Сидохин, Н. А. Голодзе, А. Ф. Сидохин, Л. М. Утевский. ФММ, 35, 1973, 807.
3. Л. А. Волошина, В. М. Розенберг. ФММ, 13, 1962, 474.



В. Ш. ГОГОХИЯ, Д. П. МАВЛО

ДВУХСТОРОННИЕ СПЕКТРАЛЬНЫЕ ОЦЕНКИ  
 КВАЗИПОТЕНЦИАЛЬНОЙ КРАЕВОЙ ЗАДАЧИ НА ОСНОВЕ  
 ТЕОРИИ ШТУРМА—ЛИУВИЛЛЯ

(Представлено академиком А. Н. Тавхелидзе 19.9.1975)

Целью настоящей работы является применение некоторых строгих теорем из теории Штурма—Лиувилля [1] для получения двухсторонних оценок спектра квазипотенциальной краевой задачи, исследованной в работе [2] с помощью эталонного уравнения (МЭУ) [2]. Рассматриваемая квазипотенциальная краевая задача имеет вид [2]

$$\frac{d^2 f(x)}{dx^2} + \lambda^2 V(x, E) f(x) = 0, \quad V(x, E) = \frac{1}{(x^2 + 1)^{1/2}(x^2 + E^2)}, \quad (1)$$

$$f(x) \underset{x \rightarrow 0}{\sim} x, \quad f(x) \underset{x \rightarrow \infty}{\sim} \text{const.} \quad (2)$$

Не останавливаясь на теореме существования для собственных значений и собственных функций, а также на теореме об ортогональности собственных функций [1], сформулируем кратко, применительно к квазипотенциальной краевой задаче (1), (2), ту из теорем теории Штурма—Лиувилля [1], которая будет использована в данной статье:

*Теорема. Если функцию  $V(x, E)$  увеличить во всей области изменения переменной  $x$  и параметра  $E$ , то положительные собственные значения уменьшаются, а отрицательные увеличиваются.*

Таким образом, чтобы применить данную теорему к квазипотенциальной краевой задаче (1), (2), необходимо найти такие функции  $V_>(x, E)$  и  $V_<(x, E)$ , для которых неравенства

$$V_>(x, E) \geq V(x, E) \equiv \frac{1}{(x^2 + 1)^{1/2}(x^2 + E^2)} \geq V_<(x, E) \quad (3)$$

выполнялись бы во всей области изменения переменной  $x \in [0, \infty)$  и параметра  $E \in [0, 1]$ , а уравнения

$$\frac{d^2 f(x)}{dx^2} + \lambda_<^2 V_<(x, E) f(x) = 0, \quad (4)$$

$$\frac{d^2 f(x)}{dx^2} + \lambda_>^2 V_>(x, E) f(x) = 0 \quad (5)$$

с прежними граничными условиями (2) решались бы в терминах известных специальных функций (или допускали бы более простое, чем

исходное уравнение (1), аналитическое, асимптотическое или численное исследование). Если решения краевых задач (4), (2) и (5), (2) известны, то можно записать, основываясь на изложенной теореме, двухсторонние оценки для собственных значений исходной краевой задачи (1), (2):

$$|\lambda_{<}^2| \geq |\lambda^2| \geq |\lambda_{>}^2|. \quad (6)$$

В случае краевой задачи (1), (2) знаки модулей в (6) можно опустить, потому что, как будет следовать из дальнейшего, все собственные значения  $\lambda_n^2(E)$  положительны.

В качестве аппроксимирующих функций выбираем

$$V_<(x, E) = \frac{1}{(x+1)(x+E^2)}, \quad (7)$$

$$V_>(x, E) = \begin{cases} (x^2 + E^2)^{-1}, & x < 1, \\ x^{-3}, & x \geq 1. \end{cases} \quad (8a)$$

$$V_>(x, E) = \begin{cases} (x^2 + E^2)^{-1}, & x < 1, \\ x^{-3}, & x \geq 1. \end{cases} \quad (8b)$$

Очевидно, что такой выбор аппроксимирующих функций правильно воспроизводит аналитические свойства  $V(x, E)$ : точка  $x=0$  при  $E \neq 0$  является неособой, в то время как при  $E=0$  возникает регулярная особенность при  $x=0$ , что и обуславливает поведение спектра  $\lambda_n^2(E)$  при малых  $E$ . Кроме того, аппроксимирующие функции (7), (8) имеют правильную асимптотику при  $x \rightarrow \infty$ . В связи с мажорантной функцией (8) необходимо отметить, что основная теорема, приведенная выше, имеет место и для кусочно-непрерывных аппроксимирующих функций.

Рассмотрим вначале краевую задачу (2), (4), (7) для мажорантной функции  $V_<(x, E)$ :

$$\frac{d^2 f(x)}{dx^2} + \frac{\lambda^2}{(x+1)(x+E^2)} f(x) = 0. \quad (9)$$

Общее решение уравнения (9) имеет вид

$$f(x) = C_1 \left[ -\frac{x+E}{1-E} \right]^\alpha F \left( \alpha, -\alpha^*; 2\alpha; -\frac{x+E}{1-E} \right) + \\ + C_2 \left[ -\frac{x+E}{1-E} \right]^{\alpha^*} F \left( \alpha^*, -\alpha; 2\alpha^*; -\frac{x+E}{1-E} \right), \quad (10)$$

где  $C_1, C_2$  — произвольные постоянные и  $\alpha = \frac{1}{2} + i \left[ \frac{\lambda^2}{1-E} - \frac{1}{4} \right]^{1/2}$ .

Используя известное аналитическое продолжение гипергеометрической функции, из граничных условий (2) получаем следующее спектральное условие:

$$(-1)^{1-2\alpha} \frac{\Gamma(\alpha^*) \Gamma(z^* + 1) \Gamma(2\alpha)}{\Gamma(\alpha) \Gamma(z + 1) \Gamma(2\alpha^*)} = \left( \frac{E}{E-1} \right)^{2z-1} \frac{F \left( \alpha, -\alpha^*; 2\alpha; \frac{-E}{E-1} \right)}{F \left( \alpha^*, -\alpha; 2\alpha^*; \frac{-E}{E-1} \right)}. \quad (11)$$

Рассмотрим предельные случаи точного минорантного спектра исходя из условия (11). В пределе  $E \rightarrow 0$  с точностью до членов порядка  $E^2$  из (11) получаем

$$E_{n,<}(\lambda) = \exp \left\{ - \frac{n\pi}{\sqrt{\lambda^2 - \frac{1}{4}}} + K_< \right\}, \quad n = 1, 2, 3, \dots, \quad (12)$$

$$K_< = 2\psi(1) - \psi(1/2) - \psi(3/2) = 0.77.$$

В предельном случае  $E \rightarrow 1$  проще исходить не из условия (11), а непосредственно из уравнения (9). Решение уравнения (9) при  $E=1$ , удовлетворяющее граничному условию при  $x \rightarrow \infty$  (2) имеет вид

$$f(x) = \text{const} (x+1)^{1/2} J_1 \left( \frac{2\lambda_<}{\sqrt{x+1}} \right). \quad (13)$$

Используя граничное условие в нуле (2), получаем точный минорантный спектр при  $E=1$ :

$$\lambda_{n,<}^2(1) = \frac{1}{4} z_n^2, \quad n = 1, 2, 3, \dots, \quad (14)$$

где  $z_n$  — корни функции Бесселя  $J_1(z)$ .

Рассмотрим теперь краевую задачу (2), (5), (8) для мажорантной функции  $V_>(x, E)$ . Решение краевой задачи (5), (8а) ( $x \in [0,1]$ ) с граничным условием в нуле (2), пригодное при  $\frac{x^2}{E^2} > 1$ , имеет вид [2]

$$f(x) = \text{const} \left\{ \left( \frac{x^2}{E^2} \right)^{a^*} B(a) F \left( a, -a^*; 2a + \frac{1}{2}; -\frac{E^2}{x^2} \right) + \left( \frac{x^2}{E^2} \right)^a B(a^*) F \left( a^*, -a; 2a^* + \frac{1}{2}; -\frac{E^2}{x^2} \right) \right\}, \quad (15)$$

где

$$B(a) = \frac{\Gamma \left( \frac{3}{2} \right) \Gamma \left( \frac{1}{2} - 2a \right)}{\Gamma \left( \frac{1}{2} - a \right) \Gamma \left( \frac{3}{2} - a \right)}; \quad a = \frac{1}{4} + \frac{i}{2} \left[ \lambda_>^2 - \frac{1}{4} \right]^{1/2}. \quad (16)$$

Решение краевой задачи (5), (8в) ( $x \in [1, \infty)$ ) с граничным условием на бесконечности (2) имеет вид

$$f(x) = \text{const} X^{1/2} J_1 \left( \frac{2\lambda_>}{\sqrt{x}} \right). \quad (17)$$

Приравнивая логарифмические производные решений (15) и (17) в точке  $x=1$ , получаем следующее мажорантное спектральное условие:

$$\frac{3}{2\lambda_>} + \frac{3}{\lambda_>} \cdot \frac{J'_1(2\lambda_>)}{J_1(2\lambda_>)} = \frac{A(a) E^{2a} F \left( a+1, -a^*; 2a + \frac{1}{2}; -E^2 \right) +}{B(a) E^{2a} F \left( a, -a^*; 2a + \frac{1}{2}; -E^2 \right) +}$$

$$\frac{+A(a^*)E^{2a^*}F\left(a^*+1, -a; 2a^*+\frac{1}{2}; -E^2\right)}{+B(a^*)E^{2a^*}F\left(a^*, -a; 2a^*+\frac{1}{2}; -E^2\right)}, \quad (18)$$

где  $A(a) = \Gamma\left(\frac{5}{2}\right)\Gamma\left(\frac{1}{2}-2a\right)/\Gamma^2\left(\frac{3}{2}-a\right).$  (19)

В пределах  $E \rightarrow 0$  с точностью до членов порядка  $E^2$  из (18) получаем

$$E_{n,>}(\lambda) = \exp\left\{-\frac{n\pi}{\sqrt{\lambda^2-\frac{1}{4}}} + K_>\right\}, \quad n = 1, 2, 3, \dots, \quad (20)$$

$$K_> = \psi(1) - \frac{1}{2}\psi(1/4) - \frac{1}{2}\psi(5/4) = 1.65.$$

из (12), (20) и основной теоремы (6) следует, что при малых  $\left(\lambda^2 - \frac{1}{4}\right)$

$$E_n^{\text{точ}}(\lambda) = \exp\left\{-\frac{n\pi}{\sqrt{\lambda^2-\frac{1}{4}}} + K_{\text{точ}} + O\left(\sqrt{\lambda^2-\frac{1}{4}}\right)\right\}, \quad (21)$$

причем  $K_< < K_{\text{точ}} < K_>$ . При  $E=1$  и  $n=1$  численное решение уравнений (11) и (18) дает  $\lambda_{1,<}^* = 3,61$ ,  $\lambda_{1,>}^* = 1,55$ , в то время как  $\lambda_{1,\text{точ}}^* = 2,37$  [2] в полном соответствии с основной теоремой.

Академия наук Грузинской ССР  
Тбилисский математический  
институт

Киевский государственный  
университет  
им. Т. Г. Шевченко

(Поступило 28.11.1975)

Физика

З. Гогогхия, Д. Мавло

კვაზიპოტენციალური სასაზღვრო ამოცანის ორმხრივი  
სპექტრალური შედეგები — ლიუვილის თეორიის საფუძვლის  
რეზუმე

შტურმ — ლიუვილის ზოგიერთი თეორემა გამოიყენება, კვაზიპოტენცია-  
ლური სასაზღვრო ამოცანისათვის, რომელიც აღრე ამოხსნილი იყო ეტალო-  
ნურ განტოლებათა მეოთხით.

PHYSICS

V. Sh. GOGOKHIA, D. P. MAVLO

UPPER AND LOWER STURM-LIOUVILLE SPECTRAL BOUNDS FOR A  
QUASIPOTENTIAL EIGENVALUE PROBLEM

Summary

Some theorems from the Sturm-Liouville theory are applied to the quasipotential eigenvalue problem, solved formerly by the comparison equation method.

#### ЛІТЕРАТУРА — REFERENCES

- Ф. Трикоми. Дифференциальные уравнения. М., 1962.
- В. Ш. Гогохия, Д. П. Мавло, А. Т. Филиппов. Препринт ОИЯИ, Р2—8812. Дубна, 1975.



ФИЗИКА

А. В. ШУРГАЯ

**ДВИЖЕНИЕ НЕРЕЛЯТИВИСТСКОЙ ЧАСТИЦЫ СО СПИНОМ  
В КВАНТОВАННОМ ПОЛЕ С СИЛЬНОЙ СВЯЗЬЮ**

(Представлено академиком А. Н. Тавхелидзе 18.11.1975)

Исследование сильно взаимодействующей системы сопряжено с принципиальной трудностью строгого описания свойств инвариантности. Решение этой проблемы предложено Н. Н. Боголюбовым [1]. Дальнейшее развитие его метода позволяет изучить взаимодействия, инвариантные относительно произвольной группы непрерывных преобразований.

Гамильтониан системы «фермион-псевдоскалярное поле» (система заключена в кубе с объемом  $V$ )

$$H = \frac{\vec{p}^2}{2m} + \frac{1}{2} \sum_{\vec{j}} \omega_j (a_{\vec{j}}^+ a_{\vec{j}} + a_{\vec{j}} a_{\vec{j}}^+) + g \sum_{\vec{j}} B_{\vec{j}} \frac{1}{V^2} (a_{\vec{j}} + a_{-\vec{j}}^*) e^{i \vec{j} \cdot \vec{x}} \quad (1)$$

(коэффициент  $B_{\vec{j}}$  пропорционален Фурье-образу функции источника) инвариантен относительно преобразований

$$x_a \rightarrow h_{av} x_v + q_v, \quad a_{\vec{j}} \rightarrow a_{\vec{j}'}, t_{\vec{j}'}, \quad a_{\vec{j}}^* \rightarrow t_{\vec{j}'}, a_{\vec{j}'},$$

составляющих группу движения 3-мерного евклидового пространства  $M$  (3). Роль сохраняющихся величин играют квадрат импульса и проекция углового момента на направление импульса.

В дальнейшем удобнее ввести место Бозе-операторов  $a_f$  обобщенные координаты и импульсы

$$a_{\vec{j}} = \frac{a_{\vec{j}} + a_{-\vec{j}}^*}{g V^2}, \quad p_{\vec{j}} = ig \frac{a_{\vec{j}}^* - a_{-\vec{j}}}{V^2},$$

в терминах которых операторы энергии, импульса и момента определяются следующими соотношениями:

$$H = \frac{1}{2m} \vec{p}^2 + \frac{1}{2g^2} \sum_{\vec{j}} \omega_j p_{\vec{j}}^* p_{\vec{j}} + g^2 \sum_{\vec{j}} [B_{\vec{j}} q_{\vec{j}} e^{i \vec{j} \cdot \vec{x}} + \omega_j q_{\vec{j}}^* q_{\vec{j}}],$$

$$P_a = p_a - \frac{i}{2} \sum_{\vec{j}} f_a (q_{\vec{j}} p_{\vec{j}} + p_{\vec{j}} q_{\vec{j}}),$$

$$L_a = \frac{1}{2} \sigma_a + \varepsilon_{\alpha\beta\gamma} x_\beta p_\gamma - \frac{i}{2} \sum_{\tilde{J}} \{ p_{\tilde{J}} (\tilde{l}_a q_{\tilde{J}}) + (\tilde{l}_a q_{\tilde{J}}) p_{\tilde{J}} \}.$$

Следуя работам [1, 2], введем вместо переменных  $x_a, q_{\tilde{J}}$  новые:

$$x_a = \frac{1}{Vg} h_{av} \lambda_v + q_a, \quad q_{\tilde{J}} = \tilde{l}_{J\tilde{J}'} \left( u_{\tilde{J}'} + \frac{1}{g} Q_{\tilde{J}'} \right).$$

В набор независимых переменных, наряду с  $\lambda_a$  и  $Q_{\tilde{J}}$ , включим параметры группы  $M(3)$ : три угла Эйлера и вектор сдвига  $q_a$ . В результате число переменных увеличится на шесть. Поэтому следует наложить на новые переменные столько же дополнительных условий. В качестве них выберем простейшие линейные соотношения

$$\sum_{\tilde{J}} N_{a\tilde{J}}^i Q_{\tilde{J}} = 0, \quad i = 1, 2; \quad \alpha = 1, 2, 3,$$

где  $N_{a\tilde{J}}^i$  — некоторые числа. Вместе с  $N_{a\tilde{J}}^i$  существуют числа  $M_{\tilde{J}\tilde{B}}^a$ , такие, что

$$\sum_{\tilde{J}} N_{a\tilde{J}}^i M_{\tilde{J}\tilde{B}}^k = \delta_{ik} \delta_{ab}.$$

Мы не выпишем выражения для гамильтониана, отметив лишь, что его зависимость от параметров группы симметрии определяется дифференциальными формами  $\tilde{l}_a$ , являющимися генераторами обратных преобразований из группы  $M(3)$ . Параллельно возникает возможность разложения  $H$  по степеням  $g^{-1}$ .

Необходимо преобразовать спиновые переменные:

$$S^{-1} \sigma_a S = h_{av} \sigma_v \quad (3)$$

(унитарный оператор  $S$  хорошо известен в теории группы  $SU(2)$ ).

Преобразование (3) затрагивает операторы  $\tilde{l}_a^1$  (но не  $\tilde{l}_a^2$ ):

$$S^{-1} \tilde{l}_a^1 S = \tilde{l}_a^1 - \frac{1}{2} \sigma_a.$$

Гамильтониан и волновая функция системы преобразуются согласно соотношениям

$$\Psi \rightarrow \Psi' = S^{-1} \Psi, \quad H \rightarrow H' = S^{-1} H S.$$

Теперь нетрудно убедиться, что в результате преобразований (2) и (3) операторы импульса и момента системы сводятся к инфинитезимальным операторам  $l_a^1$  группы  $M(3)$ :

$$S^{-1} L_a S = l_a^1, \quad P_a = l_a^2$$

и коммутируют с  $\tilde{l}_a^1$ , что указывает явно на выполнение законов сохранения. Поэтому волновую функцию можно представить в виде произведения<sup>1</sup>

<sup>1</sup> Явный вид матрицы  $t(\vec{q}h)$  необязательно совпадает с  $t_{J'f}(\vec{q}, h)$ .

$$\Psi' = t(\vec{q}, h) \Psi'',$$

а операторы  $\tilde{J}_a^2$  заменить  $c$ -числами

$$\tilde{J}_a^1 \rightarrow J_a, \quad \tilde{J}_a^2 \rightarrow P_a.$$

Теперь можно применить теорию возмущений для отыскания стационарных состояний системы, не заботясь о выполнении законов сохранения. Для энергии нулевого приближения (т. е. энергии основного состояния) получено следующее выражение:

$$E_0 = -g^2 \sum_{\vec{f}} B_{\vec{f}} u_{\vec{f}} f_3 + \frac{1}{2} g^2 \sum_{\vec{f}} |u_{\vec{f}}|^2 \left( \omega_f + \frac{(\vec{f} \vec{C})^2}{\omega_f} \right), \quad (4)$$

где  $\vec{C}$  — вектор средней скорости частицы [3], а

$$u_{\vec{f}} = \frac{B_{\vec{f}}^* \omega_f f_3}{\omega_f^2 - (\vec{f} \vec{C})^2}. \quad (5)$$

Импульс системы

$$P_a = g^2 \sum_{\vec{f}} \frac{\tilde{f}_a (\vec{f} \vec{C})^2}{\omega_f} |u_{\vec{f}}|^2$$

совпадает с аналогичным выражением работы [3]. Возбужденные состояния описываются слагаемыми порядка  $g^{-2}$ . Их энергия равна

$$E_b = \frac{1}{2g^2} N^2 \left\{ j(j+1) + m + \frac{3}{4} \right\}. \quad (6)$$

Квантовое число  $j = \frac{1}{2}, \frac{3}{2}, \dots$  соответствует угловому моменту системы,  $m$  — его проекции на ось  $z$  в системе отсчета, полученной из первоначальной путем вращения и дальнейшего сдвига.

В пределе  $\vec{C} = 0, m = -\frac{1}{2}$  формулы (4), (5), (6) переходят в соответствующие выражения моделей фиксированного источника [4].

В заключение отметим, что исследуемая модель (с неградиентной связью) изучалась в работах [5], однако их автору не удалось правильно описать свойства симметрии и, как следствие, им не получено расщепление уровней энергии относительно  $m$ .

Академия наук Грузинской ССР  
 Тбилисский математический институт  
 им. А. М. Размадзе

(Поступило 28.11.1975)

## Ա. ՇՈՒՐԳԱՅԻ

ԱՆՏՐՈՎԼԱՅԱՅԻՑՈՍՏՄԱՆ ՏԱՐԾՈՅԱԿՈՎ ԹԹՈՎՆԱՐԺԱ  
ՀԱԿՑԱՅԻՑՄԱՆ ՅՈՂԱԿՈՎ ԲԼՈՒՐՈՒ ՑԱՅՈՒԹ

## ՀԵՖԻԾ ՅԵ

Ե. ՑՈՎՈԼՈՅՑՈՅՈՍ ԹԵԹՈՓՈՎ ՍԱՄՎԵԱԼԵՅԻ ՇԵԽՎԵԼՈԼՈՎ ԱՀԱՀԵԼԱՅԻՎՈՍ-  
ԲՈՒՐԻ ԸՐԵԲՐՈՅԻՆ ՇՈՒՐՈՒԵՐԴԵՅԵՐ ՋԱՎԱՐԱՐՄԱՆ ՎԵԼԹԱՆ ԺԼՈՅՐԻ ՑԱՅՈՒԹ  
ՀԱՄՐՈՎՈՎՈԼՈՎ ԹԵՐՈՎԱԴՈ ԴԱ ԵԼՉԵՔԵՑՈՎՈՎ ԹԸԳՐՄԱՀԵՐԿԵՅԵՅՈՎ ԵԿԵԿԻԳՈՎ.

## PHYSICS

A. V. SHURGAIA

THE MOTION OF A NONRELATIVISTIC PARTICLE WITH SPIN  
IN A QUANTIZED FIELD WITH STRONG COUPLING

## Summary

The N. N. Bogolubov method is used to study the interaction of a nonrelativistic fermion with a pseudo-scalar field in a strong coupling limit. The energies of ground and excited states are obtained.

## ՀԱՅՈՒԹՅԱ — ԼԻՏԵՐԱՏՈՒՐԱ — REFERENCES

1. Н. Н. Боголюбов. Избр. труды, т. 2. Киев. 1970.
2. Е. П. Соловникова, А. Н. Тавхелидзе, Д. А. Хрусталев. ТМФ, 11, 372, 1972.
3. Е. П. Соловникова, А. Н. Тавхелидзе, Д. А. Хрусталев. ТМФ, 10, 162, 1972.
4. Н. Е. Тюрин, А. В. Шургая. ТМФ, 16, 197, 1973.
5. А. Krass. Phys. Rev. 186, 1713 1969; D 2, 2464, 1970.

ФИЗИКА

Ш. Ш. ДЖАНДЖАВА

**КРИСТАЛЛОГЕОМЕТРИЯ СКОЛЬЖЕНИЯ В СТРУКТУРЕ ГАЛЛИЯ**

(Представлено членом-корреспондентом Академии Т. И. Санадзе 25.1.1976)

Трансляционная группа кристалла галлия представляется орто-ромбической решеткой с кратчайшими векторами трансляции вдоль направлений [100], [010], [001] и [011], так что можно предположить существование дислокаций с векторами Бюргерса  $\bar{b}_1=[100]$ ,  $\bar{b}_2=[010]$ ,  $\bar{b}_3=[001]$  и  $\bar{b}_4=[011]$ , длина которых выражается  $|\bar{b}_1|=a_0$ ,  $|\bar{b}_2|=b_0$ ,  $|\bar{b}_3|=c_0$  и  $|\bar{b}_4|=\frac{1}{2}\sqrt{b_0^2+c_0^2}$ . Сопоставим энергию чисто краевых и чисто винтовых дислокаций с указанными векторами Бюргерса, предполагая, что они прямолинейны и лежат вдоль кристаллографических осей  $a_0-[100]$ ,  $b_0-[010]$  либо  $c_0-[001]$  (рис. 1). Прежде всего проведем расчет, следуя схеме Эшелби и Формена [2], для чисто краевой дислокации с вектором Бюргерса  $\bar{b}_2=[010]$ , который, как показывают экспериментальные данные, является основным направлением скольжения при пластической деформации монокристаллов галлия. Координатные оси правовинтовой системы координат  $x_1, x_2, x_3$  ориентированы так, что ось  $x_1=[100]$  параллельна дислокационной линии. Единичный вектор  $\xi$ , касательный к дислокации, идет вдоль отрицательного направления оси  $x_1$ , так что положительное значение вектора  $\bar{b}_2$  отвечает правилу правого винта. Ось  $x_2$  направлена вдоль  $\bar{b}_2-[010]$ , а  $x_3$ —по [001]. Все три координатные оси  $x_1, x_2, x_3$  совпадают с кристаллографическими направлениями, являющимися осями симметрии 2-го порядка, что существенно упрощает матрицу констант упругой жесткости (упругие постоянные)  $c_{ijkl}$ . Упругие постоянные  $c_{ijkl}$  в матричном представлении  $c_{mn}$ , приведенные в табл. 1, определены относительно этой системы координат. Из граничных условий следует, что смещения, деформации и напряжения не зависят от  $x_1$ . Тогда основное уравнение теории упругости  $\sigma_{ij}=c_{ijkl}\cdot\epsilon_{kl}$ , где

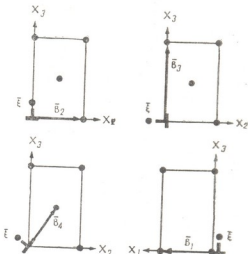


Рис. 1. Схема к расчету, показывающая расположение вектора сдвига  $b_l$  и единичного вектора  $\xi$  вдоль направления дислокации в элементарной ячейке галлия

$$\varepsilon_{hl} = \frac{1}{2} \left( \frac{\partial u_h}{\partial x_l} + \frac{\partial u_l}{\partial x_h} \right),$$

а  $\sigma_{ij}$  удовлетворяет условию  $\frac{\partial \sigma_{ij}}{\partial x_j} = 0$  ( $i=1, 2, 3$ ), можно упростить.

Таблица 1

$ij$	11	22	33	44	55	66	12	13	23	14	24	34	56
$c_{ij}$	10,19	9,22	13,76	3,56	4,20	4,13	4,45	2,76	2,40	0	0	0	0
$c_{ij}$	10,19	9,64	11,82	1,31	4,18	4,14	4,01	3,20	8,61	0,74	-0,58	-1,41	-0,03

Решения для смещений получаются из системы трех уравнений вида

$$c_{i\alpha h\beta} \frac{\partial^2 u_h}{\partial x_\alpha \partial x_\beta} = 0, \quad i=1, 2, 3, \quad \alpha, \beta=2, 3. \quad (1)$$

Поле напряжений дислокации описывается выражением

$$\begin{aligned} \sigma_{ij} = -\frac{b_2 \lambda (c_{23} - \bar{c}_{22})}{4 \pi q^2 l^2 \bar{c}_{22} c_{44} \sin \varphi} & \left\{ c_{ij22} [(c_{22} + c_{23} + c_{44}) x_2^2 x_3 + \lambda^2 c_{44} x_3^3] - \right. \\ & - c_{ij23} (c_{23} + \bar{c}_{22}) (x_2^3 - \lambda^2 x_2 x_3^2) - \\ & \left. - \frac{c_{ij33}}{c_{33}} [(c_{23}^2 + \bar{c}_{22} c_{23} + 2 c_{23} c_{44} + \bar{c}_{22} c_{44}) x_2^2 x_3 - \bar{c}_{22} c_{44} \lambda^2 x_3^3] \right\}, \end{aligned} \quad (2)$$

а энергетический параметр

$$K_{x_1}(b_2 \rightarrow [010]) = (\bar{c}_{22} + c_{23}) \left[ \frac{c_{44} (\bar{c}_{22} - c_{23})}{(\bar{c}_{22} + c_{23} + 2 c_{44}) c_{33}} \right]^{1/2}. \quad (3)$$

Нетрудно записать выражения такого же типа для  $u_h$ ,  $\sigma_{ij}$ ,  $K_x$  для чисто краевой дислокации, лежащей в кристалле галлия вдоль того же направления [100], но имеющей вектор сдвига  $b_3 = [001]$  (рис. 1). Приводим, однако, лишь выражение для энергетического параметра  $K_{x_1}(b_3 \rightarrow [001])$ :

$$K_{x_1}(b_3 \rightarrow [001]) = (\bar{c}_{22} + c_{23}) \left[ \frac{c_{44} (c_{22} - c_{23})}{(\bar{c}_{22} + c_{23} + 2 c_{44}) c_{22}} \right]^{1/2}. \quad (4)$$

Таким же образом производится расчет для чисто краевой дислокации с вектором Бюргерса  $b_1 = [100]$ , расположенной вдоль направления  $x_2 - [010]$ . Поскольку основная цель настоящего раздела состоит в том, чтобы сравнить энергии образований различного типа дислокаций в структуре галлия, выпишем только выражение для энергетического параметра:

$$K_{x_2}(b_1 \rightarrow [100]) = (\bar{c}_{11} + c_{13}) \left[ \frac{c_{55} (\bar{c}_{11} - c_{13})}{(\bar{c}_{11} + c_{13} + 2 c_{55}) c_{33}} \right]^{1/2}, \quad (5)$$

где  $\bar{c}_{11} = (c_{11} \cdot c_{33})^{1/2}$ ;  $\bar{c}_{22} = (c_{22} \cdot c_{33})^{1/2}$ .

Значение энергетического параметра  $K_{x_1}(b_4 \rightarrow [011])$  для чисто краевой дислокации с вектором Бюргерса  $b_4 = \frac{1}{2}[011]$ , расположенной вдоль направления  $x_1 - [100]$ , получается комбинированием выражений (3) и (4), т. е.

$$\begin{aligned} K_{x_1}(b_4 \rightarrow [011]) &= \frac{1}{4 b_4^2} [K_{x_1}(b_2) \cdot b_2^2 + K_{x_1}(b_3) \cdot b_3^2] = \\ &= \frac{(\bar{c}_{22} + c_{23})}{4 \bar{c}_{22} b_4^2} \left[ \frac{c_{44} (\bar{c}_{22} - c_{23})}{(\bar{c}_{22} + c_{23} + 2 c_{44}) c_{22}} \right]^{1/2} (c_{22}^{1/2} b_2^2 + c_{33}^{1/2} b_3^2). \end{aligned} \quad (6)$$

В случае чисто винтовой дислокации с вектором сдвига  $b_2 = [010]$  и ориентацией единичного вектора  $\xi$  вдоль отрицательного направления оси  $x_2 \rightarrow [010]$ , которая является осью симметрии 2-го порядка,  $u_h$ ,  $\sigma_{ih}$  и  $\varepsilon_{ih}$  не зависят от  $x_2$  и выражение для  $u_2$  оказывается очень простым и после несложных преобразований позволяет получить точное выражение для смещений  $u_2$ , напряжений  $\sigma_{x_1 x_2}$  и энергетического параметра  $K_{x_2}$ :

$$u_2 = -\frac{b_2}{2\pi} \operatorname{arctg} \left[ (c_{44} \cdot c_{66})^{1/2} \cdot \frac{x_3}{x_1} \right], \quad (7)$$

$$\sigma_{x_1 x_2} = -\frac{b_2}{2\pi} (c_{44} \cdot c_{66})^{1/2} \frac{-c_{66} x_3}{c_{44} x_1^2 + c_{66} x_3^2},$$

$$\sigma_{x_2 x_2} = 0, \quad (8)$$

$$\sigma_{x_3 x_2} = -\frac{b_1}{2\pi} (c_{44} \cdot c_{66})^{1/2} \frac{c_{44} x_1}{c_{44} x_1^2 + c_{66} x_3^2},$$

$$K_{x_2} (b_2 \rightarrow [010]) = (c_{44} \cdot c_{66})^{1/2}. \quad (9)$$

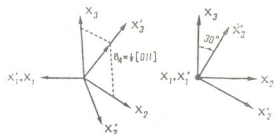
Для винтовых дислокаций с вектором Бюргерса  $b_1 = [100]$  и  $b_3 = [001]$  параметр  $K_x$ ; записывается аналогичными выражениями:

$$K_{x_1} (b_1 \rightarrow [100]) = (c_{55} \cdot c_{66})^{1/2}, \quad (10)$$

$$K_{x_3} (b_3 \rightarrow [001]) = (c_{44} \cdot c_{55})^{1/2}. \quad (11)$$

Сложнее производится расчет для винтовой дислокации с вектором Бюргерса  $b_4 = \frac{1}{2}[011]$ , так как в гранецентрированной орторомбической решетке направление [011] не является осью симметрии четного порядка. Однако вектор сдвига  $b_4 = \frac{1}{2}[011]$  является одним из основных в структуре галлия, поэтому совершенно необходимо рассчитать хотя бы энергию образования чисто винтовой дислокации с таким вектором сдвига.

Рис. 2. Преобразование системы координат  $x_1 x_2 x_3$  в  $x'_1 x'_2 x'_3$  при расчете энергетического параметра для винтовой дислокации с вектором сдвига  $b_4 = \frac{1}{2}[011]$



Чтобы можно было воспользоваться общей схемой расчета,водится новая правовинтовая система координат  $x'_1, x'_2, x'_3$  (рис. 2) так, что ось  $x'_1$  сохраняет прежнее положение  $x_1 \rightarrow [100]$ , ось  $x'_3$  направлена вдоль  $b_4$ , а ось  $x'_2$  перпендикулярна к  $x'_3$  и  $x'_1$ . Тензор упругих постоянных  $c'_{ijkl}$  в системе координат  $x'_1 x'_2 x'_3$  приведен в табл. 1.

Численный расчет на ЭВМ дает для энергетического параметра чисто винтовой дислокации с вектором сдвига  $\bar{b}_4 = \frac{1}{2} [011]$  выражение:

$$Kb_4^2 = 4,97 b_4^2. \quad (12)$$

Значения энергетического фактора  $K_{x_i}(b_j) \cdot b_j^2$ , выраженные в эрг/см, представлены в табл. 2, где вектор  $\bar{b}_4$  в системе координат  $x, y, z$  равен  $\bar{b}_3$  в системе  $x', y', z'$ .

Таблица 2

Тип дислокации	Направление $\xi - (\bar{x}_i)$	Вектор сдвига $\bar{b}_j$	$ b_j  \cdot 10^8$ (см)	$K_{x_i}(b_j)$ $10^5$ (эрг/см <sup>3</sup> )	$K_{x_i}(b_j) \cdot b_j^2$ $10^5$ (эрг/см)	№ расчетной формулы
Краевая	$\bar{x}_1 = [100]$	$\bar{b}_2 = [010]$	4,5186	4,54	0,93	13
Винтовая	$\bar{x}_2 = [010]$	$\bar{b}_2 = [010]$	4,5186	3,83	0,78	29
Краевая	$\bar{x}_1 = [100]$	$\bar{b}_3 = [001]$	7,6570	5,54	3,25	174
Винтовая	$\bar{x}_3 = [001]$	$\bar{b}_3 = [001]$	7,6570	3,86	2,27	11
Краевая	$\bar{x}_2 = [010]$	$\bar{b}_1 = [100]$	4,5258	5,06	1,04	5
Винтовая	$\bar{x}_1 = [100]$	$\bar{b}_1 = [100]$	4,5258	4,16	0,85	10
Краевая	$\bar{x}_1 = [100]$	$\bar{b}_4 = \frac{1}{2} [011]$	4,4454	5,28	1,04	6
Винтовая	$\bar{x}_4 = [011]$	$\bar{b}_4 = \frac{1}{2} [011]$	4,4451	4,97	0,98	12

Из табл. 2 видно, что наименьшей энергией обладают дислокации с вектором сдвига  $b_2 = [010]$ , что, по-видимому, предопределяет преимущественное действие системы скольжения [010] (001) перед всеми остальными.

Грузинский политехнический институт  
им. В. И. Ленина

Институт черной металлургии  
им. И. П. Бардина

(Поступило 26.1.1976)

ЧУПОДА

ვ. ჯანგავა

სრიალის პრისტალოგიურის გალიუმის სტრუქტურაში

რეზონა

მიღებულია გამოსახულებები დაძაბულობის ველის წანცვლებისათვის  
და სწორხაზვანი კიდური და ხახული დისლოკაციის ენერგიისათვის.

PHYSICS

Sh. Sh. JANJAVAJA

## CRYSTAL GEOMETRY OF GLIDE IN THE STRUCTURE OF GALLIUM

Summary

Expressions have been obtained for dislocation, the strain field and the energy of rectilinear, edge and spiral dislocation. In some relatively simple cases general solutions of anisotropic equations have been found. The calculations are substantiated by a diagram illustrating the location of shift vector  $\bar{b}_i$  and singular vector  $\xi$  along the direction of dislocation in elementary gallium mesh.

### ЛІТЕРАТУРА — REFERENCES

1. Е. Ф. Сидохин, Н. А. Голодзе, А. Ф. Сидохин, Л. М. Утевский. ФММ, 35, № 4, 1973, 807.
2. Дж. Хирт, И. Лоте. Теория дислокаций. М., 1972, 296.
3. C. G. Wilsson, Y. Less. Com. Metals, 5, 1963, 245.



ГЕОФИЗИКА

К. З. КАРТВЕЛИШВИЛИ, Г. Н. ДИАСАМИДЗЕ

ОБ ОДНОМ МЕТОДЕ ВЫДЕЛЕНИЯ ГАРМОНИК ИЗ СЛОЖНОЙ КРИВОЙ

(Представлено академиком Б. К. Балавадзе 19.1.1976)

Гармонический анализ имеет целью нахождение амплитуд и фаз гармоник с известными частотами из сложной кривой, которая задана в конечном интервале  $(-l, l)$  с помощью функции  $Y(t)$  в виде таблиц или графически.

В настоящее время существует большое количество методов гармонического анализа. Эти методы позволяют находить гармонические постоянные с известной точностью и в определенных условиях. Уже сам факт существования огромного количества методов гармонического и спектрального анализов говорит об их несовершенстве. Кроме того, в некоторых методах используются специальные числовые фильтры, которые могут искажать некоторые частоты.

В предлагаемой ниже схеме выделения гармоник с известными частотами применяется метод усреднения ординат через пробный период. При этом предполагается, что предварительно исключено сползание нуля (дрейф).

В решении многих задач, особенно в геофизике, хорошо известны периоды искомых гармоник: так, например, в теории земных приливов довольно точно известны периоды свыше пятисот волн, обязанных своим происхождением приливообразующим потенциалам Луны и Солнца. Для решения подобных задач предлагаемая схема может быть успешно использована, особенно для выделения волн с малыми амплитудами, частоты которых значительно отличаются от частот других волн (например,  $M_3$ ,  $M_f$ ,  $S_m$  и др.).

В большинстве случаев в процессе обработки экспериментальных результатов анализируемая функция в дискретных точках задается таблично. Для повышения точности выделения исследуемых гармоник пришлось прибегнуть к интерполяции.

Заметим, что усреднение ординат через пробный период использовалось также Г. Дарвином [1] в его методе гармонического анализа. Им применялись так называемые «специальные сутки» и «специальные часы» волны для суммирования ординат сдвинутых на период  $T$  процессов. Но поскольку периоды волн не всегда выражаются точно целыми средними часами и Дарвин не пользовался интерполяцией, то ему приходилось делать так называемые «двойные взносы» или оставлять ординату одного среднего часа непользованием. Все это

приводило к ошибкам в определениях гармонических постоянных искомых волн. Несмотря на это, метод Дарвина несколько десятилетьев успешно применялся в изучении приливных явлений.

Для проверки схемы нами было проведено следующее:

1. Определялась сумма

$$Y(t) = \sum_{i=1}^8 R_i \sin(\omega_i t + \varphi_i)$$

восьми гармоник с заданными амплитудами  $R_i$ , частотами  $\omega_i$  и начальными фазами  $\varphi_i$ .

2. Ввиду того что в условиях эксперимента  $Y(t)$  чаще может быть задана таблично, определялось значение выражения этой функции в  $j$ -тых точках

$$Y_j = \sum_{i=1}^8 R_i \sin(\omega_i t_j + \varphi_i), \quad j = 0, 1, 2, \dots, n.$$

3. Через каждые шесть точек  $Y_j$  методом интерполяции (с помощью полиномов Лежандра [2, 3]) проводилась непрерывная кривая, описываемая функцией  $Y_1(t)$ , которая в узловых  $j$ -тых точках совпадала со значением  $Y_j$ .

4. Проводилось суммирование ординат непрерывной функции  $Y_1(t)$  сдвинутых на период  $T$  процессов.

5. Вычислялись осредненные значения ординат для одного периода в 51 точке. Каждая осредненная ордината  $\bar{Y}_t$ , соответствующая любому моменту  $t$ , может быть представлена уравнением

$$\bar{Y}_t = A_t \cos \omega_t t + B_t \sin \omega_t t,$$

где  $t$  — время, измеряемое в  $\frac{T}{50}$  часах,  $A_t$  и  $B_t$  — коэффициенты искомых волн.

6. Методом наименьших квадратов вычислялись коэффициенты  $A_t$  и  $B_t$ , что позволило определить гармонические постоянные

$$R_t = \sqrt{A_t^2 + B_t^2},$$

$$\varphi_t = \operatorname{arctg} \frac{B_t}{A_t}.$$

Расчеты были проведены для интервалов продолжительностью в 1, 5, 10 и 18 месяцев. Результаты определений  $R_t$  и  $\varphi_t$  приведены в таблице, где  $(R_1, R_5, R_{10}, R_{18})$  и  $(\varphi_1, \varphi_5, \varphi_{10}, \varphi_{18})$  — амплитуды и фазы выделяемых волн для интервалов соответственно в 1, 5, 10 и 18 месяцев,  $R_t$  и  $\varphi_t$  — теоретические значения амплитуд и фаз искомых волн.

Как видно из таблицы, высокочастотные гармоники выделяются более точно, чем волны с низкими частотами. Это связано с тем, что

N <sub>o</sub>	$\omega_1$ рад/час	$R_1$	$R_3$	$R_{10}$	$R_{18}$	$R_T$	$\varphi_1$	$\varphi_3$	$\varphi_{10}$	$\varphi_{18}$	$\varphi_T$
1	0,2259	3,480	3,719	3,717	3,736	3,769	0,163	0,133	0,136	0,147	0,134
2	0,2420	7,099	2,222	1,530	0,677	0	—	—	—	—	—
3	0,2133	7,150	7,104	7,093	7,083	7,105	0,549	0,503	0,503	0,506	0,500
4	0,2593	4,125	1,400	1,581	1,658	1,758	1,427	0,386	0,438	0,439	0,300
5	0,2625	6,307	5,108	5,174	5,248	5,305	0,285	0,591	0,576	0,573	0,600
6	0,3491	0,221	0,187	0,133	0,127	0,115	-0,639	-1,053	-0,764	-0,852	-0,900
7	0,4954	1,792	1,707	1,750	1,747	1,739	0,073	0,228	0,145	0,148	0,150
8	0,5041	1,075	0,917	0,934	0,918	0,908	0,546	0,565	0,694	0,689	0,700
9	0,5236	4,440	4,253	4,262	4,244	4,236	-0,121	-0,131	-0,121	-0,120	-0,120
10	0,6000	0,255	0,042	0,034	0,017	0	—	—	—	—	—

количество осредненных интервалов зависит от частоты гармоники. В целом все частоты выделяются довольно хорошо, если не учитывать результаты по месячному интервалу.

Заметим, что при разложении суммарной кривой определялись также значения  $R$  и  $\varphi$  для волн с угловыми скоростями  $\omega_2=0,2420$  рад/час и  $\omega_{10}=0,6000$  рад/час, хотя при ее составлении они не участвовали. Следовало ожидать, что поскольку по соседству с волной  $\omega_2$  имеется волна с большой амплитудой и угловой скоростью, близкой к  $\omega_2$ , то гармонические параметры  $\omega_2$  будут сильно возмущены и что это возмущение будет значительно уменьшаться с возрастанием длины обрабатываемого интервала. Волна с  $\omega_2=0,6000$  рад/час не имеет по соседству волн с близкими частотами, и соответственно определяемая амплитуда весьма мала.

Из таблицы видно, что схема дает возможность разделения волн с довольно близкими частотами (чем ближе частоты, тем больше интервалы). Она может быть использована также для обработки материала, в котором имеются пропуски, если длина наблюденного интервала превышает длину выделяемой волны.

Академия наук Грузинской ССР

Институт геофизики

(Поступило 23.1.1976)

გეოფიზიკა

3. ჩართვის მუზეუმი, 8. დიასამიდი

60400 მცხეთა პარმენიქანის გამოყოფის მრთი მთლიანი  
შესახებ

რეზოუნდა

შარმოლენილია რთული მრუდიდან ცნობილ სისტემა პარმენიქების გამოყოფის სქემა. იგი ითვალისწინებს ორდინატების საცდელი პერიოდით გასაშუალოებას ინტერპოლაციის მეთოდების გამოყენებით.

სქემის შესამოწმებლად რვა პარმონიქისაგან შეღენილ იქნა რთული მრუდი. მოცვანილია ჭამური მრუდიდან მოცემულ სისტემა მქონე პარმონიქების გამოყოფის შედეგები.

K. Z. KARTVELISHVILI, G. N. DIASAMIDZE

ON A METHOD OF SEPARATION OF HARMONICS FROM  
A COMPOUND CURVE

*Summary*

A scheme is presented for the separation of harmonics with known frequencies from a compound curve. It uses the method of averaging the ordinates through the trial period by application of the methods of interpolation.

A compound curve of eight harmonics was built in order to verify the scheme.

The results of the separation of harmonics with given frequencies from the summary curve are presented.

ЛІТЕРАТУРА — REFERENCES

1. П. Мельхиор. Земные приливы. М., 1968.
2. Б. П. Демидович, И. А. Марон, Э. З. Шувалова. Численные методы анализа. М., 1963.
3. И. С. Березин, Н. П. Жидков. Методы вычислений, т. I. М., 1959.



## ОБЩАЯ И НЕОРГАНИЧЕСКАЯ ХИМИЯ

М. А. ИНДЖИЯ, Р. Д. ГИГАУРИ, Б. Д. ЧЕРНОКАЛЬСКИЙ,  
М. М. УГУЛАВА, Э. Е. ГВИЛАВА

### КОМПЛЕКСЫ ХЛОРИДА РТУТИ (II) С ДИ- $\alpha$ - -НАФТИЛАЛКИЛАРСИНАМИ

(Представлено академиком Л. Д. Меликадзе 14.12.1975)

Одной из особенностей третичных арсинов, как известно, является их способность использовать неподеленную пару электронов мышьяка для образования связей с другими атомами. Так, они оказываются нуклеофильными реагентами при взаимодействии с органическими [1] и неорганическими [2] электроноакцепторами, давая при этом соответствующие комплексные соединения. Известны [3, 4] комплексы симметричных третичных арсинов с галогенидами ртути (II) общего состава  $R_3As \cdot HgHg_2$ .

Приведенные комплексные соли можно использовать для идентификации [5] или косвенного анализа [6] арсинов.

Однако до настоящего времени в литературе очень мало сведений о комплексах галогенидов ртути с несимметричными третичными арсинами [7]. Продолжая наши исследования [8, 9] по исследованию свойств диарилалкиларсинов, в настоящей работе мы поставили цель изучить взаимодействие ди- $\alpha$ -нафтилалкиларсинов с хлоридом ртути (II).

Комплексные соединения образуются при взаимодействии эфирных растворов хлорида ртути (II) с ди- $\alpha$ -нафтилалкиларсинами с молярным соотношением 1:1:



Реакции проводились при комнатной температуре. Все синтезированные комплексные соединения (см. таблицу) представляют собой бесцветные кристаллические вещества. Они не растворяются в воде, спирте и большинстве органических растворителей, но растворимы в ацетоне. Температура плавления соединений, содержащих изо-радикалы, ниже (кроме соединения 4) той же характеристики комплексов арсинов с нормальными цепями, тогда как для самих ди- $\alpha$ -нафтилалкиларсинов наблюдается обратная закономерность [9].

Одно из затруднений при исследовании синтезированных комплексных солей встретилось при проведении элементного анализа. В органических соединениях мышьяк удобно определять по методу Эвинаса [10]. Однако при восстановлении до мышьяковистой кислоты по названному методу восстанавливается и ртуть, после чего количественное определение мышьяка титрованием раствором йода становится невозможным. В арсинах мышьяк определяется и титрованием йодом в спирте [11, 12] или в уксусной кислоте [13]. Однако исследуемые комплексные соединения не растворяются в спирте, а с уксусной кислотой образуют эмульсии.

Оказалось, что в комплексах  $(\alpha-C_{10}H_7)_2As \cdot HgCl_2$  содержание мышьяка хорошо определяется прямым титрованием анализируемого вещества водным раствором йода:



Титрование проводилось в ацетон-водной среде. Содержание хлора определялось видоизмененным [14] меркуриметрическим методом [15].

Комплексы хлорида ртути (II) с ди- $\alpha$ -нафтилалкиларсинами  
 $R(\alpha-C_{10}H_7)_2As \cdot HgCl_2$

№ п/п	R	Вы- ход, %	Т. пл. °C	Найдено, %		Формула	Вычислено, %	
				As	Cl		As	Cl
1	CH <sub>3</sub>	91,4	202—203	12,30	11,05	C <sub>21</sub> H <sub>17</sub> AsCl <sub>2</sub> Hg	12,18	11,53
2	C <sub>6</sub> H <sub>5</sub>	93,0	208—208,5	12,15	10,94	C <sub>22</sub> H <sub>29</sub> AsCl <sub>2</sub> Hg	11,91	11,29
3	H-C <sub>3</sub> H <sub>7</sub>	77,6	206—207	12,18	10,62	C <sub>23</sub> H <sub>21</sub> AsCl <sub>2</sub> Hg	11,66	11,03
4	изо-C <sub>3</sub> H <sub>7</sub>	91,7	230—231	11,68	11,12	C <sub>23</sub> H <sub>21</sub> AsCl <sub>2</sub> Hg	11,66	11,03
5	H-C <sub>11</sub> H <sub>9</sub>	91,0	212—213,5	11,34	10,80	C <sub>24</sub> H <sub>23</sub> AsCl <sub>2</sub> Hg	11,40	10,79
6	изо-C <sub>4</sub> H <sub>9</sub> *	72,8	185,5—186,5	11,64	10,38	C <sub>22</sub> H <sub>29</sub> AsCl <sub>2</sub> Hg	11,40	10,79
7	H-C <sub>6</sub> H <sub>11</sub>	92,7	222—223	11,18	10,30	C <sub>23</sub> H <sub>25</sub> AsCl <sub>2</sub> Hg	11,18	10,57
8	изо-C <sub>5</sub> H <sub>11</sub> **	84,8	219—219,5	11,15	10,11	C <sub>25</sub> H <sub>25</sub> AsCl <sub>2</sub> Hg	11,18	10,57
9	H-C <sub>7</sub> H <sub>15</sub>	94,4	203—204	10,85	9,80	C <sub>27</sub> H <sub>29</sub> AsCl <sub>2</sub> Hg	10,72	10,14
10	C <sub>6</sub> H <sub>5</sub> —CH <sub>2</sub>	82,21	183—184,5	10,77	9,90	C <sub>22</sub> H <sub>21</sub> AsCl <sub>2</sub> Hg	10,84	10,26

\* Найдено, %: C 43,61; 43,44; H 3,10, 3,41; C<sub>24</sub>H<sub>23</sub>AsCl<sub>2</sub>Hg.

Вычислено, %: C 43,80, H 3,49.

\*\* Найдено, %: C 43,97; 44,25; H 3,98, 4,32; C<sub>23</sub>H<sub>25</sub>AsCl<sub>2</sub>Hg.

Вычислено, %: C 44,67; H 3,72.

Состав и строение синтезированных соединений, кроме элементного анализа, подтверждены ИК-спектрами.

В спектрах исходных арсинов [9] полоса поглощения C—As-связи проявляется в области 580 см<sup>-1</sup>. В комплексах с хлоридом ртути (II) эта полоса смещена в сторону высоких частот — до 610 см<sup>-1</sup>.

Таким образом, нами показано, что при взаимодействии хлорида ртути (II) с ди- $\alpha$ -нафтилалкиларсинами в эфирном растворе образуются комплексы общего состава  $R(\alpha-C_{10}H_7)_2As \cdot HgCl_2$ . Предложен метод количественного определения мышьяка в комплексах  $R(\alpha-C_{10}H_7)_2As \cdot HgCl_2$ . Показано, что в этих соединениях мышьяк хорошо определяется прямым титрованием раствором йода в ацетон-водной среде.

Комплекс хлорида ртути (II) с ди- $\alpha$ -нафтилэтиларсином. К эфирному раствору 1,51 г хлорида ртути (II) добавляли разбавленный эфирный раствор 2 г ди- $\alpha$ -нафтилэтиларсина и оставляли при комнатной температуре на 24 часа. Выделившиеся кристаллы отделяли, несколько раз промывали сухим эфиром и до постоянного веса сушили в вакуум-экскаваторе над пятиокисью фосфора и парфином. Выделили 3,25 г (93,0%) вещества с т. пл. 208—208,5°. Найдено, %: As 12,15; Cl 10,94. C<sub>22</sub>H<sub>19</sub>AsCl<sub>2</sub>Hg. Вычислено, %: As 11,91; Cl 11,29.

Таким же путем получены и другие комплексы хлорида ртути (II) с ди- $\alpha$ -нафтилалкиларсинами (соединения 1—10).

Определение мышьяка в комплексах ( $\alpha$ -C<sub>10</sub>H<sub>7</sub>)<sub>2</sub>R·HgCl<sub>2</sub>. 0,1—0,15 г анализируемого вещества помещали в 250 мл колбу Эрленмейера, растворяли в смеси ацетона и воды (5:1 по объему) и титровали 0,05 N раствором йода. Конец титрования отмечали при появлении характерной окраски свободного йода (через 1—2 минуты окраска исчезает).

ИК-спектры исследуемых образцов снимали на спектрометре UR-10 в области 400—3600 см<sup>-1</sup> в виде эмульсии в вазелиновом масле между пластинками из КВг.

Тбилисский государственный  
университет

Казанский химико-технологический  
институт  
им. С. М. Кирова

(Поступило 15.1.1976)

Խոհագության և արարական միջնականության մասին

Թ. ՕԲՅՈՒ, Բ. ՑՈՒՑԻՆԻ, Ֆ. ՏԻՐԵՆՈՎԱԼԵՎԱ, Յ. ՄԱՂԱՎԱՐԱ, Յ. ՑՈՂԱՎԱ

ՅՈՒՆԵԼՈՒՇՑԱՆ (II) ՀԼՈՒԹՈՒՆ ԿՊԱՑԼՈՒՅՑԵՑՈ ՀՐ- $\alpha$ -ՆԱՓԹՈԼԱԼԿՈԼ-  
ԱԿՏԵՎՈՑՈՒԹՅԱՆ

### Հ Յ Ց Ո Ւ Յ Յ

Ցեսամացու ահսինեցու զերպելուսիցունուս (II) յլուրութան օճլեցուան յրամբ-  
լույթուր նայրութեն նուցածու յուրմշունու R<sub>3</sub>As·HgCl<sub>2</sub>. Ամ շյանասյնելու ե՛նո-  
հաց մօմարտացը ն ընդունակութանու ահսինեցուն օդքնությունուս ու անալունու  
թօննութ. Մագրամ գլուխու տուժմու Շեշսթացլունու Շերյուլրագոյալունու Ցեսա-  
մացու ահսինեցուն յրամբլույթուր զերպելուսիցունուս (II) յլուրութան.

### GENERAL AND INORGANIC CHEMISTRY

M. A. INJIA, R. D. GIGAURI, B. D. CHERNOKALSKI, M. M. UGULAVA,  
E. E. GVILAVA

### COMPLEXES OF MERCURY CHLORIDE WITH DI- $\alpha$ -NAPHTHYLALKYLARSINES

#### Summary

The complexes R( $\alpha$ -C<sub>10</sub>H<sub>7</sub>)<sub>2</sub>As·HgCl<sub>2</sub> are formed by interaction of mercury chloride with di- $\alpha$ -naphthylalkylarsines in ether solution. It is shown that in the obtained complexes arsine may be determined by direct titration with iodine solution in acetone-water medium.

#### ՀԱՐՄԱՆԱԿԱՆ — ЛИТЕРАТУРА — REFERENCES

1. Р. Х. Фрейдлина. Синтетические методы в области металлоорганических соединений мышьяка. М.—Л., 1945, 79.
2. I. Chatt, F. A. Hart. J. Chem. Soc., № 25, 1960, 1378.

3. F. F. Vlicke, F. D. Smith. J. Am. Soc., 51, 1920, 1561.
4. W. L. Lewis, N. W. Stiegler. J. Am. Soc., 47, 1925, 3546.
5. F. F. Blicke, E. L. Kataline. J. Am. Soc., 60, 1938, 419.
6. Q. W. Decker, H. W. Post. J. Org. Chem., 25, 1960, 249.
7. G. Gruttner, E. Krause. Ber., 50, 1917, 159.
8. В. М. Центовский, Б. Д. Чернокальский, Р. Д. Гигаури, Г. Н. Чачава, М. М. Угулава. ЖОХ, 43, 1973, 837.
9. Р. Д. Гигаури, М. А. Инджия, Б. Д. Чернокальский, М. М. Угулава, Ц. А. Сидамашвили. ЖОХ, 44, 1974, 541.
10. E. Ewins. J. Chem. Soc., 109, 1916, 1355.
11. W. H. Dehn. Am. Chem. J., 33, 1905, 126.
12. W. H. Dehn. Am. Chem. J., 40, 1908, 107.
13. S. S. Sandhu, S. S. Raghav. Z. anorg. allg. Chem., 363, 1968, 207.
14. В. Л. Хухия, Л. С. Хинтибидзе. Труды ТГУ, 1961, 80.
15. Е. В. Алексеевский, Р. К. Гольц, А. П. Мусакин. Количественный анализ. Л.—М., 1953, 404.



ОРГАНИЧЕСКАЯ ХИМИЯ

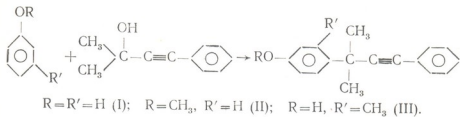
А. И. ҚАХНИАШВИЛИ, Д. Ш. ИОРАМАШВИЛИ, М. Д. НАДИРАШВИЛИ

ВЗАИМОДЕЙСТВИЕ ФЕНОЛА, АНИЗОЛА И м-КРЕЗОЛА  
С 1-ФЕНИЛ-3-МЕТИЛБУТИН-1-ОЛОМ-3 В ПРИСУТСТВИИ  
ФОСФОРНОЙ КИСЛОТЫ

(Представлено академиком Х. И. Арещидзе 22.12.1975)

Алкилирование фенолов ацетиленовыми спиртами мало изучено. Спирты с концевой ацетиловой связью в молекуле в реакциях алкилирования малоактивны [1]. Сначала И. Н. Назаров [2], потом А. И. Қахниашвили и сотрудники [3, 4] показали, что винилацетиловые спирты проявляют высокую активность к реакциям алкилирования. Ождалось гладкое течение реакции и в случае фенилацетилевых спиртов.

Мы изучили алкилирование фенола, анизола и м-крезола 1-фенил-3-метилбутин-1-олом-3 в присутствии концентрированной фосфорной кислоты. Оказалось, что алкилирование идет с высокими выходами целевых продуктов:



Строение синтезированных соединений доказано элементным анализом, спектральным (ИК, ПМР) исследованием и химическими превращениями (см. таблицу).

В ИК-спектре (II), в отличие от соединений (I) и (III), поглощение в области валентных колебаний OH-группы (3100—3500 см<sup>-1</sup>) не наблюдается. В области 3030—3070 см<sup>-1</sup> наблюдается поглощение, характерное для валентных колебаний C—H ароматического ядра, а поглощение при 1600 см<sup>-1</sup> приписывается C—C-связям ароматического ядра.

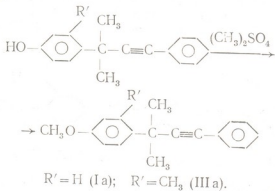
Спектры ПМР однозначно доказывают строение полученных продуктов. Кроме продуктов реакции, для сравнения был снят спектр исходного спирта. При 1,51 м. д. выявляется сигнал, характерный для гем-метильных протонов, при 3,21 м. д. — синглеты гидроксильной группы, а при 7,22 м. д. — сигнал протонов ароматического ядра. Соотношение интегральных интенсивностей соответственно C<sub>6</sub>H<sub>4</sub>:OH:C(CH<sub>3</sub>)<sub>2</sub>=4:1:6.

В ПМР-спектре (II) сохраняется сигнал C(CH<sub>3</sub>)<sub>2</sub> группы (1,53 м. д.), появляется синглетный сигнал метоксильной группы, связанной с ароматическим ядром (3,65 м. д.) и, наряду с протонами ароматического ядра (7,25 м. д.), наблюдаются два дублета (6,71;

7,41 м. д.) с константой спин-спинового взаимодействия 8,2 Гц, характеризующие AA'BB' четырехпротонную систему и указывающие на *n*-строение продуктов реакции.

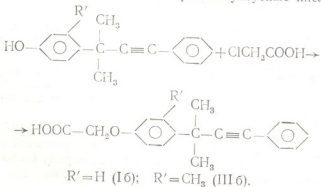
№	Выход, %	Т. пд., или т. к., (мм)	$\eta_D^{20}$	$d_4^{20}$	MR <sub>D</sub>		Молекулярный вес	Найдено, %		Формула	Вычислено, %			
					Найдено	Вычислено		Найдено	Вычислено		C	H		
I	65,1	75–76	—	—	—	—	238	236	86,06	6,57	$C_{17}H_{16}O$	86,44	6,77	
II	56,8	43	—	—	—	—	248,2	250	85,89	7,33	$C_{18}H_{18}O$	86,40	7,20	
III	70,0	164–165	(I)	1,5831	1,0580	78,76	77,97	247,8	250	86,10	7,94	$C_{18}H_{18}O$	86,40	7,20
Ia	66,0	42–43	—	—	—	—	—	—	250	86,12	7,42	$C_{18}H_{18}O$	86,40	7,20
IIIa	75,9	160–161	(I)	1,5877	1,0513	83,62	82,87	—	264	85,92	7,48	$C_{19}H_{20}O$	86,36	7,57
Ib	40,3	95–97	—	—	—	—	—	—	294	78,21	6,48	$C_{19}H_{18}O_2$	77,55	6,12
IIIb	32,5	94–95	—	—	—	—	—	—	308	78,62	6,10	$C_{20}H_{20}O_3$	77,92	6,49
Ib	59,4	64–65	—	—	—	—	—	—	254	85,34	7,82	$C_{17}H_{20}O$	85,00	8,33

Метилированием синтезированных непредельных фенолов (I) и (III) диметилсульфатом получены соответствующие метиловые эфиры (Ia) и (IIIa):



В ИК-спектрах (Ia) и (IIIa) исчезает поглощение в области валентных колебаний гидроксильной группы. Как ожидалось, соединение (Ia) оказалось идентичным с продуктом алкилирования анизола (II), что однозначно доказывает строение синтезированных продуктов.

При конденсации (I) и (III) сmonoхлоруксусной кислотой выделены соответствующие ацетиленовые феноксиуксусные кислоты:



В ИК-спектрах синтезированных кислот исчезает поглощение фенольного гидроксила и появляется слабое поглощение, которое приписывается валентным колебаниям карбоксильного гидроксила ( $3520\text{ см}^{-1}$ ). Кроме того при  $1710\text{ см}^{-1}$  появляется поглощение средней интенсивности, характерное для валентных колебаний  $\text{C}=\text{O}$ -группы.

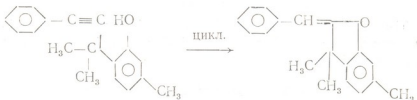
Гидрированием (I) получен соответствующий предельный алкил-фенол (Iв).

Исходный 1-фенил-3-метилбутин-1-ол-3 синтезировали из фенил-ацетиlena через комплекс Иоцича по известной методике [5]. Алкилирование проводили эквимолярными количествами реагентов при температуре  $40-55^\circ\text{C}$  в присутствии 85% фосфорной кислоты в течение 5–10 часов.

Алкилирование фенола 1-фенил-3-метилбутин-1-олом-3. К расплавленной смеси 2,9 г фенола и 3,5 мл катализатора прибавляли 5 г тонко растертого диметилфенилэтинил карбинола. После этого перемешивание продолжали еще 10 часов при температуре  $40-50^\circ\text{C}$ . После охлаждения продукт закристаллизовывался в реакционной колбе. Кристаллы отделяли от неорганического слоя, промывали водой, сушили и перекристаллизовывали из гексана. Получили 4,8 г белых кристаллов продукта (I).

Алкилирование анизола 1-фенил-3-метилбутин-1-олом-3. К смеси 3,4 г анизола и 3,5 мл катализатора прибавляли 5 г диметилфенилэтинил карбинола, после чего перемешивание продолжали еще 12 часов при температуре  $50-55^\circ\text{C}$ . Продукт извлекали эфиrom, эфирный раствор промывали водой и сушили сульфатом натрия. После двукратной перегонки в вакууме продукт закристаллизовывался. Перекристаллизацией из гексана получили 4,4 г белых кристаллов продукта (II).

Алкилирование м-крезола 1-фенил-3-метилбутин-1-олом-3. К смеси 3,4 г м-крезола и 3,5 мл катализатора прибавляли 5 г диметилфенилэтинил карбинола, после чего перемешивание продолжали еще 3 часа при температуре  $40^\circ\text{C}$ . Продукт извлекали эфиrom, сушили и перегоняли в вакууме. После двукратной перегонки выделяли фракцию продуктов алкилирования в количестве 5,5 г, содержащую в основном (III). Кроме того, методом тонкослойной хроматографии (система гексан:эфир = 1:1 на окси алюминия II степени активности по Брокману) была выделена примесь с  $R_f = 0,89$  в количестве 0,3 г, не содержащая гидроксила. Вероятно, это продукт циклизации о-замещенного м-крезола строением



Метилирование (I) и (III). 1 г вещества (I) растворяли в 10 мл 10% раствора едкого натра и добавляли 1,5 мл диметилсульфата. Смесь встряхивали 30 минут. Затем прибавляли 10%  $\text{NaOH}$  до щелочной реакции и жидкость нагревали до кипения. Продукт извлекали эфиrom, сушили и перегоняли в вакууме, после чего он закристаллизовался. Перекристаллизацией из гексана получили 0,7 г белых кри-



сталлов вещества (Ia). В аналогичных условиях из продукта (III) было получено 0,6 г продукта (IIIa) в виде зеленоватой жидкости.

Конденсация (I) и (III) сmonoхлоруксусной кислотой. 1 г вещества (I) растворяли в 10 мл 10% раствора едкого натра, прибавляли 2 г monoхлоруксусной кислоты. Смесь нагревали на кипящей водяной бане 1,5 часа. Жидкость подкисляли разбавленной соляной кислотой и экстрагировали эфиром, эфирный раствор обрабатывали 2% раствором соды. Полученную щелочную вытяжку подкисляли. Выпали кристаллы белого цвета — 0,5 г вещества (Ib). Аналогично из продукта (III) было получено 0,4 г вещества (IIIb).

**Гидрирование (I).** При гидрировании 1 г продукта (I) в 20 мл безводного этанола в присутствии никеля Ренея поглотилось требуемое количество водорода. Катализатор отфильтровывали, и после отгонки спирта продукт перегоняли в вакууме. Получили 0,7 г алкилфенола (Iв) в виде белых кристаллов.

Тбилисский государственный университет

(Поступило 26.12.1975)

ორგანული ქიმია

ა. კახნიაშვილი, დ. იორამაშვილი, მ. ნადირაშვილი

ტემოლის, ანიზოლის და მ-კრესოლის ურთიერთდება 1-ფენილ-3-ანთილბუტინ-1-ოლ-3-თან ფოსფორგენას თანდასწრებით

რეზოუზე

კვლევის ფიზიკურ-ქიმიური მეთოდების გამოყენებით დაღვენილია ალკილირების პროცესების პარა-აგებულება. ჩატარებულია სინთეზირებულ ნაერთთა ზოგიერთი ქიმიური გარდაქმნა.

ORGANIC CHEMISTRY

A. I. KAKHNIASHVILI, D. Sh. IORAMASHVILI, M. D. NADIRASHVILI

### INTERACTION OF PHENOL, ANISOLE AND M-CRESOL WITH 1-PHENYL-3-METHYLBUTYNE-1-CL-3 IN THE PRESENCE OF PHOSPHORIC ACID

Summary

The alkylation of phenols by 1-phenyl-3-methylbutyne-1-ol-3 has been studied. The structure of the alkylates has been established by physico-chemical methods.

### ლიტერატურა — REFERENCES

1. И. Н. Назаров, А. И. Кузнецова. Изв. АН СССР, ОХН, 6, 1942, 392.
2. И. Н. Назаров, Ф. И. Готман. Изв. АН СССР, ОХН, 7, 1941, 551.
3. А. И. Кахниашвили, Д. С. Парджикия. ЖОХ, 33, 1963, 667.
4. А. И. Кахниашвили и др. Труды ТГУ, 80, 1961, 133; 104, 1964, 271, 285.
5. E. Jones. J. Chem. Soc. 45, 1949, 2696.

## ОРГАНИЧЕСКАЯ ХИМИЯ

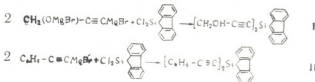
И. М. ГВЕРДЦИЕЛИ (член-корреспондент АН ГССР), Д. А. ЭДИБЕРИДЗЕ,  
Е. А. ЧЕРНЫШЕВ

### ГИДРОГЕРМИЛИРОВАНИЕ НЕКОТОРЫХ СИЛАФЛУОРЕНСОДЕРЖАЩИХ АЦЕТИЛЕНОВЫХ СОЕДИНЕНИЙ В ПРИСУТСТВИИ КАТАЛИЗАТОРА СПЕЙЕРА

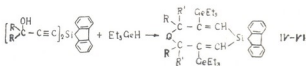
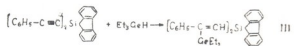
Ранее [1, 2] нами были проведены реакции гидросилилирования некоторых гетероциклических ацетиленовых соединений с атомом кремния в цикле в присутствии катализатора Спейера.

В настоящей статье приводятся результаты реакции гидрогермилования следующих ацетиленовых соединений: 9,9-бис(диметилпропиол)-9-силафлуорена, 9,9-бис(метилэтилпропиол)-9-силафлуорена, 9,9-бис(1-окси-1-этинил) циклогексил-9-силафлуорена, 9,9-дипропиол-9-силафлуорена, 9,9-дифенилэтинил-9-силафлуорена.

Для синтеза 9,9-дипропиол-9-силафлуорена (I) и 9,9-дифенилэтинил-9-силафлуорена (II) по методу [3] были использованы соответственно пропаргиловый спирт и фенилацетилен:



Реакция гидрогермилования вышеуказанных соединений проводилась в присутствии 0,3 мл катализатора Спейера при нагревании реакционной смеси до 80–90° в течение 8–10 часов. В этих условиях присоединение триэтилгидрогермана по тройной связи силафлуоренсодержащих ацетиленовых соединений идет по правилу Фармера, а в случае ацетиленовых спиртов в реакционной смеси происходит одновременное присоединение—дегидратация с образованием соответствующих циклических продуктов:



- где  $\text{R} = \text{R}' = \text{H}$  IV  
 $\text{R} = \text{R}' = \text{CH}_3$  V  
 $\text{R} = \text{CH}_3, \text{R}' = \text{C}_2\text{H}_5$  VI  
 $\text{R}'-\text{C} = \text{C}_6\text{H}_5$  VII

№	Выход	$t_{\text{от}}$	$t_{\text{кон}}$	$n_1^{20}$	$d_1^{20}$	MR <sub>1</sub>		Найдено			Брутто-формула	Вычислено			R <sub>1</sub>	
												C	H	Si/Ge		
						нм/д.	нм/с.									
I	36,4	173						74,55	4,48	9,51	$\text{C}_{21}\text{H}_{14}\text{SiO}_2$	74,48	4,82	9,55	0,05	
II	26,3	55						87,37	5,41	6,87	$\text{C}_{21}\text{H}_{12}\text{Si}$	87,96	4,97	7,33	0,46	
III	21,5		280/1	1,5674	1,1264	207,8	206,1	67,95	7,03	23,80	$\text{C}_{21}\text{H}_{10}\text{Ge}_2\text{Si}$	68,37	7,14	24,50	0,84	
IV	20,1		180/1	1,5520	1,1433	166,9	166,3	60,40	7,30	28,55	$\text{C}_{21}\text{H}_{12}\text{Ge}_2\text{SiO}$	60,81	7,43	29,06	0,503	
V	70,9		140/1	1,5555	1,1404	183,3	184,2	62,71	8,09	26,69	$\text{C}_{21}\text{H}_{12}\text{Ge}_2\text{SiO}$	62,9	8,09	25,51	0,72	
VI	64,7		180/1	1,5620	1,1429	195,3	194,1	63,18	8,37	25,52	$\text{C}_{21}\text{H}_{14}\text{Ge}_2\text{SiO}$	63,9	8,28	25,45	0,69	
VII	43,2	76						65,74	8,64	23,75	$\text{C}_{21}\text{H}_{12}\text{Ge}_2\text{SiO}$	65,75	8,48	23,57	0,806	

Индивидуальность всех выделенных соединений доказана ТСХ (адсорбент—окись алюминия II степени активности, растворитель—гексан-эфир 9:1), а строение — ИК- и ЯМР-спектрами. В ИК-спектре соединения I имеются полосы поглощения, характерные для  $\text{C}\equiv\text{C}$  при  $2120 \text{ см}^{-1}$  и для  $\text{-OH}$  при  $3450 \text{ см}^{-1}$ .

В ЯМР-спектрах соединений III, V, VII имеются сигналы в области 6,9—7,8 м. д., 6,8—7,6 м. д., 6,8—7,7 м. д., соответствующие ароматическим протонам, в области 0,3—1,2 м. д., 0,6—1,4 м. д., соответствующие этильным протонам, а в области 6,18; 7,02; 6,07 м. д. имеется синглет, соответствующий олефиновому протону.

В ЯМР-спектре вещества IV присутствуют сигналы ароматических (6,9—7,8 м. д.) и этильных (0,3—1,2 м. д.) протонов. Дублет в области 4,72 м. д. соответствует протонам  $\text{O}-\text{CH}_2$ , связанным спин-спиновой связью с олефиновым протоном, имеющим химический сдвиг 7,4 м. д. Константа спин-спинового взаимодействия  $J=1,4$  Гц, что соответствует присоединению по правилу Фармера.

Константы всех выделенных соединений приведены в таблице.

ИК-спектры снимались на спектрометре UR-20 с призмами КВт, NaCl, LiF, ЯМР-спектр — на приборе Varian-ДА 60 в растворе  $\text{CCl}_4$ .

Тбилисский государственный университет

(Поступило 6.2.1976)

ორგანული ქიმია

ი. გვერდიშვილი (ს. ე. ს. რ მეცნ. ექსპრტის წევრ-კორესპონდენტი), დ. ედიგორიძე,  
გ. ჩირიავავაძე

ცელაფლუორობენზე გვიყვალი აცეტილენის ნაერთის  
ჰიდროგერმილირება სპეციალური კატალიზატორის თანდასწრებით

#### რეზიუმე

ჩატარებულია სილაფლუორენის ბირთვის შემცველი აცეტილენური ნაერთების: 9,9-ბის (დიმეთილპროპინოლ)-9-სილაფლუორენის, 9,9-ბის (მეთილ-ეტანლრობინოლ)-9-სილაფლუორენის, 9,9-ბის (1-ოქსი-1-ეთანილ) ციკლო-ქექსილ-9-სილაფლუორენის, 9,9-დიპროპინოლ-9-სილაფლუორენის, 9,9-დიფენილეთინილ-9-სილაფლუორენის შიდროგერმილირება სპეციალური კატალიზატორის თანდასწრებით.

იმ და ბმრ სპეციტრებით დადგნილია, რომ ჰიდროგერმანის მიერთება სამაგ ბმასთან მიმდინარეობს ფარმერის წესით, ხოლო აცეტილენური სპირტების შემთხვევაში ხდება ერთგროვლი მიერთება-დეჰიდრატაცია შესაბამისი ციკლური ნაერთების წარმოქმნით.

#### ORGANIC CHEMISTRY

I. M. GVERDTSITELI, D. A. EDIBERIDZE, E. A. CHERNYSHEV  
THE HYDROGERMYLATION REACTION OF SOME SILAFLUORENE-  
CONTAINING ACETYLENIC COMPOUNDS IN THE PRESENCE  
OF SPEIER'S CATALYST

#### Summary

The hydrogermylation reaction of some silafluorene-containing acetylenic compounds in the presence of Speier's catalyst has been studied. Simultaneously addition-dehydration products were isolated. The structure of these compounds has been established by IR- and NMR analysis.

## СПИСОК СЧАСТЬЯ — ЛИТЕРАТУРА — REFERENCES

1. И. М. Гвердцители, Д. А. Эдеберидзе, Е. А. Чернышев. Сообщения АН ГССР, 71, № 2, 1973, 361.
2. И. М. Гвердцители, Д. А. Эдеберидзе, Е. А. Чернышев. ЖОХ, т. 44, № 11, 1974, 2449.
3. М. Ф. Шостаковский, И. А. Шихиев, Н. В. Комаров. ДАН СССР, 109, 1956, 344.



## ФИЗИЧЕСКАЯ ХИМИЯ

Н. А. ЛАНДИЯ (академик АН ГССР), Г. Д. ЧАЧАНИДЗЕ, Н. Г. ЛЕЖАВА,  
О. О. ДИМИТРИАДИ

### ИССЛЕДОВАНИЕ ТЕПЛОТ ФАЗОВЫХ ПРЕВРАЩЕНИЙ В СИСТЕМЕ $\text{Li}_2\text{O} \cdot x\text{Fe}_2\text{O}_3$ ( $x=2,3,4,5,6$ ) НА ДИФФЕРЕНЦИАЛЬНО-СКАНИРУЮЩЕМ КАЛОРИМЕТРЕ

Проведенные ранее термографические и калориметрические исследования системы  $\text{Li}_2\text{O} \cdot x\text{Fe}_2\text{O}_3$  с  $x=2,3,4,5,6$  показали, что на термограммах всех составов, за исключением ортоферрита ( $x=1$ ), имеется по два эндотермических эффекта. Первый из них ( $630^\circ\text{C}$ ) соответствует ферромагнитному превращению, а второй ( $740^\circ\text{C}$ ) — превращению порядок-беспорядок. Калориметрические исследования энталпии и теплоемкости проводились на высокотемпературном калориметре смещения в интервале 298—1300К и на их основе были рассчитаны «условные теплоты» фазовых превращений [1, 2].

В данной статье приводятся результаты непосредственного измерения теплот магнитных и полиморфных превращений в названной системе с использованием высокотемпературного дифференциального сканирующего калориметра НТ-1500 французской фирмы «Сетарам». Калориметр позволяет проводить исследования в широком интервале температур — от комнатной до  $1500^\circ\text{C}$  в контролируемой атмосфере.

Установка состоит из высокотемпературной цилиндрической печи ( $h=600$  мм,  $\varnothing=200$  мм) с графитовым нагревателем, окружённым графитовым экраном. В центр печи (графитового цилиндра) вставлена корундовая трубка (муфель). Атмосфера инертного газа внутри муфеля и самой печи контролируется независимо.

Высокая чувствительность (0,005 кал), возможность контролирования атмосферы в калориметре, а также автоматическая запись подаваемого калориметром сигнала делают калориметр ДСК-1500 эффективным прибором для физико-химических исследований при высоких температурах, в особенности для исследования процессов с малыми тепловыми эффектами.

Установка имеет два термических детектора — типа калориметра и типа ДТА. Детектор типа калориметра представляет собой корундовый цилиндр с центральным кольцом, поддерживающим ячейки дифференциального калориметра. Размеры ячейки  $h=30$  мм,  $\varnothing=9$  мм. В верхней ячейке находится «экспериментальный», а в нижней — «эталонный» тигель. Каждый тигель окружен коронкой из диффбатареи, содержащей 18 пар PtRh/PtRн термопар (6 и 30% Pt) [3].

Принцип измерения — контроль теплового потока. Электрический сигнал, возникающий в ячейке, пропорционален разности температур между ячейкой и кольцом. Тепловой поток от ячейки к кольцу передается в основном теплопроводностью по проводам термопар.

Наличие нескольких способов регулирования температуры (изотермический режим и сканирование температуры печи с различными

скоростями) делает возможным осуществление двух различного рода калориметрических исследований с использованием детектора типа калориметра.

1. Исследование при  $T = \text{const}$  в основном проводится для изучения процессов взаимодействия, например теплот растворения, а также для выявления изменения энталпии твердых веществ. Введение исследуемого вещества в калориметр осуществляется при помощи специального устройства, установленного над печью калориметра.

2. Исследование при сканировании температуры (со скоростью 20—200°/час) обычно применяется для определения теплот превращений. Образец помещается в калориметр и температура сканируется с заданной скоростью. При этом имеется возможность модифицировать изучаемый образец добавлением различных компонентов. Таким образом, калориметр позволяет изучать фазовые диаграммы состояния простых и сложных систем без предварительного изготовления серии образцов и проведения опытов с каждым из них отдельно.

В настоящей работе для определения тепловых эффектов превращений использовался второй способ исследования с детектором типа калориметра при сканировании температуры печи со скоростью 200°/час.

Запись хода температуры (Pt/PtRh термопары 10% Rh) и эффекта превращения (дифференциальная термобатарея PtRh/PtRh 6 и 30% Pt) производится одновременно при помощи самописца («Сэфрам») на высококачественной бумаге (Сэфрам-I У 250 gC6). Величина эффекта определялась методом взвешивания участка бумаги, соответствующего исследуемому пику. Ошибка метода была оценена по выражению  $S = \pm 2 \sqrt{\frac{\Sigma \Delta t}{n(n-1)}}$

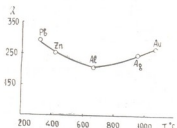
и равнялась  $\pm 0,0005$  г для квадрата площадью 9 см<sup>2</sup> при  $n=10$ .

Полученные результаты представлены в табл. I и на рис. 1.

Таблица I

№	Вещество	К-во измерений	Навеска, г	$Q = \frac{\Delta H G}{M}$ кал	$K \pm S$
1	Pb	10	0,5862	3,2254	$288,77 \pm 2,5$
2	Zn	10	0,4361	11,7743	$269,36 \pm 1,38$
3	Al	9	0,1845	17,56	$207,83 \pm 1,65$
4	Ag	10	0,2864	7,580	$248,08 \pm 2,11$
5	Au	9	0,4289	6,4387	$264,39 \pm 2,60$

Рис. 1. Калибровочная кривая калориметра ДСК-1500



Для калибровки калориметра в интервале температур 300—1500°C были выбраны следующие реперные вещества: Pb ( $T_{\text{пл}} 327^{\circ}\text{C}$ ,

$\Delta H_{\text{пл}}$  1140 кал/моль), Zn ( $T_{\text{пл}}$  422°C,  $\Delta H_{\text{пл}}$  1765 кал/моль), Al ( $T_{\text{пл}}$  659°C,  $\Delta H_{\text{пл}}$  2570 кал/моль), Ag ( $T_{\text{пл}}$  961°C,  $\Delta H_{\text{пл}}$  2855 кал/моль), Au ( $T_{\text{пл}}$  1063°C,  $\Delta H_{\text{пл}}$  2955 кал/моль).

Константа К калориметра при заданной температуре определялась по формуле  $K = \frac{\Delta H \cdot G}{A \cdot M}$ , где A — навеска бумаги,  $\Delta H$  — теплота плавления 1 моля вещества в кал-моль [4], G — навеска вещества, M — молекулярный вес.

Для установления точности определения величины теплоты превращения (1,5%) был записан эффект полиморфного превращения сульфата калия ( $\beta \rightarrow \alpha$ ), рассчитана величина  $\Delta H$  (1911 кал/моль) по K, взятой из градуировочной кривой ( $T=583^\circ\text{C}$ ), и сравнена с соответствующей величиной (1940 каль/моль) [5].

Таблица 2

Вещество	$Q = K \cdot A$ кал	$\Delta H = \frac{QM}{Q}$ кал/моль	$\Delta H$ кал/ат	$T_{\text{пр}}^\circ\text{C}$
Ферромагнитное превращение				
$\text{Li}_2\text{O} \cdot 2\text{Fe}_2\text{O}_3$	0,9546	97,2	7,48	630
$\text{Li}_2\text{O} \cdot 3\text{Fe}_2\text{O}_3$	2,3048	261,6	14,53	"
$\text{Li}_2\text{O} \cdot 4\text{Fe}_2\text{O}_3$	2,4338	352,21	15,31	"
$\text{Li}_2\text{O} \cdot 5\text{Fe}_2\text{O}_3$	3,0143	621,25	19,90	"
$\text{Li}_2\text{O} \cdot 6\text{Fe}_2\text{O}_3$	1,5996	401,72	12,17	"
Превращение порядок-беспорядок				
$\text{Li}_2\text{O} \cdot 2\text{Fe}_2\text{O}_3$	7,1736	724,4	55,72	740
$\text{Li}_2\text{O} \cdot 3\text{Fe}_2\text{O}_3$	13,7802	1538,8	85,48	"
$\text{Li}_2\text{O} \cdot 4\text{Fe}_2\text{O}_3$	15,3972	2282,8	97,95	"
$\text{Li}_2\text{O} \cdot 5\text{Fe}_2\text{O}_3$	13,083	2743,30	97,98	"
$\text{Li}_2\text{O} \cdot 6\text{Fe}_2\text{O}_3$	9,6390	2669,30	80,89	"

Исследуемые образцы были изготовлены керамическим методом [1]. Последняя стадия спекания проводилась при 1150°C. Образцы охлаждались вместе с выключенной печью.

Результаты исследования истинных теплот магнитных и полиморфных превращений представлены в табл. 2 и на рис. 2.

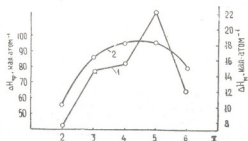


Рис. 2. Зависимость величины тепловых эффектов магнитного (1) и полиморфного (2) превращений от состава в системе  $\text{Li}_2\text{O}-\text{xFe}_2\text{O}_3$

На графике зависимости теплоты ферромагнитного превращения от состава (рис. 2) наблюдается максимум, соответствующий  $\text{Li}_2\text{O} \cdot 5\text{Fe}_2\text{O}_3$ ,

обладающему максимальным значением магнитной проницаемости в данной системе [6].

В работе [6] методом истинных теплоемкостей определена  $\Delta H_{\text{пл}}$  феррита  $\text{Li}_2\text{O} \cdot 5\text{Fe}_2\text{O}_3$ , изготовленного несколько иным путем, и показано, что предыстория образца сильно влияет на величину эффекта фазовых превращений.

Академия наук Грузинской ССР  
 Институт неорганической химии  
 и электрохимии

(Поступило 22.II.1975)

ფიზიკური განვითარების მინისტრი

6. ლანდია (საქ. სსრ მეცნ. აკადემიის აკადემიუმი), გ. ჩახანიძე, ნ. ლეჟავა,  
 ლ. დიმიტრიაძე

ფიზიკური განვითარების მინისტრის სამსახურის კალორიმეტრზე  $\text{Li}_2\text{O} \cdot x\text{Fe}_2\text{O}_3$  სისტემის  
 $(x=2,3,4,5,6)$  ფაზურ გარღვევების დიოდოვგის შესწავლა

### რეზიუმე

DCK-1500 ტიპის მაღალტემპერატურულ დიფერენციალური სკანირების კალორიმეტრზე ("Setaram") შევისწავლეთ  $\text{Li}_2\text{O} \cdot x\text{Fe}_2\text{O}_3$  სისტემის ( $x=2,3,4,5,6$ ) ფერმომანიტური და პოლიმორფული გარღვევების სითბოები.

### PHYSICAL CHEMISTRY

N. A. LANDIA, G. D. CHACHANIDZE, N. G. LEZHAVA, O. O. DIMITRIADI

INVESTIGATION OF THE ENTHALPIES OF PHASE CHANGES  
 ON THE HIGH TEMPERATURE CALORIMETER (HT-1500)  
 IN THE SYSTEM  $\text{Li}_2\text{O} \cdot x\text{Fe}_2\text{O}_3$  ( $x = 2, 3, 4, 5, 6$ )

### Summary

The enthalpies of ferromagnetic and order-disorder transformation in the system  $\text{Li}_2\text{O} \cdot x\text{Fe}_2\text{O}_3$  ( $x=2, 3, 4, 5, 6$ ) have been studied on the HT-1500 calorimeter ("Setaram").

### ლიტერატურა — REFERENCES

1. О. О. Димитриади, Т. Е. Мачаладзе. Тез. докл. молодых сотрудников и аспирантов ИНХОЛ. Тбилиси, 1971.
2. Н. А. Ландия. Расширенные тез. докл. VI Всесоюзной конференции по калориметрии. Тбилиси, 1973.
3. Инструкция «Дифференциально-сканирующий калориметр НТ-1500», фирма «Setaram», 1973.
4. R. Hultgren, R. Orr, Ph. Anderson, K. Kelley. Selected Values of Thermodynamic Properties of Metals and Alloys. New York, London, 1963.
5. И. А. Смольков, В. М. Греков. Вестник МГУ, сер. физ., 6, 1959, 137.
6. Л. А. Резницкий, С. Е. Филиппова, Ю. Т. Метлин. ЖФХ, XV, 5, 1971.



ФИЗИЧЕСКАЯ ХИМИЯ

Г. В. ЦИЦИШВИЛИ (академик АН ГССР), Т. Г. АНДРОНИКАШВИЛИ,  
 О. С. БАНАХ, Л. В. СТРИЛЬЧУК

ОПРЕДЕЛЕНИЕ ТЕРМОДИНАМИЧЕСКИХ ФУНКЦИЙ ГАЗОВ  
 ПО ХРОМАТОГРАФИЧЕСКИМ ДАННЫМ НА ЦЕОЛИТАХ AgNaY

Хроматографические данные позволяют рассчитывать [1] такие термодинамические функции адсорбированных веществ, как теплоты адсорбции  $Q$ , изменение мольной свободной энергии ( $-\Delta G$ ) и энтропии ( $-\Delta S$ ). Не претендуя на очень высокую точность, хроматографический метод выгодно отличается от статических способов возможностью экспрессного определения вышеуказанных величин при низких заполнениях полостей цеолита. Этот метод позволяет сопоставить данные о влиянии природы катионов на их энергию взаимодействия с молекулами адсорбата, что составляет цель настоящего сообщения. Расчет термодинамических функций молекул адсорбата на образцах AgNaY представляет определенный интерес, так как может принести дополнительную информацию, касающуюся энергии взаимодействия и подвижности адсорбированных молекул в полостях цеолита.

Методика приготовления и изучения хроматографических свойств серебряных форм цеолитов типа Y описана в ранее опубликованной работе [2]. Теплоты адсорбции кислорода, азота, окси углерода и углеводородных газов  $C_1-C_4$ , рассчитанные из прямолинейной зависимости логарифма удерживаемого объема от величины обратной температуры нагрева хроматографической колонки, приведены в таблице.

Теплоты адсорбции  $O_2$ ,  $N_2$ ,  $CO$  и углеводородов  $C_1-C_4$  на образцах  $AgNaY$

Компоненты	Степень замещения $Na^+$ на $Ag^+$ , %										
	0	8,48	16,9	34,1	46,8	53,5	60,4	69,8	92,6	97,6	100
$O_2$	3,4	3,5	3,5	3,5	3,6	3,6	3,6	3,7	4,1	4,2	4,4
$N_2$	4,5	4,6	4,6	4,6	4,7	4,7	5,0	5,3	6,2	6,5	6,8
$CH_4$	4,4	4,5	4,4	4,6	4,7	4,9	5,1	5,4	6,4	6,7	6,9
$C_2H_6$	6,1	6,2	6,1	6,2	6,5	6,7	7,0	7,4	8,4	8,7	8,9
$C_3H_8$	7,7	7,8	7,7	7,9	8,3	8,5	8,9	9,3	10,6	10,8	11,0
$n-C_4H_{10}$	9,3	9,4	9,3	9,6	10,1	10,5	10,8	11,4	12,6	12,8	13,0
$i-C_4H_{10}$	9,2	9,3	9,2	9,5	10,2	10,6	11,0	11,5	12,7	12,9	13,1
$CO$	5,7	11,8	13,5	15,2	16,0	16,5	16,9	17,3	19,2	19,6	20,0
$C_2H_4$	8,7	18,3	20,0	—	—	—	—	—	—	—	—

Следует отметить, что теплоты адсорбции газов  $C_2H_4$  и  $CO$ , рассчитанные из хроматографических данных, на образцах  $AgNaY$ , ссыпано с высоким и средним содержанием катионов серебра, имеют приближенный характер вследствие значительной асимметрии ликов этих газов на хроматограммах.

Данные таблицы свидетельствуют о незначительном повышении теплот адсорбции при увеличении степени замещения  $\text{Na}^+$  на  $\text{Ag}^+$  до 30%, что соответствует заполнению экранированных  $S_1$ -позиций катионами серебра [3]. При дальнейшем возрастании степени замещения  $\text{Na}^+$  на  $\text{Ag}^+$  начинается резкий подъем теплот адсорбции, ибо катионы  $\text{Ag}^+$  уже занимают наиболее открытые  $S_2$ - и  $S_3$ -позиции, оказывая значительное поляризующее действие на эти молекулы.

Особыне резкое увеличение теплот адсорбции наблюдается для  $\text{CO}$  и  $\text{C}_2\text{H}_4$  даже при незначительном содержании катионов  $\text{Ag}^+$  в цеолите. Если на исходном образце  $\text{NaY}$  разница теплот адсорбции  $\text{C}_2\text{H}_4$  и  $\text{C}_2\text{H}_6$  составляет 2,6 ккал/моль, то на образце, содержащем 8,5% ионов  $\text{Ag}^+$  вместо  $\text{Na}^+$ , эта разница повышается до 12 ккал/моль. Столь высокий рост энергии происходит за счет образования дополнительных связей между  $\pi$ -электронами этилена и катионами  $\text{Ag}^+$ .

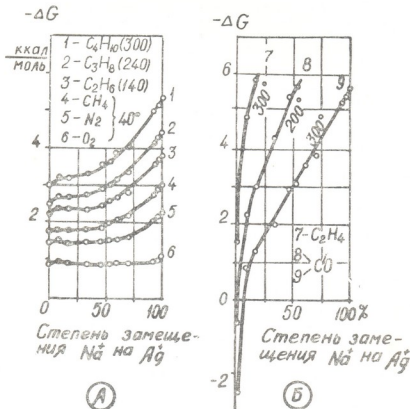


Рис. 1. Зависимость изменения мольной свободной энергии ( $-\Delta G$ ) алканов  $\text{C}_1$ — $\text{C}_4$  и  $\text{N}_2(\Lambda)$ , а также  $\text{CO}$  и  $\text{C}_2\text{H}_4$  (Б) от степени замещения  $\text{Na}^+$  на  $\text{Ag}^+$  в цеолите

с возникновением  $\pi$ -комплексов [4]. При переходе молекул из газообразного в адсорбированное состояние изменение мольной свободной энергии (по абсолютной величине) возрастает с повышением содержания катионов серебра. Для молекул  $\text{O}_2$  (рис. 1, А) величина  $-\Delta G$

немного повышается лишь на образце с очень высокой степенью замещения, а для азота, благодаря наличию квадрупольного момента, мольная свободная энергия адсорбции изменяется значительно больше в тех же условиях. Аналогичная азоту закономерность в изменении  $-\Delta G$  наблюдается для алканов C<sub>1</sub>—C<sub>4</sub>. На образцах со степенью замещения Na<sup>+</sup> на Ag<sup>+</sup> > 30% резко увеличивается изменение мольной свободной энергии адсорбции алканов вследствие тесного контакта их молекул с катионами Ag<sup>+</sup>. Иная картина наблюдается в случае CO и C<sub>2</sub>H<sub>4</sub>, где величина  $-\Delta G$  круто поднимается (рис. 1,Б) даже на образце с низкой степенью замещения Na<sup>+</sup> на Ag<sup>+</sup> (~8,5%) при высоких температурах колонки. Но для окси углерода на исходном образце NaY, не содержащем катионов Ag<sup>+</sup>, при температуре 200—300°C наблюдается обратный знак (нижние точки кривых 8 и 9 рис. 1,Б) в изменении мольной свободной энергии ( $-\Delta G$ ). Это указывает на большую вероятность нахождения молекул CO в газовой фазе, чем в адсорбированном состоянии при высокой температуре на цеолите NaY.

Переход молекул газов из газообразного в адсорбированное состояние на серебряных формах цеолитов типа Y сопровождается значительным изменением мольной энтропии адсорбции  $-\Delta S$ . При этом для CO и C<sub>2</sub>H<sub>4</sub> наблюдается наибольшее изменение энтропии ( $-\Delta S$ ), что указывает на значительное ограничение свободы перемещения молекул CO и C<sub>2</sub>H<sub>4</sub> в полостях серебросодержащих цеолитов.

Академия наук Грузинской ССР

Институт физической  
и органической химии  
им. П. Г. Меликишвили

(Поступило 8.1.1976)

უზრუნველი კიბია

8. ტიტოვი საქ. სსრ მეცნ. ექიმის აკადემიუსი, თ. აცარინია ავტორი,  
ო. განაცი, ლ. სტრიქაშვილი

AgNaY ცეოლიტის აირების თერმოდინამიკური ფუნქციების  
განსაზღვრა ძროშატობრაციული მონაცემების მიხედვით

რეზიუმე

ქრომატოგრაფიული მონაცემების საფუძველზე გამოთვლილი O<sub>2</sub>, N<sub>2</sub>, CO და C<sub>2</sub>H<sub>4</sub> აირების და C<sub>1</sub>—C<sub>4</sub> ალკანების ადსორბციის სითბოები (Q), დადგენილია თავისუფალი მოლური ენტროპია ( $-\Delta G$ ) და ენტროპია ( $-\Delta S$ ) ცვლილებები Y ტიპის ცეოლითის ვერცხლშემცველ ფორმებზე.

ნაჩვენება, რომ ვერცხლის კათიონებით ცეოლითის გამდიდრება იწვევს აირების თერმოდინამიკური ფუნქციების (Q,  $-\Delta G$ ,  $-\Delta S$ ) ზრდას.

ეს სიდიდეები განსაკუთრებით გაზრდილია CO და C<sub>2</sub>H<sub>4</sub>-თვის, რაც მიუთითებს ადსორბირებული მოლუკულების ძერადობის მნიშვნელოვან შემცირებაზე ვერცხლის კათიონებთან — კომპლექსების წარმოქმნის გამო.

## PHYSICAL CHEMISTRY

G. V. TSITSISHVILI, T. G. ANDRONIKASHVILI, O. S. BANAKH, L. V. STRILCHUK

DETERMINATION OF THE THERMODYNAMIC FUNCTIONS OF  
GASES BY CHROMATOGRAPHIC DATA ON AgNaY-ZEOLITES

## Summary

The adsorption heats, changes of the mole free energy and entropy of adsorption were determined for  $O_2$ ,  $N_2$ ,  $CO$ ,  $C_2H_4$  and alkanes  $C_1-C_4$ . An increase of these values with the growth of  $Ag^+$  ion contents in zeolite was noted.

## ЛІТЕРАТУРА — REFERENCES

1. М. А. Khan. Lab. Practice, II, № 3, 1962, 195.
2. Т. Г. Андроникашвили, О. С. Банах. Сообщения АН ГССР, 76, № 2, 1974, 865.
3. G. R. Eilenberger, D. P. Shoemaker, I. G. Keil. J. Phys. Chem., 71, 1967, 1812.
4. О. М. Джигит, А. В. Киселев, Л. В. Минеева, Г. Г. Муттик, Г. П. Попова, М. А. Шубаева. Кинетика и катализ, 15, № 4, 1974, 988.



## ХИМИЧЕСКАЯ ТЕХНОЛОГИЯ

А. В. САРУХАНИШВИЛИ, Н. К. КУТАЛЕДАЗЕ

### СТЕКЛООБРАЗОВАНИЕ В СИСТЕМАХ $ZnO-MnO-B_2O_3$ И $SrO-MnO-B_2O_3$

(Представлено членом-корреспондентом Академии К. С. Кутателадзе 13.1.1975)

Многолетние исследования в области марганецсодержащих стекол [1—9] показывают возможность получения стекол и стекломатериалов с качественно новым комплексом ценных технических свойств, что дает основание полагать о существовании нового класса марганцевых стекол.

Это обстоятельство приводит к необходимости исследования малоизученных систем, содержащих окислы марганца, с точки зрения стеклоделия.

Выбранные в качестве объекта исследования пробные системы изучались в работе [10]. Однако в ней оставлено без внимания влияние условий синтеза на стеклообразование и свойства полученных стекол, которые, как это показано в работах [4, 9], играют порой решающую роль в случае марганецсодержащих стекол. Помимо этого, несистематическое рассмотрение свойств всех стекол этих систем не позволяет судить о роли составляющих в стеклообразовании.

С целью восполнения этих пробелов и увеличения каталога марганцевых стекол нами предпринято систематическое исследование стекол этой системы, частью которого является настоящая работа.

При изучении стеклообразования нами используются данные по бинарным  $ZnO-B_2O_3$  и  $SrO-B_2O_3$  системам, полученные Имако [11, 12], и собственные данные по системе  $MnO-B_2O_3$  [9].

В качестве исходных сырьевых материалов использовались химические реагенты борная кислота, углекислый цинк, стронций и марганец марки х.ч. и х.ч.а.

Для получения достоверных результатов по стеклообразованию в этих системах было проведено изучение влияния марганецсодержащих расплавов на стекловарочные сосуды, изготовленные из различных материалов. Пригодность того или иного сосуда оценивалась количеством перешедших в расплав окислов, не содержащихся в стекле по синтезу. Для ряда стекол проводился химический анализ на соответствие между составом по синтезу и по анализу.

Платиновые сосуды оказались непригодными из-за интенсивного разъедания их при больших содержаниях окислов марганца в стекле. Кварцевые сосуды визуально не претерпевали изменений, однако химический анализ показал содержание в таких стеклах  $SiO_2$  до 8—12%.

Почти аналогичные результаты были получены и при варке стекол в шамотных сосудах, с той разницей, что, помимо  $SiO_2$ , в стеклах отмечалось наличие и  $Al_2O_3$  до 5%.

Корундизированные сосуды оказались довольно стойкими по отношению к расплавам с содержанием  $MnO$  до 20—30 мол. Увеличение

содержания последней приводило к переходу в расплав до 5—6%  $\text{Al}_2\text{O}_3$ . Вхождение  $\text{Al}_2\text{O}_3$  в расплав, как правило, вызывало резкое повышение склонности его к кристаллизации, чем, вероятно, и следует объяснить более узкие области стеклообразования, по сравнению с полученными нами, представленными в работе [10].

Переход  $\text{SiO}_2$  и  $\text{Al}_2\text{O}_3$  в расплав наблюдался и в случае использования сосудов из полуфарфоровой массы. Однако количества их не превышали 1,2 и 0,71 соответственно, что не должно было сильно влиять на границы стеклообразования.

Граница стеклообразования определялась варкой шихты на 100 г стекла с последующей отливкой на металлическую плиту, а также варкой 1—3 г шихты с охлаждением в ячейках. Температура варки составляла 1150—1250°C, длительность — не более 15—30 минут.

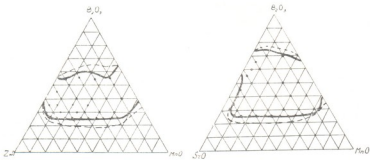


Рис. 1. Стеклообразование в системах  $\text{ZnO}-\text{MnO}-\text{B}_2\text{O}_3$  и  $\text{SrO}-\text{MnO}-\text{B}_2\text{O}_3$ : — шихта на 100 г стекломассы, - - - - 1—3 г шихты

Результаты исследования представлены на рис. 1. В обеих системах введение окислов марганца приводит к «усвоению» борокислородной сеткой больших количеств ионов модификаторов, чем это наблюдается в бинарных системах  $\text{ZnO}-\text{B}_2\text{O}_3$  и  $\text{SrO}-\text{B}_2\text{O}_3$ .

В случае системы  $\text{ZnO}-\text{MnO}-\text{B}_2\text{O}_3$  это явление можно связать с увеличением количества бора в четверной координации, так как известно, что содержание  $[\text{BO}_4]$  увеличивается в результате замены малых ионов  $\text{Mn}^{2+}$  более крупными. ( $[\text{Zn}^{2+}] = 0,74 \text{ \AA}$ ,  $[\text{Mn}^{2+}] = 0,80 \text{ \AA}$ ). Однако в системе  $\text{SrO}-\text{MnO}-\text{B}_2\text{O}_3$  такая трактовка наблюдаемого явления расширения области стеклообразования не может быть принята ( $[\text{Sr}^{2+}] = 1,13 \text{ \AA}$ ).

Ранее было показано, что в марганицевых стеклах, полученных на основе карбоната марганца, возможное валентное состояние ионов марганца ограничивается  $\text{Mn}^{2+}$  и  $\text{Mn}^{3+}$  с преобладанием первого.

На основе данных о положении ионов марганца в кристаллических веществах [13, 14]) можно предполагать, что только  $\text{Mn}^{3+}$  может менять координационное состояние и в таком случае встраиваться в борокислородный каркас, увеличивая количество валентных связей для «удержания» больших количеств ионов-модификаторов. А так как содержание  $\text{Mn}^{3+}$  в исследуемых стеклах не превышает в среднем 1/10—1/8 части от всего количества марганца в стекле [9], расшире-

ние области стеклообразования идет до определенного предела, характеризующегося в нашем случае 25 мол%  $B_2O_3$ .

Характерно, что этот предел оказался одинаковым для областей стеклообразования в обеих системах.

Насколько это предположение соответствует действительности, покажут дальнейшие исследования зависимости свойств стекол исследуемых систем от состава.

В заключение следует отметить, что стекла систем  $ZnO-MnO-B_2O_3$  и  $SrO-MnO-B_2O_3$  могут служить основой для получения спаев для самых разнообразных металлов, так как обладают большим диапазоном значений коэффициента термического расширения при сравнительно малых температурах стекловарения, повышенной стойкостью во влажной атмосфере и высокими значениями электросопротивления.

Грузинский политехнический институт  
им. В. И. Ленина

(Поступило 15.1.1975)

© 1977, УДК 666.1

А. САРУХАНИШВИЛИ, Н. КУТАТЕЛАДЗЕ

ВЪДЪЛЪЧЕНИЕ ВЪ СИСТЕМЫ  $SrO-MnO-B_2O_3$  И  $ZnO-MnO-B_2O_3$

Резюме

Широкие области стеклообразования в системах  $SrO-MnO-B_2O_3$  и  $ZnO-MnO-B_2O_3$  установлены экспериментально. Стекла получены в широком диапазоне концентраций оксида марганца и борида марганца. Показано, что стекла обладают высокой стойкостью в влажной атмосфере и высокими значениями электросопротивления.

#### CHEMICAL TECHNOLOGY

A. V. SARUKHANISHVILI, N. K. KUTATELADZE

#### GLASS FORMATION IN THE $ZnO-MnO-B_2O_3$ AND $SrO-MnO-B_2O_3$ SYSTEMS

##### Summary

Glass formation in the  $ZnO-MnO-B_2O_3$  and  $SrO-MnO-B_2O_3$  systems has been studied.

The presence of vast areas of glass formations in these systems has been shown. Glasses are formed when the content of the main glass-forming oxide  $B_2O_3$  is low (25–30 mol. %).

It is assumed that formation of glasses with a high content of modifying ions is due to the entrance of some part of highly oxidized manganese ions into the glass network.

Glasses obtained in the  $ZnO-MnO-B_2O_3$  and  $SrO-MnO-B_2O_3$  systems are characterized by a wide range of variation of the thermal expansion coefficient, increased chemical stability in humid atmosphere and high electrical resistance. These properties make it possible to use these glasses for fusing with various materials.

## ლიტერატურა — ЛИТЕРАТУРА — REFERENCES

1. К. С. Кутателадзе, А. В. Саруханишвили, Н. К. Кутателадзе. Труды XV науч. техн. конфер. ГПИ им. В. И. Ленина, вып. 5, 1970.
2. К. С. Кутателадзе, А. В. Саруханишвили, Н. К. Кутателадзе. Стекло и керамика, № 9, 1970.
3. Н. К. Кутателадзе. Изучение многомарганцевых стекол на основе марганцевой карбонатной руды. Автореф. диссертации кандидата техн. наук. Тбилиси, 1971.
4. А. В. Саруханишвили, Н. Н. Гамбашидзе. Труды ГПИ им. В. И. Ленина, № 5 (153), 1972.
5. А. В. Саруханишвили, Н. Н. Гамбашидзе. Сообщения АН ГССР, 71, № 1, 1971.
6. А. В. Саруханишвили, Н. Н. Гамбашидзе, Г. Ш. Чейшвили. Бюлл. СССР по делам изобретений и открытий, № 12, 1974.
7. T. Me-Millen. Tech. Congr. on Glass. New York, 1, 1932.
8. Е. А. Файнберг, В. И. Паневкина. Авт. свид. кл. 32 в. 3/30 (СОЗс). 174780.
9. Г. Ш. Чейшвили. Исследование стекол системы  $MnO$ — $PbO$ — $B_2O_3$  и поверхностных явлений марганецсодержащих стекол. Автореф. диссертации кандидата техн. наук. Тбилиси, 1975.
10. М. Г. Кузнецова. Исследование физико-химических свойств стекол в системах  $RO$ — $MnO$ — $SiO_2$  и  $RO$ — $MnO$ — $B_2O_3$  и разработка на их основе практических электропроводящих составов. Автореф. докторской диссертации. Л., 1972.
11. M. Imaoka. J. Cer. Assoc. Japan, 67, 11 (767), 1959.
12. M. Imaoka. Advances in Glass Techn. Techn. Pap. VI Intern. Congr. Glass. New York, 1, 1962.
13. M. Volf. Silikaty. XI, № 4, 1968.
14. И. Наран-Сабо. Неорганическая кристаллохимия. Будапешт, 1969.

ФИЗИЧЕСКАЯ ГЕОГРАФИЯ

В. П. ЗЕНКОВИЧ, В. М. ПЕШКОВ

**ДИНАМИКА ФОРМ МЕЗОРЕЛЬЕФА ПОДВОДНЫХ ОТКОСОВ  
ПИЦУНДЫ**

(Представлено академиком Ф. Ф. Давитая 21.1.1976)

По окружности Пицундского мыса и далее на северо-восток к основанию подводного берегового склона прижат откос средней крутизны около 25°. Его верхний край четко выражен на глубинах 10—12 м, а подножье уходит на глубину 70—75 м у мыса и повышается к вершине Пицундского залива до 20 м [1, 2].

Многократные повторные промеры в масштабе 1:500 показали большую изменчивость рельефа подводного берегового склона и откосов после прохождения сильных штормов. По этим измерениям, включая нивелировку пляжа, удалось определить суммарные потери или накопления наносов, которые достигают в районе Пицундского мыса 40—80 тыс. м<sup>3</sup> за один штурм в 7 баллов продолжительностью около 2 суток. Одновременно с этим было выявлено формирование на откосах поперечных валов и ложбин. Они отчетливо прослеживаются на батиметрических планах за 1969 и 1970 гг., когда расстояния между промерными галсами составляли 15—20 м. Промеры в 1969 г. выполнялись до глубины 20 м, а с 1970 г. были доведены до 40 м. Они велись тросовым лотом с интервалами 5 м. Оценка точности промеров на откосах до глубины 40 м показала, что в 85% случаев ошибки не превышают 20 см.

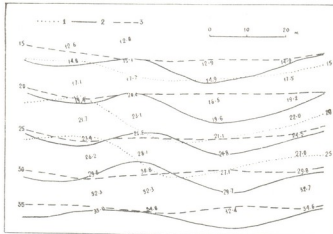


Рис. 1. Рельеф типичного участка подводного откоса: 1 — изобаты на август 1969 г.; 2 — отметки глубин и изобаты из февраля 1970 г.; 3 — изобаты на март 1970 г.

На прилагаемой врезке (рис. 1) для небольшого типичного участка откосов даны изобаты на февраль 1970 г., а также на август 1969 и март 1970 гг.

В январе и феврале 1969 г. на Пицунде прошло два сильных шторма с юго-востока силой в 7 баллов, которые размыли берег и подводный откос в районе Пицундского мыса. В августе 1969 г. был западный шторм в 6 баллов, который несколько видоизменил рельеф откосов. В октябре 1969 и феврале 1970 гг. прошли штормы с запада силой в 7 баллов. Сразу после февральского шторма промер выявил картину образования валов и ложбин шириной 20—30 м и относительной глубиной 2—4 м (до 5 м в одном случае). Крутизна боковых склонов ложбин составляет в среднем 5—7°. Формы эти ритмичны. Они возникли на закруглении мыса и на расстоянии около 500—600 м от него. Далее на северо-восток ложбины исчезают и изобаты везде сохраняют параллельность, следя вдоль береговой линии.

В марте 1970 г. прошел ЮЮВ шторм в 7 баллов. Он счищал дно за счет срезания валов и заполнения ложбин.

При всех описанных изменениях край свала глубин сохраняет удивительное постоянство и выше него происходят обычные береговые процессы размыва и накопления, причем все деформации рельефа вытянуты строго параллельно береговой линии.

При последующих промерах в 1971—1975 гг. подтвердилось, что южные штормы выравнивают дно, а западные снова расчленяют. Валы и ложбины на участке исследований впервые наблюдались летом 1960 г. П. А. Каплиным [3] при спусках в акваланге. Промер, проведенный в октябре 1969 г. при участии обоих авторов, показал совершенно ровное дно. В течение 1970—1975 гг. В. М. Пешков многократно осматривал в акваланге дно и установил, что система валов—ложбин хорошо выражена после сильных западных штормов и исчезает после южных. В августе 1973 г. В. П. Зенкович обследовал подножье откосов из подводной лодки и зафиксировал систему валов и ложбин до глубин 70—75 м.

По наблюдениям обоих авторов, а также П. А. Каплина, на валах всегда залегает грубый материал (преимущественно галька и валуны), в то время как в межваловых понижениях преобладают песок и гравий с примесью ила. Здесь же обычно накапливаются плавник и различный мусор, выносимый с берега.

В известной литературе нет исследований форм рельефа, подобных описанным. Для объяснения их происхождения необходимо отметить важные особенности динамики данного участка берега. Южные волны размывают пляж и подводный береговой склон, увлекая наносы от оконечности мыса на его фланги; часть их идет в сторону вершины Пицундского залива, часть — на северо-запад к Инкитской бухте [4]. При этом размывается и откос до максимально измеренных глубин в 40 м. Западные волнения поставляют к мысу от устья р. Бзыби песок, гравий и гальку в количестве 35—40 тыс. м<sup>3</sup> за один шторм в 7 баллов продолжительностью около 2 суток.

Испытывая рефракцию и дифракцию у закругления мыса, западные волны теряют свою транспортирующую способность на протяжении не более 600—700 м вдоль берега. Подходя к береговой линии под очень острым углом, они формируют кулисные выступы из валунов и гальки, описанные ранее под названием оффсетов [5]. Это своеобразные косы, которые уходят на глубину напискось от берега и увлекают туда свою нагрузку из крупных наносов.

Только таким путем авторы могут объяснить возникновение валуно-галечных валов, уходящих здесь под уклон морского дна. Образованные межваловые понижения становятся как бы каналами оттока воды, нагоняемой прибойной волной, и соответственно увлекают на

дио взвешиваемый менее крупный материал (песок, гравий и пр.). Явление пространственной локализации оттока (разрывные течения) широко распространено и, как известно, при этом формируются желоба даже на ровном, относительно отмелом дне. В условиях вогнутостей берега близкие к ним и весьма мощные течения были описаны Е. А. Поповым [6] под названием донного противотока. Гравитационное смещение грубых наносов по крутым откосам неоднократно констатировалось у Сухумского мыса и в других местах [7].

Академия наук Грузинской ССР

Институт географии

им. Вахушти

(Поступило 23.1.1976)

შემუშავი გოგოძე

ვ. ბერივაძე, ვ. პეშკოვი

## გეოგრაფიული და გეოლოგიური მიზონილების ურჩევის დინამიკა

რეზიუმე

დასავლეთის შტორმები ბიჭვინთის კონცხისაენ ნაპირის გასწვრივ გადაფილებენ ათასასობით კუბ. მ ნატანს (ქვიშა, ხრეშა, რიყნარი, ლოდები). მათ შედეგად ციცაბო წყალქვეშა ფერდზე წარმოქმნება ნაპირის პერპენდიკულარული ზეინულები და ღარები. ფერდის ზედა ნაწილში რელიფის ფორმები ნაპირს გაუყვება. სამხრეთის შტორმებს მასალა გადაქვეთ ბიჭვინთის ნახევარ-კუნძულიდან მის ჩრდილო-დასავლეთი და ჩრდილო-აღმოსავლეთი მიმართულებით. ისინი ამარტივებენ ფსკერს და ზეინულებისა და ღარების ნიველირებას ახდენენ.

PHYSICAL GEOGRAPHY

V. P. ZENKOVICH, V. M. PESHKOV

## THE DYNAMICS OF THE MESORELIEF FORMS OF THE PITSDUNDA CAPE STEEP SUBMARINE SLOPES

Summary

Western storms move alongshore some tens of thousands of cubic metres of the sediment load (sand, gravel, shingle, boulders) to the Pitsunda cape. This results in the creation of transverse smooth ridges and grooves on the steep underwater slope. The upper parts of these relief forms are oblique to the shore line (offsets). Southern storms transport the sediments away from the cape's arch along both its flanks. They wash out the ridges and fill the grooves up, thus levelling the slope in general.

ՊՈՃՈՒԹՅՈՒՆ — ЛИТЕРАТУРА — REFERENCES

1. В. П. Зенкович. Наука и жизнь, № 3, 1970.
2. В. М. Пешков. Сб. трудов координационных совещаний по гидротехнике «Морские берегозащитные мероприятия». Л., 1974.
3. П. А. Каплин. Океанология, № 6, 1961.
4. В. М. Пешков. Геоморфология, № 1, 1975.
5. В. П. Зенкович. Динамика и морфология морских берегов, ч. I. М., 1946.
6. Е. А. Попов. Труды океанографической комиссии АН СССР, т. 1, 1956.
7. О. К. Леонтьев, Г. А. Сафьянов. Кааньоны под морем. М., 1973.

## ФИЗИЧЕСКАЯ ГЕОГРАФИЯ

В. М. ПЕШКОВ

## СКОРОСТЬ И ОБЪЕМ ВДОЛЬБЕРЕГОВОГО ПЕРЕМЕЩЕНИЯ ГАЛЬКИ НА ПИЦУНДЕ

(Представлено академиком Ф. Ф. Давитая 21.1.1976)

В ходе исследований Черноморнипроекта и Сочинской волноисследовательской станции Союзморнипроекта (1970—1974 гг.) по периферии Пицундского полуострова проводились детальные повторные промеры и нивелировки пляжа по фиксированным полосочникам.

Изменения положения береговой линии, рельефа пляжа и подводного берегового склона регулируются здесь чередованием противоположных по действию волнений западных и южных румбов [1, 2]. Несколько серий до- и послештормовых измерений позволили получить количественные данные о подвижках пляжевой гальки, выраженные в объемах размыва и аккумуляции по всей длине береговой зоны от Пицундского мыса до вершины Инкинской бухты (рис. 1).



Рис. 1

Береговая линия на указанном протяжении 4 км выровнена и имеет азимут  $135^\circ$ . Уклоны пляжей составляют 0,04—0,05 при средней ширине 50—60 м. Подводный береговой склон (за пределами оконечности Пицундского мыса) в верхней части представляет собой сплошной галечниковый откос (уклоны 0,15—0,20), резко переходящий на глубинах 3—5 м в пологое песчаное дно (0,05—0,07).

За время 7-балльного шторма 1—3 февраля 1972 г. с пляжа и подводного склона (до глубин 10—12 м) оконечности Пицундского мыса было смыто около 60 тыс.  $m^3$  материала. Волны глубокого моря (максимальная высота волн около 6 м, длина волн 60—70 м и период 7,3 сек) имели среднее направление распространения  $163^\circ$  (ЮЮВ). Угол между лучом волны и береговой линией по оси закругления мы-

са был близок к нормали. Это вызвало растекание наносов на фланги мыса — к вершине Пицундского залива и в сторону Иникской бухты. Вдоль юго-западного берега (азимут подхода волнового луча к берегу около  $30^{\circ}$ ) пляжевый материал перемещался к вогнутости Иникской бухты и накапливался в этой естественной ловушке. При данном направлении волн материал из бухты практически не выходил. По совмещенным профилям было подсчитано, что объем накопления материала (преимущественно гальки) в вершине Иникской бухты за время указанного шторма продолжительностью около 46—48 часов составил 30 тыс. м<sup>3</sup>, или 600 м<sup>3</sup> в час.

Если было бы известно сечение одновременно движущегося слоя, то мы могли бы определить абсолютную скорость перемещения гальки. К сожалению, во время шторма с высотой воли до 6 м эту величину измерить не удается. Однако можно попытаться установить крайние величины допустимых скоростей. Повторный промер показывает, что сечение смешенного слоя гальки за время сильного шторма на участке сразу к юго-востоку от бухты Иник составляет 35—40 м<sup>2</sup>. Если допустить, что вся масса гальки двигалась одновременно, то это даст скорость ее массового перемещения около 17—20 м/час. Более вероятно, однако, что одновременно перемещался слой в одну-две гальки, т. е. толщиной около 10 см. В этом случае площадь поперечного сечения подвижки составит 4—5 м<sup>2</sup>, а минимальная при сделанном допущении скорость, таким образом, достигнет 120—150 м/час.

Полученная скорость массового перемещения гальки намного превышает известные данные других исследователей. Так, А. М. Ждановым [3] для района Сочи установлена величина всего лишь в 150 м в сутки, или 6 м в час. В. П. Зенковичем с соавт. [4] соответствующая скорость для описываемого берега Пицунды была определена в 15 м/час.

Различие с данными А. М. Жданова объясняется, видимо, большой приглубостью берега Пицунды (у Сочи до глубины 10 м 0,03, а на Пицунде 0,08—0,10), благодаря чему крупные штормовые волны почти не теряют своей энергии и испытывают лишь слабую рефракцию до самого момента разбивания. По данным стереоаэрофотосъемки СоюзморНИИпроекта, 2 февраля 1972 г. коэффициент деформации волн глубокого моря в прибрежной зоне составил 0,64.

Несовпадение с данными В. П. Зенковича с соавт. связано с различиями в силе штормов за время измерений, проводившихся ими при слабых и умеренных волнениях.

Поскольку расстояние между Пицундским мысом и бухтой Иник составляет 4 км, то вся галька при полученных значениях скорости вдольберегового перемещения реально могла бы пройти это расстояние. Однако этого не происходит, так как максимальные скорости, очевидно, приурочены лишь непосредственно к зоне обрушения волн и действия наиболее мощного потока в диапазоне от 3—4 м глубины до средины надводного пляжа. В связи с этим можно предположить, что в указанной зоне наиболее высокой энергии потока реальные скорости массового перемещения гальки могут быть еще более значительными, чем рассчитанные выше.

Академия наук Грузинской ССР  
Институт географии  
им. Вахушки

(Поступило 23.1.1976)

## 3. პეშკოვი

ბინანის ნაპირგასწვრივი ნაკაღის რიცნარის მოქრაობის  
სიჩრაომ და მოცულობა

## რეზიუმე

ვანმეორებით წყალქვეშა აგეგმეის და პლაუის ნიველირების საფუძველზე დადგენილია, რომ 1972 წლის 1—3 თებერვლის სსპ მიმართულების შტორმის დროს (ტალღის სიმაღლე 6 მ-დე, კუთხე ტალღის სხივსა და ნაპირის შორის  $30^{\circ}$ -მდე) ზღვის ნაპირის კვეთში 1 საათის ვანმავლობაში გადის 600 მ<sup>3</sup>-დე პლაუის რიცნარი. მასიური გადადგილების სიჩქარეა 120—150 მ/ს.

## PHYSICAL GEOGRAPHY

V. M. PESHKOV

VELOCITY AND BULK OF THE ALONGSHORE PEBBLES  
DISPLACEMENT AT PITSDUNDA

## Summary

The maximum velocity and bulk of pebbles have been established by means of repeated precise soundings and beach leveling at the rectilinear shore section at Pitsunda. They reach 120-150 m and 600 m<sup>3</sup> per hour. On February 1-3, 1972 the waves were 6 m high and the angle between the wave direction and the shoreline was about  $30^{\circ}$ .

## ლიტერატურა — ЛИТЕРАТУРА — REFERENCES

1. В. П. Зенкович. Наука и жизнь, № 3, 1970.
2. В. М. Пешков. Сб. трудов координационных совещаний по гидротехнике «Морские берегозащитные мероприятия». Л., 1974.
3. А. М. Жданов. Изв. АН СССР, сер. геофиз., № 2, 1951.
4. В. П. Зенкович, Н. Т. Белова, В. К. Илларионов. Геоморфология, № 4, 1975.



## ФИЗИЧЕСКАЯ ГЕОГРАФИЯ

Д. И. МАТКАВА

### РАЗМЫВ БЕРЕГОВ СЕВЕРНОЙ КОЛХИДЫ

(Представлено академиком Ф. Ф. Давитая 21.1.1976)

В связи со строительством Ингуринской ГЭС ожидается существенное изменение динамики морского берега на десятки километров в обе стороны от устья Ингуринской ГЭС. Институтом географии им. Вахушти АН Грузинской ССР выполнены топографические и батиметрические работы, а также геоморфологические исследования, которые являются основой для повторной фиксации ожидаемых изменений.

На участке от г. Очамчира до устья Ингуринской ГЭС установлены отступление берегов и размыты прибрежной части дна. Весь указанный участок, длиной 38 км, представляет собой песчано-галечный береговой бар, за которым расположены болота и лагуны. В море впадает несколько небольших рек (Гализга, Эрис-Цкали, Гагида и др.) со скучным твердым стоком. Поэтому нужно предполагать, что существующий здесь поток наносов, направленный с севера на юг [1, 2], основное питание получал в районе устья Кодори, твердый сток которого составляет в год 1 млн. м<sup>3</sup> [3]. В настоящее время поток или прерван, или его мощность резко уменьшена сооружением большой серии бун на участке г. Очамчира.

Явные признаки размыва обнаруживаются начиная от устья Эрис-Цкали. Наиболее ярко они выражены на протяжении следующих к югу 24 км и снова затихают вблизи устья Ингуринской ГЭС. К этим признакам относятся:

1. Обнажения глинистых и торфяных отложений у внешнего подножия бара, непосредственно в прибойной зоне. Они образуют уступы высотой до 1,8 м (например, у детского санатория «Гагида») и интенсивно размываются при штормах от 5 баллов и выше, сопровождаемых наносами.

2. В прибойной полосе и несколько ниже среднего уровня моря сохранились древесные пни и даже стволы высотой до 3 м (рис. 1).

3. За последние годы неоднократно приходилось переносить дорогу и телефонную линию. Руководители местных организаций сообщили, что, по зафиксированным данным, скорость отступления берега составляет в среднем 5 м в год и этот размыт установлен вплоть до устья Ингуринской ГЭС.

4. Местные старожилы свидетельствуют о том, что на месте моря находились ныне исчезнувшие долговременные сооружения. Так, против селения Пичоры располагались кузница и духаны. Севернее устья Гагида был построен лесопильный завод. Нами были осмотрены его развалины, которые находятся частично в прибойной зоне, а частично уже под водой. Анализ данных, полученных от старожилов показывает также, что средняя ежегодная скорость отступления берега за последние 40—50 лет равна 4—5 м.

5. Во многих местах бар имеет ширину в пределах 70—80 м и поднимается над средним уровнем не более чем на 2 м. В его теле ча-8. „Земледелие“, № 82, № 1, 1976

сто встречаются современные промонны (рис. 2), по которым прибойный поток и наносы перебрасываются на внутреннюю сторону, что, так же как выходы болотных отложений перед фасадом бара, свидетельствует о его интенсивном отступлении.



Рис. 1. Прибойная зона Черного моря в районе устья р. Эрис-цкали

Важно отметить, что хотя местные реки влекут к морю лишь песчаные и иллистые наносы, на пляже прослеживается галька кодорского происхождения [4]. Она концентрируется отдельными очагами на пляже и покрывает почти непрерывной полосой верхнюю зону бара в пределах заплеска сильных волн. В настоящее время поступление гальки из р. Кодори исключено из-за мола, построенного еще в 30-х гг., севернее г. Очамчире. Галька может вымываться лишь со дна и из тела смещающего бара, а до последних лет ее источником могли служить также абрадируемые береговые клифы севернее г. Очамчире. Сейчас поступлению гальки оттуда препятствуют буны. Эти буны неоднократно за последние годы засыпались галькой, взятой исключительно из поймы р. Кодори.

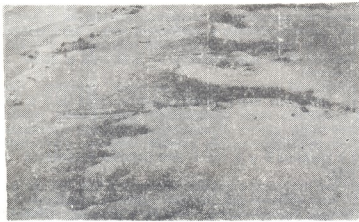


Рис. 2. Промонны в теле бара

Интересной особенностью берега является отчетливо видимая сортировка гальки по величине и форме. На севере галька является смешанной и относительно более крупной (вплоть до мелких валунов). По мере продвижения к югу уменьшаются ее общее количество и средний диаметр. На пляже и баре остаются только плоские дисковид-

ные каменные лепешки. Даже на северной косе р. Ингури они достигают 15 см в диаметре. Мелкая дисковидная галька обнаруживается на берегу и южнее устья Ингури. Поскольку перед ее устьем расположен глубокий каньон [1, 3], то происхождение этой гальки нужно считать древним, свидетельствующим о том, что ее устье находилось значительно южнее современного.

На всем обследованном берегу установлены весьма малая мощность слоя наносов бара (по выкопкам не более 2 м) и недостаточная ширина, вследствие чего штормовые волны могут перекатываться через бар.

Существующий дефицит наносов говорит о том, что при современном режиме волнения и явном отсутствии поступления наносов извне берег может начать отступать быстрее, чем в настоящее время.

После перекрытия плотины Ингури-ГЭС жидкий сток будет направлен в искусственный канал вблизи устья Эрис-Цкали. Однако это вряд ли может привести к существенному увеличению стока пляжеобразующих наносов, которые останутся в водохранилище. Поэтому уже теперь нужно прекратить существующую практику вывоза песка и гальки, в широком масштабе проводимого местными организациями для строительства дорог.

Академия наук Грузинской ССР  
Институт географии  
им. Вахушти

(Поступило 29.1.1976)

ფიზიკური გეოგრაფია

დ. მატკავა

## ჩრდილოეთ კოსტიტუს სანაპირო ზოლის გადარეცხვა

რეზიუმე

ჩრდილოეთ კოსტერში ქ. ოჩამჩირიდან მდ. ენგურის შესართავამდე მიმდინარეობს ზღვის სანაპირო ზოლის ნგრევა-გადარეცხვა. ზღვა სანაპირო სილირეში იქრება წელიწადში საშუალო 5 მ-ით და რეცხავს ძველ ნაჭაობარსა და ლაგუნურ ნალექებს. უახლოეს მომავალში მოსალოდნელი გადარეცხვის ტემპის გაძლიერება. ნაპირის ნგრევის აღრეულ მიზეზს წარმოადგენ ქ. ოჩამჩირის ჩრდილოეთი მდებარე საზღვო ჭებირი. სანაპირო ზოლის დაცვა მოთხოვს იქიდან მშენებლობისათვის მყარი მასალის გატანის აკრძალვას.

## PHYSICAL GEOGRAPHY

D. I. MATKAVA

## EROSION OF THE SHORE OF NORTHERN KOLKHETI

Summary

Erosion of the coastal strip of the Black Sea occurs in the northern part of Kolkheti, between Ochamchire and the mouth of the Inguri. On the average 5 m of the coast is eroded annually, involving marshy and lagoonal deposits. In the near future the intensity of erosion is expected to increase

owing to the cessation of the supply of the silt of the Inguri and Eristskali rivers when the Inguri power station starts operation. The moles built northward of Ochamchire in the 1930s should be assumed to be the primary cause of the retreat of the shore. Removal of sand and pebble from the beach and fluvial plain should be discontinued in the interests of coastal protection.

#### ЛІТЕРАТУРА — REFERENCES

1. В. П. Зенкович. Берега Черного и Азовского морей. М., 1958.
2. А. Г. Кикнадзе. Труды ГПИ им. В. И. Ленина. «Проблемы гидрологии и инженерной геологии», № 4, 1972.
3. О. К. Леонтьев, А. Г. Сафьянов. Каньоны под морем. М., 1973.
4. А. Г. Кикнадзе. Новые исследования береговых процессов. М., 1971.



ГЕОЛОГИЯ

М. Ф. ДЗВЕЛАЯ, В. Е. ГВЕНЕТАДЗЕ

О ГЕОЛОГИИ И НЕФТЕГАЗОНОСНОСТИ ЗАПАДНОЙ ЧАСТИ  
ЮЖНОЙ КАХЕТИИ

(Представлено академиком И. В. Кацарава 23.11.1975)

В Грузии для поисков залежей нефти и газа одним из перспективных районов является западная и северо-западная часть Южной Кахетии.

В 1956—1969 гг. в данном районе были проведены разного вида геолого-геофизические работы и структурно-картировочное бурение, а в 1970 г. — дополнительно сейсмические работы КМПВ (корреляционный метод преломляющих волн), выяснившие характер глубинного залегания кристаллического фундамента. Было установлено наличие ряда антиклинальных складок.

Самыми древними отложениями, выходящими на поверхность сводовых частей антиклиналей Таура-Тапа, Наомари и Нацвал-Цкали, являются преимущественно глины верхнего майкопа (соответствующие в основном коцахурскому горизонту), крылья же сложены песчано-глинистой толщей среднего и верхнего миоцена с общей мощностью до 3000 м.

В глубоких синклиналях в восточной и южной частях района появляются и отложения нижнего плиоцена — ширакская свита (1000 м). На размытой поверхности нижнего плиоцена и миоцена трансгрессивно — с большим угловым несогласием залегают отложения акчагыла (1100 м).

О литофацальной характеристике отложений, не обнажающихся на поверхности и не вскрытых структурно-картировочными скважинами, можно судить лишь по данным глубокого бурения, проведенного в Сартичала, Самгори, Вазиани и Рустави. Здесь олигоцен и нижняя часть нижнего миоцена представлены глинами, песками и песчаниками с общей мощностью 2300 м, верхний эоцен (1400 м) в верхней части — терригенными, а в нижней — терригенно-карбонатными осадками, средний эоцен (500 м) — туфогенно-терригенной фацией, а образования нижнего эоцена и палеоцена (1800 м) — флишем.

Принимая во внимание сейсмические данные по КМПВ, полученные в последние годы, можно отметить, что в центральной части интересующего нас района поверхность кристаллического фундамента залегает на глубине 10 км ниже уровня моря, а мощность образований, залегающих выше отложений среднего эоцена, составляет не более 5100 м, до поверхности кристаллического фундамента остается около 5000 м. В этой серии осадков, наряду с отложениями среднего эоцена-палеоцена, по всей вероятности, присутствуют образования мела и, возможно, юры.

На поверхности рассматриваемой территории наблюдается весьма сложное тектоническое строение, обусловленное наличием многих мелких складок с многочисленными линиями нарушений, которые в глубине не находят своего отражения. По мере углубления тектоническая картина упрощается. Некоторые структуры теряют значение как самостоятельные складки, вместе с этим затухают дизъюнктивные нарушения. На глубине в отложениях нижнего олигоцена и верхнего эоцена образуется одно основное антиклинальное поднятие, граничащее с глубокими синклиналями: Шапинели с севера и Яглуджа с юга.

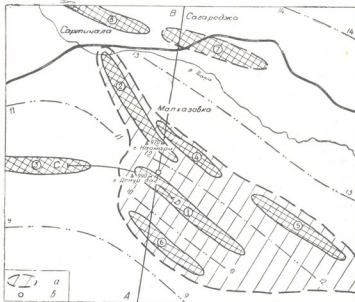


Рис. 1. Структурная схема по кровле отложений верхнего олигоцена (составлена В. Е. Гвенетадзе, 1971 г.). Оси антиклиналей: 1 — Таура-Тапа; 2 — Наомари (Малхазиани); 3 — Нацвал-шкали; 4 — Казаниани; 5 — Мцаре-хеви; 6 — Удабно; 7 — Цицматиани; 8 — Назреви. Оси синклиналей: 9—9 — Яглуджа; 10—10 — Удабно; 11—11 — Натахтари; 12—12 — Аклеми — Беребис-серии; 13—13 — Шапинели-Наомари; 14—14 — Палдо-Цицматиани. а — Главное антиклинальное поднятие по кровле отложений верхнего эоцена; в — место заложения параметрической скважины

Не вдаваясь в подробное описание процесса геологического развития района, отметим, что регрессия, начавшаяся со среднего миоцена, завершается в период роданской орофазы, которая вызывает дальнейшее поднятие суши и местами, по-видимому, зарождение новых структур. В результате этой орофазы образуется нижний структурный этаж, сложенный из отложений нижнего плиоцена-олигоцена и, возможно, эоцена.

В позднем плиоцене восходящее движение сменяется нисходящим и происходит широкая трансгрессия. Акчагыльское море покрывает почти всю территорию, за исключением некоторых узких полос, выступающих в виде островов в акчагыльском море.

Последующий период, включая и ашшеронский век, характеризуется регрессией моря.

Предчетвертичная — валахская орофаза на всей территории Восточной Грузии проявляется наиболее сильно. В результате окончательно формируются складки нижнего структурного этажа, образуются новые складки верхнего структурного этажа (отложения акчагыла), что хорошо наблюдается в восточной части района.

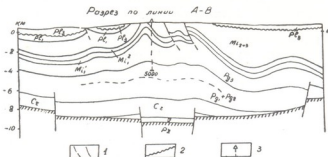


Рис. 2. Рz — палеозойские кристаллические породы; J — юра;  
Ст — мел; Pg<sub>1</sub> + Pg<sub>2</sub> — палеоцен-эоцен; Pg<sub>3</sub> — олигоцен; M<sub>1</sub><sup>1</sup> — нижний миоцен (нижняя часть); M<sub>1</sub><sup>2</sup> — нижний миоцен (верхняя часть); M<sub>2+3</sub> — средний и верхний миоцен; Pl<sub>1</sub> — нижний плиоцен; Pl<sub>2</sub> — верхний плиоцен; 1 — разрывы и разломы; 2 — несогласное залегание; 3 — проектная скважина

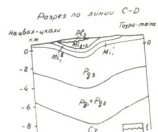
С этой орофазой связаны дальнейшее развитие ранее существующих дизъюнктивных нарушений и возникновение многочисленных новых.

Валахская орофаза вызвала образование, дальнейшую миграцию и аккумуляцию залежей нефти и газа в соответствующих структурах.

В последние годы в результате бурения были получены данные, весьма ценные для газо-нефтегеологической характеристики района (на площадях Норио, Сацхениси, Патардзеули, Таура-Тапа, Нацвал-цкали). По данным глубокого бурения, признаки нефтегазоносности из отложений верхнего и среднего эоцена отмечены на площадях Рустави, Самгори и Сартичала.

Во многих глубоких скважинах наблюдалось заметное газопроявление из мощных туфобрекций и туфопесчаников среднего эоцена, а газопроявление до небольших фонтанов отмечалось из отложений нижнего эоцена-палеоцена на площадях Рустави и Самгори.

Рис. 3. Ст — мел; Pg<sub>1</sub> + Pg<sub>2</sub> — палеоцен-эоцен; Pg<sub>3</sub> — олигоцен; M<sub>1</sub><sup>1</sup> — нижний миоцен (нижняя часть); M<sub>1</sub><sup>2</sup> — нижний миоцен (верхняя часть); M<sub>2+3</sub> — средний и верхний миоцен; Pl<sub>3</sub> — верхний плиоцен; 1 — несогласное залегание



Таким образом, признаки нефтегазоносности установлены в десятках разновидных скважин. Эти признаки, местами со значительными накоплениями нефти и газа, имеют большой стратиграфический диапазон. Это дает основание полагать, что миграция нефти и газа происходила с востока на запад от погруженной части Аджаро-Триа-

летсякой складчатой системы в соответствующих структурно-литофа-циальных условиях — в приподнятых частях складки.

В таких условиях в первую очередь могут оказаться антиклинали Таура-Тапа, Наомари, Нацвал-Цкали и Казаници для отложений нижней части нижнего миоцена и олигоцена, а для более древних отложений — одно большое антиклинальное поднятие нижнего структурного этажа.

Принимая во внимание, что к востоку от рассматриваемого района поверхность кристаллического фундамента постепенно понижается и одновременно увеличивается мощность залегающего на нем осадочного чехла, не исключена возможность наличия в породах палеогена и мела нефтегазосодержащих ловушек стратиграфического типа, питающихся нефтью с востока.

Итак, в пределах западной части Южной Кахетии основной перспективной структурой для обнаружения нефтегазоносных залежей в отложениях олигоцена и эоцена является одно крупное антиклинальное поднятие, сформировавшееся в результате слияния нескольких (вышележащих) структур (отстоящих друг от друга синклиналями Шапинели и Яглуджа). В этой структуре перспективные нефтегазоносные пласти залегают на доступной для бурения глубине, и мы заключаем, что быстрейший ввод ее в разведку имеет большое хозяйственное и научное значение.

Академия наук Грузинской ССР  
Институт палеобиологии

Грузинское производственное  
объединение «Грузнефть»

(Поступило 16.1.1975)

#### გეოლოგია

მ. ძველაია, ვ. გვენეტაძე

სამხრეთ კახეთის დასავლეთი ნაწილის გეოლოგიური და  
ნავთობგაზიანობის შესახებ

#### რეზიუმე

სტატიაში მოცემულია სამხრეთ კახეთის დასავლეთი უბნების და სამცო-თობგაზიანობის გეოლოგიური ზოვეებითი აზალი მასალა და განხილულია ნავთობგაზიანობის საკითხები. დაღვენილია პერსპექტიული გაზიარების ბულო-ბები.

#### GEOLOGY

M. F. DZVELAIA, V. E. GVENETADZE

ON THE GEOLOGY OF THE WESTERN PART OF SOUTH  
KAKHETI (EASTERN GEORGIA) AND PROSPECTS OF OIL  
AND GAS CONTENT

#### Summary

A number of anticlines, located in the western part of South Kakheti (Taura-Tara, Naomari-Malkhasiani, Natsvaltskali, Mtsareklevi and Udabno), represents the primary prospective structures for discovering oil in the Paleogene deposits. The depths of occurrence of the oil and gas-containing Paleogene beds are technically accessible.



## ГЕОЛОГИЯ

Т. В. ИВАНИЦКИЙ, Г. С. КОРИНТЕЛИ

### К ВОПРОСУ МЕТАЛЛОГЕНИИ ТУШЕТСКОГО РУДНОГО УЗЛА

(Представлено академиком Г. С. Дзоценидзе 21.1.1976)

Тушетский рудный узел занимает обширную высокогорную территорию в восточной части Главного Кавказского хребта, на северном его склоне.

Металлогенез рудного узла, входящего в состав Казбегско-Тушетского рудного района, в результате недостаточной изученности геологического строения и рудопроявлений узла, не разработана. За последние годы этот пробел в некоторой степени восполнен, в связи с чем появилась возможность наметить металлогенические особенности Тушетского рудного узла.

Геологическое строение узла предопределется приуроченностью его к зоне восточного погружения мегаантеклиниория Главного Кавказского хребта. Поэтому здесь широко развиты однообразные глинисто-песчаниковые отложения нижней юры. Основными структурно-геологическими единицами узла являются: горстантеклиниорий Бокового хребта и Бежитинский грабенсингклиниорий. Ядро горстантеклиниория сложено аспидными сланцами и кварцитовидными песчаниками нижнего-среднего лейаса, а грабенсингклиниорий — тоарскими и нижнеааленскими глинисто-песчаниковыми отложениями. Эти структуры разграничены глубинным разломом.

Изучение развитых здесь рудопроявлений показало, что они во многих отношениях похожи на медно-пирритиновые оруденения Большого Кавказа, в частности Кахети, однако характеризуются и некоторыми индивидуальными особенностями. Наиболее контрастно от рудопроявлений Кахети, как и Пшав-Хевсурети, они отличаются широким развитием полиметаллических руд. По распространению за полиметаллическими следуют серноколчеданные оруденения, в то время как в Кахети в основном развиты медно-пирротиновые.

Геолого-минералогические и геохимические особенности рудопроявлений Тушети позволяют в первом приближении установить наличие здесь двух рудных формаций: медно-пирротиновой (с пирит-халькопиритовой субформацией) и полиметаллической. Аргументами в пользу такого формационного расчленения служат следующие данные и соображения.

Серноколчеданные оруденения Тушети, представленные согласно залегающими и секущими жильными телами и рудоносными зонами, не могут быть рассмотрены как представители серноколчеданной рудной формации Большого Кавказа. Образование этих руд связано с проявлением кварц-пиритовой стадии минерализации процесса образования медно-пирротиновых рудопроявлений. В размещении серноколчеданных рудопроявлений отсутствует столь характерная для серноколчеданной формации складчатой системы Южного склона закономерность ее приуроченности к отложениям аалена, богатых конкре-

циями сидерита и пирита. Полностью отсутствуют также признаки метаморфизма руд. Геохимические данные в отношении отсутствия примесей Se и Te в конкреционном пирите (восемь анализов) при постоянном присутствии этих примесей в рудном пирите также указывают на их генетическую разобщенность. Следует указать, что аналогичная картина нами была установлена ранее на примере месторождения Кизыл-Дэрэ [1, 2].

О наличии медно-пирротиновой формации, которая пользуется региональным развитием по Большому Кавказу, свидетельствуют ее широкое развитие южнее, в соседней структурно-металлогенической зоне Южного склона (Кахети) и полная идентичность рудопроявлений обеих зон. В Тушети с этой формацией теснейшим образом связана пирит-халькопиритовая субформация, особенно хорошо проявленная западнее в Пшав-Хевсурети. Размещение медно-пирротиновых рудопроявлений контролируется зонами трещиноватости и разрывными структурами второго порядка, не наблюдается тяготение их к участкам лейаса, богатым юрскими дайками диабазов. Для руд характерно также полное отсутствие метаморфизма, за исключением некоторого катализма пирита и кварца первой стадии минерализации.

Полиметаллическая рудная формация широко распространена в рудном узле, однако значительных рудопроявлений не образует. Она слагает собственные рудопроявления, а также накладывается на медно-пирротиновые руды. Ясно наблюдается тяготение полиметаллических рудопроявлений к тектоническим швам региональных разломов, они располагаются по обеим сторонам разлома, проходящего между горстаниклиниорием Бокового хребта и Бежитинским грабенсиклиниорием. Признаки метаморфизма в полиметаллических рудах также полностью отсутствуют.

Известно, что в складчатых областях между возрастом и метаморфизмом руд в большинстве случаев существует прямая зависимость. В рассматриваемом случае при исключительно слабом метаморфизме руды и значительном метаморфизме рудовмещающей глинисто-песчаниковой толщи, будинаже юрских диабазов и сплющенности конкреций пирита, развитых в рудовмещающей толще, более вероятен постюрский возраст оруденений.

На других медно-пирротиновых оруденениях Большого Кавказа (Абхазия, Сванети, Рача, Дагестан) сильно метаморфизованными являются серноколчеданные руды [2] и менее метаморфизованными — пирротин-халькопиритовые. Следовательно, в этих случаях стадиальность метаморфизма руд не подлежит сомнению, однако, его интерпретация в аспекте генетических и возрастных особенностей руд не может быть решена однозначно.

Как для рудопроявлений Кахети и всего медно-пирротинового пояса в целом, так и для рудопроявлений Тушети характерна некоторая генетическая гетерогенность, обусловленная наложением намного более поздней полиметаллической минерализации на халькопирит-пирротиновую. Особенно отчетливо такая картина наблюдается в Кизыл-Дэрэ [2]. По Южному же склону участками (Абхазия, Кахети) в медно-пирротиновых рудах наблюдается вещество (сульфидная сера) серноколчеданной сингенетической толщи лейаса минерализации [3].

Исследование изотопного состава серы сульфидов Тушети выявило картину сильного облегчения сульфидной серы. Так, например,

$\delta S^{34} (\text{‰})$ , по данным 46 анализов<sup>(1)</sup> (пирит, пирротин, халькопирит, сфалерит, галенит), варьирует от —0,80 до —12,90, а для конкреций пирита, по данным семи анализов, от —1,90 до —6,80. По этому параметру рудопроявления Тушети выявляют определенную специфику, возможно, обусловленную их генетической и возрастной особенностью. Величиной  $\delta S^{34}$  они значительно отличаются от других медно-пирротиновых рудопроявлений Южного склона и в некоторой степени похожи на рудопроявления Кахети, где, по данным Т. В. Иванецкого и др. [5], имеются случаи облегчения серы.

Вопрос связи сульфидной минерализации Тушети, как и медно-пирротиновых и других похожих оруденений Большого Кавказа, с магматизмом не разработан. Для рудопроявлений Тушети в свете изложенных данных представление об их парагенетической связи с юрскими диабазами несостоятельно. Однако значительное их сходство по минеральному составу и редким элементам с колчеданными месторождениями позволяет предположить их генетическую связь с активностью базальтоидной магмы.

Академия наук Грузинской ССР  
Геологический институт

Грузинское производственное  
геологическое управление

(Поступило 30.1.1975)

გვოლობის

თ. ივანიცკი, გ. კორინტელი

თუშეთის მაღისანი კვანძის მიწალოგენის საკითხების

რეზიუმე

თუშეთის მაღისანი კვანძის მეტალოგენის საკითხი დაუმტუშავებელი იყო. გამადნებათა გეოლოგურ-მინერალოგიური და გეოქიმიური თავისებურების საფუძველზე მაღისან კვანძში ჩვენ გამოვყავით სპილენ-პიროტინული და პიროტერალური ფორმაციები და პირიტ-ქალკოპირიტული სუბფორმაცია. თუშეთის სულფიდური მაღისან სუსტი და მაღისანშემცველი ქანების მნიშვნელოვანი მეტამორფიზმი და იურული ასაკის დიაბაზების ბულინაჟი გვაფიქტობნებს, რომ დაღვენილი მაღისანი ფორმაციების ასაკი იურისშემდგომი უნდა იყოს.

GEOLOGY

T. V. IVANITSKI, G. S. KORINTEL

ON THE METALLGENY OF THE ORE-REGION OF TUSHETI

Summary

The questions of the metallogeny of the ore-region of Tusheti have not been hitherto considered. On the basis of geologic-mineralogical and geochemical properties of the ore-region the authors have identified copper-pyrrhotite minerals in the sulfide rocks of the Tushetian region. The mineralization is characterized by the presence of pyrrhotite, chalcopyrite, sphalerite, galena and other minerals. The mineralogy of the sulfide rocks is determined by the presence of pyrrhotite, chalcopyrite, sphalerite, galena and other minerals. The mineralogy of the sulfide rocks is determined by the presence of pyrrhotite, chalcopyrite, sphalerite, galena and other minerals.

<sup>(1)</sup> Анализы выполнены в лаборатории стабильных изотопов Тбилисского государственного университета. Данные по Квахидскому рудопроявлению принадлежат Г. М. Бенидзе и В. Н. Буадзе [4].

rhotitic and polymetallic formations and pyrite-chalcopyritic subformation. Weak metamorphism of the sulphide ore of Tusheti and considerable metamorphism of ore-bearing rocks and boudinage of Jurassic diabases points to post-Jurassic as the more probable age of the ore formations under study.

#### ЛІТЕРАТУРА — REFERENCES

1. Т. В. Иваницкий, М. И. Джанджава, Ж. Н. Абашидзе. Сообщения АН ГССР, 63, № 2, 1971.
2. В. И. Бузадзе, Т. В. Иваницкий, М. И. Джанджава, Ж. Н. Абашидзе. Изв. АН СССР, сер. геол. № 9, 1972.
3. Т. В. Иваницкий, З. В. Отхмезури, Э. И. Каходзе, М. Ш. Кавиладзе. Изв. АН СССР, сер. геол. № 9, 1972.
4. Г. М. Бенидзе, В. И. Бузадзе. Материалы КИМСа, вып. X/12, сер. геол., 1972.
5. Т. В. Иваницкий, М. Ш. Кавиладзе, М. М. Рубинштейн. Геохимия, № 7, 1975.



УДК 56(116.3)

## ПАЛЕОНТОЛОГИЯ

Т. Н. БОГДАНОВА, М. В. КАКАБАДЗЕ

### К СИСТЕМАТИКЕ РОДА *AMMONITOCERAS* DUMAS, 1876

(Представлено академиком А. Л. Цагарели 2.12.1975)

Представители рода *Ammonitoceras* географически широко распространены и большинство из них являются руководящими для среднего арта формами. Несмотря на большое количество исследований, вопросы систематики этого рода требуют пересмотра. Давая сводную характеристику рода *Ammonitoceras* и уточняя его диагноз, Р. Кейси [1] предложил выделить вид „*Ammonitoceras*“ *wassiliewskyi* в новый род—*Caspianites*. Однако удовлетворительного диагноза он не дал и ограничился лишь подстрочным примечанием о том, что новый род „отличается от *Ammonitoceras* более тонкой скульптурой „взрослых“ оборотов и более поздним исчезновением краевых бугорков“ (стр. 56).

Цель данной работы — изучение вида „*A.* *wassiliewskyi*“, сравнение главных признаков этой группы с диагнозом рода *Ammonitoceras* s. str. и выяснение ее систематического положения. Материалом для исследования послужили сборы авторов, а также Н. П. Луппова из различных пунктов Западной Туркмении и Мангышлака. Была просмотрена также коллекция И. И. Синцова [2] (№ 11139, 1905 г., ЦНИГР музей, Ленинград). Обработанный материал авторов хранится в ЦНИГР музее (№ 11276). Прекрасная сохранность материала авторов впервые позволила проследить онтогенетическое изменение морфологических признаков представителей данного вида начиная от эмбриональной камеры.

Результаты наших исследований не подтвердили правильности выделения указанной группы видов в самостоятельный род. От *Ammonitoceras* она отличается признаками, не являющимися родовыми (см. описание). Поэтому *Caspianites* рассматривается нами как подрод рода *Ammonitoceras*. Род *Ammonitoceras*, таким образом, состоит из двух подродов: *A. (Ammonitoceras)* Dumas, 1876 и *A. (Caspianites)* Casey, 1961.

Семейство *Ancycloceratidae* Meek, 1876

Род *Ammonitoceras* Dumas, 1876

Подрод *A. (Caspianites)* Casey, 1961

*Crioceras* (*Ammonitoceras*): Ренгартен, 1926, стр. 30 [3].

*Caspianites*: Casey, 1961, стр. 56.

Типовой вид—*Crioceras (Ammonitoceras) wassiliewskyi* Renngarten (= *Crioceras ridzewskyi* Sinzow [4] non Karakasch, 1907, стр. 507, табл. VI, фиг. 13—18).

**Диагноз.** Раковина плоскоспиральная, первый оборот объемлющий, второй — четвертый обороты явно криоцератидные, последующие (до  $D=200$  мм) соприкасающиеся. Жилая камера неизвестна. По перечное сечение на начальных оборотах эллипсоидальное (вытянутое в ширину), затем субректанглярное или субтрапецидальное. Скульптура появляется в начале третьего оборота и представлена главными одночными ребрами с тремя парами бугорков: пупковых, боковых и краевых (последние появляются несколько позже первых двух). В конце третьего или в начале четвертого оборота появляются промежуточные и двухветвистые ребра. Вначале, на коротком отрезке, ветви исходят как из боковых, так и от пупковых бугорков, но позже ветвление ребер происходит только от пупковых бугорков. Примерно на пятом обороте ослабевают и исчезают боковые и краевые бугорки, а чуть позже пупковые. С исчезновением бугорков все (и главные, и промежуточные) ребра становятся одинаково тонкими и частыми, не прерываясь на наружной стороне. Перегородочная линия, анцилоцератидная, развивается по формуле  $ELU^1UI \rightarrow ELUI \rightarrow ELU^2I$  [5].

**Сравнение.** Отличается от *A. (Ammonitoceras)* более поздним исчезновением краевых бугорков и характером ветвления ребер: у *A. (Caspianites)* ветвление ребер в основном происходит от пупковых бугорков и лишь на небольшом отрезке ранних оборотов ветви исходят и от боковых бугорков. Для номинального подрода характерны ветвящиеся от боковых бугорков ребра, и лишь на позднем обороте ветви исходят от пупковых бугорков. Кроме того, у описываемого подрода скульптура поздних оборотов более тонкая.

**Видовой состав:** 1) *A. (Caspianites) wassiliewskyi* (Renngarten, 1926), 2) *A. (Caspianites) cadoceriforme* (Sinzow, 1905).

**Стратиграфическое и географическое распространение.** Средний апт (зона *Epicheloniceras subnodosocostatum*) Мангышлака, Туаркыра и Большого Балхана.

*Ammonitoceras (Caspianites) wassiliewskyi* Renngarten, 1926

Фиг. 1, а, б, в

*Crioceras ridzewskyi*: Sinzow, 1907, стр. 507, табл. VI, ф. 13, 14.

*Crioceras (Ammonitoceras) wassiliewskyi*: Ренгартен, 1926, стр. 30.

*Caspianites wassiliewskyi*: Casey, 1961, стр. 56.

**Лектотип** — № 51/11068 ЦНИГР музей, Ленинград, Мангышлак, кладбище Дошан; средний апт, зона *Epicheloniceras subnodosocostatum*.

**Материал.** 11 экземпляров различных стадий роста.

**Описание.** Раковины крупные, слабо вздутые, с оборотами от умеренно до быстро возрастающих. Поперечное сечение на начальных оборотах широко эллипсоидальное, затем последовательно становится восьмиугольным и трапецидальным. Наружная и боковые стороны плоские или очень слабо выпуклые. Внутренняя сторона на послед-

них оборотах слабо вогнутая. Пупок широкий, ступенчатый, с довольно высокими и круто наклоненными стенками на ранних оборотах (до пятого) и с низкими, круто закругленными на более поздних.

До второго оборота раковина гладкая. В начале третьего оборота скульптура представлена одиночными (главными) ребрами, на которых последовательно появляются боковые, пупковые и краевые бугорки. На четвертом обороте заметны короткие, тонкие промежуточные ребра, несущие только краевые бугорки. В конце четвертого оборота главные ребра иногда раздваиваются от пупковых и боковых бугорков, но вскоре, с ослаблением последних на последующих оборотах, раздвоение ребер наблюдается только от пупковых. После  $D=45-60$  мм боковые бугорки практически исчезают, а вместо краевых бугорков остается лишь коленчатый перегиб ребер, который сглаживается при  $D=100$  мм. Последними исчезают пупковые бугорки. Начиная с этой стадии главные и промежуточные ребра становятся равными по степени развития.

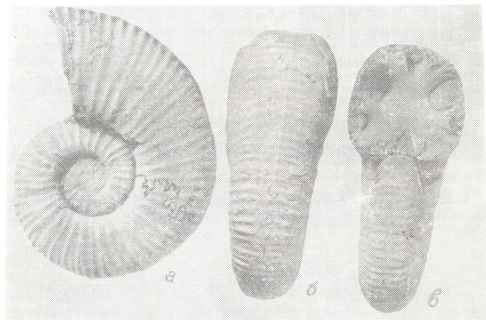


Рис. 1. A. (*Caspianites*) *wassiliiewskyi* (Reng.). Экз. № 1/11276, x 3/4

Перегородочная линия сильно рассеченная. Умбрикальная лопасть ( $U$ ) расположена на боковой стороне, у пупкового перегиба, а на пупковой стенке имеется слабо развитая лопасть  $U^2$ .

**Сравнение.** От вида *A. (Caspianites) cadoceriforme* Sinzow ([2], стр. 319, табл. XXI, фиг. 3—6) отличается разной степенью развития главных и промежуточных ребер на начальных оборотах, более вздутыми и низкими оборотами и расположением лопасти  $U$  на боковой стороне (вместо пупковой стенки).

**Распространение.** Полуостров Мангышлак; средний апт (черные септиаривные глины по И. И. Синцову).

Размеры, мм

№ экз.	Д	П	В	Ш	Кол-во ребер на половину оборота		Кол-во пар бугорков на половину оборота
					пупковых	наружных	
№ 2/11276	24,4 (100)	8,1 (33)	8,3 (34)	11,0 (45)	12	18	3
№ 3/11276	42,1 (100)	14,7 (34)	17,2 (40)	—	16	20	3
№ 1/11276	72,6 (100)	25,0 (35)	27,4 (39)	29,4 (43)	17	34	2 (пупковые и краевые)
№ 1/11276	107,1 (100)	38,0 (35)	42,1 (39)	47,6 (43)	23	46	1 (пупковые)
№ 4/11276	127,8 (100)	38,0 (42)	54,0 (46)	58,5 (46)	29	98	—

Местонахождение и возраст. Туркменская ССР, Туаркыр: уроцища Бабаш и Умокдер; Большой Балхан: колодец Утулуджа, Баджаклы, колодец Кяриз.; полуостров Мангышлак: колодец Каракудук. Средний апт, зона *Epicheloniceras subnodosocostatum*.

Всесоюзный научно-исследовательский  
Геологический институт

Академия наук Грузинской ССР  
геологический институт

(Поступило 18.12.1975)

კალეონიტოლოგია

ტ. ბოგდანოვა, მ. კაკაბაძე

886 AMMONITOCERAS DUMAS, 1876 სისტემატიკის საკითხებისათვის  
რეზიუმე

განხვეული ამონიტების ჯგუფი, რომელიც რ. კეისი [1] გამოყო Caspianites-ის სახელით, შრომაში განხილულია როგორც გვარ *Ammonitoceras*-ის ქვეგვარი. აღწერილია ამ ქვეგვარის ტიპური სახე.

PALAEONTOLOGY

T. N. BOGDANOVA, M. V. KAKABADZE  
ON THE SYSTEMATICS OF THE GENUS AMMONITOCERAS  
DUMAS, 1876

#### Summary

The group of uncoiled ammonites, considered by R. Casey [1] as an independent genus *Caspianites*, is believed to belong to the genus *Ammonitoceras* as its subgenus. A type-species of this subgenus is described.

#### Література — REFERENCES

1. R. Casey. A Monograph of Ammonoidea of Lower Greensand. London 1961.
2. И. И. Синцов. Материалы для геологии России, т. XXII, вып. 2, 1905.
3. В. П. Ренгартен. Труды Геол. ком., нов. сер., вып. 147, 1926.
4. I. Sinzow. Записки Императорского С.-Петербургского минер. о-ва, вторая сер., ч. 45, 1907.
5. Т. Н. Богданова, И. А. Михайлова. ДАН СССР, 225, № 1, 1975.



ПЕТРОЛОГИЯ

М. Ф. ТАТРИШВИЛИ

**ЭВОЛЮЦИЯ СОСТАВА АМФИБОЛОВ В МЕТАМОРФИТАХ  
БОЛЬШОГО КАВКАЗА**

(Представлено членом-корреспондентом Академии Г. М. Заридзе 10.12.1975)

Амфиболы метаморфических образований Большого Кавказа до настоящего времени специальному исследованию не подвергались. Неполные данные об амфиболах из метаморфитов рассматриваемой области содержатся в статье [1]. В работе [2] приведена характеристика амфиболов из метабазитов. В ней главное внимание уделяется синезеленой роговой обманке из пород Уруштенского комплекса.

Метаморфиты на Большом Кавказе размещены в тектонических зонах Главного и Передового хребтов и Бечасынской [3, 4].

В настоящей статье приводятся результаты изучения минералообразующих компонентов амфиболов и эволюция их состава при метаморфических процессах.

Характеристика амфиболов из метаморфитов андалузитового типа регионального метаморфизма приводится по упомянутым тектоническим зонам.

Эволюция химического состава амфиболов андалузитового типа регионального метаморфизма иллюстрирована 37 анализами амфиболов из амфиболитов Большого Кавказа, химическим составом части метаморфитов, содержащих изученные амфиболы (25 анализов), и катионовым составом (см. таблицу).

Среди рассматриваемых амфиболитов выделяются две фации — амфиболитовая и эпидот-амфиболитовая. В каждой из фаций отмечаются более высокотемпературные разности амфиболов, переходящие в амфиболы относительно низкотемпературные.

В породах амфиболитовой фации общее количество алюминия повышенено, особенно это видно в гранатсодержащих породах. Это повышение происходит в основном за счет Aliv. Особенностью амфиболитов амфиболитовой фации является также повышенное содержание щелочей в основном за счет циркония, что особенно характерно для амфиболов из диафторизованных эклогитов. В более высокотемпературных разностях фиксируется возрастание количества титана и наоборот понижение железистости (в гранатсодержащих амфиболитах). Следует отметить, что вообще железистость амфиболов в амфиболитах амфиболитовой фации ниже железистости амфиболитов эпидот-амфиболитовой фации, т. е. с понижением температуры в основном повышается железистость амфиболов. Повышение железистости происходит за счет  $Fe^{2+}$ .

К эпидот-амфиболитовой фации отнесены породы с амфиболом, содержащим  $Al > 1$  в ассоциации с альбитом или альбит-олигоклазом и эпидотовым минералом. Как видно, амфиболы эпидот-амфиболитовой фации несколько отличаются от амфиболов амфиболитовой фации 9. „მომენტი“, № 82, № 1, 1976

Коэффициент катионов в пересчете на 24 атома кислорода в амфибилах из амфиболов Северного Кавказа

№ образца	Si	Ti	Al	Al <sub>IV</sub>	Al <sub>VI</sub>	Fe <sup>3+</sup>	Fe <sup>2+</sup>	Mn	Mg	Ca	Na	K	Na+K	OH	<i>I<sub>exp</sub></i>	<i>I<sub>exp</sub></i>	Al <sub>IV</sub> -щел.	Al-щел.
77-2	6,69	0,21	1,83	1,31	0,52	0,21	1,76	0,03	2,27	1,85	0,49	0,10	0,50	0,82	—	—	0,90	1,45
774	5,85	0,25	2,32	2,13	0,19	0,67	1,68	0,03	2,18	1,64	0,35	0,10	0,45	0,56	50,2	48,3	1,68	1,87
256-5-2	6,57	0,04	2,29	1,43	0,77	0,52	1,22	0,05	2,40	1,68	0,36	0,06	0,42	0,56	42,0	40,18	1,01	1,78
1248	6,56	0,09	1,70	1,41	0,26	0,54	1,14	0,08	2,94	1,80	0,31	—	0,31	—	37,0	39,0	1,13	1,39
1579	6,75	0,07	1,87	1,28	0,44	0,32	0,72	0,01	3,26	1,29	0,50	0,06	0,66	1,05	24,0	22,6	0,62	1,21
1580	6,72	0,05	1,72	1,25	0,63	0,26	0,79	0,02	2,53	1,28	0,51	0,03	0,54	2,56	29,4	22,5	0,71	1,18
50	6,72	0,03	1,49	1,28	0,03	0,33	0,66	—	3,88	1,73	0,23	0,03	0,20	0,26	20,2	22,1	1,02	1,14
371	6,77	0,29	1,32	1,23	0,09	0,40	1,31	0,04	2,87	1,91	0,51	0,07	0,56	0,49	37,0	—	0,65	0,74
1400	7,38	0,03	1,42	0,62	0,80	0,48	1,12	0,01	2,46	1,97	0,23	0,08	0,31	—	41,0	42,1	0,31	1,11
616	7,96	0,01	1,00	0,94	0,06	0,41	1,52	0,04	2,93	1,61	0,13	0,05	0,18	1,14	39,4	—	0,76	0,82
617	6,97	0,08	1,43	1,03	0,40	0,31	1,76	0,03	2,42	1,84	0,24	0,09	0,33	0,38	45,8	—	1,70	1,10
618	7,15	0,07	1,26	0,85	0,41	0,28	1,67	0,03	2,54	1,79	0,20	0,09	0,20	0,48	43,0	48,8	0,56	0,97
621	7,20	0,08	1,11	0,80	0,31	0,42	1,42	0,03	2,74	1,95	0,23	0,14	0,37	0,88	39,8	0,56	0,43	0,74
632	6,40	0,08	1,78	1,60	0,18	0,42	0,87	0,02	3,45	1,56	0,39	0,07	0,46	0,86	27,3	—	1,14	1,32
620	7,23	0,04	1,06	0,77	0,29	0,17	1,69	0,03	2,78	1,82	0,24	0,04	0,28	0,48	49,0	51,0	0,49	0,78
656	7,03	0,09	1,35	0,97	0,38	0,37	0,88	0,03	3,21	1,78	0,41	0,02	0,43	—	28,0	—	0,54	0,92
196-6-2	6,23	0,05	2,35	1,77	0,58	0,46	1,40	0,18	2,53	1,49	0,34	—	0,34	2,22	45,0	52,6	1,43	2,19
263-5	6,73	0,03	2,23	1,27	0,90	0,56	1,48	0,05	1,87	1,80	0,28	0,03	0,31	1,08	52,0	—	0,96	1,92
2795	6,72	0,03	1,84	1,28	0,56	0,11	0,95	0,02	3,30	1,27	0,61	0,06	0,67	2,39	24,0	—	0,61	1,17
803-0	6,90	0,07	2,19	1,10	1,09	0,50	1,73	0,03	1,58	1,81	0,56	0,13	0,60	2,00	59,0	63,0	0,41	1,50
2802	6,70	0,05	1,68	1,30	0,38	0,15	0,82	0,02	3,58	1,28	0,51	0,03	0,34	3,05	21,0	—	0,76	1,14
806	6,86	0,17	2,23	1,14	1,09	1,08	0,37	—	2,29	1,39	0,88	0,12	1,60	1,57	39,0	41,0	0,14	1,23
6	6,30	0,12	2,23	1,70	0,53	0,82	1,31	0,03	2,19	1,32	1,06	0,17	1,23	2,44	49,5	49,3	0,47	1,00
15	6,47	0,07	2,20	1,53	0,67	0,42	1,28	0,01	2,56	1,41	0,73	0,17	0,50	2,64	39,8	46,5	0,68	1,30
4	6,11	0,07	2,66	1,89	0,77	0,29	1,37	0,01	2,50	1,40	0,53	0,10	0,63	2,05	39,9	43,8	1,26	2,03
5	6,37	0,09	2,02	1,63	0,39	0,63	1,52	0,03	2,35	1,47	0,63	0,10	0,73	2,53	47,7	52,5	0,90	1,20
8	6,18	0,08	2,66	1,82	0,74	0,58	1,63	0,03	1,95	1,54	0,57	0,11	0,68	2,21	53,1	55,6	1,14	1,98
10	6,40	0,08	2,08	1,60	0,48	0,50	1,25	0,03	2,67	1,54	0,56	0,10	0,65	0,115	39,8	40,7	0,94	1,42
811	6,18	0,05	2,54	1,82	0,72	0,38	1,30	0,02	2,43	1,43	0,58	0,08	0,66	2,46	40,7	49,6	1,16	1,88

по общему количеству алюминия и Aliv. Наблюдается различие также в содержании титана. Что касается суммы щелочей и разности Aliv—(Na+K), то здесь четкая закономерность не всегда обнаруживается. Это обуславливает наличие амфиболов, занимающих промежуточное положение между амфиболами, характерными для амфиболитовой и эпидот-амфиболитовой фаций. Они, вероятно, должны были выделиться в промежуточных термодинамических условиях. Приведенное заключение относится только к рассмотренным амфиболам.

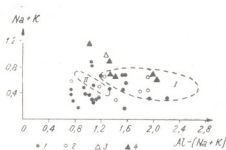


Рис. 1. Диаграмма Al—f для амфиболов андалузитового типа метаморфизма: I — поле амфиболов амфиболитовой фации, II — поле амфиболов эпидот-амфиболитовой фации, 1 — амфиболитовая фация, 2 — эпидот-амфиболитовая фация, 3 — эклогит, 4 — амфиболитизированные эклогиты

Вопросом эволюции состава амфиболов при региональном метаморфизме занимался ряд исследователей [5—9].

Для составления диаграмм мы пользовались статьей Е. А. Костюка и В. С. Соболева [9], в которой приведены графики для Al—f; (Na+K)—[Al—(Na+K)] и др. (рис. 1, 2). Нами использованы также графики, предложенные В. В. Закруткиным [6] (рис. 3).

Амфиболы андалузитового типа метаморфизма не всегда обнаруживают четкие закономерные изменения состава с изменением степени метаморфизма. На рис. 1 точки составов амфиболов расположились приблизительно по геотектоническим зонам, однако рис. 3 иллюстрирует нарушение этой закономерности, что, вероятно, связано с характером завершающего метаморфизма, имеющего на Северном Кавказе преимущественно метасоматический характер и протекающего в целом в гаргинском цикле. Здесь, очевидно, немаловажную роль играли и направленность метаморфизма, и состав вмещающих пород.

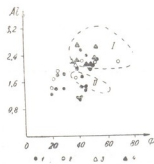


Рис. 2. Диаграмма (N+K) — [Al—(Na+K)] для амфиболов андалузитового типа метаморфизма: I — поле амфиболов амфиболитовой фации, II — поле амфиболов эпидот-амфиболитовой фации (условные обозначения те же, что на рис. 1)

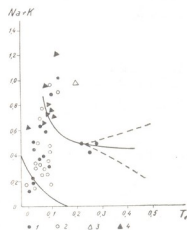


Рис. 3. Диаграмма Ti — (Na+K) в амфиболах

Отнесение амфиболов к вполне определенным фациям метаморфизма, предлагаемое В. В. Закруткиным [6], нашими данными не подтверждается.

Академия наук Грузинской ССР  
Геологический институт

(Поступило 9.1.1975)

306607000000

### Б. ТАТРИШВИЛИ

ДАЧКАССИОМЕС მეტამორფიზმის ამფიబოლის უძიგნილობის  
ევოლუცია

#### რეზიუმე

ანდალუზიტური ტიპის მეტამორფიზმის ამფიბოლები მეტამორფული პროცესის ცვლის შესაბამისად ყოველთვის არ ამედავნებენ თავისი შედენობის ცვლას, რაც გამოწვეულია უკანასკნელი მეტამორფიზმის ხასიათთ.

#### PETROLOGY

N. F. TATRISHVILI

### EVOLUTION OF AMPHIBOLE COMPOSITION IN THE METAMORPHIC ROCKS OF THE GREATER CAUCASUS

#### Summary

Variations of amphibole composition in andalusite metamorphic rocks are not always connected with changes in the metamorphic regime. They are determined by the character of the last metamorphic stage.

#### ЛІТЕРАТУРА — REFERENCES

1. Д. Н. Сердюченко, Н. Е. Ефремов. Уч. зап. РГУ, вып. VII, 1936.
2. В. В. Плошко, Г. А. Сидоренко, Е. С. Рудницкая, В. И. Калинина. Минералы базитов в связи с вопросом петрогенеза. М., 1970.
3. Г. М. Заридзе, Н. Ф. Татришвили. Петрология метаморфических образований северного склона Большого Кавказа (Северная Осетия, Диоргия). Тбилиси, 1967.
4. Г. М. Заридзе, Н. Ф. Татришвили. Петрология метаморфических образований северного склона Большого Кавказа (Балкария, Карачай, Адыгей). Тбилиси, 1974.
5. S. Foslie. Hastingsites and amphibolites from the epidote-amphibolite facies. Norsk. geol. tidsskrz, № 3, 1945.
6. В. В. Закруткин. Записки ВМО, ч. 97, вып. 1, 1968.
7. A. E. Engel, C. G. Engel. Geology Soc. Am. 73, № 12, 1962.
8. Е. А. Костюк, В. С. Соболев. ДАН СССР, № 4, 1965.
9. Е. А. Костюк. Статистический анализ и парагенетические типы амфиболов метаморфических пород. М., 1970.



СТРОИТЕЛЬНАЯ МЕХАНИКА

Т. А. БОХУА, Я. З. ЛИНЕР

К РАСЧЕТУ ОБОЛОЧЕК ТИПА АРОЧНЫХ ПЛОТИН НА  
СЕЙСМИЧЕСКИЕ ВОЗДЕЙСТВИЯ ПО РЕАЛЬНЫМ  
АКСЕЛЕРОГРАММАМ ЗЕМЛЕТРЯСЕНИЙ

(Представлено членом-корреспондентом Академии Ш. Г. Напетваридзе 3.11.1975)

Рассматриваются алгоритм и числовые результаты расчета арочных плотин как толстых упругих оболочек с произвольной геометрией срединной поверхности и с произвольными граничными условиями на сейсмические воздействия.

В основу алгоритма легла известная расчетная схема общего вариационно-стержневого метода расчета арочных плотин и других двумерных континуальных систем [1], с помощью которой рассматриваемый континуальный объект заменяется двухслойной моделью взаимно пересекающихся семейств стержневых элементов (в случае плотины семейств арок и консолей). Эта расчетная схема, с успехом применяемая в разнообразных задачах статики оболочек и плотин [1], оказалась эффективной и в динамических задачах для некоторых конструктивных типов пластин и оболочек [2, 3].

1. Система уравнений, описывающая свободные радиальные колебания расчетных стержней произвольного яруса расчетной модели, имеет вид

$$[I_g(y)w_g''(y)]'' - \frac{\omega^2}{E} \bar{m}_g(y) w_g(y) + \sum_{i=1}^k w_i(y) \Omega_{gi}^{(k)}(y) = 0, \quad (1)$$

$$g = 1, 2, \dots, k,$$

$$k = m \text{ для } 0 \leq y \leq H_m,$$

$$k = m - 1 \text{ для } H_m \leq y \leq H_{m-1},$$

$$\dots$$

$$k = 1 \text{ для } H_2 \leq y \leq H_1,$$

где  $m$ —число всех расчетных стержней в половине модели;  $I_g(y)$ —момент инерции поперечного сечения  $g$ -го расчетного стержня;  $w_g(y)$ —амплитуда динамического прогиба  $g$ -го расчетного стержня;  $\omega$ —крутильная частота собственных радиальных (нормальных к оболочке) колебаний;  $E$ —модуль упругости материала оболочки;  $\bar{m}_g(y)$ —интенсивность условной переменной массы  $g$ -го расчетного стержня;  $\Omega_{gi}^{(k)}(y)$ —функции влияния вариационно-стержневого метода.

Границные условия записываются согласно способу опищения оболочки. В случае арочной плотины при упругом защемлении по трем краям и четвертом свободном крае они имеют следующий вид:

для свободных концов расчетных консолей

$$\begin{aligned} w_g''(0) &= 0, \\ w_g'''(0) &= 0. \end{aligned} \quad (2)$$

для упруго защемленных концов

$$\begin{aligned} w_g(H_g) &= \frac{\varepsilon_{21}}{b_g(H_g)} \lambda_g(y) + \frac{\varepsilon_{22}}{b_g(H_g)} \bar{\lambda}_g(y), \\ -w_g'(H_g) &= \frac{\varepsilon_{11}}{b_g(H_g)} \lambda_g(y) + \frac{\varepsilon_{12}}{b_g(H_g)} \bar{\lambda}_g(y), \end{aligned} \quad (3)$$

где

$$\begin{aligned} \lambda_g(y) &= \omega^2 \int_0^{H_g} \bar{m}_g(y) w_g(y) (H_g - y) dy - \\ &- E \sum_{k=g}^m \int_{H_{k+1}}^{H_k} \left[ \sum_{i=1}^k \Omega_{gi}^{(k)}(y) w_i(y) \right] (H_g - y) dy; \\ \bar{\lambda}_g(y) &= \omega^2 \int_0^{H_g} \bar{m}_g(y) w_g(y) dy - \\ &- E \sum_{k=g}^m \int_{H_{k+1}}^{H_k} \left[ \sum_{i=1}^k \Omega_{gi}^{(k)}(y) w_i(y) \right] dy; \end{aligned}$$

$H_g$  — высота  $g$ -й расчетной консоли;  $b_g(H_g)$  — ширина той же консоли;  $\varepsilon_{11}$ ,  $\varepsilon_{12}$ ,  $\varepsilon_{21}$ ,  $\varepsilon_{22}$  — коэффициенты Ф. Фогта, учитывающие податливость основания расчетной консоли.

Систему уравнений (1) — (3) решаем видоизмененным методом Бубнова — Галеркина.

Приводим результаты, полученные для Ингурской арочной плотины. Частота собственных колебаний по первой симметричной форме равна 1,59 гц (период  $T=0,62$  сек) (рис. 1, а), по второй симметричной форме 2,41 ( $T=0,41$  сек) (рис. 1, в), по третьей симметричной форме 2,97 гц (период  $T=0,34$  сек) (рис. 1, в).

2. При определении сейсмических инерционных нагрузок по расчетной акселерограмме землетрясений расчет варианта Ингурской арочной плотины выполнялся в два этапа. На первом этапе определялись коэффициенты форм свободных колебаний сооружений, а на втором этапе по значениям этих коэффициентов и соответствующих значений частот и декремента колебаний на ЭВМ М-222 вычислялись суммарные значения доли сейсмических смещений и ускорений по трем

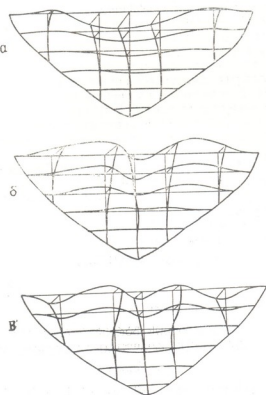


Рис. 1. Формы собственных колебаний Ингурской арочной плотины: а) — 1-я симметричная форма, б) — 2-я симметричная форма, в) — 3-я симметричная форма

формам колебаний плотины. В рассмотренном случае расчета шаг времени составлял 0,02 сек при логарифмическом декременте колебаний

Суммарные значения доли сейсмических напряжений и ускорений в сечениях расчетных консолей Ингурской арочной плотины по трем формам колебаний при 8-балльных землетрясениях

№ п/п	Y м	1-я консоль H = 271,5 м		Y м	2-я консоль H = 231,5 м		Y м	3-я консоль H = 131,5 м	
		Напря- жение, кг/см <sup>2</sup>	Уско-ре- ние, м/сек <sup>2</sup>		Напря- жение, кг/см <sup>2</sup>	Уско-ре- ние, м/сек <sup>2</sup>		Напря- жение, кг/см <sup>2</sup>	Уско-ре- ние, м/сек <sup>2</sup>
1	0	0	5,31	0	0	7,99	0	0	8,02
2	27,15	0,31	4,09	27,15	1,21	6,13	13,15	0,60	7,01
3	54,30	1,17	2,91	46,30	2,20	4,34	26,30	0,70	5,63
4	81,45	1,98	1,90	69,45	3,91	2,81	39,45	0,72	4,33
5	108,6	2,42	1,13	92,60	4,70	1,63	52,60	0,94	3,16
6	135,75	4,06	0,64	115,75	4,84	0,91	65,75	1,23	2,18
7	162,90	5,11	0,30	138,90	5,74	0,41	78,90	1,52	1,36
8	190,05	6,14	0,14	162,05	5,98	0,11	94,05	1,54	0,76
9	217,20	8,34	0,062	185,20	6,85	0,074	107,20	2,09	0,33
10	244,35	12,30	0,017	208,35	9,91	0,019	120,35	3,10	0,082
11	271,5	14,60	—	231,6	12,50	—	131,5	5,54	—

ний 0,2. У заделки плотины коэффициенты формы были равны нулю и ускорение освоения в любой момент времени равнялось соответствующему значению ординаты акселерограммы. Основные результаты расчетов приведены в таблице.

Максимальное сейсмическое ускорение Ингурской арочной плотины при 8-балльных землетрясениях в случае первых трех форм радиальных колебаний получается на гребне плотины через 3,84 сек после начала землетрясения и равняется 8 м/сек<sup>2</sup>.

Максимальное сейсмическое смещение плотины получается на гребне плотины через 2,24 сек после начала землетрясения и равняется 9,3 см.

На рис. 1, а, б, в приведены первые три формы собственных симметрических радиальных колебаний арочной плотины ИнгурГЭС, которые хорошо согласуются с экспериментальными данными [4].

Грузинский научно-исследовательский  
 институт энергетики  
 и гидротехнических сооружений

(Поступило 13.11.1975)

სამართლო მინისტრი

თ. ბოხუა, ი. ლინერი

თაღური კაშხლის ტიპის გარსების ანგარიში სიცავურ  
 ზეომავდებაზე მიზისვრის რეალური აძლევროგრამის მიხედვით

რეზიუმე

ნაშრომში მოცემულია ალგორითმი და მის საფუძველზე მიღებული რიცხვითი შედეგები თაღური კაშხლის ანგარიშისა. ალგორითმი ეყრდნობა ნაგებობათა გაანგარიშების ცნობილი ვარიაციულ-ლეროვანი მეთოდის საანგარიშო სქემას. სეისმური დატვირთვები განისაზღვრება მიწისძვრის რეალურა ქსელეროგრამის მიხედვით.

#### STRUCTURAL MECHANICS

T. A. BOKHUA, Ya. Z. LINER

#### TOWARD THE CALCULATION OF ARCH DAM TYPE SHELLS FOR SEISMIC EFFECT ACCORDING TO AN EARTHQUAKE ACCELEROCGRAM

##### Summary

The algorithm and numerical results of the calculation of arch dams for seismic effect are given. The algorithm is based on the variation-bar method. Seismic effects are determined by a real earthquake accelerogram.

##### ლიტერატურა — REFERENCES

1. К. М. Хуберян. Труды VI Всесоюзной конференции по теории оболочек и пластинок. М., 1966, 784—791.
2. К. М. Хуберян, Т. А. Бокхуа, Я. З. Линер. Расчет пространственных конструкций, вып. XVI. М., 1974, 77—87.
3. Т. А. Бокхуа. Сб. «Гидротехническое строительство в горных условиях», вып. 2. М., 1974, 75—84.
4. Ш. Г. Напетваридзе, П. А. Гутидзе, Т. Н. Джикия. Труды координационных совещаний по гидротехнике, вып. 94. Л., 1974, 80—84.

МАШИНОВЕДЕНИЕ

Д. С. ТАВХЕЛИДЗЕ (член-корреспондент АН ГССР),  
 Н. С. ДАВИТАШВИЛИ

**ТЕХНОЛОГИЧЕСКАЯ ПОГРЕШНОСТЬ СФЕРИЧЕСКОГО  
 КУЛИСНОГО МЕХАНИЗМА**

Рассмотрим сферический кулисный механизм  $ABC$  (рис. 1). Размеры звеньев указанного механизма выражим сферическими расстояниями. Угол поворота ведущего звена 2 обозначим через  $\varphi_2$ , а ведомого звена 4 — через  $\varphi_4$ .

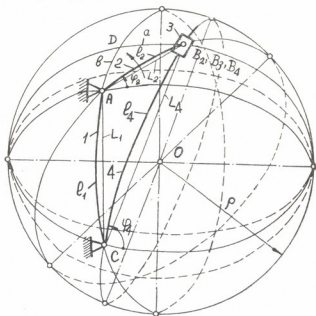


Рис. 1

Требуется определить дифференциальным методом погрешность положения ведомого звена 4, вызванную неточностью размеров стойки  $l_1$  и кривошипа  $l_2$  (технологическая погрешность) и неточностью положения ведущего звена 2.

Для решения данной задачи будут заданы первичные погрешности  $\Delta l_1$  звена 1 и  $\Delta l_2$  звена 2, вызванные соответственно неточностью размеров стойки  $l_1$  и кривошипа  $l_2$ , и погрешность  $\Delta\varphi_2$ , вызванная неточностью положения ведущего звена 2.

Для теоретического сферического кулисного механизма положения ведомого звена 4 определится выражением

$$\varphi_4 = \varphi_4(l_1, l_2, \varphi_2), \quad (1)$$

а для реального механизма будем иметь

$$\varphi_4 + \Delta\varphi_4 = \varphi_4 [(l_1 + \Delta l_1), (l_2 + \Delta l_2), (\varphi_2 + \Delta\varphi_2)]. \quad (2)$$

Разложим функцию (2) в ряд Тейлора. При этом ограничимся только членами первого порядка малости  $\Delta l_1$ ,  $\Delta l_2$  и  $\Delta\varphi_2$ , получим

$$\varphi_4 + \Delta\varphi_4 = l_1 + \frac{\partial\varphi_4}{\partial l_1} \Delta l_1 + l_2 + \frac{\partial\varphi_4}{\partial l_2} \Delta l_2 + \varphi_2 + \frac{\partial\varphi_4}{\partial\varphi_2} \Delta\varphi_2. \quad (3)$$

Рассмотрев вместе равенства (2) и (3), получим

$$\Delta\varphi_4 = \frac{\partial\varphi_4}{\partial l_1} \Delta l_1 + \frac{\partial\varphi_4}{\partial l_2} \Delta l_2 + \frac{\partial\varphi_4}{\partial\varphi_2} \Delta\varphi_2. \quad (4)$$

В уравнении (4) частные производные представляют собой коэффициенты влияния первичной погрешности.

С помощью уравнения (4) определяется суммарная погрешность положения ведомого звена, возникающая при отклонении параметров реального механизма от теоретического.

Для рассматриваемого механизма положение звена 4 и сферическое расстояние  $l_4$  определяются из выражений [1]

$$\sin l_2 \cos \varphi_2 = \sin l_4 \cos \varphi_4, \quad (5)$$

$$\sin l_1 \cos l_2 + \sin l_2 \cos l_1 \sin \varphi_2 = \sin l_4 \sin \varphi_4.$$

Частные дифференциалы системы уравнений (5) примут вид

$$\Delta l_2 \cos l_2 \cos \varphi_2 - \Delta\varphi_2 \sin l_2 \sin \varphi_2 = \Delta l_4 \cos l_4 \cos \varphi_4 - \Delta\varphi_4 \sin l_4 \sin \varphi_4, \quad (6)$$

$$\begin{aligned} \Delta l_1 (\cos l_1 \cos l_2 - \sin l_1 \sin l_2 \sin \varphi_2) - \Delta l_2 (\sin l_1 \sin l_2 - \cos l_1 \cos l_2 \sin \varphi_2) + \\ + \Delta\varphi_2 \sin l_2 \cos l_1 \cos \varphi_2 = \Delta l_4 \cos l_4 \sin \varphi_4 + \Delta\varphi_4 \sin l_4 \cos \varphi_4. \end{aligned}$$

Рассмотрим в отдельности влияние первичных погрешностей длин звеньев и положения ведущего звена на погрешность положения ведомого звена.

1. Допустим, что  $\Delta l_2 = 0$  и  $\Delta\varphi_2 = 0$ , тогда из системы уравнений (6) получим

$$\Delta\varphi_{4l_1} = \Delta l_1 \frac{(\cos l_1 \cos l_2 - \sin l_1 \sin l_2 \sin \varphi_2) \cos \varphi_4}{\sin l_4}, \quad (7)$$

где  $\Delta\varphi_{4l_1}$  — погрешность ведомого звена, возникающая от неточности звена 1.

2. Если  $\Delta l_1 = 0$  и  $\Delta\varphi_2 = 0$ , тогда из системы уравнений (6) будем иметь

$$\Delta\varphi_{4l_2} = -\Delta l_2 \frac{(\sin l_1 \sin l_2 - \cos l_1 \cos l_2 \sin \varphi_2) \cos \varphi_4 + \cos l_2 \cos \varphi_2 \sin \varphi_4}{\sin l_4}, \quad (8)$$

где  $\Delta\varphi_{4l_2}$  — погрешность ведомого звена, возникающая от неточности звена 2.

3. Когда  $\Delta l_1 = 0$  и  $\Delta l_2 = 0$ , то из системы уравнений (6) получим погрешность ведомого звена, возникающую от неточности положения ведущего звена 2:

$$\Delta\varphi_{4\varphi_2} = \Delta\varphi_2 \frac{\sin l_2 (\sin \varphi_2 \sin \varphi_4 + \cos l_1 \cos \varphi_2 \cos \varphi_4)}{\sin l_4}. \quad (9)$$

Суммарная погрешность, согласно уравнению (4), будет

$$\Delta\varphi_4 = \Delta\varphi_{4l_1} + \Delta\varphi_{4l_2} + \Delta\varphi_{4\varphi_2}. \quad (10)$$

Если сферические расстояния, входящие в полученные формулы, выразить радиусом сферы  $\rho$  и соответствующими хордами и перейти на предел, когда  $\rho \rightarrow \infty$ , тогда как частный случай можно получить формулы, с помощью которых определяется погрешность положения ведомого звена плоского кулисного механизма (рис. 2)

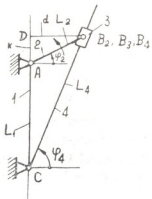


Рис. 2

Вышеполученные выражения примут вид

$$\begin{aligned} L_2 \cos \varphi_2 &= L_4 \cos \varphi_4, \\ L_1 + L_2 \sin \varphi_2 &= L_4 \sin \varphi_4, \end{aligned} \quad (11)$$

$$\begin{aligned} \Delta L_2 \cos \varphi_2 - \Delta\varphi_2 L_2 \sin \varphi_2 &= \Delta L_4 \cos \varphi_4 - \Delta\varphi_4 L_4 \sin \varphi_4, \\ \Delta L_1 + \Delta L_2 \sin \varphi_2 + \Delta\varphi_2 L_2 \cos \varphi_2 &= \Delta L_4 \sin \varphi_4 + \Delta\varphi_4 L_4 \cos \varphi_4, \end{aligned} \quad (12)$$

$$\begin{aligned} \Delta\varphi_4 &= \Delta\varphi_{4L_1} + \Delta\varphi_{4L_2} + \Delta\varphi_{4\varphi_2} = \\ &= \frac{\Delta L_1 \cos \varphi_4 + \Delta L_2 \sin(\varphi_2 - \varphi_4) + \Delta\varphi_2 L_2 \cos(\varphi_2 - \varphi_4)}{L_4}. \end{aligned} \quad (13)$$

Таким образом, для сферического кулисного механизма определена погрешность, вызванная неточностью размеров звеньев и неточностью положения ведущего звена механизма.

Полученные результаты позволяют определить погрешность положения ведомого звена как для сферического, так и для плоского кулисного механизма.

დ. თავხელიძე (საქ. სსრ მეცნ. უკადემიის წევრ-კორესპონდენტი), ნ. დავითაშვილი

სფერული კულისა მიჩანიზმის ტექნოლოგიური ცდომილება

### რეზიუმე

შრომაში მოცემულია სფერული კულისა მექანიზმის ტექნოლოგიური ცდომილების განსაზღვრა დიფერენციალური მეთოდით, რომლისთვისაც მიღებული შედეგები ზოგად ხსიათს ატარებენ და შესაძლებელია გამოყენებულ იქნეს როგორც სფერული, ისე ბრტყელი შექანიზმებისათვის.

### MACHINE BUILDING SCIENCE

D. S. TAVKHELIDZE, N. S. DAVITASHVILI

### TECHNOLOGICAL DEFECT OF SPHERICAL SLIDER-CRANK MECHANISM

#### Summary

The determination of the technological defect of a spherical slider-crank mechanism by the differential method is discussed.

The results obtained are of general character and can be used for both spherical and plane mechanisms.

#### ლიტერატურა — REFERENCES

1. Д. С. Тавхелидзе, Н. С. Давиташвили. Сообщения АН ГССР, 77, № 3, 1975.



А. М. БАГДОЕВА

## О МЕХАНО-МАТЕМАТИЧЕСКОЙ МОДЕЛИ МЫШЦЫ, СОКРАЩАЮЩЕЙСЯ В ИЗОМЕТРИЧЕСКОМ РЕЖИМЕ

(Представлено академиком Р. Р. Двали 14.1.1975)

Для создания механо-математических моделей мышцы необходимо определение эквивалентных характеристик жесткости, демпфирования и инерционных свойств исследуемой системы. Однако решение этой задачи осложняется теми обстоятельствами, что перечисленные характеристики живого организма являются зависимыми от напряжения и усилия, развиваемого мышцами, которые, в свою очередь, зависят от внешних условий и нагрузок. Решение проблемы требует углубления в структуру мышцы и механизм сокращения.

Известно, что мышечное волокно окружено эластичной оболочкой — сарколеммой, содержащей саркоплазму. Сократительную функцию выполняют мышечные нити — миофибриллы (рис. 1), состоящие из актиновых (1) и миозиновых нитей (2), разделенных мембранами (3), именуемыми диском  $Z$ . Эксперименты дают основание полагать, что сами нити (1, 2) нерастяжимы, упругие же свойства мышцы связаны с упругими компонентами диска  $Z$ , а в режиме растяжения — с жесткостью сарколеммы.

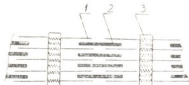


Рис. 1

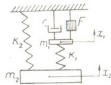


Рис. 2

В литературе [1—3] известен ряд вязко-упругих моделей мышцы с различными комбинациями упругих и вязких элементов. На рис. 2 приведена механическая модель мышцы, описывающая, на наш взгляд, достаточно близко изложенные выше свойства и структуру мышечной ткани. Здесь  $m_1$  — приведенная масса миофибрилл;  $m_2$  — масса присоединенной к мышце внешней нагрузки (в естественных условиях это может быть масса сустава, соединенного с мышцей);  $k_1$  и  $k_2$  — соответственно жесткости мембраны и сарколеммы;  $c_1$  — коэффициент, характеризующий вязкость саркоплазмы;  $F$  — сократительный элемент.

Стимулом к сокращению (скольжению нитей) служат нервные импульсы, идущие от клеток спинного или головного мозга. И хотя между этими раздражениями мышцы и непосредственным механическим эффектом, приводящим в движение нити, лежат физико-механические

процессы, естественно считать, что эта сила будет сохранять импульсивный характер и, следовательно, может быть представлена функцией  $F = F_0[\sigma(t, h) + \sigma[(t - \tau), h] + \sigma[(t - 2\tau), h] + \dots]$ , где  $\tau$ —период функции, а  $h$ —продолжительность импульса.

В изометрическом режиме, как известно, длина мышцы постоянна, и, следовательно, масса  $m_2$  в этом случае неподвижно закреплена, а жесткость  $k_2$  не работает (рис. 2); воздействие сократительного элемента на массу  $m_1$  представлено силой, выраженной функцией  $F$ . Тогда движение нитей ( $m_1$ ) можно описать следующим дифференциальным уравнением:

$$m_1 \ddot{x}_1 + c_1 \dot{x}_1 + k_1 x_1 = F_0 [\sigma(t, h) + \sigma[(t - \tau), h] + \sigma[(t - 2\tau), h] + \dots]. \quad (1)$$

Вводя обозначения  $\frac{k_1}{m_1} = p^2$ ,  $\frac{c_1}{m_1} = 2\xi$ ,  $\frac{F_0}{m_1} = f_0$ , и затем используя преобразование Лапласа, получаем

$$s^2 X_1(s) + 2\xi s X_1(s) + p^2 X_1(s) = \frac{f_0}{s} \frac{1 - e^{-hs}}{1 - e^{-\tau s}}. \quad (2)$$

Изображение решения будет иметь вид

$$X_1(s) = \frac{F_0(1 - e^{-hs})}{s(1 - e^{-\tau s})(s^2 + 2\xi s + p^2)}, \quad (3)$$

а обратное преобразование по Лапласу запишется в виде

$$\begin{aligned} x_1 = & \frac{f_0}{p^2} \left\{ 1 - e^{-\frac{\xi}{p}t} \left( \cos pt + \frac{\xi}{p} \sin pt \right) + \left\{ 1 - e^{-\frac{\xi}{p}(t-\tau)} \left[ \cos p(t-\tau) + \right. \right. \right. \\ & \left. \left. \left. + \frac{\xi}{p} \sin p(t-\tau) \right] \right\} u(t-\tau) + \left\{ 1 - e^{-\frac{\xi}{p}(t-2\tau)} \left[ \cos p(t-2\tau) + \right. \right. \\ & \left. \left. + \frac{\xi}{p} \sin p(t-2\tau) \right] \right\} u(t-2\tau) + \dots - \left\{ 1 - e^{-\frac{\xi}{p}(t-h)} \left[ \cos p(t-h) + \right. \right. \\ & \left. \left. + \frac{\xi}{p} \sin p(t-h) \right] \right\} u(t-h) - \left\{ 1 - e^{-\frac{\xi}{p}(t-2h)} \left[ \cos p(t-2h) + \right. \right. \\ & \left. \left. + \frac{\xi}{p} \sin p(t-2h) \right] \right\} u(t-2h) - \dots \right\}, \end{aligned} \quad (4)$$

где  $u(t-n\tau)$  и  $u(t-nh)$ —единичные ступенчатые функции.

Очевидно, что полученное решение даже в рассматриваемом сравнительно простом случае громоздко и недостаточно наглядно для сравнения с реальной картиной изометрического сокращения, даваемой экспериментами.

С этой точки зрения представлялось более целесообразным осуществить моделирование уравнения (1) на аналоговой машине.

Численные значения коэффициентов  $p^2$  и  $2\xi$  были получены подбором, произведенным таким образом, чтобы период одиночного сокращения и демпфирование соответствовали опытным значениям реальной мышцы [4].

Блок-схема, соответствующая уравнению (1), набиралась при следующих значениях членов уравнения:  $2\xi=100$ ,  $p^2=8900$ ,  $f_0=70,8$ . Программа включала в себя получение перемещений  $x_1$  при различных значениях частоты импульсов ( $\omega=\frac{1}{\tau}$ ) в диапазоне ее изменения от 1 до 100 гц при ширине импульса  $n=0,01$  сек; это дало возможность исследовать влияние частоты импульсов на величину сокращения.

На рис. 3. показаны полученные на аналоговой машине (МН-10) наиболее типичные кривые, описывающие процесс изометрического сокращения в координатах  $x_1-t$ . Очевидно, что полученные графики качественно воспроизводят картину изометрического сокращения, получаемую экспериментально. Следует, однако, заметить, что в этих экспериментах регистрируется, как правило, развиваемое напряжение ( $P$ ), но оно равно  $kx_1$  и, следовательно, пропорционально сокращению. Таким образом, зависимость  $x_1-t$  будет иметь тот же характер, что и график  $P-t$ .

Исследование кривых рис. 3 показало, что величина сокращения  $A$  увеличивается с ростом частоты импульсов  $\omega$ , что совпадает с из-

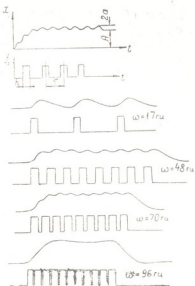


Рис. 3

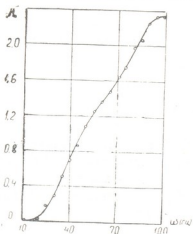


Рис. 4

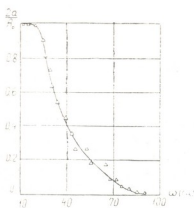


Рис. 5

вестной в физиологии зависимостью. На рис. 4 эта связь отражена графически в координатах  $\frac{A}{A_0}-\omega$ , где  $A_0$  — амплитуда одиночного сокращения.

Полученные кривые подтверждают также наличие колебательных составляющих, сопровождающих процесс сокращения. Отражение этого эффекта обусловлено учетом в механической модели инерционных свойств мышцы. Амплитуда колебаний  $a$  уменьшается с ростом частоты импульса. Рис. 5 иллюстрирует эту связь в виде зависимо-

$$\text{сти } \frac{A}{A_0} = \omega.$$

Таким образом, приведенная механическая модель, соответствующее ей дифференциальное уравнение и, в частности, представление тянувшей силы, действующей на миофibrиллы в виде импульсной функции, позволили качественно описать картину изометрического сокращения и подтвердить основные зависимости параметров этого процесса.

Академия наук Грузинской ССР

Институт механики машин

(Поступило 15.1.1975)

მეცნიერებებისა და ტექნიკის მუზეუმის მიერთებულება

ა. გაგუა

იზომეტრიულ რეზისუ კუმულაცი კუნთის მექანიკურ-  
ათონატიკური მოდელის შესახებ

რეზისუ

მოყვანილია ზომეტრიულ რეზისუ კუმულაცი კუნთის მექანიკური მო-  
დელი. პროცესი ალტერილია მათემატიკურად და მოდელირებულია ანალოგურ  
მანქანაზე. მიღებული იზომეტრიული კუმულაცი ემთხვევა ექსპერიმენ-  
ტით მიღებულ სურათებს. ხახვენბია კუმულაცი ძირითადი პარამეტრების და-  
მოკიდებულება იმპულსაციის სინაზიზუ.

MACHINE BUILDING SCIENCE

A. M. BAGDOEVA

## MECHANICAL MODEL OF A MUSCLE CONTRACTING IN ISOMETRIC MODE

*Summary*

The paper presents a mechanical model of a muscle contracting in isometric mode. Analog computer simulation of the process described mathematically has been carried out. The obtained curves of isometric contraction are the same as those obtained experimentally. The relation of contraction parameters to impulse frequency has been confirmed.

### ЛІТЕРАТУРА — REFERENCES

1. A. S. Bahler. Trans. Bio-Med. Eng. 1968, 249—257.
2. A. Levin, J. Wymann. Proc. Roy. Soc. (Ser. B) 101, 1927, 218—243.
3. A. V. Hill. Proc. Roy. Soc. (Ser. B) 100, 1926, 108—115.
4. Ю. М. Уфлянд. Физиология двигательного аппарата человека. М., 1965.

Р. Ш. ВАРСИМАШВИЛИ

## К ОБРАЗОВАНИЮ ГИПЕРБОЛОИДАЛЬНОЙ ЗУБЧАТОЙ ПЕРЕДАЧИ С ПЕРЕМЕННЫМ ПЕРЕДАТОЧНЫМ ЧИСЛОМ

(Представлено членом-корреспондентом Академии Г. Я. Шхвацабая 26.12.1975)

Представим себе, что в пространстве заданы две произвольно скрещивающиеся оси АА и ВВ, между которыми необходимо осуществить передачу вращательного движения с переменным передаточным числом.  $\bar{\omega}_1, \bar{\omega}_2$  — векторы угловых скоростей, с которыми врачаются зубчатые колеса 1 и 2 рассматриваемой зубчатой передачи (рис. 1). Определим аксоиды зубчатых колес.

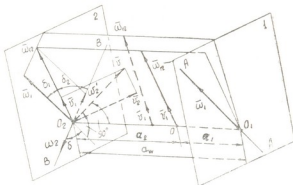


Рис. 1

Для решения поставленной задачи необходимо отыскать положения осей вращения зубчатых колес в относительном движении. Найдем относительное движение зубчатого колеса 1 по отношению к зубчатому колесу 2. Для этого воспользуемся методом обращения движения и сообщим обоям колесам общую угловую скорость  $\bar{\omega}'_2 = -\bar{\omega}_2$ . При этом условии колесо 2 станет неподвижным, а колесо 1 будет совершать два вращательных движения вокруг осей АА и ВВ с угловыми скоростями  $\bar{\omega}_1$  и  $\bar{\omega}'_2$ . Для нахождения суммарной угловой скорости  $\bar{\omega}_{12}$  вращения колеса 1 в преобразованном механизме перенесем вектор  $\bar{\omega}_1$  параллельно самому себе в точку  $O_2$ . Перпендикулярно плоскости расположения векторов  $\bar{\omega}_1$  —  $\bar{\omega}'_2$  приложим вектор поступательной скорости  $v = a_w \times \bar{\omega}_1$ , где  $a_w$  — кратчайшее межосевое расстояние.

Складывая векторы  $\bar{\omega}_1$  и  $\bar{\omega}'_2$  в точке  $O_2$ , получаем вектор  $\bar{\omega}_{12} = \bar{\omega}_1 - \bar{\omega}_2$ . Как видно, результирующее движение колеса 1 сводится к вращательному движению вокруг оси  $\bar{\omega}_{12}$  и поступательному перемещению со скоростью  $\bar{v}$ . Известно, что при таком движении результирующее движение колеса 1 оказывается винтовым. Найдем это винтовое движение, для чего разложим  $\bar{v}$  на два составляющих вектора, один из которых  $\bar{v}_1$  направим параллельно вектору  $\bar{\omega}_{12}$ , а другой  $\bar{v}_2$  — перпендикулярно ему. Складывая вращательное и поступательное движения  $\bar{\omega}_{12}$  и  $\bar{v}_2$ , получаем мгновенное вращательное движение колеса 1 вокруг оси, параллельной  $\bar{\omega}_{12}$  и отстоящей от точки  $O_2$  на расстоянии  $a_2 = v_2 : \omega_{12}$ .

Относительная угловая скорость

$$\omega_{12} = \frac{\omega_1}{u_{12}(\psi_1)} \sqrt{1 + u_{12}^2(\psi_1) + 2 u_{12}(\psi_1) \cos \delta}. \quad (1)$$

Скорость поступательного движения определим выражением

$$v_2 = a_w \omega_1 \frac{u_{12}(\psi_1) + \cos \delta}{\sqrt{1 + u_{12}^2(\psi_1) + 2 u_{12}(\psi_1) \cos \delta}}. \quad (2)$$

Используя соотношения

$$\frac{\omega_1}{\sin \delta_2} = \frac{\omega_2}{\sin \delta_1} = \frac{\omega}{\sin \delta}, \quad (3)$$

определен расстояние между осью мгновенного относительного вращения и осью ВВ:

$$a_2 = a_w \frac{\cos \delta_1 \sin \delta_2}{\sin \delta}. \quad (4)$$

С учетом зависимостей

$$\cos \delta_1 = \frac{u_{12}(\psi_1) + \cos \delta}{\sqrt{1 + u_{12}^2(\psi_1) + 2 u_{12}(\psi_1) \cos \delta}}, \quad (5)$$

$$\sin \delta_2 = \frac{u_{12}(\psi_1) \sin \delta}{\sqrt{1 + u_{12}^2(\psi_1) + 2 u_{12}(\psi_1) \cos \delta}}, \quad (6)$$

получим

$$a_2 = a_w \frac{u_{12}^2(\psi_1) + u_{12}(\psi_1) \cos \delta}{1 + u_{12}^2(\psi_1) + 2 u_{12}(\psi_1) \cos \delta}. \quad (7)$$

Расстояние между осью мгновенного относительного вращения и осью АА определим зависимостью

$$a_1 = a_w \frac{1 + u_{12}(\psi_1) \cos \delta}{1 + u_{12}^2(\psi_1) + 2 u_{12}(\psi_1) \cos \delta}. \quad (8)$$

Скорость скольжения вдоль оси относительного вращения

$$v_1 = a_w \omega_1 \frac{\sin \delta}{\sqrt{1 + u_{12}^2(\psi_1) + 2 u_{12}(\psi_1) \cos \delta}}. \quad (9)$$

Передаточное число

$$u_{12}(\psi_1) = \frac{\omega_1}{\omega_2} = \frac{\sin \delta_2}{\sin \delta_1} = \sin \delta \operatorname{ctg} \delta_1 - \cos \delta. \quad (10)$$

Углы между осями вращения колес и осью относительного вращения определим выражениями

$$\operatorname{ctg} \delta_1 = \frac{u_{12}(\psi_1) + \cos \delta}{\sin \delta}, \quad (11)$$

$$\operatorname{ctg} \delta_2 = \frac{u_{21}(\psi_1) + \cos \delta}{\sin \delta}, \quad (12)$$

где

$$u_{21}(\psi_1) = \frac{1}{u_{12}(\psi_1)};$$

$\psi_1$  — угол поворота колеса 1.

Параметр винта

$$p = a_w \frac{u_{12}(\psi_1) \sin \delta}{1 + u_{12}^2(\psi_1) + 2 u_{12}(\psi_1) \cos \delta}. \quad (13)$$

Из полученных зависимостей видно, что поскольку передаточное число, передаваемое между скрещивающимися осями колес, переменное, каждому значению мгновенного передаточного числа соответствует своя мгновенная ось относительного вращения-скольжения. В пространстве мгновенная ось относительного вращения-скольжения занимает переменное положение, в процессе зацепления колес совершает качательное движение вокруг линии кратчайшего межосевого расстояния и одновременно перемещается по этой линии. В относительном движении колеса 1 совершает вращение с переменной угловой скоростью вокруг оси мгновенного относительного вращения-скольжения, поступательное перемещение со скольжением с переменной линейной скоростью вдоль этой оси, а также перемещение по линии кратчайшего межосевого расстояния. Совокупность осей мгновенного относительного вращения-скольжения в системах координат, связанных с колесами 1 и 2, образует однополостные некруглые гиперболоиды. Полученные некруглые гиперболоиды являются аксондами некруглых зубчатых колес при передаче вращательного движения с переменным передаточным числом между скрещивающимися осями.

Если угол скрещивания принять равным нулю, оси некруглых гиперболоидов сделать параллельными, относительное движение колес будет не винтовым, а вращательным. При этом аксондные поверхности представляют собой некруглые цилиндры [1]. В случае пересечения осей вращения колес межосевое расстояние обращается в нуль и вместо некруглых гиперболоидов получим некруглые конусы [2, 3].

На практике, ввиду сложности изготовления некруглых гиперболоидальных зубчатых колес, могут быть использованы приближенные гиперболоидальные зубчатые колеса либо в виде некруглых винтовых зубчатых колес [1], в которых горловина некруглого гиперболоида заменяется некруглыми цилиндрами, либо в виде гипоидных зубчатых колес, в которых конические части некруглого гиперболоида заменены некруглыми конусами.

Грузинский политехнический институт  
им. В. И. Ленина

(Поступило 26.12.1975)

განერაციული გადაფიზიკისა და მარტივი მეცნიერებებისათვის

რ. ვარსიმაშვილი

ერთობლივი გადაფიზიკის ცალი გადაფიზიკისათვის  
მარტივი მეცნიერებებისათვის

რეზოუზე

აცდენილ ღერძებს შორის ცვალებადი ბრუნვითი მოძრაობის გადაცემისას ბრუნვა-სრიალის მყისა ღერძი სივრცეში იცვლის თავის მდებარეობას, ერთ-დროულად ანრულებს რჩევით მოძრაობას უწინერთები ღერძთაშრისას მანძილის ირგვლივ და გადადგილდება აღნიშნულ ღერძზე. ფართობითი მოძრაობის მყისა ღერძების ერთობლივია წარმოქმნის არამრგვალ ცალკალთა პიპერბოლოიდებს, რომლებიც გამოყენებულია არამრგვალი ქბილანების აქსოდებად.

MACHINE BUILDING SCIENCE

R. Sh. VARSIMASHVILI

## ON THE FORMATION OF HYPERBOLICIDAL TOOTH GEARING WITH VARIABLE RATIO

Summary

The study has shown that at transmission of variable gear ratio between crossing axes the instantaneous axis of relative rotation-sliding in space assumes a variable position; in the process of gearing it makes a swinging motion about the shortest line of interaxial distance and simultaneously transfers along this line.

The combination of instantaneous relative rotation-sliding axes with the wheel axes forms noncircular hyperboloids of one sheet which are axoids of noncircular tooth wheels at transmission of rotary motion with variable gear ratio between crossing axes.

## ლიტერატურა — ЛИТЕРАТУРА — REFERENCES

- Ф. Л. Литвин. Некруглые зубчатые колеса. М., 1956.
- Ф. Л. Литвин, Г. А. Лившиц. Машиноведение, № 1, 1968.
- Ф. Л. Литвин, Р. Ш. Варсимиашвили. Станки и инструмент, № 5, 1970.

МАШИНОВЕДЕНИЕ

Г. Г. ЦУЛАЯ

ИССЛЕДОВАНИЕ РЕЗОНАНСНЫХ РЕЖИМОВ КОЛЕБАНИЙ  
ТРЕХМАССНОГО ВИБРАТОРА С НЕЛИНЕЙНЫМИ УПРУГИМИ  
ЭЛЕМЕНТАМИ

(Представлено академиком Р. Р. Двали 26.12.1975)

Проблема генерирования суб- и супергармонических колебаний в механических системах является одним из перспективных направлений в вибрационной технике, обеспечивающей получение устойчивых резонансных режимов работы простыми конструктивными способами. Использование многомассовых нелинейных систем для этой цели создает благоприятные условия и представляет практический интерес.

Исследуется трехмассный вибратор, схематически показанный на рис. 1; он состоит из рабочих органов 1 и 2 (условно не показаны), закрепленных в середине упругих элементов 3 и 4, соединенных с помощью деталей крепления 5 с третьей массой 6. Упругие элементы снабжены дополнительными односторонними опорами 7, имеющими возможность перемещения вдоль рессорного пакета 3 и 4 при помощи винтов 8. Источник одновременного возбуждения колебаний рабочих органов 1 и 2 представляет собой электромагнит, состоящий из якоря 9 и сердечника 10. Электромагнит питается от сети с однополупериодным выпрямленным током.

Вся система изолирована от несущей конструкции с помощью упругих подвесок (условно не показаны).

Упругие элементы системы при фиксированных положениях односторонних опор имеют линейные характеристики жесткостей, так как в первом полуцикле движения рабочих органов, соответствующем полупериоду возбуждения электромагнита, рессорные пакеты дополнена с опорами в первом полуцикле и без опор во втором показана соответствующем холостому полупериоду магнита, рессорные пакеты освобождаются от дополнительных опор. Это создает нелинейность жесткостей упругих элементов в двух смежных полуциклах.

Характеристика жесткостей упругого элемента 1-го рабочего органа с опорами в первом полуцикле и без опор во втором показана соответственно на рис. 2, а, б. Аналогичная характеристика получена и для упругого элемента 2-го рабочего органа при статическом испытании вибратора.

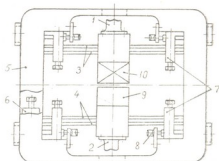


Рис. 1. Конструктивная схема трехмассного вибратора

Из рис. 2, а, б видно, что в разных полуциклах упругая система имеет разные жесткости, соответствующие следующим геометрическим характеристикам рессорного пакета: длина от концевого защемления пакета до односторонней опоры  $l=5,0$  см; ширина рессоры  $b=3,0$  см; толщина рессоры  $h=0,3$  см; половина длины рессоры  $L=15,0$  см; количество рессор в пакете  $n=4$ ; жесткость с опорами почти в 2 раза меньше жесткости пакета без опор.

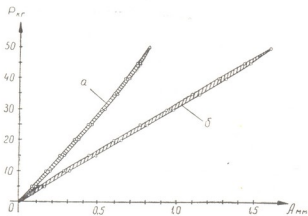


Рис. 2. Характеристика жесткостей упругого элемента

Из характеристики жесткостей рессорного пакета в первом полуцикле также видно, что кривая жесткости имеет загиб влево; это является следствием того, что дополнительная опора в зависимости от нагрузки на нее нелинейно оседает и одновременно исключает возможность соударения рессорного пакета об опору при переходе рессорного пакета с одного полуцикла на другой. Кроме того, в обеих характеристиках имеется несовершенная упругость пакета в виде пульсации гистерезиса (заштрихованные площади), которые, в свою очередь, характеризуют необратимые потери в системе от сил трения рессор с межрессорными прокладками в местах защемления масс и внутреннего трения в материале рессор.

В рабочих режимах колебаний, несмотря на разные жесткости в последовательных полуциклах, и, следовательно, разные частоты, описанная система имеет одну циклическую собственную частоту, соответствующую половине суммы частот по полуциклам, т. е.  $\omega_c = \frac{\omega_1 + \omega_2}{2}$ , где  $\omega_1$  и  $\omega_2$  — соответственно собственные частоты в первом и во втором полуциклах.

Колебания масс вибратора в первом полуцикле описываются следующей системой дифференциальных уравнений:

$$\begin{aligned} \ddot{x}_1 + 2n_1(\dot{x}_1 - \dot{x}_3) + \omega_1^2(x_1 - x_3) &= \frac{0,051}{\mu_0 Sm_1} \Phi^2, \\ \ddot{x}_2 + 2n_2(\dot{x}_2 + \dot{x}_3) + \omega_2^2(x_2 + x_3) &= -\frac{0,051}{\mu_0 Sm_2} \Phi^2, \\ \ddot{x}_3 - 2n'_1(\dot{x}_1 - \dot{x}_3) + 2n'_2(\dot{x}_2 + \dot{x}_3) - \omega_1'^2(x_1 - x_3) + \omega_2'^2(x_2 + x_3) &= 0, \end{aligned} \quad (1)$$

где обозначения входящих в систему величин являются общепринятыми [1].

Результаты совместного решения на АВМ системы дифференциальных уравнений (1) и аналогичной системы для второго полуцикла с соответствующими параметрами дают хорошее совпадение с результатами, полученными экспериментально.

В рассмотренном вибраторе жесткости и массы рабочих органов подобраны таким образом, что их частоты почти одинаковы. Это обстоятельство улучшает условия работы вибратора, так как дает возможность максимально повысить амплитуды рабочих масс, динамически уравновесить колебания третьей массы и тем самым уменьшить передачу вибрации на несущую конструкцию и снизить шумовые характеристики.

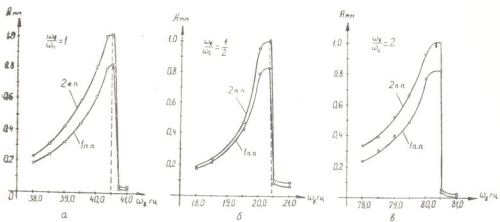


Рис. 3. Амплитудно-частотные характеристики рабочей массы вибратора

В описанном вибраторе циклическая несимметричность жесткостей создает возможность, помимо основного резонансного режима колебаний рабочих масс, генерировать их суб- и супергармонические резонансные режимы.

Амплитудно-частотные характеристики для первой массы вибратора при вышеуказанных фиксированных расстояниях односторонних опор рессорной системы в основном, суб- и супергармоническом режимах колебаний для каждого полуцикла показаны соответственно на рис. 3, а, б, в; кривые получены с помощью датчиков, регистрирующих сигналы смещения и ускорения масс с последующей их тарировкой. Как видно из рис. 3, а, б, в, кривые, соответствующие соотношениям

вынужденной  $\omega_x$  и собственной  $\omega_c$  частот  $\frac{\omega_x}{\omega_c} = 1$ ,  $\frac{\omega_x}{\omega_c} = \frac{1}{2}$  и  $\frac{\omega_x}{\omega_c} = 2$ , имеют срывы амплитуд при определенных частотах как в основном, так и в суб- и супергармоническом режимах, характерные для нелинейной системы.

Оscиллограммы колебаний масс в перечисленных режимах с сопровождением сигнала возмущающей частоты показаны на рис. 4, а, б, в.

Во всех трех случаях почти одинаковые амплитуды колебаний рабочей массы соответствуют различным потребляемым мощностям возбудителя колебаний — электромагнита. Причем в субгармониче-

ском режиме колебаний источник возбуждения расходует меньше мощности, чем в основном режиме, а в супергармоническом режиме

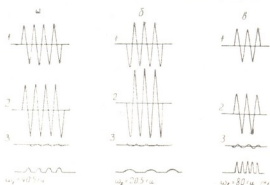


Рис. 4. Осциллограммы колебаний масс вибратора

мощность требуется значительно большая, чтобы ввести систему в резонансный режим и поддерживать колебания.

Академия наук Грузинской ССР  
Институт механики машин

(Поступило 15.1.1976)

მარკანათოვოდისა

### 3. ტელაია

პრაზრდის დროიდი ელემენტების გამოც სამასიანი ვიბრატორის  
რხევის რიზონაციული რიცივების კვლევა  
რეზოუნდი

ნაშრომში გამოკვლეულა სამასიანი ვიბრატორი, რომლის მასების და-  
მაკავშირებელ ღრეულ ელემენტებს გააჩნიათ ანტირივი ციკლური მახასია-  
თებლები. მოცემულია ვიბრატორის მასების ჩხევების აღმწერი დაფურუნგია-  
ლური განტოლებების სისტემა. მოყვანილია სისტემის ძირითად, სუბ- და სუ-  
პერჰარმონიულ რეზონანსულ რეენდებში რჩევების მატლიტურულ-სინამდირული  
მახასიათებლების დიაგრამები. ჩატარებულია ვიბრატორის რჩევების აღმგზე-  
ბის სიმძლავრის აღნიშნულ რეენდებში დანახრების შედარება.

MACHINE BUILDING SCIENCE

G. G. TSULAI

## INVESTIGATION OF THE RESONANCE VIBRATION REGIMES OF A THREE-MASS VIBRATOR WITH NONLINEAR ELASTIC ELEMENTS

### Summary

A three-mass vibrator, the elastic elements of which have nonlinear cyclic rigidity, has been investigated. The system of differential equations describing the mass vibrations of the device is given. Diagrams of the amplitude-frequency characteristics of the system in the main, sub- and super-harmonic resonance vibration regimes are presented. Comparison is made of power consumed by the vibration exciter under the indicated working regimes.

### ლიტერატურა — ЛИТЕРАТУРА — REFERENCES

1. М. В. Хвнгия, Г. Г. Цулая, В. Н. Гогилашвили, Т. Г. Татишвили.  
Конструкционное демпфирование в узлах вибрационных машин. Тбилиси, 1973, 138.

Л. В. ХВИНГИЯ

РЕШЕНИЕ КРАЕВОЙ ЗАДАЧИ НЕСТАЦИОНАРНОЙ  
 ТЕПЛОПРОВОДНОСТИ ДЛЯ ДВУХ СОПРИКАСАЮЩИХСЯ  
 БЕСКОНЕЧНЫХ ЦИЛИНДРОВ

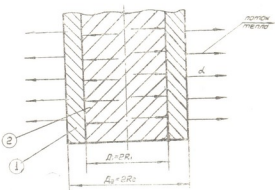
(Представлено членом-корреспондентом Академии В. И. Гомелаури 3.12.1975)

Такого рода задачи встречаются при нестационарном теплообмене наполненной пищевыми продуктами стеклотары, когда передача тепла происходит через цилиндрическую поверхность.

Схема теплообмена двух соприкасающихся бесконечных цилиндров представлена на рис. 1.

Рис. 1. Схема теплообмена

двух соприкасающихся  
 бесконечных цилиндров



Система двух соприкасающихся тел 1 и 2 — бесконечных цилиндров, имеющих в начальный момент времени  $\tau=0$  одинаковую температуру, равную  $T_0$ , помещаются в среду с постоянной температурой  $T_c$ . Теплообмен между наружной поверхностью цилиндра 1 и окружающей средой, а также между телами 1 и 2 происходит по законам Ньютона и Фурье. Теплофизические характеристики тел 1 и 2 не зависят от температуры, времени и координат. Требуется найти температурное поле тел 1 —  $T_1(r, \tau)$  и 2 —  $T_2(r, \tau)$  и среднюю температуру по объему  $T_{1ep}(\tau)$  и  $T_{2ep}(\tau)$ .

Дифференциальное уравнение теплопроводности в этом случае можно записать следующим образом:

для тела 1

$$\frac{\partial \Theta'_1(r, \tau)}{\partial \tau} = a_1 \left[ \frac{\partial^2 \Theta'_1(r, \tau)}{\partial r^2} + \frac{1}{r} \cdot \frac{\partial \Theta'_1(r, \tau)}{\partial r} \right], \quad (1)$$

$$R_1 \leq r \leq R_2, \quad \tau > 0.$$

для тела 2

$$\frac{\partial \Theta'_2(r, \tau)}{\partial \tau} = a_2 \left[ \frac{\partial^2 \Theta'_2(r, \tau)}{\partial r^2} + \frac{1}{r} \cdot \frac{\partial \Theta'_2(r, \tau)}{\partial r} \right], \quad (2)$$

$$0 \leq r \leq R_1, \quad \tau > 0.$$

Здесь  $a_1$  и  $a_2$  — коэффициенты температуропроводности тел 1 и 2,

$$\Theta'_1(r, \tau) = T_1(r, \tau) - T_c \text{ и } \Theta'_2(r, \tau) = T_2(r, \tau) - T_c.$$

Краевые условия задачи таковы [1]:

$$\Theta'_1(r, 0) = T_0 - T_c, \quad \Theta'_2(r, 0) = (T_0 - T_c), \quad (3)$$

$$\frac{\partial \Theta'_1(R_2, \tau)}{\partial r} + \frac{\alpha}{\lambda_1} \Theta'_1(R_2, \tau) = 0, \quad \frac{\partial \Theta'_2(0, \tau)}{\partial r} = 0, \quad (4)$$

$$\Theta'_1(R_1, \tau) = \Theta'_2(R_1, \tau), \quad \lambda_1 \frac{\partial \Theta'_1(R_1, \tau)}{\partial r} = \lambda_2 \frac{\partial \Theta'_2(R_1, \tau)}{\partial r}, \quad (5)$$

$\lambda_1$  и  $\lambda_2$  — коэффициенты теплопроводности тел 1 и 2,  $\alpha$  — коэффициент теплоотдачи от окружающей среды к наружной поверхности.

Общее решение дифференциального уравнения (1) ищем в виде [2]

$$\Theta'_1(r, \tau) = \sum_{n=1}^{\infty} C'_{1n} [M_{1n} \cdot J_0(\lambda'_n r) + N_{1n} \cdot Y_0(\lambda'_n r)] \exp(-a_1 \lambda'^2_n \tau), \quad (6)$$

а уравнения (2) — в виде

$$\Theta'_2(r, \tau) = \sum_{n=1}^{\infty} C'_{2n} [M_{2n} \cdot J_0(\lambda''_n r) + N_{2n} \cdot Y_0(\lambda''_n r)] \exp(-a_2 \lambda''^2_n \tau). \quad (7)$$

Полагая

$$a_1 \lambda'^2_n = a_2 \lambda''^2_n, \quad \lambda''_n = k_n / R_1, \quad m = R_2 / R_1 \text{ и } k_\lambda = \lambda_2 / \lambda_1,$$

получаем

$$\lambda'_n = k_a \cdot \lambda''_n, \quad k_a = \sqrt{\frac{a_2}{a_1}}.$$

Из условия (5) имеем

$$M_{1n} = B_i(R_1) \cdot Y_0(m k_a k_n) - k_a k_n Y_1(m k_a k_n), \quad (8)$$

$$N_{1n} = k_a k_n J_1(m k_a k_n) - B_i(R_1) J_0(m k_a k_n), \quad (9)$$

$$C'_{2n} [-M_{2n} \cdot \lambda''_n J_1(0) - N_{2n} \cdot \lambda''_n Y_1(0)] \exp(-a_2 \lambda''^2_n \tau) = 0.$$

Ввиду того что

$$C'_{2n} \neq 0, \quad \lambda''_n \neq 0, \quad \exp(-a_2 \lambda''^2_n \tau) \neq 0, \quad J_1(0) = 0 \text{ и } Y_1(0) \rightarrow \infty,$$

то  $M_{2n} \neq 0$  и  $N_{2n} = 0$ ,

вместо (7) можно написать

$$\Theta'_2(r, \tau) = \sum_{n=1}^{\infty} C'_{2n} \cdot J_0(\lambda''_n r) \exp(-a_2 \lambda''^2_n \tau), \quad (10)$$

где

$$B_i(R_1) = \frac{\alpha}{\lambda_1} R_1.$$

С учетом (5) получаем следующее характеристическое уравнение для определения собственных значений функций:

$$[k_\lambda \cdot J_1(k_n) J_0(k_a k_n) - k_a J_0(k_n) J_1(k_a k_n)] [B_i(R_1) \cdot Y_0(m k_a k_n) - k_a k_n \cdot Y_1(m k_a k_n)] - [k_\lambda J_1(k_n) Y_0(k_a k_n) - k_a J_0(k_n) Y_1(k_a k_n)] [B_i(R_1) J_0(m k_a k_n) - k_a k_n J_1(m k_a k_n)] = 0.$$

Потребовав выполнение начальных условий (3) из (6) и (10) будем иметь

$$\Theta'_1(r, 0) = T_0 - T_c = \sum_{n=1}^{\infty} C'_{1n} \left[ M_{1n} J_0 \left( k_a k_n \frac{r}{R_1} \right) + N_{1n} Y_0 \left( k_a k_n \frac{r}{R_1} \right) \right]$$

$$\text{и} \quad \Theta'_2(r, 0) = T_0 - T_c = \sum_{n=1}^{\infty} C'_{1n} \cdot J_0 \left( k_n \frac{r}{R_1} \right),$$

где  $C'_{1n}$  и  $C'_{2n}$  определяются как коэффициенты ряда Фурье по бесселевым функциям [3].

Введя обозначения

$$C'_{1n} = (T_0 - T_c) C_{1n} \text{ и } C'_{2n} = (T_0 - T_c) C_{2n},$$

окончательно можно написать

$$C_{2n} = \frac{2J_1(k_n)}{k_n [J_0^2(k_n) + J_1^2(k_n)]}, \quad (11)$$

Таким образом, выражение (10) примет вид

$$\Theta_2(r, \tau) = \sum_{n=1}^{\infty} C_{2n} \cdot J_0 \left( k_n \frac{r}{R_1} \right) \exp \left( -a_2 \frac{k_n^2}{R_1^2} \tau \right), \quad (12)$$

Средняя относительная объемная температура  $\Theta_{2cp}$  будет

$$\Theta_{2cp} = \frac{2}{R_1^2} \int_0^{R_1} \Theta_2(r, \tau) r dr.$$

Подставив в это выражение (12) и взяв интеграл, окончательно получим [4]

$$\Theta_{2cp} = \sum_{n=1}^{\infty} H_{2n} \exp \left( -a_2 \frac{k_n^2}{R_1^2} \tau \right), \quad (13)$$

$$\text{где} \quad H_{2n} = \frac{4 J_1^2(k_n)}{k_n^2 [J_0^2(k_n) + J_1^2(k_n)]}. \quad (14)$$

Введем функцию

$$Z \left( k_a k_n \frac{r}{R_1} \right) = M_{1n} J_0 \left( k_a k_n \frac{r}{R_1} \right) + N_{1n} \cdot Y_0 \left( k_a k_n \frac{r}{R_1} \right), \quad (15)$$

тогда вместо (6) можно написать

$$\Theta_1(r, \tau) = \sum_{n=1}^{\infty} C_{1n} \cdot Z \left( k_a k_n \frac{r}{R_1} \right) \exp \left( -a_1 k_n^2 \frac{k_a^2}{R_1^2} \tau \right). \quad (16)$$

Так как температура на поверхности раздела  $r = R_1$   $\Theta_1(R_1, 0) = \Theta_2(R_1, 0)$  при  $\tau = 0$ , то из (12) и (16) имеем

$$C_{1n} = \frac{2 J_0(k_n) \cdot J_1(k_n)}{k_n [J_0^2(k_n) + J_1^2(k_n)]} \frac{1}{Z(k_a k_n)}. \quad (17)$$

Средняя относительная объемная температура  $\Theta_{1cp}$  будет

$$\Theta_{1cp} = \frac{2}{(R_2^2 - R_1^2)} \int_{R_1}^{R_2} \Theta_1(r, \tau) r dr.$$

Подставив в подынтегральное выражение (16) и взяв интеграл, окончательно получим

$$\Theta_{1cp} = \sum_{n=1}^{\infty} H_{1n} \exp \left( -a_1 k_n^2 \frac{k_a^2}{R_1^2} \tau \right), \quad (18)$$

где

$$H_{1n} = \frac{1}{1 - m^2} \frac{1}{k_a^2 k_n^2} \frac{J_0(k_n) J_1(k_n)}{k_n [J_0^2(k_n) + J_1^2(k_n)]} \frac{1}{Z(k_a k_n)} \left[ k_a k_n \frac{Z(k_a k_n) J_1(k_n)}{J_0(k_n)} - B_i(R_1) \cdot Z(m k_a k_n) \cdot m \right]. \quad (19)$$

Здесь

$$\Theta = \frac{T - T_c}{T_0 - T_c} \text{ при охлаждении,} \quad \Theta = \frac{T_c - T}{T_c - T_0} \text{ при нагревании.}$$

Результаты решения данной краевой задачи были использованы для определения продолжительности прогревания пищевых жидкостей по оси стеклотары в процессе их тепловой обработки — стерилизации и пастеризации.

Тбилисское Головное специальное  
конструкторское бюро «Продмаш»  
Министерства СССР

(Поступило 4.12.1975)

0506806035

ლ. ხვინგია

თრი ურთიერთშემხედი უსასრულო ცილინდრის არასტაციონული  
თაღობამთარობის სასაზღვრო ამოცანის გადაწყვეტილება

რეზისტე

ნაშრომში ამოცსნილია ორი ურთიერთშემხედი უსასრულო ცილინდრის გარე ზედაპირზე სითბოს გადაცემის თანგებრატობის დაფერენციალური განტოლება. თბოვადაცემის პროცესი განიხილება რეზისტე მეტებე გვარის სასაზღვრო პირობების გამოყენებით. გაძოვნილია ურთიერთშემხები სხეულების ფარდობითი საშუალო ტემპერატურის ფორმულა.

POWER ENGINEERING

L. V. KHVINGIA

## THE SOLUTION OF A BOUNDARY-VALUE PROBLEM OF NONSTATIONARY THERMAL CONDUCTIVITY FOR TWO CONTACTING INFINITE CYLINDERS

### Summary

The solution of a differential equation of thermal conductivity for two contacting infinite cylinders during heat exchange over the external surface is presented.

The heat exchange process is considered in a steady regime under fourth-order boundary conditions.

The formula of average relative temperature of contacting bodies is deduced.

### ლიტერატურა — ЛИТЕРАТУРА — REFERENCES

1. А. В. Лыков. Теория теплопроводности. М., 1967.
2. А. Н. Тихонов, А. А. Самарский. Уравнения математической физики. М., 1953.
3. Л. В. Хвингия. Сообщения АН ГССР, XX, № 3, 1958.
4. Э. Т. Уйттакер, Д. Н. Ватсон. Курс современного анализа. М., 1963.

ЭЛЕКТРОТЕХНИКА

Дж. Н. Дочвири

**ПОСТРОЕНИЕ И ОПТИМИЗАЦИЯ ДИНАМИКИ АСР  
 ДВУХДВИГАТЕЛЬНОГО СЕКЦИОННОГО ЭЛЕКТРОПРИВОДА  
 БУМАГОДЕЛАТЕЛЬНОЙ МАШИНЫ С УПРУГИМИ  
 МЕХАНИЧЕСКИМИ ПЕРЕДАЧАМИ**

(Представлено членом-корреспондентом Академии К. М. Барамидзе 26.12.1975)

Цель настоящей работы — построение нормированной структурной схемы (НС) двухдвигательного тиристорного электропривода прессовой секции бумагоделательной машины (БМ) с двумя регуляторами РС при учете упругостей механических передач, а также вывод обобщенных формул для настройки регуляторов РС, РТ и коррекции, обеспечивающих полное отсутствие упругих колебаний в кризисных переходных процессах.

НС двухдвигательного электропривода с двумя РС. На рис. 1 представлена функциональная схема двухдвигательного

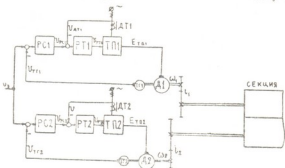


Рис. 1. Функциональная схема двухдвигательного секционного электропривода пресса БМ

электропривода пресса БМ. Верхний и нижний рабочие валы секции снабжены индивидуальными приводами и выполнены на базе электродвигателей постоянного тока (Д1 и Д2).

Динамика электроприводов БМ обычно изучается в линейном приближении [1], поэтому дифференциальные уравнения движения двухдвигательного электропривода в относительных приращениях переменных величин от их значений в статике могут быть записаны в следующем виде:

$$i_{x1}(p) - \mu_{y1}(p) = T_{m1} p \gamma_1(p),$$

$$i_{x2}(p) - \mu_{y2}(p) = T_{m1} p \gamma_2(p),$$

$$k_{n1} \cdot \mu_{y1}(p) + k_{n2} \cdot \mu_{y2}(p) - \mu_m(p) = T_{mm} \cdot p \cdot v_m(p),$$

$$\mu_{y1}(p) = \frac{T_{d1}p + 1}{T_{c1}p} \cdot [v_1(p) - v_m(p)],$$

$$\mu_{y2}(p) = \frac{T_{d2}p + 1}{T_{c2}p} \cdot [v_2(p) - v_m(p)],$$

где  $i_{n1}$ ,  $i_{n2}$ ,  $v_1$ ,  $v_2$ ,  $T_{m1}$ ,  $T_{m2}$  — токи, скорости и механические постоянные времени электродвигателей;  $\mu_{y1}$ ,  $\mu_{y2}$  — упругие моменты, передаваемые от двигателя к секции;  $v_m$ ,  $\mu_m$ ,  $T_{mm}$  — скорость, момент сопротивления и механическая постоянная времени механизма;  $T_{c1}$ ,  $T_{c2}$ ,  $T_{d1}$ ,  $T_{d2}$  — постоянные времени, отражающие упругие и демпфирующие свойства механических передач;  $k_{n1}$ ,  $k_{n2}$  — коэффициенты распределения нагрузок двигателей по моменту.

Используя передаточные функции типовых звеньев, входящих в схему рис. 1 из [1], и уравнения (1), можно получить полную НСС двухдвигательного электропривода пресса БМ, учитывающую упругие

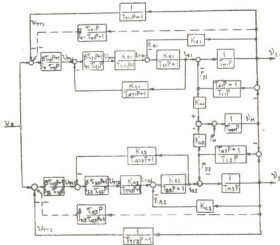


Рис. 2. Нормированная структурная схема двухдвигательного электропривода.  $U_r$ ,  $U_{r1,2}$ ,  $U_{d1,2}$ ,  $U_{TG1,2}$ ,  $U_{TG1,2}$  — напряжение на входе системы и на выходах РС, РТ, ДТ и ТГ;  $\epsilon_{TPI,2}$ ,  $\epsilon_{d1,2}$  — ЭДС ТП и противо-ЭДС электродвигателей;  $\tau_{n1,2}$ ,  $\beta_{n1,2}$  — постоянные времени и «динамические» коэффициенты усиления корректирующих звеньев

свойства механических передач. Представленная на рис. 2 НСС является многосвязной, с симметричными перекрестными и обратными связями.

Рекомендации по настройке РТ, РС и корректирующих связей. В приводах БМ широкое применение находится настройка токового контура на «скорректированный» оптимум [1]. При этом параметры пропорционально-интегрального (ПИ) РТ выбираются в соответствии с условиями

$$\tau_{2m} = T_{sm}, \quad \beta_{2m} = \frac{T_{sm}}{k_{sm} k_{am} k_{1m} T_{\Sigma 2m}}, \quad (2)$$

где  $T_{\Sigma 2m} = T_{sm} + T_{am}$  — малая постоянная времени токового контура.

Исследования показали, что для двухдвигательного секционного электропривода БМ переходные процессы в сепаратных каналах можно рассматривать независимо друг от друга. Указанное обстоятельство следует из соотношения моментов инерции секции ( $J_m$ ) и двигателей ( $J_1, J_2$ ).

$$\left( \frac{J_1}{J_m}, \frac{J_2}{J_m} \right) \leq 0,1. \quad (3)$$

Таким образом, рассматриваемая АСР электропривода БМ при значительных моментах инерции секции распадается на две независимые АСР, механическая часть же привода — на две двухмассовые системы с частотами свободных упругих колебаний:

$$\omega_{y1} = \frac{1}{\sqrt{T_{m1} \cdot T_{c1}}}, \quad \omega_{y2} = \frac{1}{\sqrt{T_{m2} \cdot T_{c2}}}. \quad (4)$$

Согласно исследованиям, проведенным на АВМ, коррекция (гибкая обратная связь по первой производной скорости двигателя, показанная на рис. 2 пунктирными линиями) обеспечивает более стабильную работу электропривода при изменении параметров системы. Передаточная функция корректирующей связи имеет вид

$$W_{km}(p) = \beta_{km} \cdot \frac{\tau_{km} p}{\tau_{km} p + 1}. \quad (5)$$

Параметры ее рекомендуются выбирать из условий

$$\tau_{km} = \frac{1}{\omega_{ym}}, \quad \beta_{km} = 0,5 \cdot \sqrt{q_m} \cdot (T_{mm} + T_{mm}) \cdot \hat{\delta}_c \cdot \omega_{ym}, \quad (6)$$

где  $\hat{\delta}_c = \frac{\Delta \omega_c}{\omega_c}$  — относительное изменение скорости двигателя в разомкнутой системе при изменении  $p_m$  от 0 до 1;  $q_m = \frac{T_{mm}}{T_{mm}}$ .

При выборе параметров РС следует стремиться к оптимальному подавлению электроприводом упругих колебаний и наименьшей интегральной ошибке системы при возмущающем воздействии. Это может быть осуществлено «скорректированным» ПИ РС, имеющим передаточную функцию

$$W_{pcm} = \beta_{1m} \cdot \frac{\tau_{1m} p + 1}{\tau_{1m} p \cdot (\tau'_{1m} p + 1)}, \quad (7)$$

что достигается включением на выходе ПИ-регулятора апериодического фильтра. Параметры РС выбираются согласно условиям

$$\tau_{1m} = \frac{4}{\sqrt{q_m \cdot \omega_{ym}}}, \quad \tau'_{1m} = \frac{2}{\omega_{ym}}, \quad \beta_{1m} = \frac{1}{q_m \omega_{ym} T_{\Sigma 1m}}, \quad (8)$$

где  $T_{z1m} = T_{z2m} + T_{trm} + \tau'_{1m}$  — малая постоянная времени контура скорости.

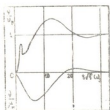


Рис. 3. Кривые переходных процессов скорости электродвигателей

Кривые переходных процессов скорости двигателей, полученные на АВМ при единичных управляющем ( $v_y$ ) и возмущающем ( $\rho_m$ ) воздействиях, показаны на рис. 3. Общий вид кривых близок к динамическим характеристикам «симметричного оптимума».

Грузинский политехнический институт  
им. В. И. Ленина

(Поступило 26.12.1975)

© 1977, Издательство «Наука»

Х. ДОЧВИРИ

Кафедра автоматики и вычислительной техники Тбилисского государственного университета им. И. Канакидзе, кафедра математической кибернетики Тбилисского государственного университета им. И. Чавчавадзе, кафедра машиностроения Тбилисского государственного университета им. И. Чавчавадзе

Согласовано в Тбилисском государственном университете 15.03.1977 г.  
Согласовано в Тбилисском государственном университете 15.03.1977 г.  
Согласовано в Тбилисском государственном университете 15.03.1977 г.

ELECTROTECHNICS

J. N. DOCHVIRI

## CONSTRUCTION AND OPTIMIZATION OF THE DYNAMICS OF THE AUTOMATIC CONTROL SYSTEM OF TWIN-ENGINED SECTIONAL ELECTRIC DRIVE OF A PAPER MACHINE WITH ELASTIC MECHANICAL TRANSMISSION

*Summary*

The article discusses problems of automatic control system construction and optimization of transitive processes of the systems for twin-engined sectional thyristor electric drive of a paper machine when elastic joints of the mechanical parts of the drive are taken into account. A structural scheme is given. Formulas are presented for rational selection of current and speed regulator parameters.

### ЛІТЕРАТУРА — REFERENCES

1. В. Д. Барышников, В. М. Шестаков, В. П. Аполенский. Электричество, № 6, 1975.



## ЛЕСОВОДСТВО

Э. Д. ЛОБЖАНИДЗЕ, М. А. САНИКИДЗЕ

### ОСОБЕННОСТИ АНАТОМИЧЕСКОЙ СТРУКТУРЫ ДРЕВЕСИНЫ ЕЛИ ВОСТОЧНОЙ (*PICEA ORIENTALIS* LINK.) ПО ВОЗРАСТАМ И ЯРУСАМ ДРЕВОСТОЯ

(Представлено академиком В. З. Гулисашвили 17.10.1975)

Изучение строения и физико-механических свойств древесины в связи с условиями произрастания имеет большое значение как для деревообрабатывающей и бумажной промышленности, так и для лесного хозяйства. Согласно микроскопическому количественному анализу строения и технических свойств древесины, проведенному В. Е. Вихровым [1], среда в каждом отдельном случае влияет на строение древесины, главным образом на величину прироста, размеры анатомических элементов и объемное соотношение тканей.

Результаты, полученные А. В. Савиной [2], Т. А. Мелеховой [3] и другими авторами, почти совпадают с данными Э. Д. Лобжанидзе [4] в отношении радиального роста и формирования анатомической структуры древесины хвойных в связи с условиями произрастания.

Анатомическое строение древесины ели восточной в горных лесах по возрастам и ярусам древостоя до настоящего времени не исследовалось.

Данный вопрос изучен нами в разноярусном и разновозрастном еловом древостое Боржомского ущелья (Боржомский лесхоз, кв. 8, литер 14).

Приводим лесоводственно-таксационную характеристику пробной площади: тип леса — *Piceetum festucosum*, состав древостоя — 10 елей, возраст — 80—120 лет, полнота и сомкнутость древостоя — 0,6, бонитет — III—IV, экспозиция склона — северо-западная, уклон — 25—30°, высота н. у. м. — 920 м, средняя высота деревьев верхнего яруса — 18,0 м, среднего яруса — 15,0 м, нижнего яруса — 10,0 м, подроста — 2,0 м, средний диаметр у деревьев верхнего яруса — 26—40 см, среднего яруса — 21—31 см, нижнего яруса — 10—16 см, у подроста — от 6 до 10 см, количество деревьев на 1 га в верхнем ярусе — 260 шт., в среднем — 110 шт., в нижнем — 70 шт., количество подроста — 500 шт., всего на 1 га — 940 шт., запас на 1 га — 200 м<sup>3</sup>.

Анатомическое исследование древесины проведено методом А. А. Яценко-Хмелевского [5].

Из показателей анатомической структуры древесины ели по ярусам нами микроскопически исследованы изменение ширины годичных колец, процентное содержание поздней древесины, длина трахеид и толщина их стенок. Установлено, что в последовательном ряду ярусов от I к III ширина годичных колец древесины ели уменьшается (2,7; 11. „მთამდე“, ტ. 82, № 1, 1976).

1,5 и 1,1 мм), а содержание поздней древесины, наоборот, в каждом ярусе возрастает на 5% (табл. 1, рис. 1).

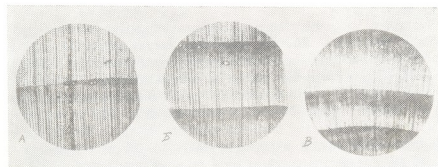
Таблица 1

Изменение средней ширины годичных колец древесины и процентного состава поздней древесины ели восточной по возрастам и ярусам  
(над чертой—ширина годичных колец (мм), под чертой—% поздней древесины)

Ярус	Возраст деревьев в годах									Среднее
	0—10	10—20	20—30	30—40	40—50	50—60	60—70	70—80	80—90	
I	1,9 16	2,0 18	2,2 20	2,9 20	3,3 20	3,0 28	4,0 30	3,2 20	2,2 20	2,7 20
II	1,2 20	1,3 20	1,5 20	1,5 24	1,5 28	1,5 28	1,7 32	1,9 25	1,5 25	1,5 25
III	1,0 30	1,0 30	1,1 30	1,2 34	1,2 35	1,2 35	1,4 32	1,2 30	—	1,1 30

Трахеиды в древесине хвойных пород занимают свыше 90% общего объема, поэтому исследование длины трахеид и толщины их стенок имеет большое значение при изучении физико-механических свойств древесины по ярусам.

Для установления длины ранних и поздних трахеид ели было проведено несколько сотен измерений. Результаты исследований обрабатывались методом вариационной статистики при помощи ЭВМ «Наира». Из данных табл. 2 видно, что по ярусам длина ранних и поздних трахеид ели колеблется незначительно и составляет в среднем для ранних трахеид 2,2 мм, а для поздних — 2,7 мм. Максимальная длина трахеид наблюдается в возрасте 50—60 лет.



Рисч 1. Анатомическая структура годичных колец древесины ели восточной I (A), II (Б) и III (В) ярусов. Поперечные срезы. Ув. 16×

Данные табл. 3 показывают, что толщина стенок ранних трахеид ели по ярусам не меняется и для деревьев всех ярусов в среднем составляет 2,8 мк, тогда как толщина стенок поздних трахеид колеблется и у деревьев ели I яруса составляет 5,3 мк, II — 6,0 мк, а III — 5,8 мк.

Следует отметить также, что длина трахеид и толщина их стенок увеличиваются в основном до возраста 60 лет, после чего эти величины

Таблица 2

Длина ранних и поздних трахеид (мм) ели восточной в разноярусном древостое

Ярус	Часть годичного слоя	Число наблюдений	Среднеарифметическое значение $\pm$	Среднеквадратическое отклонение	Коэффициент вариаций	Точность опыта	Достоверность вывода
I	Ранняя	174	2,08 $\pm$ 0,03	0,41	19,7	1,49	69 > 3
	Поздняя	216	2,6 $\pm$ 0,03	0,55	21,2	1,44	69 > 3
II	Ранняя	153	2,2 $\pm$ 0,03	0,39	17,6	1,4	70 > 3
	Поздняя	154	2,7 $\pm$ 0,03	0,39	14,0	1,14	88 > 3
III	Ранняя	188	2,3 $\pm$ 0,03	0,47	20,6	1,5	67 > 3
	Поздняя	165	2,8 $\pm$ 0,03	0,39	14,0	1,07	90 > 3

вновь уменьшаются (табл. 3). Кроме того, с уменьшением ширины годичных колец древесины от I яруса к III наблюдается сравнительное увеличение длины трахеид.

Таблица 3

Изменение толщины стенок трахеид (мк) в ранней и поздней древесине ели восточной по возрастам и ярусам

Ярус	Трахеиды	Возраст деревьев в годах										Среднее
		0—10	10—20	20—30	30—40	40—50	50—60	60—70	70—80	80—90		
I	Ранняя	2,5	2,5	2,6	3,0	3,0	3,2	3,0	2,9	2,9	2,8	2,8
	Поздняя	5,0	5,0	5,2	5,5	5,8	5,8	5,4	5,0	5,0	5,3	
II	Ранняя	2,5	2,6	2,6	2,9	3,0	3,2	3,4	2,9	3,6	2,8	2,8
	Поздняя	4,8	5,0	5,4	6,0	6,7	7,0	6,7	5,8	5,8	6,0	
III	Ранняя	2,6	2,8	2,9	2,9	2,9	2,9	2,9	2,9	—	2,8	2,8
	Поздняя	5,0	5,4	5,8	6,0	6,4	6,4	6,0	5,8	—	5,8	

Таким образом, с переходом от I яруса к III с уменьшением ширины годичных колец древесины возрастает содержание поздней древесины и увеличиваются длина трахеид и толщина их стенок, что повышает технические свойства древесины ели восточной.

Тбилисский институт леса

(Поступило 26.12.1975)

## 0. ლოგოტანიძე, გ. სანიკიძე

აღმოსავლეთის ხაძვის (*PICEA ORIENTALIS* LINK.) მოწნის  
ანაზოგოური სტრუქტურის თავისებურებას ხს ხეოვანისა  
და კორომის სართულიანობის მიხედვით

## რეზიუმე

კვლევა ჩატარდა ბორჯომის ზეობაში №. დ. 920 მ სიმაღლეზე. დაღვენის ლია, რომ ნაირხნოვან ნაძვნარ კორომებში (80—120 წელი) ნაძვის მერქნის წლიური რგოლების სივანი I იარუსიდან III-კენ მცირდება (2,7, 1,5 და 1,1 მმ), ხოლო გვიანა მერქნის პროცენტული რაოდენობა პირიქით, თითოეულ იარუსში 5%-ით იზრდება. ტრაქეიდების საშუალო სიგრძე და კედლის სისქე იარუსში 5%-ით იზრდება. ტრაქეიდების საშუალო სიგრძე და კედლის სისქე უმნიშვნელოდ ცვალებადობს. კერძოდ, აღრეულა ტრაქეიდების საშუალო სიგრძეა 2,2 მმ, გვიანასი — 2,7 მმ. აღრეულა ტრაქეიდების კედლის სისქე სამივე იარუსის ნაძვის მერქნისათვის შეაღენს საშუალოდ 2,8 მმ, ხოლო გვიანასი I იარუსისათვის — 5,3 მმ, II — 6,0 მმ და III — 5,8 მმ.

## FORESTRY

E. D. LOBZHANIDZE, M. A. SANIKIDZE

THE PECULIARITIES OF THE ANATOMICAL STRUCTURE OF THE WOOD OF *PICEA ORIENTALIS* ACCORDING TO THE TREE AGE AND STOREYS OF FOREST STAND

## Summary

A study of the anatomical structure of fir wood was carried out in Borjomi district at the altitude of 920 m a. s. l.

In different-aged (80—120) fir stands the width of annual rings was found to decrease from storey I to storey III (0.7; 1.5. and 1.1 mm respectively). But the percentage of secondary xylem increases up to 5% in each storey. The average length and the thickness of tracheids changes insignificantly, e. g. the average length of tracheids of primary xylem equals 2.2 mm and of secondary xylem 2.7 mm. The thickness of tracheids of primary xylem for the three storeys is 2.8  $\mu$ , on the average, but for secondary xylem in storey I amounts to 5.3  $\mu$ , storey II 6.0  $\mu$  and storey III 5.8  $\mu$ .

## ლიტერატურა — ЛИТЕРАТУРА — REFERENCES

1. В. Е. Вихров. Строение и физико-механические свойства древесины дуба. М., 1954.
2. А. В. Савина. Физиологическое обоснование рубок ухода. М.—Л., 1956.
3. Т. А. Мелехова. Лесной ж., 4, 1961.
4. Э. Д. Лобжанидзе. Сообщения АН ГССР, 58, № 1, 1970.
5. А. А. Яценко-Хмелевский. Основы и методы анатомического исследования древесины. М.—Л., 1954.

გ. ზამთარაძე

ფილებაგარას (*SIBBALDIA* L.) სახიობათა თესლის მორფოლოგიის და  
აღმოცვების პროცესის შედეგისათვის

(წარმოდგენი აკადემიუმა ვ. გელისაშვილი 4.10.1975)

მცენარის თესლის მორფოლოგიის და აღმოცენების პროცესების შესწავლას განსაკუთრებული მეცნიერული მნიშვნელობა აქვს. ცალკეული ტაქსონების (სახეობების, გვარების და ოჯახების) გარკვევისათვის. ამავე დროს თესლის აღმოცენების პროცესების თავისებურებათა დადგენა და შეცნობა საშუალებას იძლევა ესა თუ ის ველური მცენარე დაინერგოს კულტურაში, აადვილებს არასასურველი სარტველა მცენარეების წინააღმდეგ ბრძოლას. ამ მხრივ ველური მცენარეები ჩევნში თითქმის შეუსწავლელია.

ჩვენ მრავალი წლის განმავლობაში ვატარებდით მაღალმთის საძოვრების გებოტანიკურ გამოკვლევებს. ამ სამუშაოთა პროცესში შევიწავლეთ სუბალპური და ალპური საძოვრების ბალანსაფარის ერთ-ერთი წამყვანი გვარი, განსაკუთრებით გავრცელებულ ცხვრის საძოვრებზე, სახელდობრ, ფესვმაგარა — *Sibbaldia* L. როგორც საქართველოში, ისე კავკასიაში ამ გვარის ორი სახეობა გვხვდება: *Sibbaldia semiglabra* CAM და *Sibbaldia parviflora* Willd.

თესლის მორფოლოგიის შესწავლის დროს ყურადღება ექცევოდა მის კონსტანტურ ნიშან-თვისებებს. ისინი შეტად მცირე ცვალებადობით ხსნიათვებიან შევეთრად განსხვავებულ ეკოლოგიურ პირობებშიც, რაც ხშირად ვერტიკალური ზონალობის შედეგია. ასეთი ნიშან-თვისებებია: თესლის ფორმა, მისი ზედაპირის თავისებურება და შეფერვა.

პირველი ორი ნიშან-თვისება უდავოდ ფილოგენეტური წარმოშობისა და მეტად კონსტანტური. რაც შეეხება თესლის შეფერვას, აქ ადგილი აქვს ერთგვარ ცვალებადობას, როგორც ხშირად დამზადისათებელია ფესვმაგარას ზოგიერთი ეკოტიპისათვის.

თესლები მორფოლოგიურად აღწერეთ ვ. დობროსტოვის მეთოდით [1], შეფერვა კი განსაზღვრეთ ა. ბონდარცევის ფერთა შეკლით [2].

როგორც მორფოლოგიური აღწერილობით გამოიკვა, ფესვმაგარას ორივე სახეობის (*S. semiglabra*, *S. parviflora*) თესლები შეშველია, კვერცხისებური ფორმისაა, პრიალა ზედაპირით. განსხვავება იმაშია, რომ *S. semiglabra*-ს თესლი პატარა და მუქმწვანე-მოყვითალო ფერისაა, *S. parviflora*-ს თესლი კი უფრო დიდია, მერთალი მურა შეფერვით.

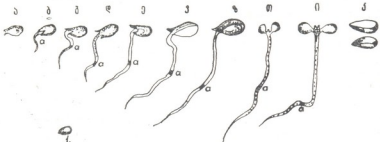
გარდა ზემოაღნიშნულისა, ფესვმაგარას სახეობები ურთიერთისაგან თესლის პროდუქტიულობით განსხვავდებიან. მაგალითად: *S. parviflora* გაცილებით მეტი ნაყოფმსხმოარეა, ვიდრე *S. semiglabra*. ეს გამოწვეულია ბუნებრივ-ეკოლოგიური პირობებით, სავეგეტაციო პერიოდის სიმოკლით, რომლის გამო *S. semiglabra*-ს ყველა თესლი ვერ აწერებს დამწიფებას. *S. parviflora*-ს ნაყოფებში 3—8 თესლი ვითარდება, *S. semiglabra* კი შედარებით მცირე რაოდენობის (3—5) თესლს ინვითარებს. ორივე სახეობის თესლს მომრგვალო ფუძე აქვს და კონუსისებრ წაწვეტებული წვერი. თესლი ნაყოფში

მომრგვალო ბოლოთი ზის ყუნწეული ანუ თესლფეხზე. ფესვმაგარას თესლი აღმოცენების უნარს 3-დან 5 წლამდე ითარჩინებს. გრუნტში აღმოცენება პირილიდან დაწყებული იყლისამდე გრძელდება, რაც გარემო პირობების, თესლის მომწიფებისა და სხვა კოლოგიურ-ფიზიოლოგიურ პროცესებთან უნდა იყოს დაკავშირდებული [3].

ფესვმაგარას სახეობათა ნაყოფები გარედან დაფარულია ჯამის ფოთოლა-კებით, მაგრამ ისინი ენდოკარდიუმზე მტკიცედ არ არის შეზრდილი, ადვილად სცილდება მას, რაც ხელს უწყობს შეცარის გაერტყელებას თესლის განვევის საშუალებით. მომწიფებულ თესლს აქვს ჩამოყალიბებული ჩანასახი (*Embryo*), სამარავო საკვები ნივთიერებებით. თესლი გარედან დაფარულია კანით (*Testa*).

ფესვმაგარას ჩამოყალიბებულ ჩანასახში კარგადაა გამოსახული ლებნები (*Cotyledones*). ჩანასახში შეიმჩნევა აგრეთვე ღერო ლებნებევეშა მუხლით ანუ პიპოკოტილე (*Hypocotyles*). ჩანასახს განვითარების დასაწყისშივე აქვს მწვანე შეფერვა და უნარი აშარმოს დამოუკიდებელი ფოტოსინთეზი, მაგრამ იგი ჰეტეროტროფიულია, რადგან იკვებება დედა ორგანიზმის ხარჯზე (სურ. 1).

ფესვმაგარას თესლის გაღივებისათვის 8—12 დღეა საჭირო, აღმოცენებისათვის — სამი დღე, აღმოცენდება +15—18° ტემპერატურაზე ნიადაგის საკმაო ტენინონბისას. შედარებით უფრო ხნევალი და მეტი ტენის საჭიროებს *S. semiglabra* თესლის გაღივებისა და ღერო-ფესვის განვითარებისათვის ტენის დიდი რაოდენობაა საჭირო. წყლით გაეღლენთილი თესლი მოცულობაში ორგერ და უფრო მეტად მატულობს.



სურ. 1. თესლის გაღივებისა და აღმოცენების პროცესი პარობითი ნიშნები:

1. წყელდებრივი თესლი,  $\times 10$

2. წყლით გაეღლენთილი თესლი,  $\times 15$  თესლის გარე კანი ისტნება წვერისაკვენ.

3. გაღივებული თესლი მოყლე ფესვით, ერთი დღის ნაზარით  $\times 20$

4. გაღივებული თესლი მოყლე ფესვით, ერთი დღის ნაზარით  $\times 20$

5. აღმონაცენი, 1 დღის  $\times 5$

6. აღმონაცენი, 2 დღის  $\times 2$

7. აღმონაცენი, 4 დღის  $\times 1,5$

8. აღმონაცენი, 6 დღის  $\times 3$

9. აღმონაცენი, 7 დღის  $\times 3$

10. აღმონაცენი ლეპენებით და პარველი ფოთლების დასაწყისი.

ა. ფესვის ფელი. აქვს წითელი ფერი.

ფესვმაგარას თესლის გაღივებისა და აღმოცენების პროცესი საერთოდ რთულია. შესაფერის პირობებში მოხვედრილი თესლი (წყალი, სითბო, ჰერი, ნაწილობრივ სინათლე) იწყებს გაღივებას. თესლი ისტნება წვერში და იქნებან გამოდის ფესვი წაწვერებული წვერით (სურ. 1 ბ). თავდაპირველად ჩანასახი-



დან ზრდას იწყებს ფესვი, რომელიც დასაწყისს აძლევს მთავარ ფესვს. შემდეგ ჩანასახიდან ამოიზრდება პიპოკოტილე ლებნებით, ის კი დასაწყისს აძლევს მთავარ ღეროს. ამოწევისას პიპოკოტილეს თან ამოაქვს სინათლეზე ლებნები (სურ. 1 თ). ორი დღის ფესვი ლათინური S ასოს მსგავსია (სურ. 1 გ). ფესვს თან ახლავს გამსხვილება — ფესვის ყელი — *Collum* (სურ. 1), რომელიც წითლად არის შეფერილი. ზრდის ორი წერტილის არსებობის პირობებში ჩანასახის ფესვი და ღერო დასაწყისს აძლევენ მთავარ ფესვს და მთავარ ღეროს, რაც მიგვანიშნებს ფესვმაგარას თესლის ჩანასახის ორპოლუსიანობაზე — სხვადასხვა ორგანოების ერთდროულად ორი საწინააღმდეგო მიმართულებით განვითარების უნარზე.

ფესვს პირველ ხანებში დატოტვა არ ემჩნევა, აღმონაცენის ღეროს ნაშილი ლებნებიანად ქვემოთად დახრილი და ასე მოხრილ ღეროს მიწის ზედაპირზე ამოაქვს ლებნები, რომელიც ჰერ კილევ დაფარულია თესლის კანით (სურ. 1 გ). ამ ღროს თესლის გარე კანი წვერთან, საიდანაც ფესვია გამოსული, ღრმად არის გასსნილი (სურ. 1 ზ). შემდეგ თესლის გარე კანი მთლიანად ისსნება შუაზე და სცილდება ლებნებს (სურ. 1 თ). ლებნებზე რჩება მოთეთრო ფერის შრე (სურ. 1 ი). შემდეგ ისიც მაღლ ქრება.

ლებნების ზრდის დამთავრების შემდეგ ზრდის კონუსს წვერილან ამოიზრდება პირველი ფოთოლი. *S. parviflora*-ს აღმონაცენში ამ პირველ ფოთოლს შებუსვა მაშინვე ემჩნევა (სურ. 1 ი). *Sibbaldia* L.-ს ორივე სახეობის როგორც ლებნები, ისე პირველი ფოთლები დასაწყისში მოთეთრო-მოყვითალო ფერისაა, ორი დღის შემდეგ კი მწვანდება. პირველი და მეორე ფოთოლი ერთფუთოლაქიანია. ფესვმაგარას ფოთლებისათვის დამახასიათებელი კბილაკები ვითარდება ფოთლის ნაკეცების გასწორების შემდეგ, რაც ჩვეულებრივ მეხუთე დღეს ხდება. აქედან გამომდინარე *Sibbaldia* L.-ს სახეობათა ონტოგენეზური განვითარების ფაზების შესწავლა გვეხმარება მისი ფილოგენიის უკეთ შეცნობის საქმეში.

საქართველოს სსრ მეცნიერებათა აკადემია  
ბორტანიკის ინსტიტუტი

(შემოვიდა 3.10.1975)

## БОТАНИКА

Г. К. ЗАМТАРАДЗЕ

### К ИЗУЧЕНИЮ МОРФОЛОГИИ И ПРОЦЕССОВ ПРОРАСТАНИЯ СЕМЯН РОДА *SIBBALDIA* L.

#### Резюме

Рассматриваются вопросы морфологии и процессов прорастания семян двух видов рода *Sibbaldia* L. одного из важнейших кормовых растений, произрастающих на высокогорных пастбищах Кавказа.

G. K. ZAMTARADZE

## TOWARD THE STUDY OF THE MORPHOLOGY AND GERMINATION PROCESSES OF THE SEEDS OF THE GENUS *SIBBALDIA* L.

### Summary

The paper deals with the morphology and germination processes of the seeds of two species of the genus *Sibbaldia* L.—one of the most important fodder plants growing on the high mountain pastures of the Caucasus.

### ლიტერატურა — REFERENCES

1. В. Н. Доброхатов. Семена сорных растений. М., 1961.
2. А. С. Бондарцев. Шкала цветов. Л., 1934.
3. И. Г. Серебряков. Морфология вегетативных органов высших растений. М., 1952.



განერიკა და მაღავია

მ. ავამაძე

ჯიჯაპის (*CAPSICUM ANNUUM L.*) ზოგიერთი რაოდენობითი  
ნიშნის მაგვიდრულობის შესახებ

(წარმოადგინა აკადემიკოს ვლ. მენაბედ 17.12.1975)

წიწავის ნაყოფის სიცხარეს იწვევს ალკალიდი კაპსაიცინი. იგი მხოლოდ  
ამ მცენარის ნაყოფისთვისაა დამახასიათებელი.

კაპსაიცინი პრაქტიკაში დიდად გამოიყენება და ამიტომ მეტად მნიშვნელოვანია  
მისი შემცველობის მექანიზმების შესწავლა, მისი პრაქტიკულ  
სელექციაში გამოიყენების თვალსაზრისით.

ჩვენ კაპსაიცინის გენეტიკა წიწავის ამ ნიშნით მკვეთრად განსხვავებულ  
ჯიშებსა (ზ ბულგარული  $\times$  ძ მრგვალნაყოფა) და მათ ჰიბრიდულ პოპულაციებში ( $F_1$ ,  $F_2$ ,  $F_3$ ) შევისწავლეთ, ხოლო ამ ნივთიერების ოდენობის განსაზღვრას ვაწარმოებდით ჩვენს მიერ შემუშავებული ფოტოელექტროკოლორი-  
მეტრული მეთოდით [1].

ექსპერიმენტული გამოკვლევების შედეგებმა გვიჩვენა, რომ შესწავლილი  
ნიშნის მემკვიდრეობა კანონმდებრია.

პირველი ჰიბრიდული თაობა კაპსაიცინის შემცველობით შუალედურია  
(0,0345—0,08 მგ%), ვინაიდან ცხარენაყოფა შშობელი 0,0895 მგ% კაპსაიცინს  
შეიცავს, ხოლო მეორე შშობელი პრაქტიკულად მოკლებულია ამ ნივთიერებას.

ლოტერატურული მონაცემების მიხედვით პირველ თაობაში კაპსაიცინის  
ლომინანტური შემცველებრივია [2, 3], რაც ჩვენ არ შეგვაჩნია სარწმუნოდ კაპ-  
საიცინის ოდენობრივი შემცველობის მხოლოდ ორგანოლექტიკურად განსაზღვრის გამო.

ჩვენს ცდაში პირველი თაობის ჰიბრიდები, მართლია, გემოს მიხედვით  
ყველა ცხარეა, რამდენადაც ამისათვის კაპსაიცინის, სულ მცრავ თდენობაც  
საკმარისია, მაგრამ ამ ნივთიერების ზუსტი თდენობრივი განსაზღვრის საფუძველშე ისინი შშობლებს შორის შუალედური არიან, რადგან მეტ კაპსაიცინს  
შეიცავენ, ვიდრე ტებილნაყოფა და ნაკლებს, ვიდრე ცხარენაყოფა შშობლები.

მეორე თაობაში დათშვა ხდება როგორც კაპსაიცინის შემცველობის, ისე  
ნაყოფის სხვა მორტოლოგიური ნიშნების მიხედვით. შიღებულ ბიოტიპთა შორის უფრო ცხარენაყოფაზენი აღმოჩნდნენ ას ჰიბრიდები, რომლებიც ნაყოფის  
ფორმის და ზომის მიხედვით მრგვალნაყოფა შშობლასკენ იხრებიან ან თითქმის მისი მსგავსი არიან, შუალედური, მრგვალნაყოფასკენ გარდამავალი  
და მრგვალნაყოფა (იხ. ცხრილი).

დათშვა მესამე თაობაში თითქმის ისეთივე ხასიათისაა როგორც მეორე-  
ში. აქაც კაპსაიცინის შემცველობისა და მორტოლოგიური ნიშნების მიხედვით  
მივიღეთ შშობლებს შორის გარდამავალ ბიოტიპთა მთელი მწერივი, რომელიც  
კაპსაიცინის ოდენობრივი შემცველობის მიხედვით შეიძლება სამ ძირითად  
ჯგუფად დაყყოთ: 1) ტებილნაყოფა ფორმები (კაპსაიცინს კვალის სახით შეი-  
ცავენ), 2) შუალედური ბიოტიპები (0,007—0,05 მგ%) და 3) ცხარენაყოფიანი  
ფორმები (0,051—0,089 მგ%). როგორც ცხრილიდას ჩანს, კაპსაიცინის მაღალი

შემცველობით ხასიათდებიან წერილნაყოფა მშობლისკენ გადახრილი შემცველებელი და მრგვალნაყოფასკენ გარდამავალი და ტიპიური მრგვალნაყოფა ბიოტიპები.

კაპსაიცინის ოფენბერგი შემცველაბა პიბრილულ პოპულაციებში  
(გ ბულგარული  $\times$  ძმრგვალნაყოფა)

კ ა პ ს ი ი ც ი ნ ი, მგ %

შშობლები		ჰ ი ბ რ ი დ ე ბ ი						
გ ბ უ ლ გ ა -	ჭ კ ვ ე ლ ი დ ე ბ ი	ბ უ ლ გ ა -	ბ უ ლ გ ა რ უ -	შ ე ა ღ ე -	მ რ გ ვ ა ლ ნ ა -	მ რ გ ვ ა ლ ნ ა -	პ ა მ ი დ ი რ ი -	გ რ ძ ე ლ -
რ უ ლ ი	რ ი ტ ი	რ უ ლ ი	ლ ი ს კ ე ნ	დ უ რ ი	გ ბ რ დ ა მ ა -	გ ა ღ ე ბ ი	ს ე ბ რ ი	ნ ა ყ ფ ა
lim	კ ვ ა ღ ა 0,0895	0,0215— —0,0227	0,0220— —0,0347	0,0330— —0,0650	0,0680— —0,0750	0,0680— —0,1021	0,0462— —0,0585	
m		0,0222	0,0273	0,0460	0,0715	0,0914	0,0523	0,0661
lim		0,0070— —0,0109	0,0112— —0,0325	0,0341— —0,0500	0,0462— —0,0579	0,0607— —0,0890	0,0372— —0,0515	0,040— —0,051
m		0,0094	0,0205	0,0810	0,0515	0,1421	0,0499	0,0461

ამრიცად, კაპსაიცინის და მასთან დაკავშირებით წიწაკის ნაყოფის ზოგიერთი მორფოლოგიური ნიშნის მემკვიდრულობს შესწავლის შედეგად იწყვევა, რომ შესწავლილი ნაჯვარის (გ ბულგარული  $\times$  ძმრგვალნაყოფა) პირველი თაობა შეალებულია, ხოლო მომდევნო (F<sub>2</sub>, F<sub>3</sub>) პიბრილულ თაობებში გარდამავალ ბიოტიპთა უწყვეტი რიგი მიიღება, რომელთა ცვალებადობის დაიპაზინი შშობლების საზღვრებს აჩ სცილდება. ზემოაღნიშეული იმის მაჩვენებელია, რომ შესწავლილი ნიშნები (კაპსაიცინის შემცველობა, ნაყოფის ზომა) თაღენობრივი ნიშნებია და მათ მემკვიდრულობას მრავალი გენი განსაზღვრავს. ურთიერთობები უწყვეტი გენთა რიცხობრივი ზრდა მომდევნო თაობებში (F<sub>2</sub>, F<sub>3</sub>) ქმნის შშობლებს შორის გარდამავალ, გენორიციურად განსხვავებულ ბიოტიპთა უწყვეტ მუკრივებს.

გაუმჯობესებული მეთოდიების გამოყენებამ საშუალება მოგვცა დაგვეღვინა, რომ ცდაში მონაწილე წიწაკის საწყისი ჯიშები, მათ შორის ტბილნებული ფაც (ბულგარული), შეიცავს კაპსაიცინს (თუნდაც სრულიად უმნიშვნელო რღენობით), რაც იმის მაჩვენებელია, რომ ამ მცენარეს ონთოვენეზში ისეთი ბიოქიმიური სისტემა გააჩნია, რომელსაც შეუძლია ამ ალკალინიდის შექმნაც და მისი ცალებადობის უზრუნველყოფის, რაღაც კაპსაიცინის შემცველობა წიწაკის ჯიშებში კვალიდან მას მაღალ შემცველობამდე ცვალებადობს.

საქართველოს სსრ მეცნიერებათა აკადემია

ბოტანიკის ინსტიტუტი

(შემოვიდა 19.12.1975)

## ГЕНЕТИКА И СЕЛЕКЦИЯ

М. Б. КВАЧАДЗЕ

### О НАСЛЕДСТВЕННОСТИ НЕКОТОРЫХ КОЛИЧЕСТВЕННЫХ ПРИЗНАКОВ ПЕРЦА (*CAPSICUM ANNUUM L.*)

Резюме

В результате изучения генетики капсаицина и связанных с ним некоторых морфологических признаков плода в гибридных популя-

циях ( $F_1$ ,  $F_2$ ,  $F_3$ ) сортов перца ( $\text{♀}$  болгарский  $\times$   $\text{♂}$  круглоплодный), резко различающихся по содержанию капсацина, а также по форме и величине плода, выясняется, что первое гибридное поколение по исследованным признакам — промежуточное в отношении родительских форм.

В последующих поколениях ( $F_2$ ,  $F_3$ ) диапазон изменчивости гибридов не выходит за пределы изменчивости их у родительских форм и создает непрерывный ряд переходных форм.

Отмеченное является показателем того, что содержание капсацина и величина плода — количественные признаки и наследуемость каждого из них обусловливается действием многих однозначных генов.

Помимо отмеченного, применение усовершенствованной методики (Квачадзе, Муджири, 1967) позволило установить, что и сладкоплодные сорта перца содержат капсацин, что является показателем того, что в отношении этого растения всегда развивается биохимическая система, способная создавать этот алкалоид и регулировать количество капсацина в тканях плода, так как известны не только сорта перца, содержащие в тканях плода лишь следы капсацина, но и сорта с высоким его содержанием.

#### GENETICS AND SELECTION

M. B. KVACHADZE

#### CONCERNING THE HEREDITY OF SOME QUANTITATIVE SIGNS OF CAPSICUM (*CAPSICUM ANNUUM L.*)

##### Summary

A study of capsaicin genetics and of some related morphological fruit signs in hybrid populations ( $F_1$ ,  $F_2$ ,  $F_3$ ) of *Capsicum* varieties ( $\text{♀}$  Bulgarian  $\times$   $\text{♂}$  round-fruited), sharply distinguishable by their capsaicin content as well as by the fruit form and size, has shown that the first hybrid generation is — in terms of the signs studied — intermediate in relation to the parental forms.

In the subsequent generations ( $F_2$ ,  $F_3$ ) the range of hybrid variability does not go beyond the limits of their variability in parental forms, creating a continuous series of transitional forms. This indicates that capsaicin content and fruit size are quantitative signs and the heritability of each of them results from the action of many identical genes.

In addition, the use of an improved method (Kvachadze, Mujiri) has shown that the sweet-fruited *Capsicum* varieties also contain capsaicin, which serves to indicate that in relation to this plant there invariably develops a biochemical system capable of giving rise to this alkaloid and of regulating

the capsaicin quantity in fruit tissues. For there are known not only Capsicum varieties containing mere traces of capsaicin in the fruit tissues but there also exist varieties with a large content of it.

#### ԾՈՇՈՒԹՅՈՒՆ — ЛИТЕРАТУРА — REFERENCES

1. Յ. ՃՅԵՖԵԳ, յ. ԹՇՔՈՒՆ. Նայ. Անդ Ֆյուն. օյագ. թութելք, Ը. 61, № 1, տեղական, 1971.
2. Հ. Ա. Տոպորնինա. Տруды Ин-та генетики АН СССР, № 30, 1963.
3. Գ. Գ. Բաтиկյան. Խոհ. ԱՆ ԱրմՀՀ, տ. 2, № 5, 1949.



БИОФИЗИКА

Г. П. ГОРДАДЗЕ, О. Т. КЕНИЯ, Т. Я. МИХЕЛАШВИЛИ, Г. И. ДАНЕЛИЯ,  
Г. Р. МАЧАРАШВИЛИ

ИЗУЧЕНИЕ ВОЗМОЖНОСТИ ОПРЕДЕЛЕНИЯ  
МАКРОЭЛЕМЕНТОВ В КОРМАХ С ИСПОЛЬЗОВАНИЕМ  
НЕЙТРОННОГО ГЕНЕРАТОРА

(Представлено членом-корреспондентом Академии М. Д. Рчеулишвили 23.9.1975)

В последнее время в сельскохозяйственной науке появились работы по применению нейтронной активации для анализа минерального состава растений, почв и других объектов с использованием нейтронного генератора [1, 2]. Такой метод дает требуемую точность, высокую экспрессность, легко поддается автоматизации и поэтому позволяет получать высокую производительность.

В настоящей статье изложены полученные нами результаты изучения возможности определения макроэлементов в кормах с использованием нейтронного генератора. Оценка возможности анализа того или иного элемента в кормах при интерферирующих реакциях приобретает большое практическое значение. Согласно [3], корма содержат следующие макроэлементы: Ca, Cl, Mg, K, Si, P, Na, Fe и S. Нами были произведены работы по выбору рациональной ядерной реакции, энергии, идентификации, подходящей аппаратуры и оптимальных временных условий анализа для определения процентного содержания вышеуказанных элементов. Для этой цели использовались разработанный ранее обобщенный критерий [4] и машинная программа выбора оптимального временного режима.

Расчеты были проведены для образцов кукурузного сilosа с массой 3 г и потока быстрых нейтронов  $10^{10}$  нейtron/см<sup>2</sup>сек. Среднее содержание каждого макрокомпонента и среднеквадратичное отклонение были вычислены с использованием данных [3]. Как показали дальнейшие исследования, полученные результаты справедливы и для других видов кормов. Были наложены ограничения (время облучения  $\leq 300$  сек, время задержки  $\leq 1$  сек), вытекающие из условий эксперимента на нейтронном генераторе с пневмопочтой. Было допущено, что с помощью интегрального дискреминатора обрезаются интенсивности мешающих элементов, энергия которых меньше энергии определяемого элемента, а фоновая активность равна 50  $\frac{\text{имп}}{\text{сек}}$ .

Результаты расчетов представлены в таблице. В графах 6, 7 в скобках указаны квантовые выходы в процентах, черточкой снизу подчеркнуты выбранные каналы измерения. В графах 8, 9, 10 приведены выбранные с помощью машины оптимальные времена облучения, задержки после облучения и измерения, дающие минимальную погрешность определения интересующих элементов. Расчеты показали, что с использованием простой измерительной аппаратуры на нейтронном генераторе наиболее точно можно определить процентное содержание

Оптимальные ядерные и временные параметры макролентиков, полученные с помощью машины М-220

Элемент	Средняя концентрация элемента, %	Среднеквадратичная ошибка	Ядерная реакция	Период полураспада	Энергия гамма-квантов, МэВ	Энергия бета-частиц, МэВ	Время облучения, сек	Время задержки, сек	Время измерения, сек
1	2	3	4	5	6	7	8	9	10
Хлор	$0,95 \cdot 10^{-2}$	$0,393 \cdot 10^{-3}$	$\text{Cl}^{37}(\text{n}, \text{p})\text{S}^{37}$	5,01 мин	<u>3,09(90)</u>	$4,7(10)$ $1,6(90)$	58	148	226
Магний	$0,47 \cdot 10^{-2}$	$0,136 \cdot 10^{-3}$	$\text{Mg}^{24}(\text{n}, \text{p})\text{Na}^{24}$	15,05 час	<u>2,75 - 1,37(100)</u>	$1,39(100)$	205	3404	897
Калий	$0,3105 \cdot 10^{-2}$	$0,7809 \cdot 10^{-3}$	$\text{K}^{39}(\text{n}, 2\text{n})\text{K}^{39}$	7,65 мин	<u>2,16(100)</u> <u>0,511(200)</u>	$2,815(100)$	172	674	74
Кремний	$0,142 \cdot 10^{-2}$	$0,27075 \cdot 10^{-3}$	$\text{Si}^{28}(\text{n}, \text{p})\text{Al}^{28}$	2,31 мин	<u>1,78(100)</u>	$2,878(100)$	163	128	35
					$2,43(6)$ <u>1,28(94)</u>	$2,50(94)$ <u>1,50(6)</u>	136	1246	54
Фосфор	$0,88 \cdot 10^{-2}$	$0,216 \cdot 10^{-3}$	$\text{P}^{31}(\text{n}, \alpha)\text{Al}^{28}$	2,31 мин	<u>1,78(100)</u>	$2,878(100)$	163	128	35
					$2,24(9,5)$ <u>0,511(200)</u>	$3,3(99,5)$	74	261	98
Натрий	$0,59 \cdot 10^{-2}$	$0,3144 \cdot 10^{-3}$	$\text{Na}^{23}(\text{n}, \alpha)\text{F}^{30}$	11,36 сек	<u>1,629(100)</u>	$5,42(100)$	47	33	85,2
Кальций	$0,197 \cdot 10^{-2}$	$0,522 \cdot 10^{-3}$	$\text{Ca}^{40}(\text{n}, 2\text{n})\text{Ca}^{40}$	4,53 дня	<u>1,3476</u> <u>0,815(6)</u> <u>0,413(6)</u>	$0,258(100)$ $1,979(15,8)$ $1,487(1,8)$ <u>0,671(81,4)</u>	125	3553	809
Железо	$0,76 \cdot 10^{-2}$	$0,23 \cdot 10^{-3}$	$\text{Fe}^{56}(\text{n}, \text{p})\text{Mg}^{26}$	2,586 час	<u>2,11(17,5)</u> <u>1,814(33)</u> <u>0,846(98,6)</u>	$2,838(47)$ $1,028(34)$ $0,718(18)$ <u>0,30(1)</u>	190	2421	244
Сера	$0,855 \cdot 10^{-2}$	$0,228 \cdot 10^{-3}$	$\text{S}^{35}(\text{n}, \text{p})\text{P}^{31}$	12,40 сек	<u>2,13(25)</u>	$5,1(75)$ <u>3,3(25)</u>	126	6,6	44,0

хлора и магния. Для определения этих элементов выбранные реакции не имеют интерферирующих реакций. Достаточно высокую точность можно получить даже не применяя гамма-спектрометр, если с помощью интегрального дискриминатора отрезать интенсивности гамма-линии, энергия которой меньше 2,95 Мэв в случае определения содержания хлора и 2,75 Мэв в случае определения содержания магния.

Для определения содержания калия выбранная реакция тоже не имеет интерферирующих реакций. Однако при данном временном режиме с помощью реакции  $\text{Cl}^{35}(\text{n}, 2\text{n}) \text{Cl}^{34m}$  получается гамма-линия с энергией 2,14 Мэв, интенсивность которой на порядок меньше интересующей интенсивности, в связи с чем для получения высокой точности требуется применение гамма-спектрометра.

Для определения содержания кремния и фосфора в таблице указаны две реакции. Первая из них при выбранном режиме дает более высокие активности и, следовательно, низкие статистические ошибки. Однако они интерферируют между собой и в случае их использования будем иметь систематические ошибки. Для определения содержания кремния вторая реакция не имеет прямую интерферирующую реакцию. Однако с помощью реакций  $\text{Ca}^{44}(\text{n}, \alpha) \text{Ar}^{41}$  и  $\text{K}^{41}(\text{n}, \text{p}) \text{Ar}^{41}$  при выбранном режиме получается гамма-линия с энергией 1,283 Мэв и интенсивностью порядка определяемого элемента. Поэтому для их разделения требуется применение гамма-спектрометра с высоким разрешением.

Для определения содержания фосфора выбранная вторая реакция, как и первая, имеет интерферирующую реакцию  $\text{S}^{32}(\text{n}, \text{t}) \text{P}^{30}$ . Однако в результате получается активность на три порядка ниже, чем интересующая активность фосфора. Основная сложность использования второй реакции заключается в том, что в результате ее возникает позитронная активность. Она получается и с помощью реакций  $\text{Cl}^{35}(\text{n}, 2\text{n}) \text{Cl}^{34m}$ ,  $\text{Cl}^{35}(\text{n}, 2\text{n}) \text{Cl}^{34}$ ,  $\text{Fe}^{54}(\text{n}, 2\text{n}) \text{Fe}^{53}$ ,  $\text{K}^{39}(\text{n}, 2\text{n}) \text{K}^{38}$ ,  $\text{K}^{38}(\text{n}, 2\text{n}) \text{K}^{38m}$ . Поэтому в случае применения выбранной реакции необходимо, также как и в работе [5], разделить позитронные излучения по энергии с помощью методики селективного счета бета-излучения данной в работе [6]. Наиболее высокую точность можно получить, если для определения содержания кремния и фосфора использовать одновременно все четыре реакции и математически отделить указанные в таблице активность кремния от активности фосфора.

Для определения содержания натрия, кальция и железа выбранные реакции тоже не имеют интерферирующих реакций, однако для получения высокой точности требуется выделить выбранную энергию с помощью гамма-спектрометра. На серу идут четыре реакции  $\text{S}^{32}(\text{n}, \text{p}) \text{P}^{32}$ ,  $\text{S}^{32}(\text{n}, \text{t}) \text{P}^{30}$ ,  $\text{S}^{34}(\text{n}, \alpha) \text{Si}^{31}$ ,  $\text{S}^{34}(\text{n}, \text{p}) \text{P}^{34}$ . Все они имеют интерферирующие реакции. С помощью машинной программы выбирая указанная в таблице реакция, однако она имеет интерферирующую реакцию  $\text{Cl}^{37}(\text{n}, \alpha) \text{P}^{34}$ , которая при заданном режиме дает приблизительно такую же интенсивность, как выбранная реакция. Поэтому для определения содержания серы требуется учитывать содержание хлора, определенное с помощью ранее указанной реакции.

Академия наук Грузинской ССР  
 Институт физики

Грузинский НИИ  
 механизации и электрификации  
 сельского хозяйства

(Поступило 25.9.1975)

8. გორდაძე, თ. ჭავაძე, თ. გილოზისა, ბ. დანილია, ბ. გაგარაშვილი

საკვიზო გადროებულების განსაზღვრის შესაძლებლობების  
უმჯობესობის მიმღები გამოყენების გამოყენებით

### ტეზისები

აღრე დამუშავებული მეთოდისა და მანქანური პროგრამის საფუძველზე  
სიმინდის სილოსში თეორიულად შესწავლილია Ca, Cl, Mg, K, Si, Na, P, Fe  
და S-ის რაოდენობრივი შემცველობის ანალიზის შესაძლებლობა ნეიტრონუ-  
ლი გენერატორით აქტივაციის საფუძველზე. აღნიშნული ელემენტებისათვის  
დადგენილია რაციონალური ბირთვული რეაქციები, იდენტიფიკაციის ენერ-  
გიები, აპარატურა და ანალიზის დროითი მაჩასიათებლები.

### BIOPHYSICS

G. P. GORDADZE, O. T. KENIA, T. Ya. MIKHELASHVILI, G. I. DANELIA,  
G. R. MACHARASHVILI

### STUDY OF THE POSSIBILITY OF DETERMINING MACROELEMENTS IN FORAGES WITH THE HELP OF A NEUTRON GENERATOR

#### Summary

The possibility of determining macroelements in forages through the use of a neutron generator has been studied. According to the literature data forages contain the following macroelements: Ca, Cl, Mg, K, Si, Na, P, Fe, and S. Work has been carried out on the selection of the nuclear reaction to be used, the channel of measurement, and the optimal conditions of analysis in order to determine the proportion of the elements cited above. With this in view use was made of a technique developed earlier and a computer programme (for the M-220 digital computer) for the selection of the optimal time regime, providing for the minimum relative error of measurement of the element determined.

The use of a neutron generator was found to enable quick determination of the above elements with the required precision.

#### ლიტერატურა — REFERENCES

1. Р. А. Срапениц и др. Сб. «Активационный анализ в народном хозяйстве». Ташкент, 1974, 103—105.
2. Т. Г. Девдарини и др. Сообщения АН ГССР, 72, № 1, 1973, 161—164.
3. Минеральный состав кормов. Под редакцией проф. М. Ф. Тамме. М., 1968.
4. Г. П. Гордадзе. Сообщения АН ГССР, 78, № 3, 1975, 581—584.
5. Г. П. Гордадзе и др. Сообщения АН ГССР, 69 № 2, 1973, 297—300.
6. Г. П. Гордадзе и др. Сообщения АН ГССР, 69, № 1, 1973, 49—52.



БИОХИМИЯ

С. В. ДУРМИШИДЗЕ (академик АН ГССР), Н. Е. ЗАМБАХИДЗЕ,  
 Л. Ш. ТУШИШВИЛИ, Н. А. КЕКЕЛИДЗЕ

**СТЕРОЛЫ ВИНОГРАДНОЙ ЛОЗЫ СОРТА САПЕРАВИ**

Определенная физиологическая функция стеролов в животном организме придает большую значимость их присутствию и в растительном мире. В животном организме стеролы выполняют по крайней мере три функции: биогенетическую, гормональную и функцию структурного компонента клеточных мембран. Хефтман [1, 2] постулировал аналогичные функции стеролов в растениях, где они присутствуют в четырех формах: свободные стеролы, этерифицированные стеролы со сложными кислотами (стерины), стерилгликозиды и ацилированные стерилгликозиды.

Настоящая работа посвящена выявлению и изучению стеролов различных частей виноградной лозы сорта Саперави (*Vitis vinifera* L.) из органов виноградной лозы индивидуальные стеролы до последнего времени еще не были идентифицированы.

Таблица 1

Фракция суммарных стеролов в различных частях виноградной лозы

№	Части виноградной лозы	Фракция липидов, % от сухого веса образца	Наличие свободных стеролов	Фракция, содержащая суммарные стеролы, % от сухого веса липидной фракции
1	Молодые листья	15,0	+	3,2
2	Взрослые листья	15,0	+	3,5
3	Побеги	4,0	+	0,7
4	Однолетний стебель	10,8	+	0,07
5	Многолетний стебель	1,18	+	0,009
6	Штамб	3,4	+	0,2
7	Корни	3,7	+	0,45
8	Корневые волоски	3,9	+	0,5
9	Гребни	9,0	+	0,2
10	Кожица ягод	3,0	+	0,35
11	Мякоть ягод	14,0	—	0,4
12	Семена	10,0	—	0,8

Опытными объектами служили семена, побеги, корни, корневые волоски, штамб, стебли, листья, кожица и мякоть ягод, гребни виноградной лозы данного сорта. Растительный материал после сбора фиксировали в аппарате Коха. Воздушно-сухие образцы экстрагировали смесью хлороформ-метанол (2:1) в течение 28 часов. Спиртохлороформные извлечения обрабатывали 0,9% раствором NaCl для удаления нелипидных веществ [3]. Липидные фракции каждого образца сгущали и подвергали ТСХ анализу на силикагеле Л 5/40  $\mu$  в си-

системе растворителей: бензол-диэтиловый эфир (7:3), и-гексан-диэтиловый эфир-уксусная кислота (80:20:0,5). Пластииники проявляли реактивами Либермана—Бурхарда и 25%-ной фосфорномолибденовой кислотой в этаноле при 100° в течение 5 минут. ТСХ анализ в присутствии аутентичного образца показал содержание свободных стеролов во всех частях виноградной лозы, кроме мякоти и семян ягод. После кислотного и щелочного гидролиза липидной фракции мякоти и семян ягод извлеченная из гидролизата гексаном нейтральная фракция дала положительную реакцию на стеролы в тонком слое силикагеля. Таким образом, было установлено, что в этих частях стеролы содержатся лишь в связанной форме.

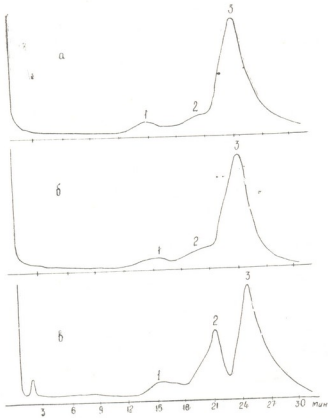


Рис. 1. ГЖХ суммарных стеролов листьев и корней виноградной лозы сорта Саперави: а) — молодые листья, б) — взрослые листья, в) — корни, 1 — холестерол, 2 — стигмостерол, 3 —  $\beta$ -ситостерол

Для получения фракций, содержащих суммарные стеролы, липидные фракции различных частей виноградной лозы выпаривали досуха, добавляли 0,6%  $H_2SO_4$  в 95%-ном этаноле и проводили гидролиз в течение 12 часов. После охлаждения в раствор добавляли 15% KOH в 95%-ном этаноле и кипятили его на водяной бане в течение 1 часа. Гидролизат охлаждали, нейтрализовали 5%-ным HCl и стероловую фракцию извлекали и-гексаном четырехкратно. Гексановые извлечения объединяли и обрабатывали метанолом 2 раза для удаления ксантофилов и других веществ [4]. Метанольные экстракты, в свою

очередь, 2 раза экстрагировали и-гексаном. Объединенные гексановые фракции (фракция суммарных стеролов) выпаривали досуха и взвешивали.

В табл. 1 представлено процентное соотношение фракций суммарных стеролов от липидной фракции.

На качественный и количественный стероловый состав исследовали листья виноградной лозы, которые дали наиболее высокий процент фракции, содержащей суммарные стеролы, и корни, фракция которых в тонком слое силикагеля показала наименьшее загрязнение другими веществами.

Для выделения стеролов нами был применен метод осаждения дигитонином [4, 5]. Дигитониды расщепляли диметилсульфоксидом [6] на водяной бане в течение 15 минут. Раствор охлаждали и суммарные стеролы извлекали и-гексаном. Из гексанового экстракта растворитель упаривали и сухой остаток перекристаллизовывали из метанола. Полученные белые игольчатые кристаллы подвергали ТСХ анализу. Наши препараты дали одно пятно ( $R_f=0,46$ ) с характерным для стеролов окрашиванием в области аутентичного образца.

Состав суммарных стеролов листьев и корней виноградной лозы определяли ГЖХ анализом на хроматографе *Varian aerograph* серии 1860 при условиях, описанных в работе [7]. ГЖХ анализ проводили в присутствии аутентичных образцов холестерола, стигмастерола и  $\beta$ -ситостерола.

Таблица 2

Количество индивидуальных стеролов в частях виноградной лозы

Части виноградной лозы	Количество суммарных стеролов на сухой вес образца, %	Количество индивидуальных стеролов в сумме стеролов, %		
		3-Ситостерол	Стигмастерол	Холестерол
Молодые листья	0,05	88,8	8,1	3,04
Взрослые листья	0,045	89,7	5,7	4,5
Корни	0,01	64,4	33,1	1,9

Стероловые компоненты идентифицировали сравнением их относительных удерживаемых объемов с теми же показателями аутентичных соединений. Относительное содержание каждого компонента определяли по площадям их пиков. Анализы показали, что химический состав суммарных стеролов листьев и корней виноградной лозы идентичный и представлен главным образом  $\beta$ -ситостеролом, а также стигмастеролом и холестеролом (рис. 1).

Количественное соотношение индивидуальных стеролов в листьях и корнях виноградной лозы различное (рис. 1, табл. 2).

Академия наук Грузинской ССР  
Институт биохимии растений

(Поступило 22.I.1975)

ს. დურმიშიძე (საქ. სსრ მეცნ. ექადემიკის ექადემიკოსი), ნ. ზამბახიძე, ლ. თუშიშვილი,  
 ნ. კეკелიძე

## საფერავის ჯიშის ვაჭის სტეროლები

რეზიუმე

შესწავლით საფერავის ჯიშის ვაზის სხვადასხვა ნაწილების ლიპიდური ფრაქციები სტეროლების შემცველობაზე. ახლადგამოსული და ურდადასრულებული ფოთლებიდან, ავრევე ფესვებიდან გამოყოფილი სტეროლების გამი იდენტიფიცირებულია როგორც ქოლესტეროლის, სტიგმასტეროლის და  $\beta$ -სიტოსტეროლის ნარევი. გამოთვლითა ინდივიდუალური სტეროლების პროცენტული რაოდენობა მიღებულ ჯამში.

BIOCHEMISTRY

S. V. DURMISHIDZE, N. E. ZAMBAKHIDZE, L. Sh. TUSHISHVILI,  
 N. A. KEKELIDZE

## STEROLS OF GRAPEVINE VAR. "SAPERAVI"

Summary

Lipid fractions of various parts of grapevine var. "Saperavi" have been studied for sterol content. The sum of sterols isolated from young leaves, aged leaves and roots was identified as the mixture of cholesterol, stigmasterol and  $\beta$ -sitosterol. The percentage of individual sterols in the sum was estimated.

## ЛІТЕРАТУРА — REFERENCES

1. Е. Хефтман. Биохимия стероидов. М., 1972.
2. E. Heftmann. Lipids, 6, 1971, 128.
3. R. J. C. Kuiper. Plant Physiol., 43, 9, 1968, 1367—1371.
4. R. L. Stedman, W. Rusaniwskyi. Tob. Sci., 3, 1959, 44—47.
5. P. B. Bush, C. Grunwald. Plant Physiol., 50, 1, 1972, 69—72.
6. C. H. Issidorides, I. Kitagawa. J. Org. Chem., 27, 1962, 4693—4694.
7. Л. III. Тушишвили, Н. Е. Замбахидзе, Н. А. Кекелидзе. Сообщения АН ГССР, 80, № 1, 1975.



БИОХИМИЯ

Н. Н. НУЦУВИДЗЕ, Т. Ф. МАРЧЕНКО

НИТРАТРЕДУКТАЗНАЯ АКТИВНОСТЬ РАЗЛИЧНЫХ ВИДОВ И СОРТОВ ВИНОГРАДНОЙ ЛОЗЫ

(Представлено академиком С. В. Дурмишидзе 27.1.1976)

Источниками неорганического азота для большинства растений служат нитраты. В растении они подвергаются восстановлению до аммиака, который включается в синтез аминокислот, белков и других азотистых соединений. Первый этап этого восстановления — нитрата в нитриты происходит под действием фермента нитратредуктазы (НР).

Установлено, что растительная НР является индуцируемым ферментом, она индуцируется как светом, так и нитратами, что было показано на примере различных видов растений, в том числе и виноградной лозы [1—3].

При подкормке растений нитратом возрастает активность НР, а увеличение активности НР влечет за собой повышение содержания белка. Это видно и на примере различных видов, гибридов и отдельных сортов однолетних растений [4, 5].

Целью нашей работы было изучение активности НР различных видов, сортов и гибридов виноградной лозы как показателя потенциальной возможности этих растений усваивать нитратный азот. Изучение регуляторных свойств НР позволит управлять жизнедеятельностью виноградной лозы, рационально использовать минеральные удобрения и лучше подбирать подвойный и привойный материал, способствуя тем самым поднятию урожайности этой культуры.

Объектами исследования служили сорта и гибриды европейского и американского видов виноградной лозы: Ркацители, Берландиери  $\times$  Рипария 5ББ, Берландиери  $\times$  Рипария 420<sup>a</sup>, Берландиери  $\times$  Рипария 8<sup>b</sup>, Берландиери  $\times$  Рупестрис 110, Рипария  $\times$  Рупестрис 1014, Рипария  $\times$  Рупестрис 3309, Рупестрис Дюло и Ганзен I.

Свежесрезанные побеги и водные культуры виноградной лозы помещались в раствор 0,1 М  $KNO_3$  в фосфатном буфере с рН 6,3 на 1, 3, 6, 24 и 48 часов. Часть растений выдерживалась в течение того же времени в фосфатном буфере, не содержащем источник азота, и служила контролем.

После экспозиции устанавливалась активность НР в листьях как опытных, так и контрольных растений. Активность НР определялась по методу Мульдера [6] и выражалась в мг  $NO_2^-$  на 100 мг белка за 30 минут инкубации. Содержание белка в опытных образцах определялось по Лоури [7].

Активность НР обнаружена в листьях как опытных, так и контрольных растений. Однако ассимиляция азота нитрата в растениях, получивших источник азота, начиналась с первых минут, тогда как в

растениях, лишенных источника азота, активность НР медленно возрастала в течение инкубации.

Полученные результаты свидетельствуют о том, что различные виды, сорта и гибриды виноградной лозы по-разному реагируют на длительность подкормки нитратом и в связи с этим в них по-разному меняется активность НР (см. таблицу).

Активность НР в листьях разных сортов и гибридов различных видов виноградной лозы ( побеги разных сортов винограда, 0,1 М KNO<sub>3</sub>)

№	Сорт и гибрид виноградной лозы	Активность нитратредуктазы в мг NO <sub>2</sub> <sup>-</sup> на 100 мг белка за 30 минут									
		Экспозиция в часах									
		1		3		6		24		48	
		Контроль	Опыт	Контроль	Опыт	Контроль	Опыт	Контроль	Опыт	Контроль	Опыт
1	Ркацители	1,0	7,0	2,0	5,7	4,5	4,8	0,3	0,1	0	0
2	Берландиери×Рипария 5ББ	1,0	7,0	0,7	3,9	2,5	2,8	0,2	1,0	0,2	0,7
3	Берландиери×Рипария 420 <sup>a</sup>	0,7	5,8	0,6	0,6	1,0	3,5	0,2	3,2	0,2	1,0
4	Берландиери×Рупестрис 110	0,5	1,9	0,5	0,7	0,6	1,0	0,1	1,5	0,15	0,05
5	Рипария×Рупестрис 1014	1,0	1,4	0,5	1,1	3,0	2,9	0,3	0,3	0,25	0,25
6	Рупестрис Дюло	0,5	3,5	0,3	0,5	1,0	0,3	0,15	0,5	0,1	0,3
7	Берландиери×Рипария 8 <sup>b</sup>	0,8	1,3	1,45	7,0	0,4	0,3	1,1	1,45	0,4	0,05
8	Рипария×Рупестрис 3309	0,7	3,8	0,3	1,1	0,4	1,1	0,2	3,3	0,4	0,5
9	Ганзен I	1,3	3,1	0,3	0,8	1,0	0,5	0,4	4,6	0,2	0,7

Ранее нами было показано, что в течение первых 40 минут скорость восстановления нитратов находится в прямой зависимости от времени инкубации.

Согласно данным настоящего исследования, сорта и гибриды Ркацители, Берландиери×Рипария 5ББ и Берландиери×Рипария 420<sup>a</sup> проявляют резкое повышение активности НР в течение первого часа инкубации на растворе с KNO<sub>3</sub>. Одним из нас было показано, что уже в первые минуты поглощения источника азота у Ркацители и Берландиери×Рипария 5ББ идет включение азота в аминокислоты [8]. Высокая активность НР в листьях названных сортов сохраняется при 3- и 6-часовых подкормках, а затем быстро снижается. Подобное падение активности НР после 6-часового нитратного питания обнаружено у водорослей и грибов [9, 10]. При 24-и 48-часовой подкормке активность НР незначительна. У гибрида Берландиери×Рипария 420<sup>a</sup> активность НР резко падает при 3-часовой экспозиции, но затем возрастает при 6- и 24-часовой подкормке. Активность НР обнаружена и при 48-часовой подкормке. В листьях Рипария×Рупестрис 3309 и Ганзен I активность НР вдвое меньше, чем у первых трех сортов виноградной лозы. Активность НР названных двух сортов при 1- и 24-часовой подкормке достигает максимума. Нитратредуктазная ферментная система этих сортов виноградной лозы после начального активирования через некоторый лаг-период вновь индуцируется.

У сорта Рупестрис Дюло НР активна только при часовой экспозиции, затем активность резко падает и почти не проявляется. У гибрида Берландиери×Рипария 8<sup>b</sup> максимальная активность НР проявляется при 3-часовой экспозиции.

Активность НР как в срезанных побегах, так и в водных культурах при 48-часовой экспозиции в растворе  $\text{KNO}_3$  очень низка. Это, видимо, связано с ингибированием НР конечным продуктом восстановления нитрата—аммиаком.

Следует заметить, что кривые активности НР водных культур и свежесрезанных побегов сортов виноградных лоз совпадают. Растения разных видов и сортов по-разному реагируют на нитратную подкормку.

Сорта и гибриды виноградной лозы разных видов можно подбирать по степени индуцирования нитратредуктазной системы ферментов. Те из них, которые обладают высокими показателями индукции НР при нитратном питании, можно рекомендовать как более приспособленные к азотному питанию и лучший материал для селекции, подбора подвоя и привоя с хорошей характерной восприимчивостью к азотным удобренням.

Академия наук Грузинской ССР

Институт биохимии растений

(Поступило 29.I.1976)

ЗАПОВЕДНОЕ

6. ნუტუბიძე, თ. მარხენკო

საჭირო სახელმწიფო და ჯიშის ნიტრატის დაზუსტების  
პროცესი

რეზიუმე

ვაზის სხვადასხვა სახეობის გიშები და ჰიბრიდები ხასიათდებიან ნიტრატ-რედუქტაზული ფერმენტული სისტემის ინდუქციის განსხვავებული შახასიათებლებით. ეს განსხვავება შეიმჩნევა როგორც ნიტრატული კვების საწყის ფაზაში, ისე ხანგრძლივი ექსპონირის ღროსაც. ვაზის სხვადასხვა სახეობების გიშები და ჰიბრიდები, რომელებიც ხასიათდებიან ნიტრატ-რედუქტაზული ფერმენტული სისტემის ინდუქციის მაღალი მაჩვენებლებით, შეიძლება რეკომენდებულ იქნენ, როგორც უკეთესი მასალა სელექციისა და მყნობისათვის.

BIOCHEMISTRY

N. N. NUTSUBIDZE, T. F. MARCHENKO

## NITRATE REDUCTASE ACTIVITY OF VARIOUS VARIETIES AND RACE OF GRAPEVINE

*Summary*

Types and hybrids of various grapevine varieties are characterized by differing degrees of induction of the nitrate reductase enzyme systems. These differences are observed in the initial period of nitrate feeding as well as during long exposure. Various types and hybrids of grapevine varieties that

are characterized by high indices of induction of the nitrate reductase enzyme system may be recommended as more adapted to nitrogen feeding and better material for selection and grafting.

#### ЛІТЕРАТУРА — REFERENCES

1. В. I. Miflin. *Planta*, 105, 3, 1972, 225.
2. В. Л. Кретович. *Обмен азота в растениях*. М., 1972.
3. Ш. Ш. Чанишвили, М. В. Киквидзе. *Сообщения АН ГССР*, 72, № 2, 1973, 453.
4. R. D. Duffield, L. J. Croy, E. L. Smith. *Agron. J.* 64, 2, 1972, 249.
5. J. E. Nager, J. G. Nicholas, R. H. Hageman. *Crop Sci.*, 12, 3, 1972, 382.
6. E. G. Mulder, R. Boxma, W. Van Veen. *Plant Soil*, 10, 1959, 335.
7. O. H. Lowry *et al.* *J. Biol. Chem.* 193, 1951, 265.
8. Н. Н. Цуцубидзе. *Ассимиляция азота виноградной лозой*. Тбилиси, 1974.
9. R. H. Jarrett. *Biochem. Biophys. Acta* 264, 3, 1972, 381.
10. C. Rigano, V. Umberto, A. Giovannini. *Biochim. Biophys. Acta*, 327, 1, 1973, 19.



БИОХИМИЯ

Е. М. ШИЛАКАДЗЕ, О. Г. БАТИАШВИЛИ, Г. В. ЦИНЦАДЗЕ,  
А. П. НАРИМАНИДЗЕ, А. Г. МАХАРАДЗЕ, Н. В. РЕВИШВИЛИ

ИСПЫТАНИЕ АНТИТУБЕРКУЛЕЗНОЙ АКТИВНОСТИ  
КООРДИНАЦИОННЫХ СОЕДИНЕНИЙ МАРГАНЦА, КОБАЛЬТА,  
НИКЕЛЯ, МЕДИ, ЦИНКА И КАДМИЯ С ГИДРАЗИДОМ  
ИЗОНИКОТИНОВОЙ КИСЛОТЫ (ГИНК)

(Представлено академиком П. А. Кометиани 10.2.1976)

В последние годы в литературе все чаще появляются работы, указывающие на нарушение обмена микроэлементов при различных инфекционных заболеваниях, в том числе и при туберкулезе [1—5]. Подобное явление наблюдается и при лечении противотуберкулезными препаратами ГИНК. По мнению исследователей, препараты ГИНК связываются с микроэлементами, нарушая таким образом их обмен в организме. Например, эксперименты Е. Н. Асписовой [2, 3] показали, что применение витаминов, в частности витамина С, при лечении туберкулеза тоже нарушает обмен меди в организме, обуславливая самый низкий уровень ее в тканях.

Микроэлементы, как известно, могут присутствовать в составе белка, витаминов, ферментов, гормонов; они активно участвуют во всех биологических процессах в организме. Исходя из этого урегулирование нарушенного обмена микроэлементов имеет огромное значение. Тем не менее введение их в организм непосредственно в виде неорганических солей из-за токсичности последних нецелесообразно. Поэтому создание комплексных менее токсичных соединений микроэлементов с органическими веществами (лекарственными препаратами) имеет большое значение и уже оправдало себя [6].

Для создания более эффективных, по сравнению с существующими, противотуберкулезных средств были проведены испытания 25 разных препаратов, которые являются координационными соединениями различных микроэлементов с ГИНК (соединения были синтезированы на кафедре общей и неорганической химии Грузинского политехнического института им. В. И. Ленина и в Институте неорганической химии и электрохимии АН ГССР).

Опыты проводились *in vitro*. Препараты разводились в полусинтетической жидкой питательной среде Е. А. Школьниковой с человеческой плазмой. Растворение препаратов производилось в различных жидкостях исходя из их свойств растворимости. Использовались следующие концентрации препаратов: 1; 0,5; 0,25; 0,125; 0,062; 0,031 и 0,015 мкг на 1 мл питательной среды.

Противотуберкулезные свойства координационных соединений оценивались на основании подобного действия чистых препаратов ГИНК, поэтому в каждой серии опытов с целью сравнения ставился ряд пробирок для соответствующего чистого препарата ГИНК. Первоначально в опытах были использованы три штамма микобактерий

туберкулеза: лабораторный штамм человеческого типа H<sub>37</sub>Rv и два диких штамма, выделенных от больных туберкулезом легких — штамм № 60, чувствительный к препаратам ГИНК, и штамм № 826, устойчивый к этим препаратам.

Антибактериальная активность координационных соединений некоторых микроэлементов с ГИНК (L)

Препараты	Вес	Разведение препаратов, мкг/мл							
		1	0,5	0,25	0,125	0,062	0,031	0,015	контр.
L	137,14	—	—	—	—	+	+	+++	+++
Ni(NCS) <sub>2</sub> ·2L	449,15	—	—	—	—	—	—	+	++
Cd(NCS) <sub>2</sub> ·2L	502,84	—	—	—	—	—	—	+	++
NiCl <sub>2</sub> ·3L	541,04	—	—	—	—	—	—	+++	+++
Ni(NO <sub>3</sub> ) <sub>2</sub> ·3L	594,23	—	—	—	—	+	++	+++	+++
NiSO <sub>4</sub> ·2L	429,16	—	—	—	—	—	—	—	—
Co(NCS) <sub>2</sub> ·2L	44,42	—	—	—	—	+	++	+++	+++
CdC <sub>2</sub> ·2L	457,59	—	—	—	—	—	+	++	+++
ZnC <sub>2</sub> ·1,5L	341,99	—	—	—	—	—	+	++	+++
CoCl <sub>2</sub> ·3L	541,26	—	—	—	—	—	—	—	—
NiBr <sub>2</sub> ·3L	629,95	—	—	—	—	+	++	+++	+++
ZnSO <sub>4</sub> ·2L	459,74	—	—	—	—	+	++	+++	+++
Zn(NCS) <sub>2</sub> ·L·C <sub>2</sub> H <sub>5</sub> OH	364,68	—	—	—	—	+	++	+++	+++
NiI <sub>2</sub> ·2L·C <sub>2</sub> H <sub>5</sub> OH	632,80	—	—	—	—	++	++	+++	+++
CdSO <sub>4</sub> ·2L·0,5C <sub>2</sub> H <sub>5</sub> OH	505,74	—	—	—	—	++	++	+++	+++
CdBr <sub>2</sub> ·2L	546,56	—	—	—	—	—	—	—	—
Mn(NCS) <sub>2</sub> ·2L	445,43	—	—	—	—	+	++	+++	+++
Cu(NO <sub>3</sub> ) <sub>2</sub> ·2L	461,88	—	—	—	—	+	++	+++	+++
CoSO <sub>4</sub> ·2L·C <sub>2</sub> H <sub>5</sub> OH	475,28	—	—	—	—	++	++	+++	+++
CdI <sub>2</sub> ·L	503,35	—	—	—	—	+	++	+++	+++
CuSO <sub>4</sub> ·L·1,5C <sub>2</sub> H <sub>5</sub> OH	365,74	—	—	—	—	+	++	+++	+++
Cd(NO <sub>3</sub> ) <sub>2</sub> ·2L	510,69	—	—	—	—	+	++	+++	+++
CuCl <sub>2</sub> ·L	271,59	+	++	++	++	++	++	++	++
CuBr <sub>2</sub> ·L	260,50	+	++	++	++	++	++	++	++

Первые же опыты показали, что координационные соединения, так же как и чистый ГИНК, не проявляют антибактериальную активность по отношению к устойчивому штамму, поэтому дальнейшие опыты проводились только с первыми двумя чувствительными к ГИНК штаммами микробактерий туберкулеза (результаты опытов почти во всех случаях совпадали).

Для засева применялась полмиллиардная суспензия культуры микробактерий туберкулеза в разведении 10<sup>2</sup>, в количестве в 0,2 мм в каждую пробирку. Для контроля роста культуры ставилось по две пробирки с питательной средой без прибавления препаратов. После герметизации парафином посевы инкубировались в термостате при температуре 37°C в продолжение 2 недель. По прошествии этого срока из осадков каждой пробирки готовились препараты, которые окрашивались по методу Циль—Нильсена и микроскопировались. Рост оценивался плюсами по трехбалльной системе. Полная задержка роста обозначалась минусом.

Результаты испытания координационных соединений с ГИНК представлены в таблице. Как видно из этой таблицы, самую высокую активность показали три препарата: соединения роданида никеля и кадмия с двумя молекулами ГИНК и хлорид никеля с тремя молекулами ГИНК. Следующие семь препаратов, хотя и показали одинаковую с ГИНК активность, все же следует считать более активными, чем ГИНК, принимая во внимание гораздо большую величину их мо-

лекулярного веса, по сравнению с ГИНК. Активность остальных препаратов меньше ( $0,5 \text{ мкг/мл}$ ), но, учитывая их молекулярный вес, их активность следует считать равной, а в некоторых случаях даже большей, чем ГИНК. Самую низкую антибактериальную активность показали хлоридные и бромидные соединения меди с одной молекулой ГИНК.

Таким образом, координационные соединения кобальта, никеля, цинка и кадмия с ГИНК в большинстве случаев проявляют повышенную антитуберкулезную активность, по сравнению с чистым ГИНК. Из изученных координационных соединений микроэлементов более эффективным оказались роданиды и хлориды никеля и кадмия с ГИНК.

НИИ туберкулеза  
МЗ ГССР

Грузинский политехнический институт  
им. В. И. Ленина

(Поступило 19.2.1976)

#### გთხოვთა მიზანი

ე. შილაკაძე, ო. ბათიაშვილი, გ. ცინცაძე, ა. ნარიმანიძე, ა. მახარაძე, ნ. რევიშვილი  
მანგანეზის, კობალტის, ნიკელის, კადმიუმის, თუთიისა და კადმიუმის  
იზოლირებული მანგანეზის პილინგის (ინა) კოორდინაციული  
ნაერთების გამოცდა ანტიტუბერკულოზურ აპტივობაზე

#### რეზიუმე

შესწავლით მანგანეზის, კობალტის, ნიკელის, სპილენდის, თუთიისა და კადმიუმის იზოლირებული მანგანეზის პილინგიდან (ინა) კოორდინაციული ნაერთების ანტიტუბერკულოზური თვისებები. დადგენილია, რომ უმეტეს შემთხვევაში მიღებული კოორდინაციული ნაერთების ანტიტუბერკულოზური აქტივობა გაცილებით მეტა, ვიდრე სუფთა ინას.

შესწავლით კოორდინაციული ნაერთებიდან ცველაზე ეფექტური ალმონდა ნიკელისა და კადმიუმის როდანიდული და ქლორიდული ნაერთები ინამდება (მათი აქტივობაა  $0,062 \text{ мგ/მლ}$ , მაშინ როდენაც სუფთა ინას-ს აქტივობაა  $0,125 \text{ мგ/მლ}$ ).

#### BIOCHEMISTRY

E. M. SHILAKADZE, O. G. BATIASHVILI, G. V. TSINTSADZE,  
A. P. NARIMANIDZE, A. G. MAKHARADZE, N. V. REVISHVILI

#### TESTING OF MANGANESE, COBALT, NICKEL, COPPER, ZINK AND CADMIUM COORDINATION COMPOUNDS WITH ISONICOTINIC ACID HYDRAZIDE (INAH) ON ANTITUBERCULOTIC ACTIVITY

##### Summary

Antituberculotic properties of manganese, cobalt, nickel, copper, zinc and cadmium coordination compounds with isonicotinic acid hydrazide (INAH) have been studied. In most cases antituberculotic activity of the obtained coordination compounds has been found to be higher than that of pure INAH.

The most effective coordination compounds are rhodanide and chloride compounds of nickel and cadmium with INAH (their activity being 0.062 mcg/ml, while for pure INAH it is 0.125 mcg/ml).

#### ЛІТЕРАТУРА — REFERENCES

1. Х. Х. Каримджанов. Материалы I конференции биохимиков республик средней Азии и Казахстана, Алма-Ата, 1966, 120.
2. Е. Н. Асписова. Сб. трудов НИИ туберкулеза МЗ ГССР, 15—16, 1972, 351.
3. Е. Н. Асписова. Там же, 361.
4. Э. С. Содиков. Вопросы кинетики и лечения туберкулеза (Ташкент), 8, 1969, 55.
5. Э. С. Содиков, А. А. Гапонко. Сб. трудов Узбекского НИИ туберкулеза, 9, 1971, 68.
6. М. А. Азизов. О комплексных соединениях некоторых микрэлементов в биоактивными веществами. Ташкент, 1969.



БИОХИМИЯ

А. А. КАЛАНДАРИШВИЛИ, Т. В. МИМИНОШВИЛИ

ВЛИЯНИЕ РН НА ГИДРОЛИЗ АТФ В МИКРОСОМАХ  
СЕМЯДОЛЕЙ *PHASEOLUS VULGARIS*

(Представлено академиком С. В. Дурмишидзе 16.1.1976)

Изучение катионстимулируемых АТФ-аз растительной ткани, в отличие от животной, связано с определенными трудностями, так как в растительной ткани широко представлены фосфатазы, неспецифически гидролизующие АТФ [1—3]. Исходя из вышесказанного мы изучили влияние pH на гидролиз АТФ в микросомах семядолей *Phaseolus vulgaris*.

Объектом исследования служили 5—7-дневные проростки семядолей, выращенные без предварительного вымачивания при температуре 26—30°. Семядоли измельчали и растирали в ступке при 4°. Приготавливали 20% гомогенат в 0,25 M сахарозе 1 mM ЭТДА и трис-HCl, pH 7,5. Отжимали через полотно и центрифугировали дважды при 1500 g × 10 мин. Супернатант центрифугировали при 15 000 g × 15 мин. Осадок отбрасывали, а супернатант центрифугировали при 100 000 g × 90 мин. Полученный осадок является микросомальной фракцией. Промывали дважды 10 mM ЭДТА, трис-HCl, pH 7,5 растворяли в бидистилляте и хранили при —20°. Белок определяли по Лоури [4], фосфор — методом изобутанола [5]. Инкубацию проводили при 36°. Натриевую соль АТФ переводили в соль триса посредством даусекса 50W при 4°. Ферментативную реакцию останавливали холодной ТХУ (конечная концентрация 3%).

В опытах, где изучалось влияние pH на гидролиз АТФ (рис. 1), нами было показано, что без добавления как одновалентных, так и двухвалентных катионов АТФ легко гидролизуется в широком интервале pH и оптимум находится в области pH 5—6. Этот факт должен указывать на то, что гидролиз АТФ вызывается не специфическими АТФ-азами, а кислой фосфатазой. Наши результаты совпадают с данными Форти [2], объектом исследования которого являлись листья шпината.

Далее было показано, что, кроме АТФ, микросомы семядолей *Phaseolus vulgaris* способны легко гидролизовать АДФ, однако при этом гидролиз АМФ не происходит. pH-оптимум гидролиза АДФ находится в той же области, что и АТФ (рис. 1).

Картина резко меняется, когда в инкубационный раствор добавляются одновалентные и двухвалентные катионы. Нами установлено, что как одновалентные, так и двухвалентные ионы проявляют свое действие лишь в щелочной среде и не затрагивают скорость гидроли-

за АТФ в кислой среде. Исключение составляют двухвалентные ионы  $Mg^{++}$  и  $Ca^{++}$ , которые в концентрации 1,5 мМ слегка ингибируют гидролиз АТФ в кислой среде (примерно 5–8%). Эффект активации, вызываемый как одновалентными, так и двухвалентными иона-

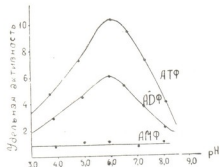


Рис. 1. Влияние pH на гидролиз нуклеотидов в микросомах семядолей *Phaseolus vulgaris*. Инкубационная среда: 2,5 мМ АТФ, 2,5 мМ АДФ, 2,5 мМ АМФ

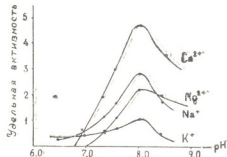


Рис. 2. Влияние одновалентных и двухвалентных катионов на гидролиз АТФ. Инкубационная среда: 50 мМ KCl, 50 мМ NaCl, 1,5 мМ  $MgCl_2$ , 1,5 мМ  $CaCl_2$ , 2,5 мМ АТФ

ми, проявляется лишь при pH 7,0, и pH-оптимум достигается в области pH 8,0. Как видно из рис. 2, ионы  $Ca^{++}$  в концентрации 1,5 мМ вызывают больший эффект, чем ионы  $Mg^{++}$  в той же концентрации, а ионы  $Na^+$  в концентрации 50 мМ активируют больше, чем ионы  $K^+$ . Следует особо отметить, что гидролиз АТФ, стимулируемый однова-

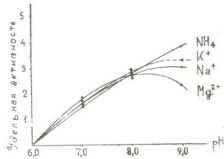


Рис. 3. Влияние одновалентных катионов на Mg-АТФ-азу. Инкубационная среда: 50 мМ NaCl, 50 мМ KCl, 1,5 мМ  $MgCl_2$ , трис-HCl, pH 9,0

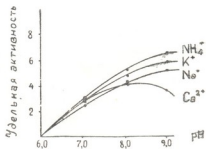


Рис. 4. Влияние одновалентных катионов на Ca-АТФ-азу. Инкубационная среда: 50 мМ NaCl, 50 мМ KCl, 50 мМ  $NH_4Cl$ , 1,5 мМ  $CaCl_2$ , трис-HCl, pH 9,0

лентными катионами, не требуют присутствия двухвалентных катионов  $Mg^{++}$  и  $Ca^{++}$ .

Аналогичные результаты были получены Аткинсоном и Поля [6], которые изучали АТФ-азы моркови. Эти авторы показали,

что АТФ-аза моркови активировалась лишь одновалентными катионами  $\text{Na}^+$  и  $\text{K}^+$ , а присутствие двухвалентных ионов  $\text{Ca}^{+2}$  и  $\text{Mg}^{+2}$  ингибировало активность.

Интересные данные были получены при совместном действии одновалентных ионов в присутствии ионов  $\text{Mg}^+$  и  $\text{Ca}^{++}$  на гидролиз АТФ. Из рис. 3, 4 видно, что в области pH 8,0, где вышеуказанные катионы имеют pH-оптимум, одновалентные катионы тормозят или же не влияют на активность, вызываемую ионами  $\text{Mg}^{+2}$  и  $\text{Ca}^{++}$ . Картина резко меняется при pH 9,0. В этих условиях хорошо проявляется синергизм при совместном действии этих ионов.

Эти данные не совпадают с результатами Лен и Томпсона [7], которые аналогичные эффекты наблюдали при pH 7,2 и 8,0. Таким образом, в микросомах семядолей *Phaseolus vulgaris* зависимость гидролиза АТФ от катионов и pH имеет сложный характер и требует дальнейших исследований.

Академия наук Грузинской ССР  
Институт биохимии растений

(Поступило 22.1.1976)

შოთა შოთა

ა. კალაძეარიავილი, თ. მიმიშვილი

## ათვ ჰიდროლიზი pH-ის გავლენა *PHASEOLUS VULGARIS* ლიგნიზის მიკროსომებში

რეზიუმე

დადგენილია, რომ როგორც ათვ, ისე ადც ჰიდროლიზი მიმდინარეობს pH-ის ფართო ზოვარში და მისი ოპტიმუმი უდრის 6,0. ამვ ჰიდროლიზის აქ განიცდის. ეტივაციის ეფექტი, გამოწვეული როგორც ერთვალენტიანი ( $\text{Na}^+$   $\text{K}^+$   $\text{NH}_4^+$ ), ისე ორვალენტიანი ( $\text{Mg}^{+2}$   $\text{Ca}^{++}$ ) იონებით, მცდავნდება ტუტე არეში და pH ოპტიმუმი 8,0 ტოლია. ამ პირობებში  $\text{Na}^+$   $\text{K}^+$  და  $\text{NH}_4^+$  იონები 50mM კონცენტრაციით აევებენ  $\text{Mg}^{+2}$  და  $\text{Ca}^{++}$  იონებით გამოწვეულ ეტივობას. ერთ- და ორვალენტიანი იონების ერთდროული მოქმედებით გამოწვეული სინერგიზმი მცდავნდება მხოლოდ მაშინ, როდესაც pH 9,0.

BIOCHEMISTRY

A. A. KALANDARISHVILI, T. V. MIMINOSHVILI

## THE INFLUENCE OF pH ON ATP HYDROLYSIS IN THE COTYLEDON MICROSOMES OF *PHASEOLUS VULGARIS*

Summary

Both ATP and ADP have been found to hydrolyze in a wide pH interval, the optimum being 6.0, while AMP hydrolysis does not occur at the latter value. Activation effects caused by univalent  $\text{Na}^+$ ,  $\text{K}^+$  and  $\text{NH}_4^+$  as

well as by bivalent  $\text{Ca}^{++}$  and  $\text{Mg}^{++}$  ions are manifested in alkali medium, the optimum value being pH 8.0. In these conditions  $\text{K}^+$ ,  $\text{Na}^+$  or  $\text{NH}_4^+$  ions at the concentration of 50 mM inhibit the activity caused by  $\text{Mg}^{++}$  or  $\text{Ca}^{++}$  ions.

Synergism at combined action of univalent and bivalent Mg or Ca ions is exhibited only at pH 9.0.

#### ლიტერატურა — REFERENCES

- Д. Б. Вахнинов, Н. Е. Мишулина, В. Н. Исмайлова, С. А. Самойлова, Н. И. Тихая. Физиол. раст., 20, вып. 6, 1973.
- G. Forti. Biochem. Biophys. Acta, 48, № 1, 1961, 200.
- G. Forti, C. Tua, L. Tongoli. Biochem. Biophys. Acta, 36, 1959, 19.
- O. H. Lowry, N. I. Rosebrough, A. L. Farr, R. I. Randall. J. Biol. Chem. 193, 1951, 265.
- Я. Х. Туракулов, Л. Н. Кругульцева, А. И. Гагельганиц. Биохимия, 32, вып. 1, 1967.
- M. R. Atkinson, G. M. Polya. Aust. J. Biol. Sci. 20, 1967, 1069—86.
- I. F. Lai, J. E. Thompson. Biochem. Biophys. Acta, 233, 1971, 84—20.



## БИОХИМИЯ

М. А. БОКУЧАВА (член-корреспондент АН ГССР), В. Р. ПОПОВ,  
Н. И. СКОБЕЛЕВА, Т. А. ПЕТРОВА

### ИСПОЛЬЗОВАНИЕ ЗЕЛЕНОГО БЫСТРОРАСТВОРIMОГО ЧАЯ ДЛЯ ОБОГАЩЕНИЯ РАЗЛИЧНЫХ ВИДОВ ЧАЯ

Одной из важнейших задач чайной промышленности СССР является обеспечение страны чаем отечественного производства. Важное значение в решении этой задачи принадлежит производству быстрорасторимого чая за счет использования резервного сырья.

Быстрорасторимый чай (БРЧ) представляет собой сухой экстракт натурального зеленого или черного чая, который целиком, без остатка растворяется в горячей и даже холодной воде и не требует предварительного заваривания [1—3].

По своему химическому составу и физиологическому действию БРЧ является ценным продуктом, так как содержит в концентрированном виде все ценные растворимые вещества обычного чая: танин, кофеин, катехины, различные витамины, аминокислоты, сахара и др. Так, например, содержание танинокатехинового комплекса составляет 30—50%, кофеина — 5—7%, что значительно выше содержания этих соединений в обычном чае. Проведенные нами исследования показали, что, помимо непосредственного потребления, БРЧ, особенно зеленый, может быть использован для обогащения различных видов чая. Данному вопросу и посвящено настоящее сообщение.

Целесообразность и значительная экономическая эффективность использования зеленого быстрорасторимого чая для обогащения различных видов чая определяются тем, что зеленый быстрорасторимый чай (ЗБРЧ) может быть получен из несортового чайного сырья (формовочный материал осенней или весенний подрезки, некондиционный лист машинного сбора, III фракция сортового сырья, не идущая на производство обычного чая).

Необходимо отметить, что если по количественному содержанию ценных растворимых веществ (дубильные вещества, кофеин и др.) грубые листья резко отличаются от молодых при расчете на их сухой вес, то это различие не столь разительно в пересчете на экстракт. На такую закономерность впервые обратил внимание А. И. Опарин в 1946 г. при сравнении химического состава экстрактов молодых побегов и формовочного материала [4]. Этот факт позволяет применять экстракт грубого чайного листа в виде ЗБРЧ для обогащения других видов чая.

Как известно, обычный чай, даже наилучшего качества, содержит 35—40% растворимых веществ и 60—65% нерастворимых, так называемую разварку, которую обычно выбрасывают. Возникает вопрос, нельзя ли повысить содержание экстрактивных веществ обычного чая путем добавления ЗБРЧ. Ведь известно, что для повышения экстрактивных веществ кофе при его заваривании добавляют 20% цикория. Опыты показали, что путем добавления ЗБРЧ можно значительно повысить содержание экстрактивных веществ, в том числе и наиболее

полезных из них — дубильных веществ, кофеина и др., что существенно повышает пищевую и биологическую ценность любого вида чая.

В табл. 1 представлены данные химического анализа различных видов чая после их обогащения ЗБРЧ. Эти данные показывают, что добавление ЗБРЧ к различным видам чая (лао-ча, зеленый, черный) приводит к существенному увеличению содержания в них танина и общей суммы экстрактивных веществ.

Таблица 1  
Влияние добавки зеленого быстрорасторимого чая (ЗБРЧ) на химический состав различных видов чая

№	Название	Танин, %	Экстрактивные вещества, %
1	Черный чай — исходный	14,30	37,46
2	Черный чай + 25% ЗБРЧ	16,52	46,20
3	Зеленый чай — исходный	14,62	37,26
4	Зеленый чай + 25% ЗБРЧ	17,72	46,55
5	Лао-ча — исходный	9,50	28,26
6	Лао-ча + 20 % ЗБРЧ	13,28	39,43
7	Лао-ча + 30 % ЗБРЧ	17,05	49,72
8	Лао-ча + 50 % ЗБРЧ	18,44	50,57
9	Лао-ча + 80 % ЗБРЧ	21,52	66,93

Еще более значительный эффект наблюдается при использовании ЗБРЧ для обогащения черного чая в процессе его изготовления из непрессованного сырья, из которого черный чай обычным методом не получают.

Таблица 2  
Химический состав грубого чайного листа и полученного из него чая  
(в % от сухого веса)

Анализируемый материал	Танин	Кофеин	Аминокислоты	Экстрактивные вещества
Грубый чайный лист	12,8	1,55	0,90	33,5
Черный чай из грубого листа	6,1	1,50	0,95	27,7
ЗБРЧ из грубого листа	33,5	4,90	3,05	100,0
Черный чай из грубого листа + ЗБРЧ	14,7	4,40	2,50	66,9

В табл. 2 приведен химический состав грубого чайного листа и полученного из него черного чая при обогащении ЗБРЧ. Как видно из таблицы, использование ЗБРЧ в качестве обогатителя при технологической переработке грубого чайного листа повышает содержание в нем танина, кофеина, аминокислот и общую сумму экстрактивных веществ примерно в 2,5 раза. В результате этого из грубого листа можно получить чай, по своему химическому составу близкий к чаям, полученным из сортового листа.

Таким образом, полученные данные показали, что, помимо использования БРЧ в качестве напитка, он может быть применен для обогащения других видов чая.

Работы в этом направлении продолжаются.

В заключение следует сказать, что широкая организация производства ЗБРЧ позволила бы полнее и лучше использовать резервное сырье, расширить чайные ресурсы и тем самым способствовала бы обеспечению страны чаем отечественного производства.

Академия наук СССР

Институт биохимии

им. А. Н. Баха

(Поступило 5.2.1976)

---

#### ЗАПОМНИЛОСЬ

ა. ბოკუჩავა (საქ. სსრ მეცნ. ფაცემის წევრ-კორესპონდენტი), ვ. პოპოვი,  
ნ. სკობელევა, ტ. პოტროვა

მუზანი სრულად სენადი ჩაის გამოყენება სხვადასხვა ჩაის  
გასამდიდრებლად

რეზიუმე

შესწავლით სარეზერვო ნედლეულიდან მიღებული მწვანე სწრაფხსნა-  
დი ჩაის გამოყენების გზები სხვადასხვა ჩაის გასამდიდრებლად. გადიდებუ-  
ლი ჩაი ქიმიური შედგენილობით უახლოვდება ხარისხოვანი ნედლეულიდან  
მიღებულ ჩაის.

---

#### BIOCHEMISTRY

M. A. BOKUCHAVA, V. R. POPOV, N. I. SKOBELEVA, T. A. PETROVA

#### UTILIZATION OF GREEN INSTANT TEA TO ENRICH VARIOUS VARIETIES OF TEA

##### Summary

Data are presented on the utilization of green instant tea manufactured from coarse material to enrich various sorts of tea. The chemical composition of enriched tea is close to that produced from high quality material.

#### ЛІТОРАЛА — ЛІТЕРАТУРА — REFERENCES

1. М. А. Бокучава, Г. Н. Прудзене. Авт. свид. № 166228 от 29.VIII.1964 г.  
Опубликовано в Бюлл. 21 от 10.XI.1964 г.
2. М. А. Бокучава, Г. Н. Прудзене. Сообщения АН ГССР, XXXVII, № 3, 1965,  
587.
3. М. А. Бокучава, Н. И. Орагвелидзе. ЦНИИТЭИПП, Экспресс-информация,  
вып. 4, 1974.
4. А. И. Опарин. Биохимия чайного производства, 5, 1946, 153.



მიკროგიოლოგია და ვირტუალოგია

მ. ზღვაშვილი, ლ. ჩაჩუა, ნ. რამიშვილი

სტერილური სავაგიტაციო ცდის პიროგების აზომის ფორმების და  
 ბარტერიზაციის გავლენა სოიას ზრდა-ბანგითარიჩაზი

(წარმოადგინა ავთვენის ნ. კეტოველმა 8.5.1975)

ჩვენ შევისწავლეთ ამონიაკური და ნიტრატული აზოტის გავლენა სოიას  
 ზრდა-განვითარებასა და კოერების წარმოქმნაზე. ცდაში გამოვიყენეთ სიდე-  
 რისის და ინგის საკვები ხსნარი — მთლიანი და ერთი მეხუთედი ნაწილი  
 ამონიაკური და ნიტრატული აზოტისა.

ცხრილი 1

აზოტის ფორმების და ბაქტერიზაციის გავლენა სოიაზე პირველადაწყებითი  
 ზრდის ფაზაში

ცდის ვარიანტი	მცენარის სი- მაღლე, სმ	ფესვის სიგრძე, სმ	მცენარის წონა, გ	ფესვის წონა, გ	კოერების რაოდე- ნობა	კოერების წონა, გ
ამონიაკური აზოტი						
28 მგ სტერილური	15,80	11,80	9,50	2,70	—	—
28 მგ ბაქტერიზებული	17,60	16,60	17,52	5,80	10	0,10
5,6 მგ სტერილური	20,70	21,70	30,60	13,50	15	0,12
5,6 მგ ბაქტერიზებული	21,00	23,50	28,50	12,20	32	0,95
ნიტრატული აზოტი						
40 მგ სტერილური	26,00	24,60	53,30	22,50	—	—
40 ბაქტერიზებული	28,80	22,00	63,20	26,20	175	1,32
8 მგ სტერილური	24,00	25,80	44,50	21,50	—	—
8 მგ ბაქტერიზებული	23,50	25,60	37,10	15,10	59	0,90

როგორც გამოიჩინა, ამონიაკური აზოტის მთლიანი ნორმა — 28 მგ/კგ ამონიუმის სულფატი ტოქსიკურად მოქმედებს სოიაზე განვითარების პირვე-  
 ლიები ფაზიდან. 1 ცხრილიდან ჩანს, რომ ცდის ამ ვარიანტზე მცენარის სიმაღ-  
 ლე, ფესვის სიგრძე, მცენარის და ფესვის წონა ნაკლებია სხვა ვარიანტებთან  
 შედარებით. ბაქტერიზაცია ერთგვარად ამცირებს ამონიაკური აზოტის ტოქ-  
 სიკურობას. ამონიაკური აზოტის ერთ მეხუთედამდე შემცირება (5,6 მგ/კგ)  
 მკერდიან ამცირებს ტოქსიკურობას — შესაბმებელი იზრდება მცენარის სი-  
 მაღლე, ფესვის სიგრძე, მცენარი მასის და ფესვის წონა. სოია საუკეთესოდ იზ-  
 რდება კალციუმის ნიტრატის მთლიანი დოზის მიწოდებისას, ასეთი კვების  
 არეზე ბაქტერიზაცია იწვევს მცენარის უფრო უკეთ განვითარებას. ნიტრატუ-  
 ლი აზოტი საუკეთესოა არა მარტო მცენარის განვითარებისათვის, არამედ  
 კოერების ბაქტერიზებისთვისაც. სხვა მკვლევართა მონაცემებისაგან განსხვავე-  
 ბით ცდის ამ ვარიანტში კოერების რაოდენობა მაქსიმალურია. ნიტრატული  
 აზოტის 8 მგ/კგ-ზე შემცირებისას იკლებს მცენარის სიმაღლე, მცენარის და  
 ფესვის წონა. ბაქტერიზაციის შედეგად კიდევ უფრო მცირდება ეს მონაცემე-

ბი. როგორც ჩანს, აზოტის ნაკლებობა მცენარის განვითარების დასაშუალებიში, როცა კოტის ბაქტერიების ცხოველმყოფელობა ჭერ კიდევ სუსტია, ქმნის კოტის ბაქტერიების პარაზიტობის პირობებს.

უვავილობის ფაზაში, ისევე როგორც პირველდაშეცებით ფაზაში, ამონია-კური აზოტით კვებისას მცენარის სიმაღლე და წონა ნაკლებია, ვიღრა-ტული აზოტით კვებისას (ცხრილი 2). ბაქტერიზაციის გავლენით იზრდება ეს მაჩვენებლები. მა ფაზაშიც 40 მგ ნიტრატული აზოტის მიწოდებისას მცენარე საუკეთესოდ ვითარდება, კოტის რაოდენობა მაქსიმალურია, ხოლო რაც შეეხება ბაქტერიზაციის გავლენას, იგი უფრო მკეთრია ნიტრატული აზოტის 8 მგ-ზე შემცირებისას.

ცხრილი 2

აზოტის ფორმების და ბაქტერიზაციის გავლენა სოიაზე უვავილობის ფაზაში

ცდის ვარიანტი	მცენარის სი- მაღლე, მგ	ფესვის სიგრძე, სმ	მცენარის წონა, გ	ფესვის წონა, გ	კოტის რაოდე- ნობა	კოტის წონა, გ
ამონიაკური აზოტი						
28 მგ სტერილური	12,60	15,20	5,12	1,62	—	—
28 მგ ბაქტერიზებული	17,80	18,90	7,65	2,90	3	0,05
5,6 მგ სტერილური	20,10	20,60	10,95	4,30	—	—
5,6 მგ ბაქტერიზებული	18,60	30,00	16,10	5,60	13	0,20
ნიტრატული აზოტი						
40 მგ სტერილური	33,30	40,60	53,34	22,20	—	—
40 მგ ბაქტერიზებული	37,70	30,20	59,15	25,00	119	2,80
8 მგ სტერილური	21,70	25,00	19,50	6,75	—	—
8 მგ ბაქტერიზებული	25,10	25,30	32,50	14,05	76	1,5

სოიას მწიფობის ფაზაში ჩატარებულმა ბიომეტრიულმა აღრიცხვამ გვიჩვენა, რომ 28 მგ ამონიაკური აზოტით კვებისას სოიას ფოთოლები დარე შეახმა და ჩამოცვიდა, ფესვები რედუცირებული იყო, მცენარე პარკი არ გაიყოთა. ბაქტერიზაციის გავლენით მცენარე უკეთ ვითარდება, მატულობს მცენარის სიმაღლე, ფესვის სიგრძე, შემცვენარი ფოთოლი მცენარეს ვაგეტაციის ბოლომდე შერჩა. ამონიაკური აზოტის 5,6 მგ-ზე შემცირება ხელს უწყობს მცენარის, შეტანდე ფესვთა სისტემის, უკეთ განვითარებას, მაგრამ მცენარე პარკი არ იკეთებს. ბაქტერიზაციის გავლენით იზრდება მცენარის სიმაღლე, მცენარის და ფესვის წონა, რაც მთავარია მცენარე იკეთებს პარკს და იძლევა მოსავალს. მცენარის განვითარების პირველივე ფაზიდან 40 მგ ნიტრატული აზოტი საუკეთეს აღმოჩნდა სოიას განვითარებისათვის, მცენარად გაზარდა მცენარის სიმაღლე, ფესვის სიგრძე, წონა და მცენარემ კარგი მოსავალი მოგვცა. ბაქტერიზაცია მნიშვნელოვნად ზრდის მცენარის სიმაღლეს და წონას. ბაქტერიზაციის გავლენა შეკვეთით ნიტრატული აზოტის 8 მგ-ზე შემცირებისას: თუ ბაქტერიზაციის გარეშე მცენარე ერთ პარკს იკეთებს, ბაქტერიზებულზე პარკების რაოდენობა რვამდე იზრდება, იზრდება მარცვლის მოსავალი (ცხრილი 3).

ამრიგად, სოიას კოტის ბაქტერიების ცხოველმყოფელობის წყალობით ამონიაკური აზოტის მთლიანი ნორმა ნაკლებ ტოქსიკურობას მეტავრებს: ასე-

სტრილური საცემოებით ცდის პირობებში აზოტის ფორმების და ბაქტერიზაციის... სამსახურის განკუთხების... სამსახურის განკუთხების... სამსახურის განკუთხების...

თი მცენარე უკეთ ვითარდება, მცენარის და ფესვის სიგრძე, აგრეთვე მიწის-ზედა მასის და ფესვების წონა უფრო მეტია. მცენარისათვის ერთი მეცუთე-დი ამონიაკური, აგრეთვე მთლიანი და ერთი მეცუთედი ნიტრატული აზოტის

### ცტრილი 3

აზოტის ფორმების და ბაქტერიზაციის გაცემა სოის მოსაცავისაზე

ცდის ვარიანტი	მცენარის სიმაღლე, სმ	ფესვის სიგრძე, სმ	მცენარის ფაზა, გ	პარკის სისქედა დღე	პარკის მარცვლის რაოდენობა	პარკის მარცვლის წონა, გ
ამონიაკური აზოტი						
28 მგ სტრილური	12,50	6,20	—	4,18	—	—
28 მგ ბაქტერიზებული	15,00	12,00	3	5,35	—	—
5,6 მგ სტრილური	13,10	16,10	—	4,87	—	—
5,6 მგ ბაქტერიზებული	25,30	16,50	16	9,85	7	5
ნიტრატული აზოტი						
40 მგ სტრილური	23,80	28,10	—	15,50	4	4
40 მგ ბაქტერიზებული	34,40	22,70	83	21,30	9	17
8 მგ სტრილური	18,20	23,01	—	7,40	1	1
8 მგ ბაქტერიზებული	26,96	12,33	46	8,39	8	3

მიწოდებისას ბაქტერიზაცია უზრუნველყოფს სოის უკეთ განვითარებასა და მარცვლის მოსაცავისაზე განვითარებისა და კოერის ბაქტერიზების ცხოველმყოფელობისათვის საუკეთესო შედეგს იძლევა 40 მგ ნიტრატული აზოტი.

საქართველოს სსრ მეცნიერებათა აკადემიის  
ბოტანიკის ინსტიტუტი

(მუხურა 15.5.1975)

## МИКРОБИОЛОГИЯ И ВИРУСОЛОГИЯ

### М. П. ЖГЕНТИ, Л. Ш. ЧАЧУА, Н. М. РАМИШВИЛИ ВЛИЯНИЕ ФОРМ АЗОТА И БАКТЕРИЗАЦИИ НА РОСТ И РАЗВИТИЕ СОИ В УСЛОВИЯХ СТЕРИЛЬНОГО ВЕГЕТАЦИОННОГО ОПЫТА

#### Резюме

Изучалось влияние бактеризации на фоне полной и одной пятой нормы нитратного аммиачного азота на образование клубеньков и развитие сои.

Благодаря жизнедеятельности клубеньковых бактерий сои в начальной фазе развития растений токсичность полной нормы аммиачного азота уменьшается. В последующие фазы развития под влиянием бактеризации растения развиваются лучше и дают больший урожай зерна. При наличии в среде нитратного азота влияние бактеризации тем резче, чем меньше растение обеспечено азотом.

Как для роста и развития растений, так и для жизнедеятельности клубеньковых бактерий сои наилучший результат дает доза 40 мг нитратного азота на 1 кг песка.

**MICROBIOLOGY AND VIROLOGY**

M. P. ZHGETI, L. Sh. CHACHUA, N. M. RAMISHVILI

**THE INFLUENCE OF VARIOUS FORMS OF NITROGEN AND  
BACTERIZATION ON THE GROWTH AND DEVELOPMENT OF  
SOYBEAN UNDER STERILE POT EXPERIMENT CONDITIONS**

**Summary**

The influence of bacterization against the background of full and 1/5 rates of nitrate and ammoniac nitrogen on the formation of nodules and development of soybean was investigated.

The toxicity of the full rate of ammoniac nitrogen decreases due to the activity of nodule bacteria of soybean, the plant develops better, the length of the plant and root, as well as the weight of above-ground mass and roots achieve considerable size. Bacterization favours a better development of soybean and substantially increases the yield when 1/5 ammoniac as well as full and 1/5 rates of nitrate nitrogen are applied. The best results for the growth and development of plant as well as for the activity of nodule bacteria of soybean are obtained by the application of 40 mg nitrate nitrogen.



## МИКРОБИОЛОГИЯ И ВИРУСОЛОГИЯ

Г. Я. ДАРАСЕЛИЯ

### ВЛИЯНИЕ МАГНИТОФОРОВ НА РОСТ И КАРОТИНОГЕНЕЗ *MYCOSAFTERIUM PHLEI*

(Представлено академиком С. В. Дурмишидзе 28.10.1975)

Многочисленные исследования культуры *Myc. phlei* показывают, что большинство выделенных штаммов способно в большей или меньшей степени синтезировать каротиноиды и комплекс витаминов группы В [1—4]. Поэтому этот вид микроорганизмов привлекает особое внимание исследователей как исходная культура для получения поливитаминного препарата.

В связи с разработкой поливитаминного препарата большое значение приобрели эксперименты по повышению биосинтеза каротина. Изучена спонтанная [5] и индуцированная изменчивость *Myc. phlei* [6]. Получены мутанты, синтезирующие в 5—6 раз больше каротиноидов и витаминов группы В, по сравнению с исходным штаммом [6—8].

Из отечественных и зарубежных исследований известно, что физические и химические средства стимуляции жизнедеятельности этого вида микобактерий (свет, температура, химический состав среды) не дают должных результатов. Поэтому большое значение имеет изыскание новых эффективных средств стимуляции роста и каротиногенеза *Myc. phlei*.

Одним из таких средств могут служить магнитостатические поля. Описано влияние магнитных полей (МП) на различные биологические объекты, а именно на растения [9], животных [10], микроорганизмы [11].

Невоспроизводимость и противоречивость полученных результатов при использовании в качестве источников магнитостатических полей магнитов (постоянных и электромагнитов) и методическая неравноценность опытов не позволили проведенным работам выйти за пределы лабораторных опытов.

При оценке воздействия магнитостатических полей на биологический процесс в качестве средства управляющего воздействия на жизнедеятельность биологических объектов были созданы магнитофоны — источники магнитостатических полей заданных параметров. В отличие от постоянных магнитов и электромагнитов, с которыми до настоящего времени проводились магнитобиологические исследования, магнитофоны обладают многими преимуществами: во-первых, повышенной информационной емкостью, большим числом пар магнитных полюсов, сосредоточенных на единице площади, определяющих информационное содержание магнитоносителей ( $\text{бит}/\text{м}^2$ ); во-вторых, большой вариабельностью, способностью изменять в нужных пределах как информационное содержание (емкость) магнитоносителя, так и параметры магнитостатических полей; форму, напряженность, энергию; в-третьих, регулируемой площадью экспериментального пространства при возмож-

ности наносить магнитоноситель непосредственно на поверхность реакционных приборов, аппаратов, устройств; в-четвертых, стабильностью магнитных параметров полей при длительных сроках эксплуатации в экспериментальных режимах (температура, влага, вибрация).

Для проведения опыта в качалочные колбы емкостью 750 мл разливали по 50 мл производственной среды № 3 следующего состава (г/л): моласса — 90, кукурузный экстракт — 8, уксусно-кислый натрий — 0,5. Затем в каждую колбу в качестве посевного материала вносили по 5 мл культуральной жидкости, выращенной в колбах на той же среде. Листовые магнитофоны толщиной 2 мм с заданными параметрами магнитостатических полей помещали на дно качалки, затем на них ставили колбы. Инкубировали на круговой качалке при 220 об/мин в течение 5 суток при температуре 28°.

Для исследования управляющего воздействия на процессы роста и биосинтеза *Myc. phlei* были взяты магнитофоны на основе каучука и порошка бария. На их поверхность с помощью профильных индукторов наносили магнитограмму полей различных форм при двух значениях напряженности (остаточной индукции) — 50 и 100 э и информационной емкости — 3·10<sup>-3</sup> и 6·10<sup>-3</sup> бит/мм<sup>2</sup>.

После выращивания культуры производили учет прироста биомассы методом взвешивания. Количество каротиноидов определяли по методике Д. И. Сапожникова и др. [12] в модификации Ю. М. Возняковской и др. [13]. Результаты исследования представлены в таблице.

Влияние магнитофоров на рост и каротиногенез  
*Mycobacterium phlei*

Варианты опытов	Вес сырой биомассы, г/л	% к контролю	Каротиноиды, мкг/г	% к контролю
Контроль	81	100	1007	100
A-1 (50 э)	100	122,2	1456	144,4
A-2 (100 э)	60	74,0	658	65,3
B-1 (50 э)	104	128,4	1357	134,9
B-2 (100 э)	60	74,0	600	60,0
B-1 (50 э)	106	130,0	1496	148,5
B-2 (100 э)	60	74,0	714	70,0
Г-1 (50 э)	106	130,0	1400	139,0
Г-2 (100 э)	60	74,0	600	60,0
M-1 (50 э)	128	158,0	1631	161,0
M-2 (100 э)	56	70,0	531	52,7

Как видно из таблицы, магнитофоны марок А-1, Б-1, В-1, Г-1, М-1 при воздействии магнитостатическими полями напряженностью 50 э показали увеличение выхода биомассы *Myc. phlei* на 22—58%. Эти же дозы оказали стимулирующее влияние на каротиногенез и дали увеличение каротиноидов на 34—61%, по сравнению с контролем.

Лучшие результаты по выходу биомассы и биосинтезу каротиноидов были получены на магнитофоне марки М-1, обладающей большой информационной емкостью. Магнитофоны тех же марок при воздействии магнитостатическими полями напряженностью 100 э, оказали ингибирующее действие как на рост, так и на каротиногенез *Myc. phlei*, что выражалось в снижении выхода биомассы на 26—30% и каротиноидов на 40—47%. Наибольшее снижение выхода биомассы и каротиноидов вызывали магнитофоны марки М-2.

Результаты наших экспериментов дают основание считать, что магнитофоры марок А, Б, В, Г, М способны оказывать управляющее воздействие на рост и каротиногенез *Myc. phlei*, как интенсифицируя, так и подавляя его жизнедеятельность.

Различные взгляды отдельных исследователей на природу биологического действия МП в конечном счете подтверждают представление о МП как об активных физических факторах окружающей среды. Об этом свидетельствуют и наши исследования некоторых функций жизнедеятельности *Myc. phlei*, подвергнутых действию магнитофор, напряженность которых составляла 50 и 100 э.

Академия наук Грузинской ССР  
Институт биохимии растений

(Поступило 30.10.1975)

მიკობიოლოგია და ვირუსოლოგია

### პ. დარასელია

მაგნიტოფორის მოქადაფება *MYCOBACTERIUM PHLEI*-ს  
ზრდაზე და კაროტინოგენეზიზე

#### რეზიუმე

50 ერსტედი დაძაბულობის მაგნიტოსტატიურმა ველებმა გააღიდეს *Myc. phlei*-ს ბიომასა 22—58%-ით. იმავე დოზას აღმოაჩნდა მასტიმულირებელი მოქმედება კაროტინოგენეზზე — კაროტინოდური პიგმენტები კონტროლთან შედარებით გაიზარდა 34—61%-ით.

100 ერსტედი დაძაბულობის მაგნიტოსტატიური ველები ინტიბირულად მოქმედებდნენ *Myc. phlei*-ს ზრდაზე და კაროტინოგენეზზე, რაც ჩანს ბიომასას შემცირებაში 26—30%-ით, ხოლო კაროტინოდებისა — 40—47%-ით.

MICROBIOLOGY AND VIROLOGY

G. I. DARASELIA

### THE INFLUENCE OF MAGNETOPHORESIS ON THE GROWTH AND CAROTINOGENESIS OF *MYCOBACTERIUM PHLEI*

#### Summary

The magnetostatic field with the tension of 50 oersted led to 22—58% increase of the biomass yield of *Mycobacterium phlei*. The same dose had a stimulating effect on carotinogenesis, resulting in 34—61% increase of the yield of carotenoid pigments against the control.

The magnetostatic fields with the tension of 100 oersted exerted inhibitory effect on the growth and carotinogenesis of *Mycobacterium phlei*. This was expressed in a decrease of biomass by 26—30 and of carotenoids by 40—47%.

---

 СОВЕРШЕНСТВОВАНИЕ — ЛИТЕРАТУРА — REFERENCES

1. Е. И. Квасников, Д. М. Исакова, Г. С. Елисеева. Микробиол. ж., 3, 1963.
2. Г. С. Бобкова. Микробиология, 34, вып. 2, 1965.
3. К. А. Никитина. Микробиология, т. 35, вып. 2, 1966.
4. Ю. М. Возняковская. Микрофлора растений и урожай. Л., 1969.
5. Г. Я. Дараселия. Сб. «Микробные метаболиты и их использование в сельском хозяйстве». Л., 1973.
6. Г. Я. Дараселия. Генетика, т. 7, 8, 1971.
7. Ю. М. Возняковская и Г. Я. Дараселия. Микробиология, т. 41, вып. 5, 1972.
8. Ю. С. Оследкин, Г. Я. Дараселия. Сб. «Микробные метаболиты и их использование в сельском хозяйстве». Л., 1973.
9. А. В. Крылов, Г. А. Тараканова. Физиол. раст., 7, вып. 2, 1960.
10. Ю. А. Холодов. Влияние электромагнитных и магнитных полей на центральную нервную систему. М., 1966.
11. V. F. Gerencser, M. F. Varnothy, J. M. Varnothy. Nature, 196, № 4854, 1962.
12. Д. И. Сапожников, И. А. Бронштейн-Попова, Т. А. Красовская, А. Н. Маевская. Физиол. раст., т. 3, вып. 5, 1956.
13. Ю. М. Возняковская, А. В. Хотянович. Прикладная биохимия и микробиология, т. I, вып. 3, 1965.



ЭНТОМОЛОГИЯ

Ш. Г. СИЧИНАВА

РЕЦИПРОКНОЕ СКРЕЩИВАНИЕ *CULEX PIPiens PIPiens*  
С *CULEX PIPiens MOLESTUS*, ПИТАНИЕ КРОВЬЮ И  
ПЛОДОВИТОСТЬ САМОК РОДИТЕЛЬСКИХ И ГИБРИДНЫХ  
ПОКОЛЕНИЙ

(Представлено академиком Л. А. Канчавели 18.12.1975)

В лаборатории для определения числа питающихся кровью особей, наблюдения за развитием яичников и установления плодовитости самок родительских (*C. p. pipiens*, *C. p. molestus*) и гибридных поколений обоих направлений ( $\text{♀}C. p. pipiens \times \delta C. p. molestus$  — I направление,  $\text{♀}C. p. molestus \times \delta C. p. pipiens$  — II направление) *C. pipiens* одну часть их кормили на цыплятах (петухах), а другую — на человеке (на себе). Этим особям до и после питания кровью подкармливали сахарным сиропом. Кормление комаров на петухах проводили в больших садках ( $50 \times 50 \times 50$  см) в течение 12 часов (с 22 часов вечера до 10 часов утра), а на кисти руки человека — в маленьких садках ( $20 \times 20 \times 20$  см) в течение 30 минут. Самок исходных и гибридных поколений *C. pipiens* обоих направлений, находящихся на указанных пищевых режимах, помещали по отдельности в маленькие садки и для наблюдения за откладкой яиц в садки ставили чашки Петри с водой. После откладки самками определенного числа «лодочек» приступали к вскрытию всех клавших и неклавших особей. При вскрытии определяли фазу развития фолликулов и степень ожирения. Параллельно с этим у самок с развитыми яичниками до последней фазы подсчитывали число зрелых яиц в обоих яичниках. Подсчет яиц производили также в «лодочках», отложенных указанными выше самками, и таким путем устанавливали плодовитость отдельных поколений исходных материнских особей и гибридов обоих направлений.

Развитие I—III и VIII поколений исходных форм и гибридов проходило со второй половины августа до конца октября и с третьей декады февраля до второй половины марта при длинном фотопериоде 13,05—11,05 часа и температуре в среднем 25,2—21,6°, а IV—VII поколений — с третьей декады октября до третьей декады февраля при коротком фотопериоде 10,08—9,11 часа и температуре 22,7—20,7°.

Переваривание крови у самок первых трех и VIII поколений родительских форм и гибридов, которые подкармливались сахарным сиропом, при температуре 26—23° наблюдалось в основном в течение 2,5—3 суток, а у IV—VII поколений при температуре 22,7—20,7° — после 3—4 суток. Массовая откладка яиц у этих комаров отмечалась в основном на 4—5-й день после кормления.

Число самок I—III поколений *C. p. pipiens*, питающихся кровью петуха и человека, при длинном фотопериоде составляло 39,4—

24,6% и 29,6—13,3%, а IV поколения при коротком фотопериоде — 11,6 и 9,0% соответственно. К зиме особи данной формы набирали живое тело до 3—4 степени и диапаузионировали, причем в лаборатории не удалось содержание его дальше IV поколения. В обоих фотопериодических условиях 36,5—52,7% самок I—III поколений *C. p. molestus* кормились на петухах, а 31,8—46,1% — на человеке. Число самок  $F_1$ — $F_8$  I направления, питающихся на петухах, при длинном и коротком фотопериодах колебалось от 19,0 до 51,3%, а на человеке — от 14,5 до 48,0%. Количество особей  $F_1$ — $F_8$  II направления, насосавшихся кровью петуха и человека, в обоих фотопериодах составляло 35,0—50,4 и 35,0—47,8% соответственно.

Вскрытие самок I, II поколений *C. p. pipiens*, накормленных кровью и углеводом, показало, что при длинном фотопериоде у всех особей яичники развились до конца, однако у 13,6% самок III поколения яичники остались на I фазе. При коротком фотопериоде число самок IV поколения с неразвитыми дальше I фазы яичниками составляло 40%. При длинном фотопериоде у всех самок I—III и VIII поколений *C. p. molestus* и гибридов обоих направлений, находящихся на указанных выше пищевых режимах, яичники развились до V фазы, а при коротком фотопериоде не у всех особей яичники созревали до конца: число самок *C. p. molestus* IV—VII поколений при коротком фотопериоде с развитыми яичниками составило 85,7—89,3%, а I, II гибридного направления — 70,0—85,2 и 76,2—92,0% соответственно.

Самки *C. p. pipiens* с развитыми до конца яичниками находились на 1—2-й степени ожирения, а с неразвитыми дальше I фазы яичниками — на 3—4-й степени и диапаузионировали. Как видно, в случае кровяного питания 70—92% гибридов обоих направлений при коротком фотопериоде проявляет доминантный признак гомодинамности, унаследованный от *C. p. molestus*, 8—30% гибридов характеризуется признаком гетеродинамности *C. p. pipiens* и зимует.

Как при вскрытии особей, так и при подсчете яиц в «лодочках», отложенных самками родительских и гибридных поколений, питающихся кровью и углеводом, выяснилось, что число продуцируемых ими яиц в зависимости от принятой крови прокормителя и изменения фотопериода резко колеблется. Так, плодовитость самок I — III поколений *C. p. pipiens* при питании кровью петуха и человека в длинном фотопериоде составляла в среднем 252—198 и 168—142, а IV поколения в коротком фотопериоде — 161—114 соответственно. Среднее число яиц, продуцируемых *C. p. molestus* I—III и VIII поколений, при указанных выше пищевых режимах в длинном фотопериоде не превышало 125—83 и 90—63, а IV—VII поколений в коротком фотопериоде — 109—82 и 83—67 соответственно. Плодовитость самок  $F_1$ — $F_3$  и  $F_8$  I направления, питающихся кровью петуха и человека, при длинном световом периоде составляла в среднем 118—76 и 87—60, а  $F_4$ — $F_7$  при коротком фотопериоде — 89—68 и 71—56 соответственно. Однако число яиц, продуцируемых особями II гибридного направления, было заметно больше по сравнению с I направлением. Так, средняя плодовитость самок  $F_1$ — $F_3$  и  $F_8$  II направления при указанных пищевых режимах в длинном фотопериоде составляла 142—97 и 134—78, а  $F_4$ — $F_7$  при коротком световом периоде — 125—94 и 93—75 соответственно (см. таблицу).

Средняя и предельная плодовитость самок родительских и гибридных поколений комплекса *C. pipiens* при питании их кровью (петуха—п, человека—ч) и сахарным сиропом

Название отдельных форм <i>C. pipiens</i> и их гибридных направлений	I род. пок. и $F_1$		II род. пок. и $F_2$		III род. пок. и $F_3$		IV род. пок. и $F_4$	
	п	ч	п	ч	п	ч	п	ч
<i>C. p. pipiens</i>	252 134—341	168 96—232	247 142—366	0 0	198 104—295	142 93—206	161 148—260	114 91—176
<i>C. p. molestus</i>	125 42—226	84 32—174	121 36—181	90 45—152	113 53—174	82 31—136	109 45—168	83 38—115
♀ <i>C. p. pipiens</i> × × ♂ <i>C. p. molestus</i>	93 46—150	79 34—132	118 62—178	87 48—136	96 58—155	78 36—113	89 36—136	71 32—130
♀ <i>C. p. molestus</i> × × ♂ <i>C. p. pipiens</i>	142 80—300	134 62—208	140 77—254	117 52—194	122 64—182	97 43—132	125 68—194	93 56—147
	V род. пок. и $F_5$		VI род. пок. и $F_6$		VII род. пок. и $F_7$		VIII род. пок. и $F_8$	
<i>C. p. pipiens</i>	—	—	—	—	—	—	—	—
<i>C. p. molestus</i>	89 42—150	71 27—103	82 51—138	67 38—91	85 46—120	70 42—97	83 58—116	63 38—102
♀ <i>C. p. pipiens</i> × × ♂ <i>C. p. molestus</i>	74 37—132	63 30—91	68 42—112	56 26—82	72 38—108	57 30—94	76 43—122	60 36—92
♀ <i>C. p. molestus</i> × × ♂ <i>C. p. pipiens</i>	107 48—164	82 46—144	112 56—158	75 40—123	94 48—137	81 52—117	97 36—149	78 47—128

Таким образом, число самок лабораторных поколений родительских форм и гибридов обоих направлений комплекса *C. pipiens* питающихся кровью петуха и человека совместно с углеводной подкормкой, при длинном и коротком фотопериодах колеблется от 9,0 до 52,7 %. При указанных пищевых режимах в длинном фотопериоде у всех рассматриваемых самок яичники развиваются до конца, а при коротком световом периоде число особей *C. p. molestus* и гибридов с неразвитыми дальше I фазы яичниками составляет 10,7—14,3 и 8—30% соответственно. Значит, у 70—92% гибридов наследуется признак *C. p. molestus* — гомодинамики, а у 8—30% — признак *C. p. pipiens* — гетеродинамики.

Что касается самок *C. p. pipiens*, то они предаются зимней диапаузе. Среднее число яиц, продуцируемых рассматриваемыми самками, при питании кровью и углеводом в условиях длинного фотопериода намного больше, чем при коротком световом периоде. При приеме крови петуха плодовитость этих особей также заметно больше, чем при приеме крови человека.

Институт медицинской паразитологии

и тропической медицины

им. С. С. Вирсаладзе

МЗ ГССР

(Поступило 19.12.1975)

## შ. სიჩინავა

*C. P. PIPIENS*-ის რეციპროკული ზეჯვარება *C. P. MOLESTUS*-თან, მათგან და კიბრიდულ თაობათა დედლების სისხლით კვება და ნაყოფიერება

## რეზიუმე

ხანგრძლივი დღის პირობებში *C. p. pipiens*-ის, *C. p. molestus*-ისა და მათი ორივე მმართულების პიბრიდულ თაობათა დედლებს სისხლით კვებისას საკერტცხები უმწიფდებათ ბოლომდე, ხოლო მოკლე დღის პერიოდში 8—30% არ უნვითარდება საკერტცხები. ამასთანავე ხანგრძლივი დღის პირობებში აღნიშნული ფორმების ნაყოფიერები გაცილებით მეტია, ვიდრე მოკლე დღის პერიოდში.

## ENTOMOLOGY

Sh. G. SICHINAVA

RECIPROCAL CROSSING OF *C. P. PIPIENS* WITH *C. P. MOLESTUS*,  
BLOOD FEEDING AND FERTILITY OF FEMALES OF PARENTAL  
AND HYBRID GENERATIONS

## Summary

The number of females of laboratory generations of parental forms (*C. p. pipiens*, *C. p. molestus*) and hybrids of both lines ( $\text{♀ } C. p. pipiens \times \text{♂ } C. p. molestus$ ;  $\text{♀ } C. p. molestus \times \text{♂ } C. p. pipiens$ ) fed with blood of cock and man, together with carbohydrate creep-feeding at long (13.05—11.05 hours and temperatures 25.2—21.6°C) and short (10.08—9.11 hours and temperatures 22.7—20.7°C) photoperiods, varies from 9 to 52.7 %. On given diets in long photoperiods all females under study show full growth of ovaries, while in short light period the number of specimens of *C. p. molestus* and hybrids with inhibited ovaries development in the I phase amounts to 10.7—14.3% and 8—30% respectively. This suggests that 70—92% of hybrids inherit the homodynamic character of *C. p. molestus* and 8—30% the heterodynamic character of *C. p. pipiens*. The females of *C. p. pipiens* fall into winter diapause. The average number of eggs produced by the females when fed with blood and carbohydrate in long photoperiods is much higher than in short photoperiod. Fertility of these specimens is considerably better when fed with blood of cock than with that of man.



## ЭКСПЕРИМЕНТАЛЬНАЯ МОРФОЛОГИЯ

Т. Г. ТУМАНИШВИЛИ

### ХАРАКТЕР РОСТА ХРУСТАЛИКА КУРИНОГО ЗАРОДЫША В ТЕЧЕНИЕ 9–17 ДНЕЙ ИНКУБАЦИИ

(Представлено членом-корреспондентом Академии Н. А. Джавахишвили 6.6.1975)

Для описания закономерностей роста организмов и отдельных органов предлагаются различные уравнения [1–7]. Несмотря на разницу в математических выражениях, все они представляют собой частные случаи параболических или же экспоненциальных функций, а некоторые из них являются различными формами одного и того же уравнения [8], т. е. изображают всякий рост как процесс, характеризующийся плавной кривой.

При построении кривых роста авторы, по-видимому, часто оставляют без внимания отклонения от плавных кривых, считая их случайными [1].

Иногда подобные отклонения отбрасываются даже в тех случаях, когда они заведомо закономерны, как это имело место при описании роста насекомых. Время линьки, когда скорость роста сильно замедлена, не учитывалось, и кривая роста принимала вид экспоненты [9–11]. При этом, по-видимому, имелось в виду, что во время линьки происходит перераспределение энергетического баланса в организме насекомого, и процессы направлены преимущественно на образование новой кожи. Но так ли важны в описании кривой роста причины его замедления, если оно происходит закономерно? Ведь авторы не задаются целью выяснить, почему происходит рост, а определяют лишь его количественные закономерности. Таким образом, вопрос о количественных закономерностях роста не может считаться полностью решенным и нуждается в дальнейшем изучении.

Мы исследовали рост хрусталика куриного зародыша с 9-го по 17-й день эмбрионального развития, измеряя влажный вес и количество белка. Взвешивание хрусталиков производили на аналитических весах. Каждый раз взвешивали по два хрусталика и, таким образом, на каждый срок всего по 20 хрусталиков (всего по 10 взвешиваний). Количество белка в хрусталике определяли по методу Лоури [12].

Принятый порядок определения давал возможность вычислять квадратичное отклонение от генерального среднего. Последнее при определении количества белка не превышало 10% для одной серии измерений и для влажного веса — 5%. Но, поскольку определение изменения белка проводилось в пятикратной повторности, а изменения влажного веса в семикратной, практически отклонения от генерального среднего были несколько ниже.

Анализируя приведенные графики, можно заметить, что они сильно отличаются от плавных экспоненциальных при параболических кривых. Вместо постепенного убывания скорости роста здесь наблюдается чередование его ускорений и замедлений. Правда, если провести ли-

нию по центрам тяжести, то в обоих случаях можно получить экспоненциальную кривую. Однако делать усреднения подобного рода не следует, потому что, во-первых, отклонения от плавной кривой, полученные нами, выходят за пределы ошибки и, во-вторых, при повторениях наблюдений кривые совпадают друг с другом с большим постоянством.

Из графика изменения влажного веса хрусталика хорошо видно, что замедление и ускорение роста происходит с периодом в 48 часов. Изменение количества белка не обнаруживает такой четкой периодичности, но и здесь отмечаются замедление и остановка роста (а может быть, и уменьшение его количества).

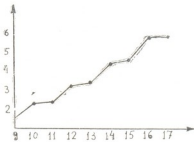


Рис. 1. Изменение влажного веса хрусталика куриного зародыша с 9-го по 17-й день инкубации. По оси абсцисс отсчитано время в днях, а по оси ординат — вес в миллиграммах

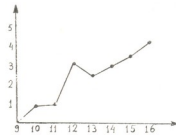


Рис. 2. Изменение количества белка хрусталика куриного зародыша с 9-го по 17-й день инкубации. По оси абсцисс отечтено время в днях, а по оси ординат — количество белка в относительных единицах

Замедление роста количества белка может быть связано с формированием органов, в частности с лизисом клеточных структур или же целых клеток в процессе замены одних структур другими, более новыми. Но, возможно, во всяком случае некоторые из них вызваны ограничениями в энергетических средствах зародыша. Подобные ограничения могут делать невозможным одновременный рост всех органов. В таком случае должны существовать механизмы, обеспечивающие корреляцию скоростей роста различных органов. Таким образом, ускорение роста одних органов должно сопровождаться замедлением роста других.

Кроме того, можно предположить, что неравномерность роста зародыша представляет собой своеобразное выражение биогенетического закона. Остановки роста органов же как бы повторяют остановки роста, имеющие место, например, в процессе метаморфоза у насекомых [9—11].

Вода, как видно, играет компенсационную роль, т. е. ее прибавление и убывание сглаживают остановки роста сухого вещества. В работе [13], где также изучалось изменение количества белка и влажного веса хрусталика, в течение 24 часов (с 9-го по 10-й день эмбрионального развития) было получено следующее: в то время, когда рост количества белка идет неравномерно, влажный вес увеличивается почти линейно, что может происходить посредством водного обмена. На первый взгляд, полученные нами графики противоречат этому, поскольку скорость роста влажного веса меняется чаще, чем скорость роста количества белка. При более тщательном рассмотрении графи-

ков становится ясным, что, несмотря на это, график влажного веса по своей форме больше приближается к экспоненциальному кривой, чем график количества белка, а частое изменение скорости роста, по всей вероятности, и есть проявление компенсационного действия воды.

Исходя из полученных нами фактов с уверенностью можно сказать только то, что рост органов и их частей не подчиняется закону экспоненциального роста и не может быть описан плавной кривой. По-видимому, замедление в росте органов происходит асинхронно, вследствие чего изменения в скорости роста различных органов не могут существенным образом повлиять на характер роста всего зародыша.

Академия наук Грузинской ССР  
 Институт экспериментальной морфологии  
 им. А. Н. Натишивили

(Поступило 12.6.1975)

092306000000000 მოწვევობის

### თ. ТУМАНИშვILI

ქათათ ჩანასახის გროლის ზრდის ხასიათი ინკუბაციის 9—17  
 დღების განვალობაში

რეზიუმე

შესწავლით იქნა ქათმის ჩანასახის ბროლის ნედლი წონისა და ცილის რაოდენობის ცვლილება ინკუბაციის 9—17 დღეებში.

დაკვირვების შედეგად დაფინდა, რომ ორგანოებისა და მათი ნაწილების ზრდა არ ატარებს ექსპონენციალურ ხასიათს. ორგონულ ნედლი წონის, ისე ცილის რაოდენობის ზრდის სიჩქარე პერიოდულად ხან მატულობს, ხან კლებულობს, რის გამოც მრუდი ლებულობს კიბისებრ ფორმას.

EXPERIMENTAL MORPHOLOGY

T. G. TUMANISHVILI

### GROWTH CHARACTER OF THE CHICK EMBRYO WITHIN 9—17 DAYS INCUBATION

#### Summary

Changes of wet weight and protein amount of the chick embryo from the 9th to the 17th day of incubation have been studied.

Observations have shown that the curve of organ growth is not of exponential or parabolic character. The growth rate of both wet weight and protein amount undergoes periodical non-random changes and due to the periodical retardation of growth the curve has scalar shape.

## ლიტერატურა — REFERENCES

1. И. И. Шмальгаузен. Сб. «Рост животных». М.—Л., 1935, 61—73.
2. А. К. Laird. Growth, 29, 1965, 249—263.
3. А. К. Laird. Growth, 30, 1965, 263—276.
4. А. К. Laird *et al.* Growth, 29, 1965, 233—248.
5. А. J. Fabens. Growth, 29, 1965, 265—279.
6. R. P. Spenser, H. J. Coulombe. Growth, 30, 1966, 277—284.
7. W. C. Summers. Growth, 30, 1966, 333—338.
8. Б. Ю. Гинис, Н. Ш. Шагимарданов, А. И. Зотин. Онтогенез, 5, 1974, 284—286.
9. А. И. Зотин. Онтогенез, 3, 1972, 616—618.
10. B. J. Balinski. An Introduction to Embryology. Philadelphia-London-Toronto, 1970.
11. В. В. Клименко. Онтогенез, 2, 1971, 617—625.
12. O. H. Lowry *et al.* J. Bio. Chem. 193, 1958, 265—275.
13. К. К. Гуния, Г. Д. Туманишвили. Труды Ин-та экспер. морфол. им. А. Н. Натишвили АН ГССР, т. 12, 1971, 165—171.



ПАЛЕОБИОЛОГИЯ

А. И. СУЛАДЗЕ

## К ИССЛЕДОВАНИЮ ВЗАИМООТНОШЕНИЙ В СИСТЕМЕ ОРГАНИЗМ-СРЕДА ИЗ ЕВПАТОРИЙСКОГО ГОРИЗОНТА

(Представлено академиком Л. Ш. Давиташвили 23.1.1976)

В 1933 г. Л. Ш. Давиташвили высказал соображение о возможности выделить в нижней части новороссийского подъяруса евпаторийский горизонт [1]. Он же в работе, касающейся экологии макрофлоры морских бассейнов нижнего плиоцена [2], более подробно разбирает этот вопрос. Им дано описание нескольких разрезов из окрестностей г. Евпатория и с Тарханкутского полуострова Юго-Западного Крыма. Анализируя имеющиеся данные, Л. Ш. Давиташвили приходит к выводу о возможности регионального прослеживания этого горизонта.

По общепринятому сегодня мнению, евпаторийский горизонт пользуется широким распространением в Черноморско-Каспийской области Восточного Паратетиса и, будучи составной частью нижнего плиоцена, представляет собой предмет изучения для специалистов, занимающихся соответствующими исследованиями. В Грузии, в частности в Абхазии, этот горизонт был установлен И. Г. Тактакишвили в 1975 г. [3].

Вместе с тем, этому горизонту, должно быть, свойственно неповсеместное распространение в областях развития отложений почвического возраста, что отмечалось Л. Ш. Давиташвили [2]. Такую картину наблюдали и мы, причем в самой непосредственной близости от г. Евпатория и имеющихся там отложений этого горизонта.

Здесь, по нашим наблюдениям, не расходящимся с данными ранее проведенных исследований [2], евпаторийский горизонт фиксируется в верхней части толщи оолитового известняка небольшой мощности, характеризующейся вертикальными полыми пустотами высотой в 1 м и диаметром 2 см.

Сохранность конхилиофлоры из наших сборов плохая. Формы, присущие этой толще, представлены лишь ядрами, о которых тем не менее с достаточной достоверностью можно сказать, что это ядра, оставшиеся после растворения раковин кардиид группы *Presodacna littoralis* Eichw., а из дреесенид—*Congeria nevrorossica* Sinz., *Congeria nivalis* Andrus. (рис. 1), *Congeria panticaeca* Andrus. (рис. 2). О брюхоногих моллюсках также можно судить по ядрам. Согласно любезно сделанным Л. Б. Ильиной определениям, это в основном ядра брюхоногих из рода *Theodoxus* (рис. 3, 4), а также других, как пресноводных, так и наземных: *Pseudamnicola striata* (Andrus.), *Xerosecta ex gr. crenimargo* L. Pieffer, *Helicella* sp., *Pseudamnicola* sp., *Enidae*.

Неудовлетворительная сохранность ископаемых из отложений понтического возраста в районе г. Евпатория еще в 1889 г. отмечалась К. К. Фохтом [4]. Об этом пишут и другие ученые [5].

Настоящее сообщение представляет собой попытку объяснить эту особенность.



Рис. 1. *Congeria pavicula*  
Andrus. Ядро правой створки.  
Ув. в 5 раз



Рис. 2. *Congeria partisaraga*  
Andrus. Ядро правой створки.  
Ув. в 5 раз

Вначале обратимся к упоминавшимся вертикальным пустотам, которые с полным основанием можно интерпретировать как структуры, оставшиеся после отмирания прибрежно-травянистой растительности. К такому заключению нас приводит сопоставление данных Л. Ш. Давиташвили [2] и других авторов [6—8] с результатами наших исследований, а также с тем широко распространенным представлением, согласно которому карбонатные оолиты считаются отложениями прибрежной фации, в чем еще раз убеждает присутствие в исследуемой толще упоминавшихся брюхоногих.



Рис. 3. *Theodoxus* sp. Ув.  
в 10 раз

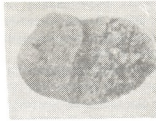


Рис. 4. *Theodoxus* sp. Ядро.  
Вид со стороны устья. Ув.  
в 8 раз

По воззрениям Б. Б. Полынова [9], подтверждающимся последующими исследованиями [10], глинистые минералы могут синтезироваться за счет жизнедеятельности и отмирания растений при их разложении. В изученных нами карбонатных оолитах евпаторийского горизонта рентгеноструктурным методом было установлено наличие в них

металлуазита. Этот же минерал нами был обнаружен и электронной микроскопией оолитов.

Растворение известкового материала раковин моллюсков, очевидно, происходило в условиях повышенной кислотности, образующейся при отмирании и последующем гниении прибрежной растительности. Поскольку оолиты являются отложениями участков земной коры, характеризующихся активным гидродинамическим режимом, то растворение раковин моллюсков, по всей вероятности, происходило беспрепятственно.

Данное объяснение описанных взаимоотношений организма — растительности со средой — местом своего произрастания — бассейном осаждения и накопления оолитов, а ее, в свою очередь, с там же обитавшей малакофауной, мы рассматриваем в качестве конкретного примера приложения идеи структурно-системного метода к палеобиологическим исследованиям многокомпактных экосистем.

Академия наук Грузинской ССР

Институт палеобиологии

(Поступило 30.1.1976)

კალეოგიოლოგია

ა. სულაძე

ორგანიზმი-გარემოს დისტანციური არსებულ ურთიერთობათა  
გამოყვალება მცენტრიზაციის კონცენტრიზაცია

რეზიუმე

სტატიაში განხილულია ორგანიზმის — მცენარეულობის — ურთიერთობა ერთის მხრივ გარემოსთან, რომელიც წარმოადგენს ამ მცენარეულობის ზრდის ადგილს, ანის ოოლიტების წარმოქმნისა და ღალექვის აუზი, ხოლო მეორეს მხრივ ამ გარემოში მობინადრე მოლუსკების ფაუნასთან. პა ურთიერთობათა განხილვა წარმოგვილვენია მრავალკონკრეტურ ეკოსისტემათა პალეობიოლოგიურ კვლევებში სტრუქტურულ-სისტემური მეთოდის იდეების გამოყენების კონკრეტულ მაგალითად.

PALAEOBIOLOGY

A. I. SULADZE

## ON THE INTERRELATIONSHIPS IN THE SYSTEM ORGANISM-ENVIRONMENT FROM EUPATORIAN BEDS

*Summary*

The article discusses interrelationships between the fauna, vegetation and physical environment in the Eupatorian sea (the Pontian age).

## ლიტერატურა — ЛИТЕРАТУРА — REFERENCES

1. Л. Ш. Давиташвили. Информ. сб. НГРИ, 2, 1933, 113.
2. Л. Ш. Давиташвили. Пробл. палеонтол., 2—3, 1937, 565.
3. И. Г. Тактакишили. Сообщения АН ГССР, 78, № 3, 1975, 737.
4. К. К. Фохт. Труды СПб о-ва естествоисп., т. XX, отд. геологии и минералогии. СПб., 1889.
5. Б. А. Федорович и Д. И. Щербаков. Сб. «Каменные строительные материалы», З. Л., 1928, 44.
6. Л. Ш. Давиташвили, Кр. Захарнева-Ковачева. Происхождение каменных лесов. Тбилиси, 1975, 127.
7. П. И. Дорофеев. ДАН СССР, т. 102, № 5, 1955, 1017.
8. Н. А. Щекина. ДАН СССР, т. 162, № 4, 1965, 897.
9. Б. Б. Полянов. Избр. труды. М., 1956, 466.
10. А. И. Перельман. Геохимия ландшафта. М., 1975, 49.



ПСИХОЛОГИЯ

Л. Е. ДЖАНДЖАВА

**ВЛИЯНИЕ УСТАНОВКИ ПРИ АНАЛИЗЕ ИНЖЕНЕРНО-КОНСТРУКТОРСКИХ СИСТЕМ**

(Представлено академиком В. В. Чавчанидзе 20.5.1975)

Работая над достижением заданных конструктивных целей, конструктор полагается на свое профессиональное образование и приобретенный опыт. Поэтому прежде всего возникают варианты, связанные с более привычными, чаще встречающимися конструктивными решениями, вследствие чего наиболее приемлемые варианты могут оставаться незамеченными. Подобное стремление к поиску готовых решений, тривиальных приемов таит опасность быть привязанным к решению, хотя и пригодному, но не к лучшему.

«Можно без преувеличения сказать,—отмечает Я. З. Миндлин,— что вся работа сознательного конструирования пронизана непрерывным стремлением освободиться от плена привычных представлений» [1].

Но что подразумевается под этими «привычными представлениями», что представляют они по содержанию, какова их психологическая сущность?

В психологии трудность, с которой удается изменить установившиеся навыки, уже не соответствующие новым условиям, обычно связывается с ригидностью.

Среди работ, в которых экспериментально изучается ригидность, следует отметить исследование Лачинса [2]. В его экспериментах выявилась тенденция после многократного применения сложного способа решения и простые задачи решать сложным, но привычным путем. Но вопрос о том, какова психологическая сущность этой тенденции, остается открытым.

Проявлением ригидности как определенного свойства личности может быть и фиксированная установка (когда в силу фиксации установка остается в господствующем состоянии и человек, действующий на ее основе, не может выработать новую, соответствующую ситуации установку).

При всем сходстве ригидности Лачинса с понятием фиксированной установки Узнадзе последняя обладает тем преимуществом, что, во-первых, Узнадзе дает ее психологическое обоснование и, во-вторых, не ограничивает действие фиксированной установки только отрицательным эффектом, т. е. подразумевает и положительную роль в использовании прошлого опыта [3].

Поэтому к поставленному нами вопросу мы подошли с позиций психологии установки Узнадзе, а за основу того психологического механизма, который создает значительные трудности на пути к правильному решению конструкторских задач, мы приняли понятие фиксированной установки. Руководствуясь этим понятием, мы задались целью сначала выявить и проследить влияние фиксированной установки при-

менительно к конструкторскому мышлению, а затем создать условия для ее устранения (под устранением влияния установки надо понимать ликвидацию не установки вообще, а только ее отрицательного действия).

В отделе автоматизации и механизации НИИ постоянных магнитов г. Новочеркасска по предложенной нами методике в производственных условиях был апробирован анализ вариантов конструкций полуавтоматического заточного станка. Обработав результаты, мы совместно с ведущими специалистами этого НИИ построили методику, которая состояла из трех этапов.

На первом этапе испытуемому показывалась деталь и предлагалось сделать от руки набросок, кинематическую, полуконструктивную схему, эскиз станка для обработки питателей магнитов, расположенных на криволинейной поверхности. Обработка по радиусу. На этом этапе предполагалось, что испытуемым будет предложен вариант, с которым он знаком.

На втором этапе давалось уже пять готовых вариантов решения этой же задачи с различной степенью приемлемости. От испытуемого требовалась оценка каждого из этих вариантов в пятибалльной системе по вероятности появления ошибок (отклонений). Ошибками при этом считались любые недостатки. Оценки выставлялись исходя из следующих пяти условий: I — ошибки нетерпимые, II — ошибки (отклонения) сильно сказываются, III — влияние ошибок незначительно, IV — ошибки терпимые, V — отклонений не должно быть.

На первых двух этапах предполагалось выявление действия фиксированной установки в первом случае на предложенный вариант и во втором случае на оценку конструкции в целом. В отличие от второго этапа, где давалась возможность оценки готовых вариантов в целом, на третьем этапе оценка каждого из вариантов производилась по тому же пятибалльному способу, но уже по компонентам.

За основу деления по компонентам была принята рекомендация Ханзена [4]. Предполагалось, что если на втором этапе в результате оценки конструкции в целом высший балл получит один из тех вариантов, который ввиду субъективной оценки оказывается не лучшим, то на третьем этапе тот же испытуемый в силу оценки по компонентам придет к наиболее приемлемому варианту, а варианту, казавшемуся ему лучшим на втором этапе, поставит балл ниже.

Проанализируем полученные данные на примере коллектива станкостроительного завода им. Кирова г. Тбилиси. В эксперименте принимали участие 30 испытуемых.

В своей профессиональной деятельности эти испытуемые были связаны с фрезерными станками, которые по принципу действия имеют много схожего со шлифовальными станками, однако с более сложной принципиальной схемой, по сравнению со шлифовальными. Что касается заточки питателей, в частности абразивной обработки, то с ней они были знакомы только по образованию, усвоив, что удаление питателей произведется абразивом, а не фрезой.

Так как методов обработки камнем меньше, чем фрезой, варианты принципиальных схем заточных станков были представлены испытуемыми в большом разнообразии. Они смогли предложить такие ранее ими не применяемые схемы благодаря тому, что были свободны от установки на заточные станки.

Будучи «привязаны» к фрезерным станкам, все испытуемые проанализировали заточный станок как фрезерный, поэтому вероятность

выбора лучшего варианта при оценке существующих конструкций оказалась малой.

По каждому компоненту у специалистов может быть своя фиксированная установка с положительным или с отрицательным действием. В случае отрицательного действия компонент можно разбивать на подкомпоненты, по отношению к которым также будут иметься свои установки.

При оценке систем по компонентам обнаружилось, что опыт работы с фрезерными станками способствовал фиксации определенной установки, отрицательно действующей на технологические процессы заточных станков. По механическим компонентам влияние установки оказалось в основном положительным. Поэтому если в первом случае, во избежание влияния отрицательно действующей фиксированной установки, технологические компоненты необходимо было дробить на большее количество, чтобы не дать возможности обозрения технологического процесса в целом, то во втором случае дробление компонентов на подкомпоненты могло вызвать отрицательное влияние установки, так как о механизме (узле) в целом испытуемые имели представление и чаще встречали в практике действующие конструкции.

Это положение можно рассматривать как рекомендацию по отношению к данному коллективу, у которого обнаружилась отрицательно действующая фиксированная установка на технологический процесс в целом.

Таким образом, мы думаем, что в наших экспериментах оказалось возможным выявить влияние отрицательно действующей фиксированной установки на мышление конструктора, а способ дробления целого на компоненты явился, с нашей точки зрения, тем надежным средством, который способен устраниить действие отрицательной фиксированной установки.

Тбилисский государственный университет

(Поступило 29.5.1975)

Члены комиссии

Л. Жанжава

ГАБЕЗОВИШВИЛИ ГАВАНЕДЖА САДЕКИЕВИЧ-КРЫСЕТИКУАНАШВИЛИ СИСТЕМАТОВА  
АБАЛЮДИШВИЛИ РИКОВА

Редактор

ექსპერიმენტში გამოულინდა უარყოფითად მოქმედი ფიქსირებული გან-  
წყობის გველენა კონსტრუქტორის პზროვებაზე. მიელის კომპონენტებზე და-  
ყოფის შედეგად შესაძლებელი გახდა ამ უარყოფითად მოქმედი ფიქსირებუ-  
ლი განწყობის დაძლევა.

PSYCHOLOGY

L. E. JANJGAVA

THE EFFECT OF SET IN ANALYZING ENGINEERING-DESIGN  
SYSTEMS

Summary

The negative effect of the designer's fixed set on his thinking has been demonstrated experimentally. It is shown that breaking the task into component parts helps to remove this negative influence.

ლიტერატურა — ЛИТЕРАТУРА — REFERENCES

1. Я. З. Миндлин. Логика конструирования. М., 1969.
2. A. S. Luchins. Mechanization in problem solving. Psychological Monographs, 54, № 248, 1942.
3. Д. Н. Узладзе. Экспериментальные основы психологии установки. Тбилиси, 1949.
4. Ф. Ханзен. Основы общей методики конструирования. Л., 1969.



ФИЛОЛОГИЯ

Л. С. ГИУНАШВИЛИ

КРЕСТЬЯНСТВО В ПЕРСИДСКОЙ ПРОЗЕ 20-Х ГГ. НЫНЕШНЕГО  
СТОЛЕТИЯ

(ПОВЕСТЬ А. ХОДАДАДЕ «КРЕСТЬЯНСКАЯ ДОЛЯ»)

(Представлено академиком С. С. Джиккия 4.1.1976)

В истории персидской литературы XX в. значительную роль сыграл тот класс иранского общества, который на сегодняшний день составляет его большинство и является самым нищим и эксплуатируемым классом — это иранское крестьянство. Народ, его жизнь, его духовное величие явились тем благодатным началом, которое разбудило лучшие силы иранского общества. Общий характер отношений современных персидских писателей к народу определился в начале XX в., когда народ выступил в литературе.

Несмотря на то, что между отдельными периодами развития современной литературы и изображением в ней жизни народа не наблюдается видимой связи, все литературные события, так или иначе касающиеся крестьянства, оказываются соединенными между собой законами преемственности и произведения иранских прозаиков 70-х гг. нашего века продолжают традиции литературы начала XX в. в новых формах. С этой точки зрения интересно оглянуться на пройденный путь, его начало и историю.

20-е гг. — это время, когда персидская литература находилась на новом этапе своего развития в результате влияния свершившейся Великой Октябрьской социалистической революции в России и развернувшегося широким фронтом национально-освободительного демократического движения в Иране. В литературе этого периода прослеживается возросший интерес к теме народа. Одним из самых ярких явлений этого периода была повесть Ахмада Ходададе «Крестьянская доля», вышедшая в свет в 1927 г. в городе Керманшахе [1, 2]. Смелость мысли, горячая, неудержимая боль за народ — вот что сквозит в каждой странице этой книги. «Я посвящаю эту книгу, — пишет А. Ходададе, — бедным людям, которые изнемогают от тяжкого труда на полях Персии под сжигающими их лучами солнца. Я посвящаю ее тем, которые кормят целый мир, а сами голодают, которые одевают всех, а сами ходят голые и босые, тем, чьим трудом созидаются дворцы и города всего земного шара» ([2], стр. 9).

Повесть Ходададе охватывает довольно значительный отрезок времени, в начале повести ее главному герою Бахтияру шесть лет. Как показывает нам автор, в результате перехода феодальных угодий, которыми земельная знать владела в соответствии с феодальным правом, в руки новых владельцев-помещиков совершился другой процесс — процесс обезземеливания крестьянства. К XX в. иранский крестьянин оказался «освобожденным от земли и окончательно попал в зависи-

мость от помещика» ([3], стр. 4), при этом, «развитие товарно-денежных отношений и рост денежных сборов с крестьян приводил к увеличению их ростовщического закабаления» ([4], стр. 30). Не смогла изменить положения крестьянства и революция 1905—1911 гг., они по-прежнему остались безземельными.

В книге А. Ходададе обрисовано положение иранского крестьянства, стонавшего под гнетом помещиков и их незаконных действий. По силе выражения и смелости мысли эту повесть можно назвать одним из самых значительных произведений этого времени, она выгодно отличается от произведений иранских писателей того периода ([5], стр. 60). Главная ценность ее заключается в том, что автору удалось уловить суть аграрных отношений иранской деревни 20-х гг. XX в., которые базировались на принципе феодальной издольшины. На примере семьи крестьянинка Аладада автор показывает, что представляла собою крестьянская жизнь.

В главных образах повести, особенно в образе Бахтияра, А. Ходададе раскрывает глубокие черты народной психологии на фоне беспрavия и дикого издевательства над народной личностью. Описывая жизнь Бахтияра, автор дает яркую картину того, как возмутительно несправедливо заключили в железные цепи все духовное богатство, красоту и здоровье народа, как безжалостно лишили его права на свободную жизнь.

Ходададе описывает в повести ту пору, когда иранский крестьянин стоял один на один с гнетущей его властью помещика. Автор рисует нам картины крестьянской жизни, показывающие, что не существовало ничего сдерживающего грубость и произвол по отношению к крестьянам, безобразное издевательство над народом не знало пределов.

Главное внимание А. Ходададе уделяет сфере земледельческих интересов крестьян. Основу крестьянской жизни писатель связывает с условиями труда крестьян, он подчеркивает неразрывную связь крестьянин с землей. Таким образом, положив в основу организации всей крестьянской жизни земледельческий труд, А. Ходададе пытается проследить его влияние на крестьянин. Писатель показывает, как благотворно он влияет на крестьянин, как этот многосложный труд наполняет содержанием все чувства его, заботы, помыслы, всю его деятельность, дает ему ощущение нравственного удовлетворения. Особенно хорошо это видно на примере отца Бахтияра Аладада.

Однако писатель не идеализирует крестьянскую жизнь, он в своей повести широко и правдиво показал действительность 20-х гг. нашего века, в которой жил иранский крестьянин. Наблюдения писателя имеют большое значение для понимания социально-экономических процессов в иранской деревне, подготовивших почву и приведших в конечном итоге к проводимой ныне земельной реформе.

Изображение картин тяжелой жизни крестьянства, голода, быта голодящей деревни приводит А. Ходададе к проблеме феодальных пережитков. Они, эти пережитки, привлекают внимание автора на всем протяжении повести. Что же касается экономической политики в деревне, то А. Ходададе всей своей повестью подчеркивает, что она сводится не только к поддержанию, но и к дальнейшему углублению крестьянского закрепощения и нищеты.

Следует обратить внимание на черту идейного содержания повести А. Ходададе, относящуюся к сфере политических вопросов. В повести мелькают сатирические выпады против руководителей государства, помещиков и государственных чиновников. Это сказывается уже

в начале повести в обрисовке хана Кольян, к которому идет жаловаться Аладад.

Ответ на волнующие вопросы, поставленные в повести, мы находим главным образом в высказываниях о жизни главного ее героя — Бахтияра. Образ Бахтияра воплощает всю противоречивую гамму чувств: любовь к труду и осознание несправедливости, обращение к традиционному укладу жизни и желание подумать о какой-то другой, лучшей жизни. Фигура Бахтияра разработана в духе общей идеи повести. Он говорит от лица народа, от лица угнетенного крестьянства. Он — типичный представитель народа и хранитель не умирающих в народе традиций сопротивления и протesta против угнетения и несправедливости. В своем рассказе о крестьянской доле он не отступает от истины, а факты, изложенные им, большей частью имеют мрачный и зловещий колорит. Высказывания Бахтияра проникнуты ненавистью к угнетателям, соединенной с сочувствием к трудовому народу и его тяжкой доле.

А. Ходададе рисует забитость крестьянства, его темноту, но не для того, чтобы показать их как характерные черты народа. В его изображении это лишь безобразное следствие, порожденное обстоятельствами, жизнью и существенным укладом. Что касается сознания народа, то в основе своей оно здорово и чисто.

А. Ходададе был первым персидским писателем, сумевшим в строгой реалистической манере показать жизнь иранского крестьянства, которая потрясает своим внутренним смыслом. Тема крестьянского разорения впервые в современной персидской литературе была поставлена в творчестве А. Ходададе.

Как правдивый художник А. Ходададе уже в 20-е гг. нашел в иранской деревне не только крестьянина, обреченного на одиночество, забитого и ограбленного, но рядом с ним и тип крестьянина, пробуждающегося от долгого сна. Этот крестьянин еще не верит в торжество своего дела, еще не способен на активную борьбу, но он уже сделал шаг вперед в своих взглядах на мир, в оценке событий.

Огромное социальное значение избранной темы, удачный подбор наиболее типичных фактов, умение использовать точные и яркие характеристики, способность рисовать выпуклые, надолго запоминающиеся образы — таковы основные достоинства повести.

Академия наук Грузинской ССР

Институт востоковедения  
им. акад. Г. В. Церетели

(Поступило 30.1.1976)

БЮЛЛЕТЕНЬ

Л. ШЕСТАЯ ВЫПУСКА

8 ЛЮБОВЬ САБО НЕВОЛЯ САЧАШЕВИС 20-ИДАЕО 7 ЛЮДИ О СААРСЕЦА 36 ТРАГИ

(Б. КОФАДАДАДЕ АМТСАНОА „АЛОНДААЦО СОЛОДИ“)

ЛЮБОВЬ

САБО НЕВОЛЯ САЧАШЕВИС 20-ИДАЕО 7 ЛЮДИ О СААРСЕЦА 36 ТРАГИ  
 Б. КОФАДАДАДЕ АМТСАНОА „АЛОНДААЦО СОЛОДИ“  
 САДАДАДЕ Б. КОФАДАДЕ А. САЧАШЕВИС  
 СААРСЕЦА А. САЧАШЕВИС  
 ТРАГИ А. САЧАШЕВИС

L. S. GIUNASHVILI

## PEASANTRY IN THE PERSIAN PROSE OF THE 1920s

(A. KHODADADE'S STORY "THE PEASANT'S LOT")

### Summary

In his story "The Peasant's Lot" the Iranian writer A. Khodadade set to creating a literary canvas in which he assigned the role of hero to the peasantry. The angry writer produced a memorable picture of the starving countryside, and the plunder and exploitation of the peasants. The writer's lines against those responsible for the hard lot of the peasants are full of relentless sarcasm.

### ՀԱՅՈՒԹՈՒԹՅՈՒՆ — ЛИТЕРАТУРА — REFERENCES

- أحمد على خان خداداده روز سیاه کارگر کرمانشاه
1. A. Ходададэ. Крестьянская доля. Повесть о персидской деревне. Пер. В. Тардова. М.—Л., 1931.
  2. Предисловие А. Шехри к книге А. Ходададэ «Крестьянская доля».
  3. М. С. Иванов. Иранская революция 1905—1911 годов. М., 1957.
  4. N. Kamshad. Modern Persian Prose Literature, Cambridge, 1966.



ი. გაგულაშვილი

შელოცვისა და „იავნანას“ ურთიერთობისათვის

(წარმოადგინა აკადემიის წევრ-კორესპონდენტმა ი. აღაძემ 26.12.1975)

ქართული საწესხევულებო პორჩის შესანიშნავი ნიმუშის „ბატონების“ საგალობრივი ხალხში ზოგჯერ „იავნანადაც“ იწოდება („იავნანო, ვარდო ნანო, იავნანინა / აქ ბატონები მობრძანდნენ, იავნანინა“ და ა. შ., [1], № 40). ამ საგალობრივისადმი ინტერესი სამეცნიერო ლიტერატურაშიც ფართოდ არის ასახული ([2—4] და სხვ.).

„ბატონების“ შესახებ ქართველი ხალხის წარმოდგენა მრავალფეროვანი იყო. მეტად თეზისების სახით გამოყოფთ ჩვენთვის უფრო საინტერესო საკუთრებს.

1. ხალხი „ბატონებს“ სულებად წარმოიდგენდა. იმათ აღამინის ხორციელი სახე გააჩნიათ. 2. არსებობენ დიდი (შავი კირი, ხორცელა, ყვავილ-ბატონები) და პატარა ბატონები (წითელა, ქუნთრუშა, ყულჭირება, ყივაბახველა და სხვ.). 3. კეთილი „ბატონები“ ლაბაზი ქალის სახით არის წარმოდგენილი. მას თეთრი ფერის სიმბოლიკა შესატყვისება. ბორბოტი „ბატონები“ კი შავი ფერის სიმბოლიკის მატარებელი მაშავაცია. 4. „ბატონები“ გვნვდება შავი (შავი კირი), თოლი (ყვავილ-ბატონები), წითელი (წითელა). მათ ჰყავთ შესაბამისი ფერის ხორცი, რომელიცაც ისინი მოგზაურობენ. 5. „ბატონები“ ცხოვრობენ ზურის გაღმა, კუნძულზე. ჰყავთ უფროსი, ქალის სახით. მის ნება-სურვილს „ბატონები“ აბრაუცილებენ, ამ უკანასკნელთ და თვით „ბატონების“ შეუფესებაზე უფლებები აქვთ ამა ძველის მცხოვრებლებზე. „ბატონებისადმი“ გაშეცლი სამსახურის მიხედვით ხალხს სჯიან ან კეთილად ეპურობიან.

თუ ჩვენს მიერ სპეციალურად თეზისების სახით გამოყოფილ ძირითად საკითხებს შეეცდარებთ ქართველ ხალხში მიცვალებულის (და აგრეთვე უამების) შესახებ არსებოւნ წარმოდგენათა რთულ სისტემას, ძნელი არ არის ჩვენს მიერ გამოყოფილ პუნქტებში დავინახოთ წარმოდგენათა დამთხვევა და, თუ გნებავთ, იდენტურობაც.

ქართულ შელოცვებში საქმიან ფართოდაა გავრცელებული ერთი ტრადიციული ფორმულა: „...გასკდა შავი კლდე, გამოვიდა შავი კაცი, შავი ცხენით, შავი ჩიხა-ახალუხით, შავი ნაბდით, შავი ოთვ-ახალით, ჩივიდო შავი ზღვასა, ჩიუყო შავი ხელი (ზოგი ვარიანტით ჭიხი ან ფორჩი), ამოილო შავი გველი, გადაქრა (გადაქრიდა) შავასა სპასა. როგორც იგი კვდებოდა, როგორც იგი ურებოდა, ისე კვდებოდეს, ურებოდეს შენი ავი თვალით შემხედვარე“ (ვარიანტი — „შემხედვი). ასეთივე ფორმულა შეორდება წითელი და თეთრი ფერების მიმართ. ჩენ ვარაუდი გამოვთქვით, რომ შელოცვებში კლდიდან გამოსული შავი, წითელი და თეთრი მხედრები მიცვალებულთა ან უკეთ, წინაპართა სულების, რომლებიც ქართული შელოცვების მიხედვით, ზოგ შემთხვევაში თავად წარმოადგენს დაავადების გამავრცელებელ ძალებს, ზოგ შემთხვევაში კი ებრძევან მოროვ ძალას და იცავენ ადამიანებს. პირველ შემთხვევაში მთქმელი კლავს ან დენისის შავ, წითელ და თეთრ მხედრებს: „მოვიდა შავი კაცი, / შავი ზღვითა და ლამით / წინ შემოეყარა მიქელ გაბრიელ მთავარანგელოზი და ჰეითხა: / სად მინვალ, შე შავო კაცო? / — შე მიგალ კაცთა საწყენად, / ძვალთა სატენად...“ ([15]; იხ. აგრეთვე [6], № № 2002, 2032 და ა. შ.).



ანალოგიური შემთხვევა გვაძეს თეთრი ფერის სიმბოლიების დროსაც, სადაც ტექსტში „კაცს“ „დევი“ ჩანაცლებია: „თეთრი მდევი მოდიოდა, / მთა მოქონდა ერთი რითა / დედამიწა მუხლივითა, / შემეეყარა დედა მარიმი: / — თეთრო მდევო, / სად მიხვალ? / — ადამიანის ტაში / სისხლის სასმელათ...“ ([6], № 2027).

მის გამო გველს კი აღარ კლავს შემლოცველი, არამედ თვით დაავადების შეუაროს, შავ ჩინონსან მხედარს: „გასკდა შავი კლდე, / გაძევიდა შავი კაცი, / შავი ცხენით და თავის იარაღითა, / ვეარი ხელი, / გადავაგდე სისხა ქვეასა...“ ([7], № 21). შელოცვათა ერთი ჯუფის მიხედვით გველს მოქმედი კლავს [5]; იხ. აგრძელვე [6], № № 1863, 1960, 1962, 2028 და სხვ.

შეორე შემთხვევაში კი თეთრი, წითელი და შავი მხედრები კლავენ ამავე ფერის გველებს, რომელთა მიხეზითაც დაავადება წარმოიშობა.

ქართული შელოცვები ამ თვალსაზრისით წინაპართა კულტის შესახებ წარმოდგენათა რთული ეკოლუციის დრამატული მიღებას იძლევა. მათ შემოინახეს რამდენმეტ ძირითადი ეტაპი ამ წარმოდგენის განვითარებისა.

თუ გამორჩეული მოსახურება მცდარი არ არის, მაშინ შეგვიძლია „ბატონება“ და „შელოცვებში წარმოდგენილ პერსონაჟებს შეორის შეგვესძა დავინა-სოთ. ამასთან შელოცვები და „ბატონების“ საგალობრელი ერთი და იმავე ძალების მიმართ ზემოქმედების ისტორიულად შემუშავებულ სხვადასხვა საშუალებად მივიჩნიოთ, რომელიც საზოგადოების სოციალ-ეკონომიკური განვითარების განსხვავებული საფეხურებიდან იღებენ საჭყისები.

ქართველ ხალხს სულეთი იერარქიული სახით ჰქონდა წარმოდგენილი. ამ წარმოდგენებში ძირითადდ თრი ხაზი ჰეინიშნება. სულეთი ციხისია ([8], 70 (№ 10)) და სულეთი გაშლილი ველისა ([9], 178). მეორე შემთხვევაში ველის შუაში ზის მზისებრ მანათობელი ლოთაება, რომელთანაც ანლოს მხოლოდ წმინდა სულები არიან. მათ თეთრი ფერის სიმბოლიერ შეესატყვესძა და ზემოქმედების სუსტი ხარისხი გააჩნიათ. ლოთაებისაგან ოდავ მოზორებით, საღამო სინათლის სხივი ნაკლებად აღწევს, კარგი სულები ბრძანდებიან, რომელიც თაც, ასე თუ ისე, „ცოდვა“ აქვთ ჩადენილი. ისინი წითელი ფერის არიან და ზემოქმედების საშუალო (არამომადგინებელი) ძალისა ჩანან. ბნელეთში კი ლოთაების სინათლე ვერ აღწევს და აქ მყოფი სულები შავი ფერის სიმბოლით წარმოსახული ნიშანია შავი.

სულეთის ციხის სახით წარმოდგენის შემთხვევაში სულეთის მეფე ციხის თავში იძულება მზის სახით. მასთან უველაზე ახლოს ბავშვებისა და წმინდათა სულებით (თეთრი), შუაში — მეტ-ნაკლებად ცოდვიანები (წითელი), ხოლო სულ მვევით ბნელეთის წარმომადგენლები (შავი) არიან.

თეთრი, წითელი და შავი „ბატონები“, შელოცვებში მხედრებით წარმოდგენილი, სულეთის შესაბამისი იერარქიული სფეროს წარმომადგენლები არიან. ინი სულეთის მანათობელი მეუფის ნება-სურვილის გამტარებელ ძალებად ჩანან.

სულეთის ლოთაების შესახებ შემდეგი მოსაზრება გვინდა გამოვთქვათ. ერთ შემთხვევაში სულეთს მზე ანათებს, ხოლო მეორე შემთხვევეში — ზოგი სებრ მანათობელი ლოთაება: საფიქრებელია, რომ სულეთის გამგებელს მზესთან ორგანული კავშირი უნდა ჰქონოდა. უფრო მეტიც, შორეულ წარსულში თვით წარმოადგენდა მას. თუ სხვა ხალხთა კულტურის ისტორიის შედარებითი მოხაცებით ვისარგებლებთ, საღაც სულეთის შეუცი უმთავრესად შდელ-რბითი საწყისისა, უხდა დავუშვათ, რომ ანალოგიური მდგომარეობა გვექნებოდა ქართულ წარმომადგენლების სინამდვილეშიც, საღაც მზე უნდა ყოფილიყო არსულეთის გამგებელი. მზე კი, როგორც ცნობილია, მდედრობითი სქესის არსებად ჰქონდათ წარმოდგენილი. აქ ისმის კითხვა: მზე სულეთში?! თუ გვინდებოდა მის გამო სამაგალი ჩადის ზოგის იქით (ქვიუნელი, სულე-ხალხის წარმოდგენით მზე ქვესკელში ჩადის ზოგის იქით (ქვიუნელი, სულე-

თა ხალხის წარმოდგენით სწორედ ზღვის იქით იყო წარმოდგენილი, ან ზოგჯერ ზღვაში (ზღვა და ქვესკენელი გაიგვებულია ხოლო), გასაუბრი უნდა იყოს ის კავშირი, რომელიც წარმართული მსოფლმხედველობის სხვადასხვა სფეროებს ჰქონიათ. მზისა და ბატობას ერთმანეთთან მიმართება გარდებული მეცნიერებაში [11], ამიტომ ბატონების მავიდისა და სულეთის მეუფის კავშირის შესახებ საკითხის დასმა აღარ იქნება უსაფუძვლო.

სამეცნიერო ლიტერატურაში შენიშვნულია, რომ „იავნანაში“ ნახსენები და და ვარდი („იავნანა, ვარდო ნანა, იავნანინა“ და ა. შ.) ყვავილის მნიშვნელობით არ უნდა იქნენ გაგებულნა. მათ მნიშვნელობათა დაწუსტება სხვა უანრთა მონაცემების გათვალისწინებით არის შესაძლებელი და ქართული ზღაპრის „იამ რა უთხრა ვარდა და ვარდმა რა უთხრა იასა“ მოხმობით გაოქვეული იქნა, რომ „აქ არავითარ მცენარეულშე არ არის საუბარი. იაც და ვარდიც ქვესკენლთან არიან დაკავშირებული. როგორც ირკევვა, ია ქვესკენელთ დედოფლის სახელთან და ვარდი — ქვესკენელთ მეფის სახელთან არის დაკავშირებული. შეიძლება აქ პირდაპირ მცენარეულთ დედოფლისათვის სახელები ისმოდეს“ ([12], გვ. 324). გაირკვა ისიც, რომ „იავნანაში“ ნახსენები „ოქრო“, „იაგუნდი“, „ლალი“ და მისთ. მნათობთა მითოლოგიური ატრიბუტებია კერძოდ, ისინ მზის სახელთან არიან დაკავშირებულნი ([12], გვ. 328—329). აღნიშვნული მონაცემები მხარს უჭერენ ჩვენს მოსაზრებას და მასთან ორგანულ თანხმობაში იმყოფებიან, მაგრამ მცენარეულთა მიერ განსხვავებული შეხედულებაც იქნა გამოთქმული. კერძოდ, წარმართული რწმენის თანაბმაც ყვავილთ ბატონი ცაში ცხოვრობს. „ხეთის იასაული არის...“ ([13], გვ. 360). ჩვენის აზრით, ლექსი „უვავილი“ ([13], გვ. 171—172 (№ 124)), რომლის კომენტარისაც ზემოთ მოტანილი ციტატი წარმოადგენს, „ბატონებზე“ არსებული შეხედულების უფრო გვაანდელ ფენას უნდა ქმნიდეს. საგულისხმოა ისიც, რომ ზეცასთან ყვავილთბატონის დაკავშირება ერთგვარად მზის არსებობით უნდა ყოფილიყო გაპირობებული.

საქართველოს სსრ მცნიერებათა ეკადემია

ივ. გაგულაშვილის სახელობის ისტორიის,  
არქეოლოგიისა და ეთნოგრაფიის ინსტიტუტი

(შემოვიდა 26.12.1975)

## ЭТНОГРАФИЯ

### И. Ш. ГАГУЛАШВИЛИ

### К СВЯЗИ ЗАГОВОРОВ И ПЕСЕН-ЗАКЛИНАНИЙ «ИАВНАНА»

#### Резюме

В статье предпринята попытка раскрыть мифологическое представление о преисподне, которое нашло отражение в грузинских заговорах, и выявлена их связь с песней-заклинанием «Иавнана». На основе этих представлений автор анализирует символику цветов (белого, красного, черного).

#### ETHNOGRAPHY

I. Sh. GAGULASHVILI

CONCERNING THE RELATIONSHIP OF EXORCISM AND THE  
SONG INVOCATIONS “IAVNANA”

#### Summary

An attempt is made to shed light on the mythological idea about the nether world as reflected in Georgian exorcism and to reveal its relation to the song invocation “Iavnana”.

On this basis an analysis of the symbolism of colours (white, red and black) is given.

### ლიტერატურა — ЛИТЕРАТУРА — REFERENCES

1. ქართული ხმები საექლესიო, ქართლ-კახეთის კილოზე, ნოტებზე ანდრია ბენაშვილის მიერ გადაღებული. თბილისი, 1885.
2. თ. სახოცია. ეთნოგრაფიული წერილები. თბილისი, 1956.
3. გ. ვირსაძე. საქართველოს სსრ მეცნიერებათა აკადემიის მოამბე, 16, № 2, 1955.
4. ვ. ვ. ბარძაველიძე. Древнейшие религиозные верования и обрядовое графическое искусство грузинских племен. Тбилиси, 1957.
5. „კრებული“, 1897, 1.
6. ქართული ლიტერატურის ისტორიის ინსტიტუტის ფოლკლორული არქივი.
7. თბილისის სახელმწიფო უნივერსიტეტის ფოლკლორისტიკის კათედრის არქივი.
8. ქართული ხალხური პოეზია. ტ. I, ნაკვეთი I. თბილისი, 1972.
9. ბ. ნიკარიძე. ისტორიულ-ეთნოგრაფიული წერილები. თბილისი, 1962.
10. ვაჟა-ფშაველა. თხზულებათა სრული კრებული, ტ. 9. თბილისი, 1964.
11. გ. ბარძაველიძე. ქართველთა უძველესი სარწმუნოების ისტორიიდან (ლეთაება ბარბალ-ბარბარ). თბილისი, 1941.
12. გ. კოტეტიშვილი. ხალხური პოეზია. თბილისი, 1961.
13. ქართული ხალხური პოეზია, ტ. I, ნაკვეთი II. თბილისი, 1973.



ИСТОРИЯ ИСКУССТВ

Б. А. ГУЛИСАШВИЛИ

АКУСТИЧЕСКАЯ СТОРОНА ЛАДА В УЧЕНИИ  
Ш. С. АСЛАНИШВИЛИ О ГАРМОНИИ ГРУЗИНСКИХ НАРОДНЫХ  
ПЕСЕН

(Представлено академиком В. В. Беридзе 31.1.1976)

В 1950 г. был опубликован на грузинском языке труд Ш. С. Асланишвили «Гармония народных хоровых песен Карталино-Кахетии» [1] и тем самым было положено начало всестороннему изучению гармонических основ грузинского народного многоголосия. До этого времени лишь отдельные вопросы гармонии грузинских народных песен были затронуты в трудах Д. И. Аракишвили, например в книге «Обзор народной песни Восточной Грузии» [2].

Мы рассмотрим лишь один вопрос из обширного учения Ш. С. Асланишвили — вопрос акустики лада, который в основном дан в одном из разделов первой главы его книги «Гармония народных хоровых песен Карталино-Кахетии» [1]. В этом разделе озаглавленном «Акустическая сторона мажорного лада» ([1], стр. 12—13), автор дает акустический анализ миксолидийского лада как наиболее часто встречающегося из группы мажорных ладов в грузинской народной музыке. Он пишет: «В грузинской народной песне в основе мажорного лада, который условно называем миксолидийским, лежат первые обертоны трех натуральных звукорядов от тоники лада на большую секунду вниз и на малую терцию вниз» ([1], стр. 12).

Построив миксолидийский лад от фа, автор отмечает: «Основа этого звукоряда  $f-a-c$  (I—III—V ст.) представляет собой 1-й, 5-й и 6-й тоны<sup>1</sup> обертонового ряда от  $F$ ;  $es-g-b$  (VII—II и IV) являются 1-м, 5-м и 6-м тоном обертонового ряда от  $Es$ ; и наконец  $d-a$  (VI ст.) представляют собой основной тон и квинту обертонового ряда от  $D$ » ([1], стр. 12).

Автор приводит пример построения фа миксолидийского лада ([1], стр. 12) (пример № 1).

VI VII I F F<sub>5</sub> F<sub>6</sub> F<sub>1</sub>

Nº 1

$Es_5 \quad D_6 \quad Es_6 \quad D_1 \quad Es_1$

Автор прав, когда считает необходимым отбросить терцовый тон обертонового ряда на VI ступени, но он не объясняет причину этого, не говорит о том, что 5-й тон (фа-диез) обертонового ряда на VI сту-

<sup>1</sup> Лучше было бы написать 1-й, 3-й и 5-й тоны.

пени (ре) заглушается основным тоном обертонового ряда на I ступени (фа) и становится неслышимым. О подобных заглушениях обертонов сказано в нашем музыказнании [3].

Исходя из секундовых (VI—VII и VII—I ступени) и терцового (VI—I ступени) соотношений, Ш. С. Асланишвили пишет:

«Естественным следствием этого соотношения является, с одной стороны, гармоническое тяготение между ступенями, которые находятся в секундовом соотношении, и с другой стороны, также и терцовое тяготение между I и VI ступенями.

По той же причине возникают секундовое соотношение между основными ступенями (I—VII—VI), секундовое соотношение ступеней в кадансовых формулах и секундовое соотношение в последовательности ладов в модуляционных планах» ([1], стр. 13).

Этот правильный вывод был сделан автором на основе изучения акустики лада.

Исследуя акустическую сторону миксолидийского лада, Ш. С. Асланишвили заложил основы акустического изучения ладов грузинской народной музыки. Можно, например, аналогично дать акустический анализ эолийского лада как наиболее часто встречающегося из группы минорных ладов в грузинской народной музыке.

В основе эолийского лада, так же как и в основе миксолидийского, лежат слышимые тоны трех обертоновых рядов, построенных на I, VII и VI ступенях.

Рассматривая болгарский лад от фа, мы можем отметить, что его звукоряд состоит из 1-го, 3-го и 5-го тонов обертоновых рядов от ре-бемоля (VI ступень) и ми-бемоля (VII ступень) и только 1-го и 3-го тонов от фа (I ступень) (пример № 2).

VI VII — I      F<sub>1</sub>                          F<sub>3</sub>                          F<sub>5</sub>

Nº2

Des<sub>5</sub> Es<sub>5</sub> Des<sub>3</sub> Es<sub>3</sub>                          Des<sub>1</sub> Es<sub>1</sub>

В данном случае 5-й тон (ля) обертонового ряда на I ступени (фа) заглушается 3-м тоном (ля-бемоль) обертонового ряда на VI ступени (ре-бемоль) и становится неслышимым.

Изучение акустики миксолидийского и эолийского ладов позволяет сделать два вывода: 1) звукоряды ладов, наиболее часто встречающихся в грузинской народной музыке, состоят из слышимых тонов обертоновых рядов на VI, VII и I ступенях и этим можно объяснить частую последовательность этих ступеней в кадансах и 2) каданс, часто встречающийся в эолийском ладе, состоящий из последовательности VII и I ступеней, заканчивается в трехголосии интервалом квинтой (устойчивые звуки эолийского лада), так как это соответствует 1-му и 3-му тонам обертонового ряда (5-й тон заглушается).

В следующем разделе той же главы, озаглавленном «Техника определения лада» ([1], стр. 13—34), автор пишет, что «звукоряд песни включает отклонение от темперированного строя» ([1], стр. 25).

Вопросы музыкального строя также относятся к акустической стороне лада. Автор отмечает:

«Во всех изданных песнях Восточной Грузии эти отклонения расчтены не посредством точных приборов, а только лишь слухом. Думается, что эти отклонения неточны и неполны, т. е. собиратели пе-

сен, может быть, не замечали всех отклонений. Но все отклонения у Д. Аракишвили и З. Палиашвили совпадают с определенными нотами: с б. и м. терцией, б. и м. секстой и б. и м. септимой. В то же время следует отметить, что все эти интервалы колеблются между большими и малыми: б. 3 — уменьшается, м. 3 — увеличивается, б. 6 — уменьшается, м. 6 — увеличивается, а м. 7 — увеличивается.

Отмеченные отклонения от темперированного строя одинаково заметны как в сольных, так и в хоровых песнях. В хоровых песнях отклонения также одинаковы как в партии запевалы, так и в партии хора.

Поэтому, поскольку нам позволяют неточные указания, следует отметить, что эти отклонения получены не на основе мелодического движения, а путем фиксированной высоты звуков лада» ([1], стр. 26).

К этому следует добавить, что такая же закономерность проявляется и у секунд: большая секунда уменьшается, а малая секунда увеличивается в сравнении с темперированным строем [4].

Основываясь на этом положении, стало возможным установить приближение строя не только грузинской народной музыки, но и музыки других народов к чистому строю, в котором, как известно, все большие интервалы меньше темперированных, а все малые — больше [4].

Кроме ладов Ш. С. Асланишвили рассматривает аккордику, канкансы, модуляции и тональные планы, характерные для грузинской народной музыки, детально изучает их закономерности и создает новую музыковедческую дисциплину — гармонию грузинской народной музыки, что является большой заслугой не только перед грузинским, но и перед всем советским музыкознанием.

Союз композиторов Грузии

(Поступило 5.2.1976)

60-летие Союза композиторов

### შ. ბულასავილი

კილოს აკუსტიკური მხარი შ. ასლანიშვილის დავლებაზე  
ძართული ხალხური სიმღერის პარონის შესახებ

რეზიუმე

შ. ასლანიშვილმა საფუძველი ჩაუყარა ქართული ხალხური მუსიკის ჰარმონიის შესწავლას. თავის შრომაში „ქართლ-კახური ხალხური საგუნდო სიმღერების პარონია“ იგი იხილავს მიქსოლიდური კილოს აკუსტიკურ მხარეს და თვლის, რომ მას საფუძვლად უდევს I, VII და VI საფეხურებზე ავებულ ობერტონთა რიგების პირველი ექვსი ტონი. ავტორი წერს გადახტების შესახებ ტემპერირებული წყობიდან და აღნიშნავს დიდი ინტერვალების შევიწროვებას, ხოლო პატარა ინტერვალების გაფართოვებას, რამაც საშუალება მოგვეა დაგვედგინა სხვადასხვა ხალხთა მუსიკის წყობის მიახლოვება სუფთა წყობასთან.

B. A. GULISASHVILI

## ACOUSTIC SIDE OF MODE IN Sh. S. ASLANISHVILI'S CONCEPTION OF HARMONY OF GEORGIAN FOLK SONGS

### Summary

Sh. S. Aslanishvili has laid the foundation of studying the Georgian folk music. In his work "Harmony of Kartli-Kakhetian Cicir Folk Songs", dealing with the acoustic side of the Mixolydian mode, it is suggested that this mode is based on audible tones of harmonic series on the I, VII, and VI steps. Considering the digression from tempered system, he notes the contraction of major intervals and expansion of minor ones. This permits the conclusion that the music systems of various peoples approach the natural structure.

### ლიტერატურა — REFERENCES

1. შ. ასლანიშვილი. ქართლ-კახეთის ხალხური სიღუნდრ სიმღერების პარტიი. თბილისი, 1950.
2. Д. И. Аракишвили. Обзор народной песни Восточной Грузии. Тбилиси, 1948.
3. Н. А. Гарбузов. Теория многоосновности ладов и созвучий, 2. М., 1937.
4. Б. А. Гулиашвили. Сообщения АН ГССР, 17, № 4, 1956.

საქართველოს სსრ მიცნარებათა აკადემიაში  
В АКАДЕМИИ НАУК ГРУЗИНСКОЙ ССР

საქართველოს სსრ მიცნარებათა აკადემიის სამსახური

9 თებერვალს გაიმართა საქართველოს სსრ მეცნიერებათა აკადემიის სა-  
ურთო კრება, რომელმაც განიხილა რესპუბლიკის მეცნიერთა ამოცანები სა-  
ქართველოს კომპარტიის XXV ყრილობის გადაწყვეტილებათა მიხედვით.

კრება შესავალი სიტუაცით ვასნესა რესპუბლიკის მეცნიერებათა აკადემიის  
პრეზიდენტმა აკადემიკოსმა ი. ვევეამ. მან აღნიშნა, რომ ქართველი მეცნიე-  
რები დიდ კანკოფილებითა და აღფიროვანებით შეხვდნენ სკოლ ცენტრალუ-  
რი კომიტეტის პროექტს საბჭოთა კუშისის კომიტეტის მიერ პარტიის XXV ყრი-  
ლობისათვის „სსრ კუშისის სახალხო მეურნეობის განვითარების 1976—1980  
წლების ძირითადი მიმართულებები“, საქართველოს კომპარტიის XXV ყრი-  
ლობის გადაწყვეტილებებს.

საურთო კრებამ მოისმინა საქართველოს სსრ მეცნიერებათა აკადემიის  
ვიცე-პრეზიდენტის ე. ხარაძის მოხსენება „საქართველოს კომპარტიის XXV  
ყრილობის შედეგები და საქართველოს სსრ მეცნიერებათა აკადემიის ამოცა-  
ნები“. მას მოხსენებაში ილაპარაკა იმის შესახებ, თუ როგორ სრულდება საქარ-  
თველოს სსრ მეცნიერებათა აკადემიიში სალირექტივო ორგანოების დაღვინი-  
ლებანი და დავალებანი.

რესპუბლიკის მეცნიერებათა აკადემიის აკადემიკოს-მდივანმა ნ. ლანგიაშვილმა საქართველოს კომპარტიის XXV ყრილობის გადაწყვეტილებათა მიხედვით ში-  
უძლენა მოხსენება საზოგადოებრივ მეცნიერებათა განყოფილების თავმჯდო-  
მარებ, აკად. ა. ფრანგიშვილმა.

რესპუბლიკის მეცნიერებათა აკადემიის აკადემიკოს-მდივანმა ნ. ლანგიაშვილმა თავის მოხსენებაში ილაპარაკა იმის შესახებ, თუ როგორ სრულდება საქარ-  
თველოს სსრ მეცნიერებათა აკადემიიში სალირექტივო ორგანოების დაღვინი-  
ლებანი და დავალებანი.

მოხსენებათა განხილვაში მონაწილეობდნენ გამოყენებითი მექანიკისა და  
მართვის პროცესების განყოფილების თავმჯდომარე აკად. ვ. მახალაძიანი, მა-  
თემატიკისა და ფიზიკის განყოფილების თავმჯდომარე აკად. ვ. კუპრაძე, ქიმი-  
ისა და ქიმიკური ტექნოლოგიის განყოფილების თავმჯდომარე აკად. გ. ციცი-  
შვილი, ფიზიოლოგიის ინსტიტუტის განყოფილების ხელმძღვანელი აკად. პ. ქმეთიანი, ი. ჯავახიშვილის სახელობის სტრუქტის, არქეოლოგიისა და ეთ-  
ნოგრაფიის ინსტიტუტის დირექტორი აკად. გ. მელიქიშვილი, ფიზიკის ინსტი-  
ტუტის დირექტორი აკად. ე. ანდრონიკაშვილი.

აკადემიის ცხოვრებაში დამდგრადებული მოვლენა იყო მედიცინის  
პრიბლებებისა და სოფლის მეურნეობის მეცნიერების პრიბლებების განყო-  
ფილების შექმნა, რაც ხელს შეუწყობს ამ მეცნიერებათა საკვანძო საკითხე-  
ბის გადაწყვეტის, მეცნიერული კატეგორიის შედარებას.

შემუშავებული რესპუბლიკის შსხვილ სამრეწველო და ეკონომიკურ ცენ-  
ტრებში ახალი სამეცნიერო-კვლევითი ორგანიზაციებისა და ქვეგანაყოფების  
შექმნის რეკომენდაციები.

ქიმიის, ბირთვული ფიზიკის, მყარი სხეულის ფიზიკის, თეორიული და  
გამოყენებითი მათემატიკის, კიბერნეტიკის, ავტომატური შართვის, ასტროფი-  
ზიკის, ფიზიოლოგიისა და სხვა დარგებში კვლევითა ერთად, რაც ტრადიცი-  
ულია საქართველოსათვის, განვითარება მეცნიერების ახალი მიმართულება-  
ნი — მოლეკულური ბიოლოგია, მოლეკულური გენეტიკა, საინკინრო ფიზიო-  
ლოგია და სხვა.

ორატორებმა აღნიშნეს, რომ ჩეებს რესპუბლიკაში მეცნიერება ჯერ კიდევ არ გამზღვარო ფაქტორი, რომელიც აქტიურ გავლენას ახდენს სახალხო ეკონომიკის ზემოთ საფუძვლის სფეროში. ნელა ინერგება პარატეგიაში ბევრი ღამთავრებული გამოყვალება, წარმოებას ზოგიერთ სთავაზობენ მეცნიერულ-ტექნიკურ გადაწყვეტება. რომლებიც საფუძვლიანაა ამ არის დასაბუთებული ღამიშადებული დასახელვად. ჯერ კიდევ დაბალია მეცნიერების ეფექტიანობა.

ერთ-ერთ მეცნიერებაზე დაკასრებული პასუხსაცემის აღოცანების გადაწყვეტილების უნდა მნიშვნელობა აქვს კადრების შერჩევას, მომზადებას, აღზრდასა და განაწილებას. მაგრამ მიმართულებით ჩეცსპუბლიკის სამეცნიერო დაწესებულებათა ჩელმძღვანელებმა უნდა ვასწიონ და და სერიოზული მუშაობა.

სამოქადაგებრივ მეცნიერებათა დაგრძი მომუშავე მეცნიერთა წინაშე დგას მნიშვნელოვანი აძლევა — უფრო ლრმდვ მოქადაგონ ხელი თანამეტეონებობასთან, ჩვენს სინამდვილესთან დაკავშირებული საყითხების ღამუშავებას. მეცნიერები ვალდებული არიან აქტიურად ებრძოლონ აღმიანების შეგნებაში ჩვენი საზოგადოებისთვის უცხო წარსულის გადმონაშებს, მაგრე ტრადიციებსა და ადათებს.

საერთო კრებამ მიიღო ერცყალი დადგენილება, რომელშიც დასახულია ქართული მეცნიერების შემთხვევი განვითარების კონკრეტული ღონისძიებან. საქართველოს სსრ მეცნიერებათა აკადემიის საერთო კრების მუშაობაში მონაწილეობის საქართველოს კომპარტიის ცენტრალური კომიტეტის მდივანი ვ. სირაძე, საქართველოს კომპარტიის ცენტრალური კომიტეტის მეცნიერებისა და სასწავლებელთა განყოფილების გამგე ე. სენიაშვილი.

## ОБЩЕЕ СОБРАНИЕ АКАДЕМИИ НАУК ГРУЗИНСКОЙ ССР

9 февраля состоялось Общее собрание Академии наук Грузинской ССР, обсудившие задачи ученых республики в свете решений XXV съезда Компартии Грузии.

Собрание вступительным словом открыл президент Академии наук республики академик И. Н. Векуа. Он отметил глубокое удовлетворение и воодушевление, с которыми грузинские ученые встретили проект ЦК КПСС к XXV съезду Коммунистической партии Советского Союза «Основные направления развития народного хозяйства СССР на 1976—1980 годы», решения XXV съезда Компартии Грузии.

Общее собрание заслушало доклад вице-президента АН ГССР Е. К. Харадзе «Итоги XXV съезда Компартии Грузии и задачи Академии наук Грузинской ССР».

Задачам ученых, работающих в области общественных наук, в свете решений XXV съезда Компартии Грузии посвятил свой доклад председатель Отделения общественных наук акад. А. С. Прангшивили.

Академик-секретарь АН ГССР Н. А. Ландия в своем докладе рассказал о том, как выполняются постановления и задания директивных органов в Академии наук Грузинской ССР.

В обсуждении докладов приняли участие председатель Отделения прикладной механики и процессов управления акад. В. В. Махадиани, председатель Отделения математики и физики акад. В. Д. Купрадзе, председатель Отделения химии и химической технологии акад. Г. В. Цицишвили, руководитель отдела Института физиологии акад. П. А. Кометиани, директор Института истории, археологии и этнографии имени И. А. Джавахишвили акад. Г. А. Меликишвили, директор Института физики акад. Э. Л. Андроникашвили и др.

Важным событием в жизни Академии явилось создание отделений медицинских проблем и проблем сельскохозяйственной науки, призванных способствовать решению узловых вопросов этих наук, росту научных кадров.

Разработаны предложения по созданию новых научно-исследовательских организаций и подразделений в крупных промышленных и экономических центрах республики.

Наряду с традиционными в Грузии исследованиями в области химии, ядерной физики, физики твердого тела, теоретической и прикладной математики, кибернетики, автоматического управления, астрофизики, физиологии и т. д., будут развиваться новые направления науки — молекулярная биология, молекулярная генетика, инженерная психология и др.

Выступавшие отмечали, что наука в нашей республике все еще не стала фактором, активно влияющим на все сферы народного хозяйства. Медленно внедряются в практику многие законченные исследования, иной раз производству предлагаются недостаточно обоснованные и неподготовленные к внедрению научно-технические решения, все еще невысока эффективность науки.

Важное значение для решения ответственных задач, возложенных на грузинскую науку, имеют подбор, подготовка, воспитание и расстановка кадров. В этом направлении руководителям научных учреждений республики предстоит проделать большую, серьезную работу.

Перед учеными, работающими в области общественных наук, стоит важнейшая задача — глубже заняться разработкой вопросов, связанных с современностью, с нашей действительностью. Ученым необходимо активнее бороться с чуждыми нашему обществу пережитками прошлого в сознании людей, с вредными традициями и обычаями.

Общее собрание приняло развернутое постановление, в котором намечены конкретные мероприятия по дальнейшему развитию грузинской науки.

В работе Общего собрания Академии наук Грузии приняли участие секретарь ЦК КП Грузии В. М. Сирадзе, заведующий отделом науки и учебных заведений ЦК КП Грузии Э. А. Сехниашвили.



## აკადემიის პრეზიდიუმი В ПРЕЗИДИУМЕ АКАДЕМИИ

---

აკადემიის პრეზიდიუმმა თავის ღია სხდომებშე ამ წლის იანვარ-მარტიში მოისმინა სამეცნიერო მოხსენებები:

„შუალედური ენერგეტიკის ფიზიკის ზოგიერთი თანამედროვე პრობლემა“ (მომხს. ფიზიკა-მათემატიკის მეცნიერებათა დოქტორი თ. კობალეიშვილი).

„ელემენტარულ ნაშრილაკთა ძლიერი ურთიერთობის შემაღალებების ზემანალ ენერგეტიკში“ (მომხს. ფიზიკა-მათემატიკის მეცნ. კანდ. თ. ყანჩელი).

„ავტომატიკის ახალ მოწყობილობათა აკების პერსპექტივები გალვანორინიტური ეფექტების გამოყენებით“ (მომხს. ტექნიკის მეცნ. კანდ. თ. ხომე-რიკი).

„ძალისებური კრისტალების მიღება და მათი თვისებების შესწავლა“ (მომხს. ფიზიკა-მათემატიკის მეცნ. კანდ. გ. სურმავა).

„გულის მიკროცირკულაციის თავისებურება“ (მომხს. აკადემიის შეერქორებულებური ნ. ჭავახიშვილი).

„მეტალის სთაციალისტური ქვეყნების კლიმატური რესურსების გამოკვლევას შედეგები“ (მომხს. აკადემიკოსი თ. დავითაია).

„ირან-საქართველოს კულტურულ-ასტრონომიული ურთიერთობის საკითხები“ (მომხს. ფილოლოგიის შეცნ. ღოძტ. მ. თოლუა).

„საქართველოს სსრ მიზანთა და სახალხო სამეცნიერებლის მაჩვენებელთა პროცენტის განვითარებისა და მათ შორის პროპორციათა ოპტიმიზაციის შესახებ ექონომეტრიული მოდელებისა და მათგანმატებული სტატისტიკის მეთოდების გამოყენებით“ (მომხს. ფიზიკა-მათემატიკის მეცნიერებათა ღოძტორი გ. მანია და ფიზიკა-მათემატიკის მეცნ. კანდ. რ. ჩიტაშვილი).

Президиум АН ГССР на открытых заседаниях заслушал следующие научные доклады:

«Некоторые современные проблемы физики промежуточных энергий» (докладчик — доктор физ.-мат. наук Т. И. Копалешвили),

«Сильные взаимодействия элементарных частиц на сверхвысоких энергиях» (докл. — канд. физ.-мат. наук О. В. Канчели),

«Перспективы создания нового оборудования автоматики» (докл.—канд. тех. наук О. К. Хомерики),

«Получение нитевидных кристаллов и изучение их свойств» (докл. — канд. физ.-мат. наук Г. М. Сурмава),

«Особенности микроциркуляции сердца» (докл. — чл.-корр. АН ГССР Н. А. Джавахишвили),

«Итоги исследования климатических ресурсов социалистических стран Европы» (докл. — акад. Ф. Ф. Давитая),

«Вопросы ирано-грузинского культурно-исторического взаимоотношения» (докл. — докт. филол. наук М. А. Тодуа),

«О прогнозировании основных народнохозяйственных показателей в выборе оптимальных пропорций между ними с использованием эконометрических моделей и методов математической статистики» (докл.—докт. физ.-мат. наук Г. М. Мания и канд. физ.-мат. наук Р. И. Читашвили).

აკადემიის პრეზიდიუმმა თავის სხლომებზე განიხილა და დამტკიცა აკადემიის შემდეგი განყოფილებების 1975 წლის სამეცნიერო და სამეცნიერო-ორგანიზაციული საქმიანობის ანგარიშები: მათგანატურისა და ფიზიკის (მომხს. — აკად. ბ. გეგუა); გამოყენებითი მექანიკისა და მართვის პროცესების (მომხს. — აკად. ვ. მანალტიანი); ქიმიისა და ქიმიური ტექნოლოგიის (მომხს. — აკად. გ. ციცაშვილი); ბიოლოგიის (მომხს. — აკად. მ. საბაშვილი); სოფლის მეურნეობის პრობლემათა (მომხს. — აკად. მ. საბაშვილი); მედიცინის პრობლემათა (მომხს. — აკად. ვ. მარგარიანი); დედამიწის შემსწავლელ მეცნიერებათა (მომხს. — აკად. ა. ფრანგიშვილი); ენისა და ლიტერატურის (მომხს. — აკად. შ. ძიძიგური).

აკადემიის პრეზიდიუმის სხლომებზე განხილული იქნა აგრეთვე სამეცნიერო ხელსაწყოთშენებლობის სპეციალური საკონსტრუქტორო ბიუროს, გერმანტოლოგიისა და გერმატიკის პრობლემების საბჭოს, აკად. განაშიას სახელმწიფო მუზეუმის, საზოგადოებრივ მეცნიერებლისა და დაზგვის სამეცნიერო ინფორმაციის სექტორის, ბუნების დაცვის რესურსობრივი კომისიის, ინტერულ-კავკასიური ენათმეცნიერების წელაწელის რედაქციის, ცენტრალური სამეცნიერო ბიბლიოთეკის, „ვეფხისტუასინი“ აკადემიური ტექსტის დაწლევნი კომისიის, კულტურის ძეგლთა დაცვის სამეცნიერო-მეთოდური საბჭოს, არქეოლოგიური კომისიის, სამუალო და უმაღლესი სკოლების კომისიის, სარედაქციო-საგამომცემლო საბჭოს, საპატენტო ბიუროს, სამეცნიერო-ტექნიკური ინფორმაციის კომისიის, სამეცნიერო-აოეისტური ჟურნალის გამოსხივებათა მუდმივი კომისიის, ბუნებისმეტყველებისა და ტექნიკის ინგარიშები.

Президиум Академии на своих заседаниях обсудил и утвердил отчет научной и научно-организационной деятельности следующих отделений: математики и физики (докладчик — акад. Н. П. Векуа); прикладной механики и процессов управления (докл.—акад. В. В. Махалдiani); химии и химической технологии (докл. — акад. Г. В. Цинцишвили); биологии (докл.—акад. М. И. Сабашвили); проблем сельского хозяйства (докл. — акад. М. И. Сабашвили); проблем медицины (докл. — акад. В. М. Окуджава); наук о Земле (докл. — акад. Ф. Ф. Давитая); общественных наук (докл. — А. С. Прангишвили); языка и литературы (докл. — акад. Ш. В. Дзидзигури).

На заседаниях Президиума были обсуждены и утверждены также отчеты научной деятельности Специального конструкторского бюро научного приборостроения, Проблемного совета по георентгенологии и гериатрии, Государственного музея Грузии им. С. Н. Джанашвily, Сектора научной информации по общественным наукам, Республиканской комиссии по охране природы, Редакционного совета Ежегодника иберийско-кавказского языкоznания, Центральной научной библиотеки, Комиссии по установлению академического текста поэмы Шота Руставели «Витязь в тигровой шкуре», Научно-методического совета по охране памятников культуры, Грузинской археологической комиссии, Комиссии по средним и высшим школам, Редакционно-издательского совета, Патентного бюро, Комиссии научно-технической информации, Комиссии научно-атеистической работы, Комиссии по изучению источников истории Грузии, постоянной комиссии изотопов и излучения, Совета историков, естествознания и техники, Совета по спелеологии.

აკადემიის პრეზიდიუმმა თავის სხდომაზე დამტკიცა ბიოლოგიურ პრობლემებზე მომუშავე საქართველოს საბჭოების ახალი შემადგენლობა და ამ პრობლემათ დამუშავებაში მონაწილე დაწესებულებები.

Президиум Академии на своем заседании утвердил новый состав ученых советов, работающих над проблемами биологии, и учреждения, которые должны участвовать в разработке этих проблем.

პრეზიდიუმმა თავის სხდომაზე მოისმინა აყად. ა. ფრანგიშვილის მოხსენება, „საქართველოს კომუნისტური პარტიის ცენტრალური კომიტეტის დადგენილება „მავრე ტრადიციებისა და წეს-ჩვეულებების წინააღმდეგ ბრძოლის ღონისძიებათა შესახებ“ და საქართველოს შეცნიერებათა აკადემიის ამოცანები“. მოხსენების განნილებაში მონაწილეობა მიღებს აკადემიკოსებმა ი. ვეკუამ, გ. ძოჭვინიძე, ე. ხარაძე, ვ. კუპრაშვილმა, ა. ბარამიძემ, მეტერევამ, ისტ. მეცნ. კანდიდატებმა დოქტორებმა ა. რობაქიძემ, თ. ბუაჩიძემ, ს. ჯორბენაძემ, ვ. ქაჩახიძემ, ისტ. მეცნ. კანდიდატებმა ლ. ფრუიძემ.

პრეზიდიუმმა დაადგინა: საქართველოს კომუნისტური პარტიის ცენტრალური კომიტეტის 1975 წლის 24 ნოემბრის დადგენილების შესაბამისად საქართველოს სსრ შეცნიერებათა აკადემიის პრეზიდიუმმან ჩამოყალიბდეს სოციალურ-კულტურულ ტრადიციათა პრობლემების სამეცნიერო-საკოორდინაციო ცნობითი, რომელსაც დაევალოს რესპუბლიკის მასშტაბით კვლევის ორგანიზაცია და სათანადო რეკომენდაციების შემუშავება; სოციალურ-კულტურულ ტრადიციათა პრობლემების სამეცნიერო საბჭო დამტკიცდეს 36 კაცის შემადგენლობით (თავმჯდომარე — ისტ. მეცნ. დოქტორი ა. რობაქიძე, მდივანი — ისტ. მეცნ. კანდიდატი ლ. ფრუიძე).

Президиум заслушал доклад академика АН Грузинской ССР А. С. Прангишвили «Постановление ЦК КП Грузии о борьбе с вредными традициями и обычаями и задачи АН Грузии». В обсуждении докла-



да приняли участие академики И. Н. Векуа, Г. С. Дзоценидзе, Е. К. Харадзе, В. Д. Купрадзе, Э. Л. Андроникашвили, А. Г. Барамидзе, доктора наук А. И. Робакидзе, Т. П. Буачидзе, С. М. Джорбенадзе, В. К. Квачахиа, канд. ист. наук Л. А. Прудзене.

Президиум постановил: в соответствии с постановлением ЦК КП Грузии от 25 ноября 1975 года при Президиуме АН Грузинской ССР создать Научно-координационный центр проблем социально-культурных традиций, которому поручить организацию исследований в масштабах республики и разработку соответственных рекомендаций; научный совет проблем социально-культурных традиций утвердить в составе 36 человек (председателем — докт. ист. наук А. И. Робакидзе, уч. секретарем — канд. ист. наук Л. А. Прудзене).

11 მარტს გაიმართა საქართველოს სსრ მეცნიერებათა აკადემიის პრეზიდიუმის გაფართოებული სხდომა, რომელმაც განხილა სკოლის XXV ყრილობის შესახებ და რესულტატის მეცნიერთა მიღებაზე.

სხდომა გახსნა აკადემიის ვიზუ-ტექნიკური აკად. ე. ხარაძემ

სხდომაზე გამოიიღონ საზოგადოებრივ მეცნიერებათა განყოფილების აკადემიკოს-მდივანი ა. ფრანგიშვილი, დედამიწის შემსწავლელ მეცნიერებათა განყოფილების აკადემიკოს-მდივანი თ. ლავითაძე, რესპუბლიკის მეცნიერებათა აკადემიის პრეზიდიუმის აკადემიკოს-მდივანს მოადგილუ, პრეზიდიუმის პარ-ტიული ორგანიზაციის მდივანი, ფიზიკა-მათემატიკის მეცნ. დოკტ. ჭ. ლომინაძე.

შომხესტუნებელსა და სიტყვით გამოსულებმა აღნიშხეს, რომ სკვ ХХV ყრილობის გადაწყვეტილებებმა ქართველ შეცნიერთა დიდი კრაიონილება გამოიწყება. აღნიშხა ქართველ შეცნიერთა ნაყოფიერი შოლვაშეობა ჭარბობასთან შეცნიერების ურთიერთობის განცტელებაში, საქართველოს შეცნიერებათა უკადეგის წვლილი რესპუბლიკის კუონძირისა უკულტურის განვითარებაში, სამცნობირო კადრების მოწმოდებაში. მაგრამ, თქვენ არატორებში, ცხოვრება იმითობს, რომ შეცნიერებას უკადეგის საქმიანობა უფრო ზუსტად და მკაფიოდ ასახოს რესპუბლიკის მრჩეველობისა და სოცფრის შეცნიერების განვითარებაში. პრატეიის საკვანძო საკითხთა გადაწყვეტაში. განსაკუთრებული უურადღება დაეთმო შეცნიერები გამოკვლევების კოორდინაციას, იმას, რომ სავარია უფრო მშეიძრო კონტაქტების დაყყარება მოძმე რესპუბლიკების შეცნიერებთან.

მეცნიერების შემდგომი განვითარების ფართო ჰერსპექტივებია დასახული სკაპ XCV ყრილობის გადაწყვეტილებებში. შეათე ხუთწლებში ქართველ ტექნიკურთა მთავარო ყურადღება უნდა დაეთმოს ყველაზე აქტუალურ საბალბო-საძრეულნია პრიბოლმების გადამტკა.

გაფრანთოებული სხდომის მონაწილეებმა აღუთქვეს პარტიისა და მთავრობას, რომ მთელ ძალ-ღონეს, მთელ ცოდნას მოახმარენ ჩვენი ქეყუნის ძლიერების შემდგომ განმტკიცებას, თავიათ წვლილს შეიტანენ კომუნისტური საზოგადოების აშენების საშემში.

პრეზიდენტმა მიიღო დადგენილება 1 პრიულს მოიწვიოს საერთო კრება, რომელიც მიეძღვნება სკპ. X XV ყრილობის შედეგებსა და საქართველოს მეცნიერებათა აკადემიის ამონანებს.

11-го марта состоялось расширенное заседание Президиума Академии наук Грузинской ССР, обсудившее итоги XXV съезда КПСС и задачи ученых республики.

Заседание открыл вице-президент Академии акад. Е. К. Харадзе.

С докладом выступил президент АН, делегат XXV съезда КПСС акад. И. Н. Векуа.

На заседании выступили академик-секретарь Отделения общественных наук А. С. Прангишвили, академик-секретарь Отделения наук о Земле Ф. Ф. Давитая, заместитель академика-секретаря Президиума Академии, секретарь партийной организации Президиума доктор физико-математических наук Д. Г. Ломинадзе.

Докладчик и выступавшие отметили ту глубокую удовлетворенность, которую вызвали у грузинских ученых решения ХХV съезда КПСС. Были отмечены плодотворная деятельность грузинских ученых по укреплению связей науки с производством, вклад Академии наук Грузии в развитие экономики и культуры республики, в подготовку научных кадров. Однако, говорили ораторы, жизнь требует, чтобы деятельность Академии наук находила более четкое и яркое отражение в развитии промышленности и сельского хозяйства республики, решении узловых вопросов практики. Особое внимание было обращено на координацию научных исследований, на необходимость более тесных контактов с учеными братских республик.

Широкие перспективы дальнейшего развития науки открывают решения ХХV съезда КПСС. Усилия грузинских ученых в десятой пятилетке должны быть сконцентрированы на решении наиболее актуальных проблем народного хозяйства.

Участники расширенного заседания заверили партию и правительство в том, что отдадут все силы, все знания дальнейшему усилению мощи нашей страны, внесут свой вклад в дело строительства коммунистического общества.

Президиум принял постановление созвать 1 апреля Общее собрание, которое будет посвящено итогам ХХV съезда КПСС и задачам Академии наук Грузии.



## სამეცნიერო და მთარგმნებელი საქართველოს მეცნიერებათა სესია, კონფერენცია, მათგანმდებარებული შეხვედრების სიტყვით გახსნა აედ.

1975 წლის 23—25 დეკემბერს გაიმართა საქართველოს მეცნიერებათა უმდების ლიტერატურათ ცოდნების რესპუბლიკური საკონფერენცია საბუნებრივის და მ. რუსთაველის სახელობის ქართული ლიტერატურის ისტორიის ინტერესტის IX სამეცნიერო სესია, რომელიც შესავალი სიტყვით გახსნა აედ. ალ. ბარაძიძემ. წაკითხული იქნა მოხსენებები ქართული ლიტერატურის ისტორიის, თეორიის და ტექსტოლოგიის რიგ შემუშავებელთა მიერთებულ საკითხებზე.

23—25 декабря 1975 г. состоялась IX научная сессия Республиканского координационного совета по литературоведению АН ГССР и Института истории грузинской литературы им. Шота Руставели. Вступительным словом сессию открыл акад. А. Г. Барамидзе. Были прочитаны доклады по ряду важных вопросов истории, теории грузинской литературы и текстологии.

16 იანვარს თბილისში ჩატარდა საქართველოს სსრ სამეცნიერო-კვლეული დაწყებულებებისა და უმაღლესი სამწავლებლების საბუნებისმეტყველო და საზოგადოებრივ მეცნიერებათა დაზგეში სამეცნიერო საქმიანობის საკონფერენცია საბჭოს სესია, რომელიც მიეღვნა საქართველოს სსრ მიწის, დაწყლის რესურსების დაცვის თეორიულ და პრაქტიკულ პრობლემებს. სე-

სიის მუშაობაში მონაწილეობა მიიღეს რესპუბლიკის პარტიული, საბჭოთა და სამეცნიერო ორგანოების პასუხისმგებელმა მუშაკებმა, სამეცნიერო-კვლევითი დაწესებულებების, უმაღლესი სასწავლებლების და სხვა დაინტერესებულ ორგანიზაციათა და უწყებათა წარმომადგენლებმა, სხვადასხვა დარგის სპეციალისტებმა.

სესია შესავალი სიტყვით გახსნა საქართველოს სსრ მეცნიერებათა აკადემიის პრეზიდენტმა აკადემიისმა ი. ვეჯუამ, რომელმაც აღნიშნა რესპუბლიკის მიწისა და წყლის ჩატარების დაცვისა და რაციონალური გამოყენების საკითხების შესწავლის აქტუალობა. სამეცნიერო-ტექნიკური პროგრესის სწრაფი განვითარების პირობებში კომუნისტური პარტია და საბჭოთა მთავრობა დიდ შინაგანი გარემოს დაცვის, ბუნებრივი რესურსების რაციონალური გამოყენებისა და აღღენის საკითხების შესწავლა-დამუშავებას. მეთე ხუთწლედში ამ მიმართულებით დასახულია დიდმიწიშვილოვანი ლონისმებების განხილვილება. ი. ვეჯუამ აღნიშნა, რომ რესპუბლიკის მიწისა და წყლის რესურსების დაცვისა და რაციონალური გამოყენების პრობლემების შესწავლასა და მეცნიერულ დამუშავებას შეტი ყურადღება უნდა დაუთმოს მეცნიერებათა აკადემიამ და, პირველ რიგში, სოფლის მეურნეობის მეცნიერების პრობლემათა განყოფილებამ.

საქართველოს სსრ მიწის რესურსების დაცვის საკითხებზე სამეცნიერო კვლევის მდგრადრობასა და მისი განვითარების პრესპექტივებზე იღავაროვათ მოხსენებაში საქართველოს სსრ მეცნიერებათა აკადემიის წევრ-კორესპონდენტმა მ. დაჩავლიაძე; ტყის რესურსების დაცვის დარგში სამეცნიერო კერძევის განვითარებაზე საქართველოში მოხსენება გააკეთა რესპუბლიკის მეცნიერებათა აკადემიის აკადემიკოსმა ვ. გულიაშვილმა; საქართველოს სსრ მეცნიერებათა აკადემიის აკადემიკოსის თ. დავითაის და გეოგრაფიის მეცნიერებათა დოქტორის ლ. ვლადმირიშვილის მოხსენება მიერმოვნა საქართველოს ზედაპირული წყლების რესურსებს, მთი დაცვისა და რაციონალური გამოყენების პრობლემებს; მოხსენებით თემაზე — საქართველოს მიწისკერძა წყლების დაცვისა და რაციონალური გამოყენების პრობლემები — სესიის გამოვიდა საქართველოს სსრ მეცნიერებათა აკადემიის წევრ-კორესპონდენტი ი. ბუაჩიძე. სესიაში შოისმინა ბიოლოგიურ მეცნიერებათა დოქტორის, პოდფ. ბ. ურაშვილის მოხსენება საქართველოს შიგა წყალშატევების ბიოლოგიური რესურსების დაცვისა და რაციონალური გამოყენების პრობლემასთან დაკავშირდული გამკვლევების შედეგებსა და პერსპექტივებზე. ინფორმაციით — „წყალსატევების ინჟინირი და გაზირი შემაღებულობის კონტროლის ახალი ინსტრუმენტული საშუალებები და მათი განვითარების პრესპექტივები“ — გამოვიდა ზოოლოგიის ინსტიტუტის განყოფილების ხელმძღვანელი პ. დავითაია.

კამათში მონაწილეობა მიიღეს: საქართველოს სსრ მინისტრთა საბჭოს ბუნების დაცვის სახელმწიფო კომიტეტის თავმჯდომარის მოაღვილეობის ი. ლალიძემ, თბილისის სახელმწიფო უნივერსიტეტის პროფესორმა ნ. იაშვილმა, საქართველოს პოლიტექნიკური ინსტიტუტის პროფესორმა, საქართველოს სსრ მეცნიერებათა აკადემიის წევრ-კორესპონდენტმა ჭ. ბარამიძემ, ნიადაგმუნდენობის, აგროქიმიისა და ტელემეტრიკის სამეცნიერო-კვლევითი ინსტიტუტის განყოფილების გამგებმ, სოფულის მეურნეობის მეცნიერებათა კანდიდატმა გ. მავიარიანმა, საქართველოს სსრ მეცნიერებათა აკადემიის პიდროვის და სინენიზრო გეოლოგიის სექტორის განყოფილების ხელმძღვანელმა, გეოლ.-მინერალ. მეცნიერებათა კანდიდატმა გ. არეშიძემ, საქართველოს სსრ მეცნიერებათა აკადემიის არაორგანული ქიმიისა და ლიქეტორექიმიის ინსტიტუტის დირექტორმა, ტექნ. მეცნიერებათა კანდიდატმა ა. ავალიანმა, საქართველოს სსრ მეცნიერებათა აკადემიის ფიზიის ინსტიტუტის განყოფილების ხელმძღვანელმა, ფიზ.-მათ. მეცნიერებათა კანდიდატმა გ. გვახარიამ, საქართველოს გეოლოგიის საწარმოო სამსახურელოს თერმული წყლების ექსპრედიციის უფროსმა, გეოლ.-მინერალ. მეცნიერებათა კანდიდატმა თ. ლაშარაშვილმა, საქართველოს სსრ მინისტრთა საბჭოს სახელმწიფო სა-

სესიის მუშაობა შეაჯამა აკადემიკოსმა ი. ვეკუამ.

სესიაზ შეიმუშავა ლონისძებები, რომლებიც მიმართულია საქართვე-  
 ლოს შირისა და წყლის რესურსების დაცვისა და რაციონალური გამოყენების  
 საკითხებზე მეცნიერული და პრაქტიკული მუშაობის შემღვევაზე გაუმჯობე-  
 სებაზე.

16 января в Тбилиси состоялась сессия Совета по координации научной деятельности научно-исследовательских учреждений и высших учебных заведений Грузинской ССР в области естественных и общественных наук, посвященная проблемам охраны земельных и водных ресурсов Грузинской ССР. В работе сессии приняли участие ответственные сотрудники партийных, советских и хозяйственных органов, представители научно-исследовательских учреждений, высших учебных заведений и других заинтересованных организаций и ведомств, специалисты различных отраслей.

Вступительным словом сессию открыл президент АН Грузинской ССР И. Векуа, отметивший актуальность изучения вопросов охраны и рационального использования земельных и водных ресурсов республики. В условиях быстрого развития научно-технического прогресса, Коммунистическая партия и Советское правительство большое значение придают изучению и разработке вопросов охраны окружающей среды, рационального использования и восстановления природных ресурсов. В этом направлении в десятой пятилетке намечено осуществление весьма важных мероприятий. Было отмечено, что Академии наук и, в первую очередь, Отделению проблем сельскохозяйственных наук следует больше внимания уделить исследованию и научной разработке проблем охраны и рационального использования земельных и водных ресурсов республики.

Состоянию и перспективам развития научных исследований по вопросам охраны земельных ресурсов Грузинской ССР посвятил свой доклад член-корреспондент АН Грузинской ССР М. Дараселия, о развитии научных исследований в области охраны лесных богатств Грузии говорилось в докладе академика АН Грузинской ССР В. Гулиашвили; академик АН Груз. ССР Ф. Давитая и доктор географических наук Л. Владимиров представили доклад на тему — «Ресурсы поверхностных вод Грузии, проблемы их охраны и рационального использования»; с докладом по проблемам охраны и рационального использования подземных вод Грузии выступил член-корреспондент АН Грузинской ССР И. Буачидзе; результатам и перспективам исследований, связанных с проблемой охраны и рационального использования биологи-

ческих ресурсов внутренних водоемов Грузии был посвящен доклад доктора биологических наук Б. Курашвили. Руководитель отдела Института зоологии П. Давитая выступил с информацией о новых инструментальных средствах контроля ионного и газового состава водоемов и перспективах их развития.

В прениях приняли участие: зам. председателя Государственного Комитета Совета Министров Груз. ССР по охране природы И. Лагидзе, профессор Тбилисского государственного университета Н. Яшвили, проректор Грузинского политехнического института, член-корреспондент АН Груз. ССР К. Барамидзе, зав. отделом Научно-исследовательского института почвоведения, агрохимии и мелиорации, кандидат сельскохозяйственных наук В. Мачавариани, руководитель отдела Сектора гидрогеологии и инженерной геологии АН Груз. ССР, кандидат геол.-минер. наук Г. Арешидзе, директор Института неорганической химии и электрохимии АН Груз. ССР, кандидат технических наук А. Авалиани, руководитель отдела Института физики АН Груз. ССР, канд. физ.-мат. наук В. Гвахария, начальник экспедиции по термальным водам Грузинского производственного геологического управления, кандидат геол.-минер. наук Т. Лазарашвили, начальник отдела Государственного планового комитета Совета Министров Грузинской ССР, кандидат технических наук Г. Гобечия, начальник отдела Грузинского государственного института по проектированию водохозяйственного строительства, кандидат техн. наук В. Колесников, зав. отделом научно-исследовательского института почвоведения, агрохимии и мелиорации, кандидат сельскохозяйственных наук А. Гогатишвили, начальник республиканской инспекции по государственному учету воды и ее использованию Государственного Комитета Совета Министров Грузинской ССР по охране природы, кандидат техн. наук А. Далакишвили, профессор Грузинского политехнического института Н. Данелия, начальник управления по использованию глубинного тепла Земли Главного управления газификации Совета Министров Грузинской ССР, кандидат геол.-минер. наук Г. Наниташвили, зав. сектором Кавказского института минерального сырья, кандидат геол.-минер. наук Б. Чичуа.

Работу сессии подытожил академик И. Векуа.

Сессия выработала мероприятия, направленные на дальнейшее улучшение научной и практической работы по вопросам охраны и рационального использования земельных и водных ресурсов Грузии.

27 იანვარს საქართველოს მეცნიერებათა აკადემიის სხდომათა დარბაზში შედგა ი. ჯავახიშვილის სახელმის ისტორიის, ოქელოვანისა და ეთნოგრაფიის ინსტიტუტის სამეცნიერო საბჭოს საქართველოს სხდომა, მიძღვნილი გამოწევითი გარემოების ისტორიის, მეცნიერების დამსახურებული მოღვაწის პროფესიონალური ვარიაცია დონდურების დაბატის 80 წლისთავისადმი.

სხდომა გახსნა ინსტიტუტის დირექტორმა ა. ად. გ. მელიქიშვილმა.

პროფ. ვ. დონდურების ცხოვრებისა და მოღვაწეობის შესახებ მოსხენება გაეფართმდებოდის განყოფილების გამგებ რ. კუნაძე.

მოისმინეს აგრეთვე მოხსენებები: „ქართულ-ბისანტიური სოციალური ტერმინოლოგიდან“ — უფროსი მეცნიერი თანამშრომელი მ. ბერძნიშვილი; „ქრისტიანულ-დოგმატიკური ურთიერთეავშირისათვის“ — უფროსა მეცნიერი თანამშრომელი ზ. ალექსიძე.

27 января в зале заседаний АН ГССР состоялось публичное заседание Ученого Совета Института истории, археологии и этнографии им. И. А. Джавахишвили, посвященное 80-летию выдающегося грузинского историка, заслуженного деятеля науки проф. В. Д. Дондуа.

Заседание открыл директор Института истории, археологии и этнографии им. И. А. Джавахишвили акад. Г. А. Меликишвили.

Доклад о жизни и деятельности проф. В. Д. Дондуа сделал заведующий отделом источниковедения Р. К. Кикнадзе.

Были заслушаны также доклады: «Из грузино-византийской социальной терминологии» — старший научный сотрудник М. М. Бердзиншивили; «Из христианско-догматических взаимоотношений» — старший научный сотрудник З. Н. Алексидзе.

9 თებერვალს საქართველოს ქ ც ც შესაბამის დადგენილებასთან დაკავერთად საქართველოს მუზეუმმა, საქ. კ ქ პ ბილისის კალინინის ჩაიკომთან თამატური საღამო „მავნე ტრადიციებისა და წეს-ჩვეულებების წინააღმდეგ ბრძოლის გაძლიერების შესახებ“.

შობესენებით გამოვიდა მუზეუმის უფროსი მეცნიერი თანამშრომელი, ისტორიის მეცნიერებათა კანდიდატი გ. გასიტაშვილი.

ნაჩვენები იქნა დოკუმენტური ფილმი ქართული ხალხური დღეობების შესახებ, სადაც აღმატებილია რელიგიურ დღესასწაულებში შემორჩენილი წარსულის მავნე ტრადიციები.

ფილმს კომენტარს უკეთებდა მუზეუმის რელიგიის ისტორიის და მეცნიერული აჟანტების განყოფილების გამგე, ისტორიის მეცნიერებათა კანდიდატი გ. ხუციშვილი.

В связи с постановлением ЦК КП Грузии «О мерах по дальнейшему усилению борьбы против вредных традиций и пережитков», — Государственный музей Грузии им. С. Н. Джанашвилы совместно с Калининским райкомом партии г. Тбилиси 9 февраля 1976 г. провел тематический вечер для районного актива на соответствующую тему. Лектор — старший научный сотрудник Гос. музея Грузии, кандидат исторических наук Г. С. Гаситашвили.

На вечере был продемонстрирован фильм о грузинских народных религиозных праздниках, в котором были показаны отрицательные пережитки прошлого.

Фильм комментировал зав. отделом истории религии и научного атеизма Гос. музея Грузии, кандидат исторических наук М. Н. Хуцишвили.





მეცნიერება  
ЮБИЛЕИ УЧЕНЫХ  
\*\*\*\*\*

საქართველოს სსრ მეცნიერებათა აკადემიის აკადემიოსს გორგი ვლადიმერის ძე ციციშვილს დაბადებიდან 60 წელი შეუსრულდა.

გ. ციციშვილი ნაყოფიერად მუშაობს მოლეკულური საცრების — ცეოლითების სინთეზის, შესწავლისა და გამოყენების პროცესებში.

გ. ციციშვილი ორასზე მეტი შრომისა და გამოგონების ავტორია, რომლებიც ეძღვნება მოლეკულათა შრომის ურთიერთქმედებასა და ნივთიერებათა აღნაგობას, ალმოსილიკატების, სილიკაგლების, ალმოგელებისა და სხვა ფორმვანი სხეულების აღსრუბციულსტრუქტურული და კინეტიკური კვლევის საკითხებს, ცეოლითებისა და კარალიზატორების შთელი, რიგი პერსპექტიული ფორმების სინთეზის მეთოდების შემუშავებასა და შიღებული ნივთიერებების შესწავლას აღსრუბციული, ქრომატოგრაფიული, სპექტრულური, თერმოგრაფიული და კვლევის სხვა თანამედროვე მეთოდებით.

გ. ციციშვილის ხელმძღვანელობით წარმატებით ვითარდება რიგი სამეცნიერო შიმართულებებისა, რომლებსაც გარკვეული მნიშვნელობა აქვთ ტექნიკური პროგრესსათვის ჩვენს ქვეყანაში. რიგ სამუშაოთა შედეგები დანერგილია წარმოებაში.

საქართველოს სსრ მეცნიერებათა აკადემიის პ. მელიქიშვილის სახელმძინარეო, საქართველოს სსრ მეცნიერების დამსახურებული მოლექტი, პ. მელიქიშვილის სახელმძინარეო ფიზიკური და ორგანული ქიმიის ინსტიტუტის დირექტორი, საქართველოს მეცნიერებათა აკადემიის ქიმიისა და ქიმიური ტექნოლოგიის განყოფილების აკადემიკოს-მდივანი, საქართველოს მეცნიერებათა აკადემიის პრეზიდიუმის წევრი, თბილისის სახელმწიფო უნივერსიტეტის პროფესორი, საბჭოთა კავშირის მეცნიერებათა აკადემიის ზოგადი და ტექნიკური ქიმიის განყოფილების აღსრუბციურების სამუცნიერო საბჭიოს წევრი, საბჭოთა ქიმიკოსების ნაციონალური კომიტეტის წევრი გ. ციციშვილი და განვითარებულია შრომის წითელი დროშის ორდენითა და მედლებით.

როგორც უცნალ „მაცნეს ქიმიური სერიის“ ტედაქტორი, საქართველოს საბჭოთა ენციკლოპედიის მთავარი რედაქციის წევრი, დ. მენდელეევის სახელმძინარეო საზოგადოების გამეცემის პრეზიდიუმის წევრი ვ. ციციშვილი ბევრს აკეთებს ქიმიური ცოდნისა და ქიმიური მეცნიერების უახლესი მიღწევების გასავრცელებლად.

Академику Академии наук Грузинской ССР Георгию  
Владимировичу Цицишвили исполнилось 60 лет.

Г. В. Цицишвили много и плодотворно работает по проблеме синтеза, изучения и применения молекулярных сит — цеолитов.

Г. В. Цицишвили является автором более 200 работ и изобретений по межмолекулярному взаимодействию и строению вещества, по адсорбционно-структурным и кинетическим исследованиям алюмосиликатов, силикагелей, алюмогелей и других пористых тел, по разработке методов синтеза ряда перспективных форм цеолитов и катализаторов и изучению их специфических свойств адсорбционным, хроматографическим, спектральным, термографическим и другими современными методами исследования.

Под руководством Г. В. Цицишвили успешно развивается ряд научных направлений, важных для технического прогресса в нашей стране. Результаты ряда работ внедрены в производство.

Лауреат премии им. П. Г. Меликишвили АН ГССР, заслуженный деятель науки Грузинской ССР, директор Института физической и ор-

ганической химии им. П. Г. Меликишвили АН ГССР, академик-секретарь Отделения химии и химической технологии АН ГССР, член Президиума АН ГССР, профессор Тбилисского государственного университета, член Научного совета по адсорбентам ООТХ АН СССР, член Национального комитета советских химиков Г. В. Цицишвили награжден орденом Трудового Красного Знамени и медалями.

Являясь редактором журнала «Известия АН ГССР, серия химическая», членом главной редакции Грузинской советской энциклопедии, членом Президиума правления химического общества им. Д. И. Менделеева, Г. В. Цицишвили много труда вкладывает в дело распространения химических знаний и новейших достижений химической науки.

საქართველოს სსრ მეცნიერებათა აკადემიის აკადემიკოს გრიგორე იოსების ძე არეშიძეს დაბადებიდან 70 წელი შეუსრულდა.

ქრისტეფორე არეშიძე ნაკონიერად მოშაობს რესპუბლიკის ნაკონიების ქიმიური შეღენილობის სისტემაზე რიცხვევის, ბუნებრივი და სინაცხვური ალემოსილიყატების კატალიზტური თვისებების შესწავლის მიმართული ბით.

ქრ. არეშიძის 180 სამეცნიერო ნაშრომებას და გამოვლენების შენიშვნელოვანი ნაწილი ეძღვნება ნაკონიების შემადგენელი ინდივიდუალური ნახშირწყალბადების გარდა კმნების შესწავლას ალემოსილიყატებზე, ექვს და ხუთწევრიანი ნაცხვენების რაოდენობრივი განაწილების დატვენას, ალევენებისა და ციკლოალენების კატალიზტური იზომერიზაციის რეაქციის კვლევას. მისი ხელმძღვანელობით შექმნილ მრავალ კატალიზატორს ნაკონიების გაუგოგირდების, თხევაზი ცხიმების ჰიდრინების, ციკლოპექსანობის ერთსრულადაცანი მიღების, დაუანგვითი ამონლიზის, ალკილირების და ქიმიური მრავალელობისათვის სხვა შენიშვნელოვან პროცესებში პრაქტიკული გამოყენების პერსპექტივები აქვთ.

საქართველოს სსრ მეცნიერებათა აკადემიის პ. მელიქიშვილის სახელობის პრემიის ლაურეატი, საქართველოს სსრ მეცნიერების დამსახურებული მოღვაწე, პ. მელიქიშვილის სახელობის ფიზიკური და ორგანული ქიმიის ინსტიტუტის ორგანული კატალიზის ლაბორატორიის გამგე, თბილისის სახელმწიფო უნივერსიტეტის პროფესორი, ამავე უნივერსიტეტის უმაღლესა სკოლის მასწავლებელთა კვალიფიკაციის ამაღლების ფაკულტეტის ქიმიის კათედრის გამგე, საქართველოს სსრ მეცნ. აკადემიის ქიმიისა და ქიმიური ტექნოლოგიის განყოფილების აკადემიკოს-მდივნის მოაღვილე, ამავე განყოფილებასთან არსებული საბჭოთა კავშირის მეცნიერებათა აკადემიის კატალიზის სამეცნიერო საბჭოს საქართველოს სექციის თავმჯდომარე ქრ. არეშიძე დაგილდოებულია შრომის წითელი დროშის ორდენითა და მედლებით.

საქართველოს სსრ უმაღლესი საბჭოს პრეზიდიუმის 1976 წლის 26 მარტის ბრძანებულებით ქრ. არეშიძე დაბადების სამოცდათ წელთან დაკავშირებით დაგილდოებულია საქართველოს სსრ უმაღლესი საბჭოს პრეზიდიუმის საპატიო სიგელით.

**Академику Академии наук Грузинской ССР Христофору Иосифовичу Арешидзе исполнилось 70 лет.**

Х. И. Арешидзе плодотворно работает в направлении исследования химического состава нефтей, изучения катализитических свойств природных и синтетических алюмосиликатов.

Значительная часть 180 научных работ и изобретений Х. И. Арешидзе посвящена изучению превращений индивидуальных углеводородов нефти на алюмосиликатах, установлению количественного распределения шести- и пятичлененных нафтенов, исследованию реакции катализитической изомеризации алканов и циклоалканов. Созданные под его руководством катализаторы имеют перспективу практического при-

менения при обессеривании нефтий, гидрировании жидких жиров, одностадийном получении циклогексанона, окислительном аммонолизе, алкилировании и других важных процессах химической промышленности.

Лауреат премии им. П. Г. Меликишвили АН ГССР, заслуженный деятель науки Грузинской ССР, руководитель лаборатории органического катализа Института физической и органической химии им. П. Г. Меликишвили АН ГССР, профессор Тбилисского государственного университета, заведующий кафедрой химии факультета повышения квалификации учителей высшей школы того же университета, заместитель академика-секретаря Отделения химии и химической технологии АН ГССР, председатель Грузинской секции Научного совета по катализу АН СССР при отделении химии и химической технологии АН ГССР Х. И. Арешидзе награжден орденом Трудового Красного Знамени и медалями.

Указом Президиума Верховного Совета Грузинской ССР от 26 марта 1976 г. в связи с 70-летием со дня рождения Х. Н. Арешидзе награжден Почетной грамотой Президиума Верховного Совета Грузинской ССР.

საქართველოს სსრ მეცნიერებათა აკადემიის წევრ-კორესპონდენტს ალფრედ ალექსის ძე კოლაკოვსკის 70 წელი შეუსრულდა.

ა. კოლაკოვსკის ნახევარი საუკუნის მანძილზე იყვალეს მცენარეთა სისტემური გულორისტიკას, გეობორიტანიის და პალეობორიტანიის ერტიალურ საკითხებს. მან დიდი წვლილი შეიტანა ამინიკავკასიის მცენარეულობისა და ფლორის შექმნავლის, საძოვრებისათვის საკვები ბაზის გაუმჯობესებისა და სასარგებლო მცენარეების გამოვლინების საქმეში. ა. კოლაკოვსკის შრომებს კოლხეთის მცენარეულობისა და ფლორის შესახებ აქვთ დიდი ორი იული და პრატიკული მნიშვნელობა რესპუბლიკის მდიდარი ბუნებრივი რესურსების სახალხო მცენარეულობაში გამოყენებისათვის. ვანაკუთხებით უნდა ღინიშნოს აფხაზეთის მესამეული ფლორის გამოყვლევა და უნიკალური ნამარხების მასალის ღრმა მცენიერული ანალიზის საფუძველზე თავისებური ბორტინიურ-გეოგრაფიული ქთათაშვა ოლქის, ავრეთვე მესამეული პერიოდიდან მოყოლებული კოლხეთის ფლორის რეცუგიალობის დადგენა. აღნიშნული მონაცემები ასაბუთებენ მცენარეთა მიზანდასახულ ინტროდუქციასა და ბიოგონისტრატიგიკაფიას.

ალფრედ ალექსის ძე კოლაკოვსკი საქართველოს სსრ და აფხაზეთის ასამისამართის სახოგადოება „ტაქსონის“ წევრი.

Члену-корреспонденту Академии наук Грузинской ССР  
Альфреду Алексеевичу Колаковскому исполнилось 70 лет.

А. А. Колаковский в течение 50 лет исследует актуальные вопросы флористики и систематики растений, геоботаники и палеоботаники. Своими исследованиями он внес большой вклад в дело изучения растительности и флоры Закавказья, а также исследования пастбищ для улучшения кормовой базы и выявления ценных растений. Его исследования в целом имеют большое теоретическое и практическое значение для использования богатых природных ресурсов республики в народном хозяйстве. Особо следует отметить исследования третичных флор Абхазии и на основе глубокого научного анализа уникального ископаемого материала установление им особой ботанико-географической Средиземногорной области, а также рефугиальности колхидской флоры начиная с третичного периода. Эти же данные дают обоснование для направленной интродукции растений и биогеостратиграфии.

А. А. Колаковский имеет звание заслуженного деятеля науки Абхазской АССР и Грузинской ССР, награжден медалями, он является членом международного общества «Таксон».



## საერთაშორისო საეთნოერო კავშირები МЕЖДУНАРОДНЫЕ НАУЧНЫЕ СВЯЗИ

1975 წლის 1—25 დეკემბერს გერმანიის დემოკრატიულ რესპუბლიკაში იმყოფებოდა საქართველოს სსრ მეცნ. აკადემიის ალ. ნათოშვილის სახ. ექსპერიმენტული მორტოლოგიის ინსტიტუტის ციონლოგიის განყ. გამგე მედიცინის მეცნიერებათა დოქტორი ზ. ცაგარელი. ქართველი მეცნიერი გაეცნო ქ. იენის ექსპერიმენტული ორგანიზაცია და მიკრობოლოგიის ინსტიტუტის მუშაობას. აგრძელვე ბერლინის გულ-სისხლძარღვთა პრობლემების ინსტიტუტისა და გდრ მეცნიერებათა აკადემიის სხვა სამეცნიერო კალევითი დაწესებულებების სტრუქტურასა და მუშაობას.

1—25 декабря 1975 г. в Германской Демократической Республике находился заведующий отделом цитологии Института экспериментальной морфологии АН ГССР доктор мед. наук З. Г. Цагарели. Ученый ознакомился с работой Иенского института экспериментальной терапии и микробиологии АН ГДР, Института сердечно-сосудистых проблем, со структурой и работой других научно-исследовательских учреждений АН ГДР.

საქართველოს სსრ მეცნიერებათა აკადემიის ვახუშტის სახელობის გეოგრაფიის ინსტიტუტის კოლექტიუს მუნიციპალური კონტაქტები აქვთ უნგრელ სწავლულებთან. უნგრელი მეცნიერები რამდენენერმე იყვნენ სტუმად გეოგრაფიის ინსტიტუტში.

ქართველი გეოგრაფია მონაწილეობას იღებენ ერთობლივ გამოკვლევებში, მეცნიერულ სამუშაოებში. ასე, მაგალითად, ამ ცოტა წესის შინ დასრულდა ეკონომის სოციალისტური ქვეყნებს ბუნებრივ-კლიმატური რესურსების ერთობლივი შესწავლა. შესში სხვებთან ერთად აქტიური მონაწილეობა მიიღეს უნგრელმა მეცნიერებმა.

საქართველოს სსრ მეცნიერებათა აკადემიის პრეზიდიუმის გაფართოებულ სხდომაზე მოისმინეს გეოგრაფიის ინსტიტუტის დირექტორის თ. დავითიას მოხსენება ერთობლივი მუშაობის შესახებ.

ქართველი მეცნიერები ხშირად არიან სტუმრად თავის კოლეგებთან უნგრეთის სახალხო რესპუბლიკაში.

Коллектив Института географии им. Вахушти Академии наук Грузинской ССР из года в год укрепляет творческие контакты с венгерскими учеными. Деятели венгерской науки не раз были гостями коллектива Института географии.

Грузинские географы принимают участие в совместных исследованиях и научных разработках. Недавно была завершена работа по изучению природно-климатических ресурсов социалистических стран Европы. В этой работе в числе других активное участие принимали венгерские ученые. На расширенном заседании Президиума АН ГССР был заслушан доклад директора Института географии, акад. Ф. Ф. Давитая о результатах совместных работ.

Грузинские ученые нередко бывают в гостях у своих коллег из Венгерской Народной Республики.



ძერხიკა, ინფორმაცია  
ХРОНИКА, ИНФОРМАЦИЯ

---

28 თებერვალს საქართველოს სსრ მეცნიერებათა აკადემიის ს. განაშიას სახ. საქართველოს სახელმწიფო მუზეუმს ეწვევნენ უნგრეთის სოციალისტუ- კადარი, საქართველოს ქ. ცენტრალური კომიტეტის პირველი მდივანი ამ. იანოშ ე. ა. შევარდნაძე, სსრ კავშირის მინისტრთა საბჭოს თავმჯდომარის მოადგილე ამ. ამ. ლ. ვ. სმირნოვი, სსრ კავშირის ელჩი უნგრეთის სახალხო რესპუბლიკაში ვ. ი. მავროვი, საქართველოს ქ. ცენტრალური კომიტეტის მდივანი ამ. ვ. ე. სიჩაძე, ზ. ა. ჩხეიძე, რესპუბლიკის მინისტრთა საბჭოს თავმჯდომარის პირველი მთადგილე ამ. შ. დ. კინაძე და მათი თანხმელები პირები.

მუზეუმის თანამშრომლებმა გულთბილი შეხედრა მოუწყვეს ძვირფას სტუმრებს. ამ. იანოშ კადარმა და შინმა თანხმელებმა პირებმა დაათვალიერეს ექსპოზიცია, რომელიც ასახავს საქართველოს მრავალსაუკუნოვან ისტორიას. სტუმრებმა დაათვალიერეს აგრეთვე გამოფენა „საბჭოთა ხალხების საბ- რძოლო თანამეგობრობა დიდი სამაშულო ომის წლებში“.

28 февраля Государственный музей Грузии им. акад. С. Н. Джадара, первый секретарь ЦК ВСРП тов. Янош Кадар, первый секретарь ЦК КП Грузии Э. А. Шеварднадзе, заместитель председателя Совета Министров СССР Л. В. Смирнов, посол СССР в ВНР В. Я. Павлов, вместе с ними секретари ЦК КП Грузии В. М. Сидорадзе, З. А. Чхеидзе, первый заместитель председателя Совета Министров республики Ш. Д. Кикнадзе и сопровождающие их лица.

Тепло встретили сотрудники музея дорогих гостей.

Затем Янош Кадар и сопровождающие его лица осмотрели экспозицию, в которой отражена многовековая история Грузии.

Гости ознакомились также с выставкой «Боевое содружество народов Советского Союза в годы Великой Отечественной войны».

საქართველოს მეცნიერებათა აკადემიის პრეზიდენტი აკად. ი. ვეკუა არ- ჩეული პალეომოს მეცნიერების, ლიტერატურისა და ხელოვნების აკადემიის (საცილის მეცნიერებათა აკადემიის) უცხოელ წევრად.

2 თებერვალს თბილისის სახელმწიფო უნივერსიტეტის გამოყენებითი მათემატიკის ინსტიტუტის სხდომათა დარბაზში გაიმართა აკადემიკოს ი. ვე- კუასა თვის სიცილის აკადემიის უცხოელი წევრის დიპლომის გადაცემის ცე-

თბილისის ჩამოსულმა თვალსაჩინო იტალიელმა მეცნიერმა, იტალიის ეროვ- სორგმა გაეტანო ფიქერამ გადასცა რა დიპლომი აკადემიკოს ი. ვეკუას, აღნიშ- ნა მისი დადი ღვეული წმინდა და გამოყენებითი მათემატიკის დარგში.

ჩვენს ქვეყანაში — თქვა პროფესორმა ლიკერამ, — დიდად აფასებენ გა- მოყენებითი მათემატიკის ცხობილი თბილისური სკოლის მიღწევებს, ამას მოწ- ვამოჩენილი საბჭოთა მათემატიკოსისთვის — აკად. ნ. მუსხელიშვილისათვის წინ შეანიჭეს ტურინში.

Президент АН Грузии акад. И. Н. Векуа избран иностранным членом Академии науки, литературы и искусства Палермо (Сицилийская Академия Наук).

2 февраля в зале заседаний Института прикладной математики Тбилисского государственного университета состоялась церемония передачи диплома иностранного члена Сицилийской Академии И. Н. Векуа.

Прибывший в Тбилиси видный итальянский ученый, академик Итальянской Национальной Академии Наук, профессор Римского университета Гаэтано Фикера, вручивший диплом академику И. Н. Векуа, отметил его выдающиеся заслуги в области чистой и прикладной математики.

В нашей стране, сказал профессор Фикера, высоко ценят достижения прикладной математики известной тбилисской школы. Об этом свидетельствует как избрание членом Академии Наук Палермо академика И. Н. Векуа, так и присуждение премии Модесто Панетти несколько лет назад в городе Турине советскому математику-академику Н. И. Мусхелишвили.

«я аудиомою» პავლოვის სახელმძის ჩრდილოეთ მერიის ქცევის ობიექტური შესწავლის სამეცნიერო საზოგადოება 1975 წლის ჭილდო მიანიჭა საბჭოთა მეცნიერების, სსრ კულტურის მედაცინის მეცნიერებათა აკადემიის წევრ-კორსპონდენტის, საქართველოს სსრ მეცნიერებათა აკადემიის ფიზიოლოგიის ინსტიტუტის ცხოველთა ქცევის ლაბორატორიის გამგეს პროფესორ მ. ხანაშვილს.

Северо-американское научное общество имени академика И. П. Павлова по объективному изучению поведения присудило награду 1975 года советскому ученому, члену-корреспонденту Академии медицинских наук СССР, заведующему лабораторией по изучению поведения животных Института физиологии АН ГССР, профессору М. М. Хананашвили.

«აქართველოს სსრ უმაღლესი საბჭოს პრეზიდიუმის 1976 წლის 23 თებერვლის ბრძანებულებით საქართველოს სსრ უმაღლესი საბჭოს პრეზიდიუმის საბარიო სიგელით დაჯილდოვდა: პროფესორი მიხეილ ესტატეს ქეშიშვაშვილი — საქართველოს სსრ მეცნიერებათა აკადემიის პ. მელიქშვილის სახელმძის ფიზიური და ორგანული ქიმიის ინსტიტუტის კოლოდიფური ქიმიის ლაბორატორიის ხელმძღვანელი — ხანგრძლივი და ნაყოფიერი სამცუნიერო-პედაგოგიური და საზოგადოებრივი მოღვაწეობისათვის, დაბადების სამოცდამეათე წლისთავის გამო.

Указом Президиума Верховного Совета ГССР от 23 февраля 1976 г. Почетной грамотой Президиума Верховного Совета Грузинской ССР награжден проф. Шишниашвили Михаил Евстафович — руководитель лаборатории коллоидной химии Института физической и органической химии им. П. Г. Меликишвили АН ГССР за долголетнюю и плодотворную научно-педагогическую и общественную деятельность в связи с семидесятилетием со дня рождения.

1975 წლის 22—24 დეკემბერს თბილისში ჩატარდა ამიერკავკასიის მორფოლოგთა პირველი კონფერენცია.

კონფერენციის მუშაობაში მონაწილეობა მიიღო მედიცინის, ვეტერინარიისა და ბიოლოგიის დარგებში მომუშვევ 300-ზე მეტმა სპეციალისტმა. გარდა საქართველოს, აზერბაიჯანისა და სომხეთის მეცნიერებისა, კონფერენციაზე იყვნენ მოსკოველი, ლენინგრადელი, კიევილი, მინსკილი, კიშინოველი, ფრუნჟელი, დუშანბელი, ხოვისიბირსკელი, დონის როსტოველი, ასტრახანელი მეცნიერები.

სხვა საკითხებთან ერთად კონფერენციაზე განხილული იყო საკითხი ტექ-  
 ნიკური მოწყობილობების გამოყენების შესახებ ანატომიის პროგრამირებული  
 სწავლებისათვის.

ჩამდენადაც ეს კონფერენცია იყო პირველი, იგი მიმდინარეობდა როგორც  
 დათვალიერება იმ მიღწევებისა მორფოლოგიის დარგში, რომლებიც აძიერ-  
 ავკამიის რესპუბლიკებს აქვთ მეცნიერებულების დასასრულობა.

შეხვედრებს და გამოცდილების გაზიარებას მეტად დიდი მნიშვნელობა  
 ჰქონდა კოორდინაციის და ერთობლივი კვლევის დასახვისათვის მომვალში.

გადაწყვდა ამიერკავკასიის მორფოლოგთა კონფერენციები სისტემატურად  
 ჩატარდეს რიგრიგობით ყველა რესპუბლიკაში.

22—24 декабря 1975 г. в Тбилиси проходила Первая Закавказская конференция морфологов.

В работе конференции приняло участие более 300 специалистов медицины, ветеринарии по биологии. Кроме грузинских, азербайджанских и армянских ученых, на конференции были представлены ученые из Москвы, Ленинграда, Киева, Минска, Кишинева, Фрунзе, Душанбе, Новосибирска, Ростова-на-Дону, Астрахани.

В числе других на конференции был рассмотрен вопрос о применении технических устройств при программированном обучении анатомии.

Поскольку это была первая конференция, она проходила в виде общего смотра достижений в области морфологических наук, с которыми закавказские республики пришли к концу девятой пятилетки. Конференция сыграла положительную роль в обмене опытом и в координации и планировании будущих исследований.

Решено систематически созывать конференции закавказских морфологов, поочередно в каждой из республик.

24 იანვრიდან 4 თებერვლამდე საქართველოს სსრ მეცნიერებათა აკადე-  
 მიის ფიზიკის ინსტიტუტის და სსრკ მეცნიერებათა აკადემიის ბიოთვული ფი-  
 ზიკის განყოფილების კოსმოსური საბჭოს ინიციატივით ბაკურიანში მიმდინა-  
 რებდა სკოლა-სესია ძალალ ენერგიებზე აღრიცხულის არალრეკადი ურთიერთ-  
 შედების საკითხებში.

სკოლა-სესიის მუშაობაში მონაწილეობა მიიღო 150 მეცნიერმა, მოსკო-  
 ვის, ლენინგრადის, ლუბნის, ერევნის, ტაშკენტის, თბილისის სამეცნიერო და-  
 წესებულებებიდან.

მოისმინეს 25 მოხსენება, მათ შორის ექვსი საქართველოს სსრ მეცნიე-  
 რებათა აკადემიის ფიზიკის ინსტიტუტიდან.

С 24 января по 4 февраля в пос. Бакуриани по инициативе Ин-  
 ститута физики АН ГССР и Космического совета ОЯФ АН СССР про-  
 ходила школа-сессия по неупругим взаимодействиям адронов при вы-  
 соких энергиях.

В работе школы-сессии приняло участие 150 ученых из научных учреждений Москвы, Ленинграда, Дубны, Еревана, Ташкента, Тбилиси. Было заслушано 25 докладов, из них шесть от ИФ АН ГССР.

6—14 თებერვალს ბაკურიანში ჩატარდა საქართველოს სსრ მეცნიერე-  
 ბათა აკადემიის ფიზიკის ინსტიტუტის ინიციატივით შექმნილი ტრადიციული  
 სკოლა ზედგნადობაში.

სკოლის მუშაობაში მონაწილეობა მიიღო 90 მეცნიერმა, რომლებიც წარ-  
 მოადგენდნენ მოსკოვის, ჩერნოგოლოვკის, ლენინგრადის, ხარკოვის სამეცნიე-  
 რო დაწესებულებებს.

ქართული დაბალტემპერატურული სკოლა წარმოდგენილი იყო ფიზიკის ინსტიტუტის (10 მოსსენება), კიბერხელის ინსტიტუტის და თბილისის სახლში 10 უნივერსიტეტის (2 მოსსენება) მეცნიერთა სახით.

С 6 по 14 февраля в пос. Бакуриани проходила традиционная школа по сверхтекучести, организованная по инициативе Института физики АН ГССР.

В работе школы приняло участие 90 человек, представляющие научные учреждения Москвы, Черноголовки, Ленинграда, Харькова и др. Тбилиси был представлен учеными Института физики (10 докладов), Института кибернетики, Тбилисского государственного университета (2 доклада).

16—24 თებერვალს სსრკ მეცნიერებათა აკადემიის მყარი სხეულების რადიაციული ფიზიკის სამეცნიერო საბჭომ ჩატარა ბაკურიანში თავისი მორიგი გაფართოებული სხდომა და სემინარი.

სემინარის თემატიკა შეიცავდა ლითონების და შენაღნობების ცოცვადობის, გამყიფების და რადიაციული განმტკიცების საკითხებს.

სხდომის და სემინარის შუშაბაში მონაწილეობა მიიღო 85 მეცნიერმა 31 სამეცნიერო დაწესებულებიდან. მოსმენილ იქნა 25 მოსსენება.

Секция радиационной физики металлов и сплавов Научного совета по радиационной физике твердого тела АН СССР в период с 16 по 24 февраля провела в пос. Бакуриани свое очередное расширенное заседание и семинар.

Тематика семинара охватила вопросы ползучести, охрупчивания и радиационной стойкости металлов и сплавов. В работе заседания и семинара принимало участие 85 человек из 31 научного учреждения. Заслушано 25 докладов.



## К С В Е Д Е Н ИЮ А В Т О Р О В

1. В журнале «Сообщения АН ГССР» публикуются статьи академиков, членов-корреспондентов, научных работников системы Академии и других ученых, содержащие еще не опубликованные новые значительные результаты исследований. Печатаются статьи лишь из тех областей науки, номенклатурный список которых утвержден Президиумом АН ГССР.

2. В «Сообщениях» не могут публиковаться полемические статьи, а также статьи обзорного или описательного характера по систематике животных, растений и т. п., если в них не представлены особенно интересные научные результаты.

3. Статьи академиков и членов-корреспондентов АН ГССР принимаются непосредственно в редакции «Сообщений», статьи же других авторов представляются академиком или членом-корреспондентом АН ГССР. Как правило, академик или член-корреспондент может представить для опубликования в «Сообщениях» не более 12 статей разных авторов (только по своей специальности) в течение года, т. е. по одной статье в каждый номер, собственные статьи — без ограничения, а с соавторами — не более трех. В исключительных случаях, когда академик или член-корреспондент требует представления более 12 статей, вопрос решает главный редактор. Статьи, поступившие без представления, передаются редакцией академику или члену-корреспонденту для представления. Один и тот же автор (за исключением академиков и членов-корреспондентов) может опубликовать в «Сообщениях» не более трех статей (независимо от того, с соавторами она или нет) в течение года.

4. Статья должна быть представлена автором в двух экземплярах, в готовом для печати виде, на грузинском или на русском языке, по желанию автора. К ней должны быть приложены резюме — к грузинскому тексту на русском языке, а к русскому на грузинском, а также краткое резюме на английском языке. Объем статьи, включая иллюстрации, резюме и список цитированной литературы, приводимой в конце статьи, не должен превышать четырех страниц журнала (8000 типографских знаков), или шести стандартных страниц машинописного текста, отпечатанного через два интервала (статья же с формулами — пяти страниц). Представление статьи по частям (для опубликования в разных номерах) не допускается. Редакция принимает от автора в месяц только одну статью.

5. Представление академика или члена-корреспондента на имя редакции должно быть написано на отдельном листе с указанием даты представления. В нем необходимо указать: новое, что содержится в статье, научную ценность результатов, насколько статья отвечает требованиям пункта I настоящего положения.

6. Статья не должна быть перегружена введением, обзором, таблицами, иллюстрациями и цитированной литературой. Основное место в ней должно быть отведено результатам собственных исследований. Если по ходу изложения в статье сформулированы выводы, не следует повторять их в конце статьи.

7. Статья оформляется следующим образом: вверху страницы в середине пишутся инициалы и фамилия автора, затем — название статьи; справа вверху представляющий статью указывает, к какой области науки относится она. В конце основного текста статьи с левой стороны автор указывает полное название и местонахождение учреждения, где выполнена данная работа.

8. Иллюстрации и чертежи должны быть представлены по одному экземпляру в конверте; чертежи должны быть выполнены черной тушью на кальке. Надписи на чертежах должны быть исполнены каллиграфически в таких размерах, чтобы даже в случае уменьшения они оставались отчетливыми. Подрисуточные подписи, сделанные на языке основного текста, должны быть представлены на отдельном листе. Не следует приклеивать фото и чертежи к листам оригинала. На полях ори-



тиала автор отмечает карандашом, в каком месте должна быть помещена иллюстрация. Не должны представляться таблицы, которые не могут уместиться на одной странице журнала. Формулы должны быть четко вписаны чернилами в оба экземпляра текста; под греческими буквами проводится одна черта красным карандашом, под прописными — две черты черным карандашом снизу, над строчными — также две черты черным карандашом сверху. Карапашом должны быть обведены полукругом индексы и показатели степени. Резюме представляются на отдельных листах. В статье не должно быть исправлений и дополнений карандашом или чернилами.

9. Список цитированной литературы должен быть отпечатан на отдельном листе в следующем порядке. Вначале пишутся инициалы, а затем — фамилия автора. Если цитирована журнальная работа, указываются сокращенное название журнала, том, номер, год издания, а если цитирована книга, — полное название книги, место и год издания. Если автор считает необходимым, он может в конце указать и соответствующие страницы. Список цитированной литературы приводится не по алфавиту, а в порядке цитирования в статье. При ссылке на литературу в тексте или в сносках номер цитируемой работы помещается в квадратные скобки. Не допускается вносить в список цитированной литературы работы, не упомянутые в тексте. Не допускается также цитирование неопубликованных работ. В конце статьи, после списка цитированной литературы, автор должен подписьаться и указать место работы, занимаемую должность, точный домашний адрес и номер телефона.

10. Краткое содержание всех опубликованных в «Сообщениях» статей печатается в реферативных журналах. Поэтому автор обязан представить вместе со статьей ее реферат на русском языке (в двух экземплярах).

11. Автору направляется корректура статьи в сверстанном виде на строго ограниченный срок (не более двух дней). В случае невозврата корректуры к сроку редакция вправе приостановить печатание статьи или напечатать ее без визы автора.

12. Автору выдается бесплатно 25 оттисков статьи.

(Утверждено Президиумом Академии наук Грузинской ССР 10.10.1968; внесены изменения 6.2.1969)

Адрес редакции: Тбилиси 60, ул. Кутузова, 19, телефоны 37-22-16, 37-93-42.

Почтовый индекс 380060

Условия подписки: на год — 12 руб.

ପ୍ରକାଶକ ପରିଷଦୀ ପାତାରେ ମହାନାଳୀ



2. „მოამბეში“ არ შეიძლება გამოქვეყნდეს პოლემიკური წერილი, აგრეთვე მიმოხილვით ან აღწერითი ხსიათის წერილი ცხოველთა, მცენარეთა ან სწავათა სისტემატიკაზე, თუ მასში მოცემული არაა მცნობიერებისათვის განსაკუთრებით საინტერესო შედეგები.

3. საქართველოს სსრ შეცნობებათა აკადემიის აკადემიკურთა და წევრ-კორესპონდენტთა წერილები ზუშალოდ გამარტინა გამოსახულებად „მოაბის“ რედაქტორს, ხოლო სსკა აკტორთა წერილები ქვეყნება აკადემიკურთა ან წევრ-კორესპონდენტთა წარდგინებით. როგორც წესა, აკადემიკოსს ან წევრ-კორესპონდენტს „მოაბის“ დასახელით შეცრალა წარმოადგინოს სსკა აკტორთა აზაუმეტეს 12 წერილისა (მხოლოდ თვეის სპეციალობის მიხედვით), ე. თ. ოთხოველ ნომერში თავით წერილი. საყოფარი წერილი — რამდენიც სურს, ხოლო თანამეტებობის ერთგანთა — აზაუმეტეს სამი წერილისა. გამონაჯალს შემთხვევაში, როცა აკადემიკოსა ან წევრ-კორესპონდენტი მოითხოვს 12-ზე მეტი წერილის წარდგინების, საკითხს წყვეტს მთვარის რედაქტორი. წარდგინების გარეშე შემოსულ წერილს „მოაბის“ რედაქტორ წარმოადგენად გადასცემს აკადემიკოსს ან წევრ-კორესპონდენტს. ერთსა და მავევ აკტორს (გარდა აკადემიკოსისა და წევრ-კორესპონდენტის) წელიწადში შეცრალია „მოაბის“ გრავეჟინოს აზაუმეტეს სამი წერილისა (სულ ერთია, თანამეტობათან იქნება იგი, თუ ცალკე).

4. წერილი წარმოდგენილი უნდა იყოს ორ ცალად, დასაბეჭდად სავსეპით შჩა სახით, ეტორის სურვილისამებრ ქართულ ან რუსულ ენაზე, ქართულ ტექსტს თან უნდა ამაღლებ-რუსულ და მოკლე ინგლისურ რეზიუმე, ხოლო რუსულ ტექსტს — ქართული და მოკლე ცნობილის რეზიუმე. წერილის მოცულობა ილუსტრაციებითურთ, რეზიუმებითა და და-ინტერესული ლიტერატურული წესებით. რომელიც მას ბოლომა ერთოვს, ამ უნდა აღმო-ტებოდეს ურჩანალის 4 გვერდს (8000 სასტამო ნიშანი), ანუ საშუალ მანქანის არა ინტერა-ლით გადაწერილი 6 სტანდარტულ გვერდს (ფორმულებითი წერილი კი 5 გვერდი). ამ შე-იძლება წერილების ნაწლებად დაყოფა სხვადასხვა ნომერში გამოსაქეყნებლად. ვეტორისა-გან რედაქტირებულის ფორმი მნიშვნობრივი წიგნის მიზანისთვის.

7. წერილი ასე ფორმდება: თავში ჟემოთ უნდა დაწეროს ავტორის ინიციალები და გვარი, ქვემოთ — წერილის სათაური. ჟემოთ მარჯვენა მხარეს, წარმომდგენის უნდა წაწეროს, თუ მეცნიერების რომელ დარღვე განცეკვოვნება წერილი. წერილის ძირითადი ტექსტის ბოლოს, მარცხენა მხარეს, ავტორმა უნდა აღინიშნოს იმ დაწესებულების სრულ სახელწოდება და აღინიშნებაზეობა, სადაც შესრულობულია შრომა.

8. ଲେନ୍ସିଟରାପ୍ରୋଗ୍ରାମ ଦ୍ୱାରା ନାଶକାରୀ ଫାରମିଳଙ୍ଗର୍ବ୍ୟାଣିଲ ଉନ୍ନତ ଏକ୍ଷେପ ତାତକ ପାଲାଦ କୁଣ୍ଡବ୍ୟାର୍ତ୍ତିତ. ଏହିମଧିନୀ, ନାଶକାରୀ ଶୈସରିଲ୍‌ଯେପିଲ୍‌ରୁଣ ଉନ୍ନତ ପ୍ରକାଶ ପାଲାକାରୀ ଶୈସି ଟ୍ରେନିଂ, ଫାରମିଳଙ୍ଗର୍ବ୍ୟାଣିଲ ନାଶକାରୀରେ ଉନ୍ନତ ଗାୟାର୍ଥୀତାରେ କାଣିଗର୍ବାଣ୍ଯାଲାଦ ଦ୍ୱାରା ବ୍ୟାପକ ନିର୍ମାଣ କରାଯାଇଛି ଏହାର ଅଧିକାରୀଙ୍କ ଦ୍ୱାରା ଉପରେ ଉନ୍ନତ ଶୈସିପିଲ୍‌ରୁଣ ଫାରମିଳଙ୍ଗର୍ବ୍ୟାଣିଲ କ୍ଷେତ୍ରରେ ପାଇଁ ପରିବର୍ତ୍ତନ ଆବଶ୍ୟକ ହେବାକୁ ପରିଚାରିତ କରାଯାଇଛି।



ზეპის დაწებება დელნის გვერდებზე. ივტორშა დელნის კიდეზე ფანჯრით უნდა აღნიშვნილი და დადგინდეს ესა თუ ის ილუსტრაცია. ამ შეიძლება წარმოდგენილ იქნებოდეს მას ცხრილი, რომელიც უზრუნველის ერთ გვერდზე ვერ მოთავსდება. ფურმულები მელნით მკაფიოდ უნდა იყოს ჩაწერილი ტექსტის ორივე ეგვერმატლარში; ბერძნულ სოფებს ქვემოთ ცველ-გან უნდა გაესვას თითო ხაზი წითელ ფანჯრით, მთავრულ ასოებს — ქვემოთ ორ-ორი პატარა ხაზი შევი ფანჯრით, ხოლო ართავერულ ასოებს — ზემოთ ორ-ორი პატარა ხაზი შევი ფანჯრით, ფანჯრითვე უნდა შემოიფარგლოს ნახევარწრით ნიშნავებიც (ინდექსები და ხარისხის მაჩვენებლები). რეზუმეები წარმოდგენილ უნდა იქნეს ცალ-ცალ ფრაცელებზე. წერილში ამ უნდა იყოს ჩასწორებები და ჩამატებები ფანჯრით ან შელნით.

9. დამოწმებული ლიტერატურა უნდა დაიბეჭდოს ცალკე ფრაცელზე. საჭიროა დაცულ იქნეს ასეთი თანმიმდევრობა: ავტორის ინიციალები, გვარი. თუ დამოწმებულია საერთო ურობა, უზრუნვისო უზრნალის შემოკლებული სახელშიდება, ტომი, ნომერი, გამოცემის წელი. თუ დამოწმებულია წიგნი, აუცილებელია ვუჩევნოთ მისი სრულ სახელწოდება, გამოცემის ადგილი და წელი. თუ ავტორი საჭირო მინინენის, ბოლოს შეუძლია გვერდების ნემერა-ციაც უჩევნოს. დამოწმებული ლიტერატურა უნდა დალაგდეს არა ანპარული წესით, არამედ დამოწმების თანმიმდევრობით. ლიტერატურის მისათხოვებლად ტექსტსა თუ შენიშვნებში კვადრატულ ფრჩისლებში ნაჩევნები უნდა იყოს შესაბამისი ნომერი დამოწმებული შეომისა. ამ შეიძლება დამოწმებული ლიტერატურის ნესხაში შევიტანოთ ისეთი შერის, რომელიც ტექსტში მითხოვებული არ არის. ასევე ამ შეიძლება გამოცემების წრიობის დამოწმებული ლიტერატურის ბოლოს ავტორის უნდა მოაწეროს ხელი, აღნიშნოს სად მუშაობს და რა თანამდებობაში, უჩევნოს თვითი სუსტი მისამართი და ტელეფონის ნომერი.

10. „მოამბეში“ გამოვეცენებული ცალკე წერილის მოკლე შინაგარის იძებლება რეცეპტა ტერნალებში. მიზრობი ავტორის წერილთან ერთად აუცილებლად უნდა წარმოაღიანოს რეცეპტარი რესულ ენაზე (ორ ცალად).

11. ავტორს წასაკითხოდ ერთეული ათვისი წერილის გვერდებად შეკრული კორექტურა მკაცრად განსაზღვრული ვალით (არამეტეტი ორი დღისა). თუ დადგრნილი ვალისათვის კორექტურა არ იქნა დაპრენებული, რედაქტორის უფლება აქვს შეაჩეროს წერილის დაპერდევა ან დაბეჭდოს იგი ავტორის ვიზის გარეშე.

12. ავტორს უფასოდ ერთეული ათვისი წერილის 25 ამონამცემი.

(დამტკიცებულია საჭარბეულოს სსრ მეცნიერებათა აკადემიის

პრეზიდიუმის მიერ 10.10.1968; შეტანილია ცვლილებები 6.2.1969)

რედაქტორის მისამართი: თბილის 60, კრტეზივის ქ. № 19; ტელ. 37-22-16, 37-93-42.

საფოსტო ინდექსი 380060

ს კ ლ მ თ წ ე რ ი ს 3 ი რ თ ბ ე ბ ი ს ე რ თ ა წ ლ ი 12 მან.



8 2285

~~ВЫД 1 ВЫБ.~~  
ЦЕНА 1 РУБ.

ИНДЕКС 76181